

International Nonproprietary Names for Pharmaceutical Substances (INN)

RECOMMENDED International Nonproprietary Names: List 84

Notice is hereby given that, in accordance with paragraph 7 of the Procedure for the Selection of Recommended International Nonproprietary Names for Pharmaceutical Substances [*Off. Rec. Wld Health Org.*, 1955, **60**, 3 (Resolution EB15.R7); 1969, **173**, 10 (Resolution EB43.R9); Resolution EB115.R4 (EB115/2005/REC/1)], the following names are selected as Recommended International Nonproprietary Names. The inclusion of a name in the lists of Recommended International Nonproprietary Names does not imply any recommendation of the use of the substance in medicine or pharmacy.

Lists of Proposed (1–1117) and Recommended (1–78) International Nonproprietary Names can be found in *Cumulative List No. 17, 2017*(available in CD-ROM only).

Dénominations communes internationales des Substances pharmaceutiques (DCI)

Dénominations communes internationales RECOMMANDÉES: Liste 84

Il est notifié que, conformément aux dispositions du paragraphe 7 de la Procédure à suivre en vue du choix de Dénominations communes internationales recommandées pour les Substances pharmaceutiques [*Actes off. Org. mond. Santé*, 1955, **60**, 3 (résolution EB15.R7); 1969, **173**, 10 (résolution EB43.R9); résolution EB115.R4 (EB115/2005/REC/1)] les dénominations ci-dessous sont choisies par l'Organisation mondiale de la Santé en tant que dénominations communes internationales recommandées. L'inclusion d'une dénomination dans les listes de DCI recommandées n'implique aucune recommandation en vue de l'utilisation de la substance correspondante en médecine ou en pharmacie.

On trouvera d'autres listes de Dénominations communes internationales proposées (1–117) et recommandées (1–78) dans la *Liste récapitulative No. 17, 2017* (disponible sur CD-ROM seulement).

Denominaciones Comunes Internacionales para las Sustancias Farmacéuticas (DCI)

Denominaciones Comunes Internacionales RECOMENDADAS: Lista 84

De conformidad con lo que dispone el párrafo 7 del Procedimiento de Selección de Denominaciones Comunes Internacionales Recomendadas para las Sustancias Farmacéuticas [*Act. Of. Mund. Salud*, 1955, **60**, 3 (Resolución EB15.R7); 1969, **173**, 10 (Resolución EB43.R9); Résolution EB115.R4 (EB115/2005/REC/1) EB115.R4 (EB115/2005/REC/1)], se comunica por el presente anuncio que las denominaciones que a continuación se expresan han sido seleccionadas como Denominaciones Comunes Internacionales Recomendadas. La inclusión de una denominación en las listas de las Denominaciones Comunes Recomendadas no supone recomendación alguna en favor del empleo de la sustancia respectiva en medicina o en farmacia.

Las listas de Denominaciones Comunes Internacionales Propuestas (1–117) y Recomendadas (1–78) se encuentran reunidas en *Cumulative List No. 17, 2017*(disponible sólo en CD-ROM).

Latin, English, French, Spanish: Recommended INN	<i>Chemical name or description; Molecular formula; Graphic formula</i>
DCI Recommandée	<i>Nom chimique ou description; Formule brute; Formule développée</i>
DCI Recomendada	<i>Nombre químico o descripción; Fórmula molecular; Fórmula desarrollada</i>

acidum aligomanuxicum

aligomanuxic acid

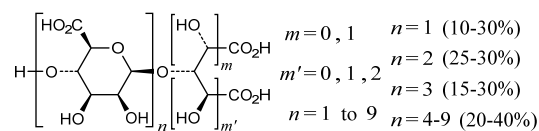
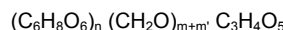
O-[oligo-(1→4)-β-D-mannopyranuronan-β-osyl]-(1→3)-D-mannaric, -(1→2)-D-arabinaric, -(1→3)-D-arabinaric, (1→2)-D-erythraric, -(1→2)-D-threanic, and -(1→2)-glyceraric acids, produced from alginates of brown seaweeds by acid-catalysed partial hydrolysis, isolation of oligomannuronans and oxidation of the reducing end group

acide aligomanuxique

acides O-[oligo-(1→4)-β-D-mannopyranuronan-β-osyl]-(1→3)-D-mannarique, -(1→2)-D-arabinarique, -(1→3)-D-arabinarique, (1→2)-D-érythrarique, -(1→2)-D-thréarique, et -(1→2)-glycéralrique, produits à partir d'algues brunes par hydrolyse partielle par catalyse acide, isolation des oligomannuronanes et oxydation du groupe réducteur terminal

ácido aligomanúxico

ácidos O-[oligo-(1→4)-β-D-manopiranuronan-β-osil]-(1→3)-D-manárico, -(1→2)-D-arabinárico, -(1→3)-D-arabinárico, (1→2)-D-eritrárico, -(1→2)-D-treárico, y -(1→2)-glicerárico, producido a partir de algas pardas por hidrólisis parcialmente por catálisis ácida, aislamiento de los oligomanuronanos y oxidación del grupo reductor terminal

**acidum norucholicum**

norucholic acid

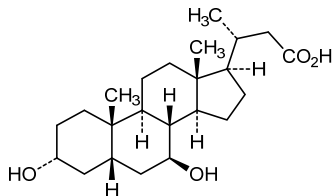
3α,7β-dihydroxy-24-nor-5β-cholan-23-oic acid

acide norucholique

acide 3α,7β-dihydroxy-24-nor-5β-cholan-23-oïque

ácido norucólico

ácido 3α,7β-dihidroxi-24-nor-5β-colan-23-oico

**acoramidisum**

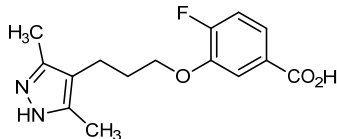
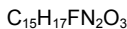
acoramidis

3-[3-(3,5-dimethyl-1*H*-pyrazol-4-yl)propoxy]-4-fluorobenzoic acid

acoramidis

acide 3-[3-(3,5-diméthyl-1*H*-pyrazol-4-yl)propoxy]-4-fluorobenzoïque

acoramidis

ácido 3-[3-(3,5-dimetil-1*H*-pirazol-4-il)propoxi]-4-fluorobenzoico**adebrelimab #**

adebrelimab

immunoglobulin G4-kappa, anti-[*Homo sapiens* CD274 (programmed death ligand 1, PDL1, PD-L1, B7 homolog 1, B7H1)], monoclonal antibody; gamma4 heavy chain (1-446) [VH (*Homo sapiens* IGHV1-46*01 (89.8%) -IGHD) -IGHJ4*01 (93.3%) CDR-IMGT [8.8.12] (26-33.51-58.97-108) (1-119) -*Homo sapiens* IGHG4*01, G4v5 h P10, G4v4 CH2 A1.3, A1.2 (CH1 (120-217), hinge 1-12 S10>P (227) (218-229), CH2 F1.3>A (233), L1.2>A (234) (230-339), CH3 (340-444), CHS (445-446)) (120-446)], (133-218')-disulfide with kappa light chain (1'-218') [V-KAPPA (*Mus musculus* IGKV3-5*01 (84.8%) -IGKJ2*03 (90.9%)/*Homo sapiens* IGKV4-1*01 (68.3%) -IGKJ2*01 (100%)) CDR-IMGT [10.3.9] (27-36.54-56.93-101) (1'-111') -*Homo sapiens* IGKC*01 (100%) Km3 A45.1 (157), V101 (195) (112'-218')]; dimer (225-225":228-228")-bisdisulfide, produced in Chinese hamster ovary (CHO) cells, glycoform alfa

adébrélimab

immunoglobuline G4-kappa, anti-[*Homo sapiens* CD274 (ligand 1 de mort programmée, PDL1, PD-L1, homologue 1 de B7, B7H1)], anticorps monoclonal;

chaîne lourde gamma4 (1-446) [VH (*Homo sapiens* IGHV1-46*01 (89.8%) -(IGHD) -IGHJ4*01 (93.3%)) CDR-IMGT [8.8.12] (26-33.51-58.97-108) (1-119) -*Homo sapiens* IGHG4*01, G4v5 h P10, G4v4 CH2 A1.3, A1.2 (CH1 (120-217), charnière 1-12 S10>P (227) (218-229), CH2 F1.3>A (233), L1.2>A (234) (230-339), CH3 (340-444), CHS (445-446)) (120-446)], (133-218')-disulfure avec la chaîne légère kappa (1'-218') [V-KAPPA (*Mus musculus* IGKV3-5*01 (84.8%) -IGKJ2*03 (90.9%)/*Homo sapiens* IGKV4-1*01 (68.3%) -IGKJ2*01 (100%)) CDR-IMGT [10.3.9] (27-36.54-56.93-101) (1'-111') -*Homo sapiens* IGKC*01 (100%) Km3 A45.1 (157), V101 (195) (112'-218')]; dimère (225-225"-228-228")-bisdisulfure, produit dans des cellules ovariennes de hamster chinois (CHO), glycoforme alfa

adebrelimab

inmunoglobulina G4-kappa, anti-[*Homo sapiens* CD274 (ligando 1 de muerte programada, PDL1, PD-L1, homólogo 1 de B7, B7H1)], anticuerpo monoclonal; cadena pesada gamma4 (1-446) [VH (*Homo sapiens* IGHV1-46*01 (89.8%) -(IGHD) -IGHJ4*01 (93.3%)) CDR-IMGT [8.8.12] (26-33.51-58.97-108) (1-119) -*Homo sapiens* IGHG4*01, G4v5 h P10, G4v4 CH2 A1.3, A1.2 (CH1 (120-217), bisagra 1-12 S10>P (227) (218-229), CH2 F1.3>A (233), L1.2>A (234) (230-339), CH3 (340-444), CHS (445-446)) (120-446)], (133-218')-disulfuro con la cadena ligera kappa (1'-218') [V-KAPPA (*Mus musculus* IGKV3-5*01 (84.8%) -IGKJ2*03 (90.9%)/*Homo sapiens* IGKV4-1*01 (68.3%) -IGKJ2*01 (100%)) CDR-IMGT [10.3.9] (27-36.54-56.93-101) (1'-111') -*Homo sapiens* IGKC*01 (100%) Km3 A45.1 (157), V101 (195) (112'-218')]; dímero (225-225"-228-228")-bisdisulfuro, producido por células ováricas de hamster chino (CHO), forma glicosilada alfa

Heavy chain / Chaîne lourde / Cadena pesada
 QVQLVQSGAE VKPGAVKV SKCAGYTF SYWMHWVRQA PGQGLEWMGR 50
 IGPNSGFTSY NEPKPNRVTM TRDTSTSTVY MELSSLRSED TAVYYCARGG 100
 SSYDFDYWQ QTGTTVTVSSA STKGPSVPL APCRSRTSES TAALGCLVKD 150
 YFPEPVTVWS NSGALTSGVH TFFAVLQSSG LYSSLSSVTVT FSSSLGTTKY 200
 TCNVDHKPSPN TKVDKVRVESK YGPPCPCPA PEAAGGSVF LFPPKPKDTL 250
 MISRTPEVTC VVVDVSQEDP EVQFWNYVDG VEVHNATKRP REEQFNSTYR 300
 VVSFLTVLHQ DWLNGKEYKC KVSNKGLPSS TEKTISAKAG QPREPQVVTL 350
 PFSQEEMTKN QVSLTCLVRG FYPSPDIAVEV ESNQCPENNY KTTPPVLDSD 400
 GSFFFLYSRLIT VDKSRRQEGN VFCSVMHEA LHNNHTQKSL SLSLGK 446

Light chain / Chaîne légère / Cadena ligera
 DIVLITQSPAS LAVSPGQRAT ITCRASESVS IHGTHLMHWY QQKPGQPPKL 50
 LIYAASNLES GVPARFGSG SGTDFTLTIN PVEADTANY YCQQSFEDPL 100
 TFGQQTKEI KRTVAAPSVF IFPPSDDELK SGATSVVCLL NNPFYPREAKV 150
 QWKVDNALQSQNSQESVTEQ DSKDSTYSLS STLTLSKADY EKHKVYACEV 200
 THQGLSSPVT KSFNRGEC 218

Post-translational modifications

Disulfide bridges location / Position des ponts disulfure / Posiciones de los puentes disulfuro
 Intra-H (C23-C104) 22-96 146-202 260-320 366-424
 22"-96" 146"-202" 260"-320" 366"-424"
 Intra-L (C23-C104) 23-92' 138"-198'
 23"-92" 138"-198"
 Inter-H-L (CH1 10-CL 126) 133-218' 133"-218"
 Inter-H-H (h 8, h 11) 225-225" 228-228"

N-terminal glutaminyl cyclization to pyroglutamyl (pE, 5-oxoprolyl)
 H VH Q1:
 1, 1"

N-glycosylation sites / Sites de N-glycosylation / Posiciones de N-glicosilación
 H CH2 N84.4:
 296, 296"

Fucosylated complex bi-antennary CHO-type glycans / glycanes de tipo CHO bi-antennaires complexes fucosylés / glicanos de tipo CHO biantenarios complejos fucosilados

afamitresgenum autoleucel #

afamitresgene autoleucel

Autologous CD4+ and CD8+ T cells obtained by leukapheresis, transduced with an HIV-derived self-inactivating (SIN) lentiviral vector, encoding an enhanced-affinity T cell receptor (TCR) specific for the human melanoma antigen A4 (MAGE family member A4, antigen MAGE A4) HLA-A*02 peptide driven by the elongation factor 1 alpha (EF1 α) promoter. Cells express lymphonode-homing markers CCR7 and CD62L, CD45 isoforms CD45RA and CD45R0, co-stimulatory markers CD27 and CD28, IL-7 receptor CD127, and chemokine receptor CXCR3. Cells secrete interleukin 2 (IL-2), tumor necrosis factor α (TNF-alpha, TNF α), interferon gamma (interferon γ , IFN-gamma), granzyme, interleukin 4 (IL-4), interleukin 13 (IL-13) and interleukin 17 (IL-17) upon activation.

afamitresgène autoleucel

Lymphocytes T CD4+ et CD8+ autologues obtenus par leucophérèse, transduits par un vecteur lentiviral auto-inactivant (SIN), dérivé du virus de l'immunodéficience humaine (VIH), codant pour un récepteur de lymphocytes T (TCR) à affinité augmentée spécifique du peptide HLA-A*02 de l'antigène du mélanome humain A4 (membre A4 de la famille MAGE, antigène MAGE-4), sous le contrôle d'un promoteur du facteur d'elongation alpha 1 (EF1 α). Les cellules expriment les marqueurs de migration des ganglions lymphatiques CCR7 et CD62L, les isoformes CD45RA et CD45R0 du CD45, les marqueurs co-stimulateurs CD27 et CD28, le récepteur CD127 de l'interleukine 7 (IL-7) et les récepteurs de chimiokines CXCR3. Les cellules secrètent de l'interleukine 2 (IL-2), facteur de nécrose tumorale α (TNF-alpha, TNF α), interféron gamma (interféron γ , IFN-gamma), granzyme, interleukine 4 (IL-4), interleukine 13 (IL-13) et l'interleukine 17 (IL-17) au moment de leur activation

afamitresgén autoleucel

Linfocitos T CD4+ y CD8+ autólogos obtenidos por leucoaféresis, transducidos con un vector lentiviral auto inactivante derivado del HIV, que codifica para un receptor de linfocitos T (TCR) con afinidad aumentada, específico para el péptido del antígeno de melanoma humano A4 (MAGE A4) presentado por HLA-A*02, dirigido por un promotor del factor de elongación 1 alfa (EF1 α). Las células expresan los marcadores de migración a ganglios linfáticos CCR7 y CD62L, las isoformas CD45RA y CD45R0 de CD45, los marcadores coestimuladores CD27 y CD28, el receptor de IL-7 CD127, y el receptor de quimoquinas CXCR3. Las células secretan interleukina 2 (IL-2), factor de necrosis tumoral (TNF-alfa, TNF α), interferón gamma (interferón γ , IFN-gamma), granzima, interleukina 4 (IL-4), interleukina 13 (IL-13) e interleukina 17 (IL-17) tras su activación.

alsevalimabum #

alsevalimab

immunoglobulin G1-kappa, anti-[*Homo sapiens* VTCN1 (V-set domain containing T cell activation inhibitor 1, B7-H4, B7H4)], *Homo sapiens* monoclonal antibody; gamma1 heavy chain *Homo sapiens* (1-450) [VH (*Homo sapiens*IGHV4-39*01 (96.0%) -(IGHD) - IGHJ5*02 (93.8%)) CDR-IMGT [10.7.12] (26-35.53-59.98-109) (1-120) -*Homo sapiens*IGHG1*01 (100%) G1m17,1 (CH1 K120 (217) (121-218), hinge 1-15 (219-233), CH2 (234-343), CH3 D12 (359), L14 (361) (344-448), CHS (449-450)) (121-450)], (223-214')-disulfide with kappa light chain *Homo sapiens* (1'-214') [V-KAPPA (*Homo sapiens*IGKV3-15*01 (96.8%) - IGKJ4*01 (91.7%)) CDR-IMGT [6.3.9] (27-32.50-52.89-97) (1'-107') -*Homo sapiens*IGKC*01 (100%), Km3 A45.1 (153), V101 (191) (108'-214')]; dimer (229-229":232-232")-bisdisulfide, produced in Chinese hamster ovary (CHO-FUT8^{-/-}) cells, glycoform alfa

alsévalimab

immunoglobuline G1-kappa, anti-[*Homo sapiens* VTCN1 (inhibiteur 1 de l'activation des cellules T contenant un V-set domain, B7-H4, B7H4)], anticorps monoclonal *Homo sapiens*; chaîne lourde gamma1 *Homo sapiens* (1-450) [VH (*Homo sapiens*IGHV4-39*01 (96.0%) -(IGHD) - IGHJ5*02 (93.8%)) CDR-IMGT [10.7.12] (26-35.53-59.98-109) (1-120) -*Homo sapiens*IGHG1*01 (100%) G1m17,1 (CH1 K120 (217) (121-218), charnière 1-15 (219-233), CH2 (234-343), CH3 D12 (359), L14 (361) (344-448), CHS (449-450)) (121-450)], (223-214')-disulfure avec la chaîne légère kappa *Homo sapiens* (1'-214') [V-KAPPA (*Homo sapiens*IGKV3-15*01 (96.8%) -IGKJ4*01 (91.7%)) CDR-IMGT [6.3.9] (27-32.50-52.89-97) (1'-107') -*Homo sapiens*IGKC*01 (100%), Km3 A45.1 (153), V101 (191) (108'-214')]; dimère (229-229":232-232")-bisdisulfure, produit dans des cellules ovariennes de hamster chinois (CHO-FUT8^{-/-}), glycoforme alfa

alsevalimab

inmunoglobulina G1-kappa, anti-[*Homo sapiens* VTCN1 (inhibidor 1 de la activación de las células T que contiene un dominio V-set, B7-H4, B7H4)], anticuerpo monoclonal *Homo sapiens*; cadena pesada gamma1 *Homo sapiens* (1-450) [VH (*Homo sapiens*IGHV4-39*01 (96.0%) -(IGHD) - IGHJ5*02 (93.8%)) CDR-IMGT [10.7.12] (26-35.53-59.98-109) (1-120) -*Homo sapiens*IGHG1*01 (100%) G1m17,1 (CH1 K120 (217) (121-218), bisagra 1-15 (219-233), CH2 (234-343), CH3 D12 (359), L14 (361) (344-448), CHS (449-450)) (121-450)], (223-214')-disulfuro con la cadena ligera kappa *Homo sapiens* (1'-214') [V-KAPPA (*Homo sapiens*IGKV3-15*01 (96.8%) -IGKJ4*01 (91.7%)) CDR-IMGT [6.3.9] (27-32.50-52.89-97) (1'-107') -*Homo sapiens*IGKC*01 (100%), Km3 A45.1 (153), V101 (191) (108'-214')]; dímero (229-229":232-232")-bisdisulfuro, producido por células ováricas de hamster chino (CHO-FUT8^{-/-}), forma glicosilada alfa

Heavy chain / Chaîne lourde / Cadena pesada
 QLOLQESPGP LVKPSETLSL TCTVSGGSIK SGSYWGIR QPPGKGLEWI 50
 GNIYYEGSTY YNPSLRSRVT ISVDTSKNQF SLKLSVTA 100
 GSYPNQFDPW GQGTIVTVSS ASTKGPVFP LAPSSKSTS 150
 DYFPPEPVTS WNSGALTSGV HTFPVALQSS GLYSLSSVTT VPSSSLGTQT 200
 YICCNVMHKPS NTKVDKKVEP KSCDKHTCP PCPAPELLGG PSVFLFPKPK 250
 KDTLMISRTP ETVTCVVWDS HEDPEVKFNW YVDGVEVHNA KTKPREEQYN 300
 STYRIVSVLTL VLHQDWLNKG EYKCVPSNKA LPAPIEKTIS KAKGQPREGQ 350
 VYTLPSPSRLT LTKNQVSLTC LVKGFPVSDI AVEWESNGQ ENNYKTTTPV 400
 LDSDGSSFLY SKLTVDKSRW QQGNVFCSSV MHEALHNHQT QKSLSSLSPGQ 450

Light chain / Chaîne légère / Cadena ligera
 EIVMTQSPAT LSVPSPGERAT LSCRASQSVS SNLAWSQQKP QGAPRLLIYG 50
 ASTRAUTGIPF RFSSGSSGTE FTLTISLQS EDFAVYYCQQ YHSFPFTFGG 100
 GTKVEIKRTV AAPSVFIFPP SDEQLKSSTA SVVCLLNPFY PREAKVQNKV 150
 DNALQSGNSQ ESVTEQDSKD STYSVLSSLT LSKADYEKHK VYACEVTHQG 200
 LSSPVTKSFF RGEC 214

Post-translational modifications
 Disulfide bridges location / Position des ponts disulfure / Posiciones de los puentes disulfuro
 Intra-H (C23-C104) 22-97 147-203 264-324 370-428
 22"-97" 147"-203" 264"-324" 370"-428"
 Intra-L (C23-C104) 23-88" 134"-194"
 23"-88" 134"-194"
 Inter-H-L (h 5-CL 126) 223-214" 223"-214"
 Inter-H-H (h 11, h 14) 229-229" 232-232"

N-glycosylation sites / Sites de N-glycosylation / Posiciones de N-glicosilación
 H CH2 N84.4:
 300, 300"
 Afucosylated complex bi-antennary CHO-type glycans / glycanes de type CHO bi-antennaires
 complejos afucosilados / glicanos de tipo CHO biantenarios complejos afucosilados

C-terminal lysine clipping
 H CHS K2:
 450, 450"

amcenestrantum

amcenestrant

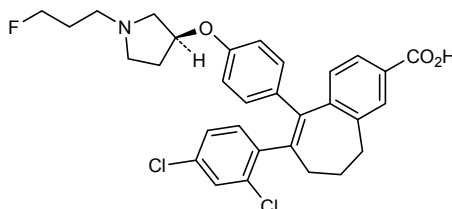
8-(2,4-dichlorophenyl)-9-(4-[(3S)-1-(3-fluoropropyl)pyrrolidin-3-yl]oxy}phenyl)-6,7-dihydro-5*H*-benzo[7]annulene-3-carboxylic acid

amcénestrant

acide 8-(2,4-dichlorophényl)-9-(4-[(3S)-1-(3-fluoropropyl)pyrrolidin-3-yl]oxy}phényl)-6,7-dihydro-5*H*-benzo[7]annulène-3-carboxylique

amcenestrant

ácido 8-(2,4-diclorofenil)-9-(4-[(3S)-1-(3-fluoropropil)pirrolidin-3-il]oxi)fenil)-6,7-dihidro-5*H*-benzo[7]anuleno-3-carboxílico



amdakefalinum

amdakefalin

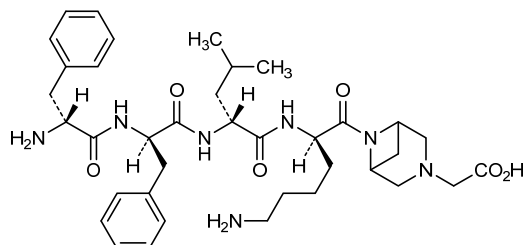
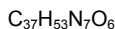
[6-(D-phenylalanyl-D-phenylalanyl-D-leucyl-D-lysyl)-3,6-diazabicyclo[3.1.1]heptan-3-yl]acetic acid

amdakéfaline

acide [6-(D-phénylalanyl-D-phénylalanyl-D-leucyl-D-lysyl)-3,6-diazabicyclo[3.1.1]heptan-3-yl]acétique

amdakefalina

ácido [6-(D-fenilalanil-D-fenilalanil-D-leucil-D-lisil)-3,6-diazabicielo[3.1.1]heptan-3-il]acético


aramisulpridum

aramisulpride

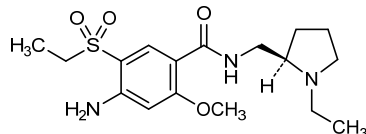
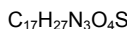
4-amino-5-(ethanesulfonyl)-N-[(2R)-1-ethylpyrrolidin-2-yl]methyl]-2-methoxybenzamide

aramisulpride

4-amino-5-(éthanesulfonyl)-N-[(2R)-1-éthylpyrrolidin-2-yl]métyle]-2-méthoxybenzamide

aramisulprida

4-amino-5-(etanosulfonil)-N-[(2R)-1-etylpirrolidin-2-il]metil]-2-metoxibenzamida


autogenum cevumeranum #

autogene cevumeran

A 5'-capped single-stranded messenger RNA (mRNA) construct for the expression of patient-specific tumour neoantigens comprising a 5'-cap, a 5'-untranslated region derived from human alpha-globin mRNA, an optimised Kozak sequence, sequences encoding a secretory signal peptide ($\text{sec}_{2,0}$), transmembrane and cytoplasmic domains of a major histocompatibility complex (MHC) Class I molecule (MITD), a 3'-untranslated region (Fl) and a poly(A)-tail; sequences encoding patient specific antigens are inserted between the secretory signal peptide and the transmembrane/cytoplasmic encoding domains.

autogène cévuméran

ARN messager (ARNm) de simple brin coiffé en 5' construit pour l'expression de néoantigènes tumoraux spécifiques du patient comprenant une coiffe en 5', une région en 5' non-traduite dérivée de l'ARNm de la globine alpha humaine, une séquence optimisée Kozak, et les séquences codant pour un peptide signal ($\text{sec}_{2,0}$), les domaines transmembranaire et cytoplasmique du complexe majeur d'histocompatibilité de groupe I (CMH1) (MITD), une région non traduite en 3' (Fl) et une queue poly(A) ; Les séquences codant les antigènes spécifiques du patient sont insérées entre celles codant le peptide signal et les domaines transmembranaire et cytoplasmique.

autogén cevumerán

Un constructo de RNA mensajero (mRNA) de cadena sencilla y caperuza en 5', para la expresión de neoantígenos tumorales específicos de cada paciente, que contiene una caperuza 5' (5'-cap), una región 5' no traducida derivada del mRNA de la globina alfa humana, una secuencia optimizada Kozak, y las secuencias codificantes para el péptido señal (sec_{2,0}), los dominios transmembrana y citoplasmico de complejo mayor de histocompatibilidad de grupo I (CMHI) (MITD), una región non-traducida en 3' (FI) y una cola poly(A); las secuencias que codifican los antígenos específicos del paciente se insertan entre las del péptido señal y de los dominios transmembrana y citoplasmico.

Sequence / Séquence / Secuencia

```

GGGCGAACU AGUAUUUCUUC UGGUCCCCAC AGACUCAGAC AGAACCCGCC
ACCAUGAGAG UGAUGGCCCC CAGAACCCUG AUCCUGUGC UGUUGGGGCC 100
CCUGGCCUG ACAGAGACAU GGGCCGGAAG CNUCGUGGG AAUUGUGGCA 150
GGACUGGCG UGGUGGCCGU GGUGUGUAC GGAGCCGGUG UGGCUACCGU 200
GAUGUGGAGA CGGAAGGUCCA GCGGAGGCAA GGGCGGCAGC UACAGCCAGG 250
CGGCCAGCUC UGAUAGGCC CAGGGCAGCG ACGUGUCACU GACAGCCUAG 300
UAACUCGAGC UGGUACUGCA UGCCACCCAU GCUAGCUGCC CCUUUCCCGU 350
CCUGGGUACC CGAGUCUCC CCCGACCCUG GGUCCUGGU AUGCUCCAC 400
CUCCACCCUG CCACACUAC ACCUCUUGUA GUUCCAGACA CCUCCCAAGC 450
ACGCAGCAAU GCAGCUAAA ACCCUUAGCC UAGCCACACC CCCACGGAA 500
ACAGCAGUGA UUAACCUUUA GCAAUAACG AAAGUUUAAC UAGCUUAAC 550
UAACCCCAGG GUUGGUCAAU UUCGUUGCCAG CCACACCCAG ACCUGGUCA 600
GAGUCGCUAG CGCGUCGCU AAAAAAAA AAAAAAAA AAAAAAAA AAAAAAAA 650
AAAAAAAAAA AAAAAAAA AAAAAAAA AAAAAAAA AAAAAAAA AAAAAAAA 700
AAAAAAAAAA AAAAAAAA AAAAAAAA AAAAAAAA AAAAAAAA AAAAAAAA 740

```

Feature	Position
Capping structure :	phosphorothioate stabilized cap analogue
hAG-Kozak :	human α -globin - Kozak region
sec _{2,0} :	secretion signal sequence
N :	indicates location of insertion of patient-specific sequences
MITD :	transmembrane and cytoplasmic domains of MHC class I molecule
FI :	sequence element derived of the amino terminal enhancer of split RNA (F) and from the mitochondrial encoded 12S RNA (I)
A120 :	poly(A) tail of 120 nucleotides

azemiglitazonum

azemiglitazone

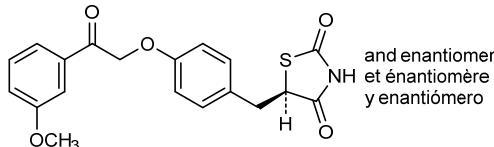
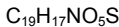
rac-(5*R*)-5-({4-[2-(3-methoxyphenyl)-2-oxoethoxy]phenyl}methyl)-1,3-thiazolidine-2,4-dione

azémiglitazone

rac-(5*R*)-5-({4-[2-(3-méthoxyphényl)-2-oxoéthoxy]phényl)méthyl}-1,3-thiazolidine-2,4-dione

azemiglitazona

rac-(5*R*)-5-({4-[2-(3-metoxifenil)-2-oxoetoxifenil]metil}-1,3-tiazolidina-2,4-diona



belzupacum sarotalocanum #

belzupacap saratalocan

a modified human papillomavirus (HPV) type 16-derived empty nanoparticle, 55 nm in diameter conjugated to approximately 200 molecules of a phthalocyanine-based photosensitizer (*sarotalocan* group). Each nanoparticle is comprised of 72 capsomeres, made of 5 molecules of modified viral capsid protein L1 [$P^{78}>R$, $T^{176}>N$, $D^{273}>T$, $N^{285}>T$, $S^{288}>N$, $T^{353}>P$, $T^{389}>S$] and one molecule of viral capsid protein L2;
 human papilloma virus type 16 (HPV16) capsid, a spherical shell of 72 self-assembling pentagonal ($L1_5(L2)_1$) capsomere units comprising the recombinant viral capsid proteins L1 ([$P^{78}>R$, $T^{176}>N$, $D^{273}>T$, $N^{285}>T$, $S^{288}>N$, $T^{353}>P$, $T^{389}>S$]-modified) and L2, conjugated to approximately 200 *sarotalocan* groups (near infrared absorbing dye) at N^6 of lysine residues;
 produced by human embryonic kidney 293 (HEK293) cells

belzupacap saratalocan

nanoparticle vide dérivée du virus du papillomavirus humain 16 (HPV) modifié, 55nm de diamètre, conjuguée à approximativement 200 molécules d'un photosensibilisant à base de phthalocyanine (groupe *sarotalocan*). Chaque particule est composée de 72 capsomères, faits de 5 molécules de protéine de capside virale L1 modifiée [$P^{78}>R$, $T^{176}>N$, $D^{273}>T$, $N^{285}>T$, $S^{288}>N$, $T^{353}>P$, $T^{389}>S$] et d'une molécule de protéine de capside virale L2;
 capside du virus du papillomavirus humain 16 (HPV16), une coquille sphérique de 72 unités de capsomère pentagonal ($L1_5(L2)_1$) s'auto-assemblant comprenant les protéines recombinantes de capside virale L1 ([$P^{78}>R$, $T^{176}>N$, $D^{273}>T$, $N^{285}>T$, $S^{288}>N$, $T^{353}>P$, $T^{389}>S$]-modifiée) et L2, conjuguées à environ 200 groupes *sarotalocan* (colorant absorbant les proches infra-rouges) en N^6 des résidus lysine ; produite par des cellules rénales embryonnaires humaines (HEK293)

belzupacap saratalocán

nanopartícula vacía derivada del virus del papilomavirus humano 16 (HPV) modificado, 55nm de diámetro, conjugado con aproximadamente 200 moléculas de un fotosensibilizante a base de ftalocianina (grupo *sarotalocán*). Cada partícula se compone de 72 capsómeros, hechos de 5 moléculas de proteína de cápside viral L1 modificada [$P^{78}>R$, $T^{176}>N$, $D^{273}>T$, $N^{285}>T$, $S^{288}>N$, $T^{353}>P$, $T^{389}>S$] y de una molécula de proteína de cápside viral L2;
 cápside del virus del papilomavirus humano 16 (HPV16), una cavidad esférica de 72 unidades de capsómero pentagonal ($L1_5(L2)_1$) que se autoensamblan abarcando las proteínas recombinantes de cápside viral L1 ([$P^{78}>R$, $T^{176}>N$, $D^{273}>T$, $N^{285}>T$, $S^{288}>N$, $T^{353}>P$, $T^{389}>S$]-modificada) y L2, conjugadas aproximadamente a 200 grupos *sarotalocán* (colorante absorbente infrarrojo cercano) en N^6 de los residuos de lisina ; producido por las células renales embrionarias humanas (HEK293)

Sequence / Séquence / Secuencia
major capsid protein L1:

```

MSLWLPLSEAT VYLPVVVFVSK VVSTDEYVAR TNIYHHAGTS RLLAVGHYPF 50
PIKKPPNNKIKI LVPKVSGLQY RVFRRIHLRP DKFGEFPDTSF YNPDTQLVLW 100
ACVGVEVGRQ QPLQVGISGH PLLNKLDDE NASAYAAANAG VDNRECISMD 150
YKQTQCLCLIG CRKPIGEHWG KGSPCNNAVW NGDCPFLIEI INTVIQGDQM 200
VDTGFGAMDFE TTLQANKSEV PLDICTSICK YPDYIKMVSE PYGDSLFFYL 250
RREQMFVRH E FNRRAGAVGEN VPTDLVYIKGS GSTATLANSN YFPTPSGSMV 300
TSDAOQFLNKP YWLQRAQGHN NGICWGNGOLF VTVVDITTRST NMSLCAIST 350
SEPTYKNTNF KEYLRHGEELY DLQFPIQLCK IILTDADMSY IHSNMSTILE 400
DWNFGLQPPP GGTLEDTYRF VTSQAIACQK HTPPAPKEDP LKKYTIFWEVN 450
IKEKFSADLDL QFPLGRKFLL QAGLKAQPKF TLGKRKATPT TSSTTTAKR 500
KKRKL

```

cyclic pentamer (175-428',175'-428",175"-428"',175'''-428)-disulfide, with further intermolecular disulfide bridges of unknown position linking the 72 pentamers together

minor capsid protein L2:

```

MRHHRSAKRT KRSATQLYK TCKQAGTCPP DIIIPKVEGKT IAEQILQYGS 50
MGVFFGGLGI GTGSGTGRTG YIPLVGPRT TATDTLAPVR PFLTVGPVGP 100
SDPSIVSIVE ETSFIDAGAP TSVPSIPDV SGFSITTTSD TTPAILDINN 150
TVTTVTITHN PFTDPSVLIQ EPTPAETGGH FTLSSTIST HNYEIPMDT 200
FIVSTNPNTV TSSTHIPGSR PVARLGLYSR TTQQVKVVDP AFVTTPTKLI 250
TYDNPAYEGI DVNDTLYFSS NDNSINIAPD PDFLDIVALH RPALTSRRTG 300
IRYSRIGNKQ TLRLTRSGKSI GARVHYYYDL STIDPAEEITE LQTITPSTYT 350
TTSHAASPTIS INNLGYDIYA DDFITDTSTT PVPSVPESTL SGYIPANTTI 400
PFGGAYNIPL VSGDPPIPINI TDQAPSILPI VPGSPQYTTII ADAGDFYHLH 450
SYYMLRKRRK RLPPYFFSDVS LAA

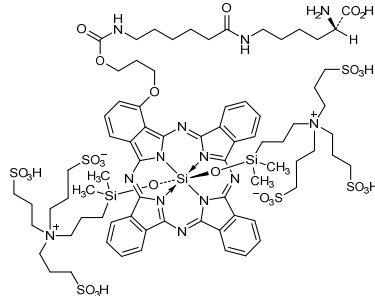
```

intramolecular disulfide bridge: 22-28

Glycosylation sites / Sites de glycosylation / Posiciones de glicosilación

None / aucune / ninguna

Potential modified residues / résidus modifiés potentiels / restos modificados potenciales



belzutifanum

belzutifan

3-{{(1*S*,2*S*,3*R*)-2,3-difluoro-1-hydroxy-7-(methanesulfonyl)-2,3-dihydro-1*H*-inden-4-yl}oxy}-5-fluorobenzonitrile

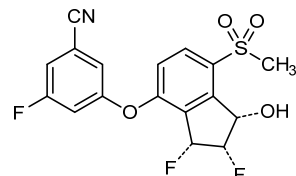
belzutifan

3-{{(1*S*,2*S*,3*R*)-2,3-difluoro-1-hydroxy-7-(méthanesulfonyl)-2,3-dihydro-1*H*-indén-4-yl}oxy}-5-fluorobenzonitrile

belzutifán

3-{{(1*S*,2*S*,3*R*)-2,3-difluoro-1-hidroxi-7-(metanosulfonil)-2,3-dihidro-1*H*-indén-4-il}oxi}-5-fluorobenzonitrilo

C₁₇H₁₂F₃NO₄S



bepranemab #

bepranemab

immunoglobulin G4-kappa, anti-[*Homo sapiens* MAPT (microtubule-associated protein tau, tau)], humanized monoclonal antibody; gamma4 heavy chain humanized (1-445) [VH (*Homo sapiens* IGHV4-4*08 (83.5%) -(IGHD) -IGHJ3*01 (93.3%)) CDR-IMGT [8.7.12] (26-33.51-57.96-107) (1-118)-*Homo sapiens* IGHG4*01, G4v5 h P10 (CH1 (119-216), hinge 1-12 S10>P (226) (217-228), CH2 (229-338), CH3 (339-443), CHS (444-445)) (119-445)], (132-219')-disulfide with kappa light chain humanized (1'-219') [V-KAPPA (*Homo sapiens* IGKV2-29*02 (90.0%) -IGKJ2*01 (100%)) CDR-IMGT [11.3.9] (27-37.55-57.94-102) (1'-112') -*Homo sapiens* IGKC*01 (100%), Km3 A45.1 (158), V101 (196) (113'-219')]; dimer (224-224":227-227")-bisdisulfide, produced in Chinese hamster ovary (CHO) cells, glycoform alfa

bépranémab

immunoglobuline G4-kappa, anti-[*Homo sapiens* MAPT (protéine tau associée aux microtubules, tau)], anticorps monoclonal humanisé; chaîne lourde gamma4 humanisée (1-445) [VH (*Homo sapiens* IGHV4-4*08 (83.5%) -(IGHD) -IGHJ3*01 (93.3%)) CDR-IMGT [8.7.12] (26-33.51-57.96-107) (1-118)-*Homo sapiens* IGHG4*01, G4v5 h P10 (CH1 (119-216), charnière 1-12 S10>P (226) (217-228), CH2 (229-338), CH3 (339-443), CHS (444-445)) (119-445)], (132-219')-disulfure avec la chaîne légère kappa humanisée (1'-219') [V-KAPPA (*Homo sapiens* IGKV2-29*02 (90.0%) -IGKJ2*01 (100%)) CDR-IMGT [11.3.9] (27-37.55-57.94-102) (1'-112') -*Homo sapiens* IGKC*01 (100%), Km3 A45.1 (158), V101 (196) (113'-219')]; dimère (224-224":227-227")-bisdisulfure, produite dans des cellules ovariennes de hamster chinois (CHO), glycoforme alfa

bepranemab

inmunoglobulina G4-kappa, anti-[*Homo sapiens* MAPT (proteína tau asociada a los microtúbulos, tau)], anticuerpo monoclonal humanizado; cadena pesada gamma4 humanizada (1-445) [VH (*Homo sapiens* IGHV4-4*08 (83.5%) -(IGHD) -IGHJ3*01 (93.3%)) CDR-IMGT [8.7.12] (26-33.51-57.96-107) (1-118)-*Homo sapiens* IGHG4*01, G4v5 h P10 (CH1 (119-216), bisagra 1-12 S10>P (226) (217-228), CH2 (229-338), CH3 (339-443), CHS (444-445)) (119-445)], (132-219')-disulfuro con la cadena ligera kappa humanizada (1'-219') [V-KAPPA (*Homo sapiens* IGKV2-29*02 (90.0%) -IGKJ2*01 (100%)) CDR-IMGT [11.3.9] (27-37.55-57.94-102) (1'-112') -*Homo sapiens* IGKC*01 (100%), Km3 A45.1 (158), V101 (196) (113'-219')]; dímero (224-224":227-227")-bisdisulfuro, producida por células ováricas de hamster chino (CHO), forma glicosilada alfa

Heavy chain / Chaîne lourde / Cadena pesada

EVQLQESGGG LVKPSETLSL TCTVSGFSLT SNDIAWIRQP PGKGLEWMGT 50
 IWTDGSTNYN TAVQSRVTIS VDTSKNQFSL KLSVSTAADT AVYYCARHRL 100
 YYGAFDYGWQQ GTMVTVSSAS TKGPSVFPLA PCSRSTSEST AALGCLVKDY 150
 FPEPVTVWSN SGALTSGVHT FPAVLQSSL YSLSVVTVVP SSSLGTTKTY 200
 CNVDHKPSNT KVDKRVESKY GPPCPCCPAP EFLGGPSVFL FFPKPKDTLM 250
 ISRTPEVTCV VVDVSQEDPE VQFNWYWDGV EVHNAKTKPQ EEEQFNSTYRV 300
 VSVLTVLHQD WLNGKEYKCK VSNKGLPSSI EKTISKARGG PPEQPVTLIP 350
 PSQEEMTNKQ VSLTCLVKGE YPSDIAVEWEE SNQEPENYY TTPPVLDSDG 400
 SFFLYSRLTV DKSRWQEGNV FSCSVMHEAL HNHYTQKSLS LSLGK 445

Light chain / Chaîne légère / Cadena ligera

DIVMTQTPLS LSVTPGQFAS ISCRSSQSLE YSDGYTLEW YLQKPGQSPQ 50
 LLIYEVSNRF SGVPDRFGS GSGTDFTLKI SRVEAEVGV YYCFQATHNP 100
 YTFCQGTTKLE IKRTVAAPSV FIFPPSDEQI KSGTASVVCL LNNFYPREAK 150
 VQMKVDNALQ SGNSQEVSTE QDSKDSTYSL SSTLTSKAD YEKHKVYACE 200
 VTHQGLSSPV TKSFRNRGEC 219

Post-translational modifications

Disulfide bridges location / Position des ponts disulfure / Posiciones de los puentes disulfuro
 Intra-H (C23-C104) 22-95 145-201 259-319 365-423
 22"-95" 145"-201" 259"-319" 365"-423"
 Intra-L (C23-C104) 23-93 139-199
 23"-93" 139"-199"
 Inter-H-L (CH1 10-CL 126) 132-219 132"-219"
 Inter-H-H (h 8, h 11) 224-224" 227-227"

N-glycosylation sites / Sites de N-glycosylation / Posiciones de N-glicosilación

H₂CH2N84:4:
 295, 295"

Fucosylated complex bi-antennary CHO-type glycans / glycanes de tipo CHO bi-antennaires complexes fucosylés / glicanos de tipo CHO biantenarios complejos fucosilados

bersacapavirum

bersacapavir

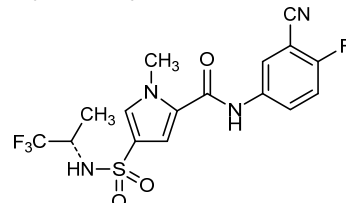
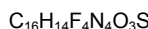
N-(3-cyano-4-fluorophenyl)-1-methyl-4-[(2*S*)-1,1,1-trifluoropropan-2-yl]sulfamoyl)-1*H*-pyrrole-2-carboxamide

bersacapavir

N-(3-cyano-4-fluorophényl)-1-méthyl-4-[(2*S*)-1,1,1-trifluoropropan-2-yl]sulfamoyl)-1*H*-pyrrole-2-carboxamide

bersacapavir

N-(3-ciano-4-fluorofenil)-1-metil-4-[(2*S*)-1,1,1-trifluoropropan-2-il]sulfamoilo]-1*H*-pirrolo-2-carboxamida

**bexmarilimabum #**

bexmarilimab

immunoglobulin G4-kappa, anti-[*Homo sapiens* STAB1 (stabilin 1, STAB-1, CLEVER-1, FEEL-1, FELE-1, FEX1, SCARH2)], humanized monoclonal antibody; gamma4 heavy chain humanized (1-449) [VH (*Homo sapiens*IGHV2-5*09 (91.8%) -(IGHD) -IGHJ4*01 (100%)) [10.7.14] (1-122) -*Homo sapiens*IGHG4*01, G4v5 h P10, G4v3 CH2 E1.2 (CH1 (123-220), hinge 1-12 S10>P (230)(221-232), CH2 L1.2>E (237) (233-342), CH3 (343-447), CHS (448-449)) (123-449)], (136-215')-disulfide with kappa light chain humanized (1'-215') [V-KAPPA (*Homo sapiens*IGKV3-20*01 (80.2%) -IGKJ2*01 (100%)) [7.3.9] (1'-108') -*Homo sapiens*IGKC*01 (100%), Km3 A45.1 (154), V101 (192) (109'-215')]; dimer (228-228":231-231")-bisdisulfide, produced in Chinese hamster ovary (CHO) cells, glycoform alfa

bexmarilimab

immunoglobuline G4-kappa, anti-[*Homo sapiens* STAB1 (stabilin 1, STAB-1, CLEVER-1, FEEL-1, FELE-1, FEX1, SCARH2)], anticorps monoclonal humanisé; chaîne lourde gamma4 humanisée (1-449) [VH (*Homo sapiens*IGHV2-5*09 (91.8%) -(IGHD) - IGHJ4*01 (100%)) [10.7.14] (1-122) -*Homo sapiens*IGHG4*01, G4v5 h P10, G4v3 CH2 E1.2 (CH1 (123-220), charnière 1-12 S10>P (230) (221-232), CH2 L1.2>E (237) (233-342), CH3 (343-447), CHS (448-449)) (123-449)], (136-215')-disulfure avec la chaîne légère kappa humanisée (1'-215') [V-KAPPA (*Homo sapiens*IGKV3-20*01 (80.2%) -IGKJ2*01 (100%)) [7.3.9] (1'-108') -*Homo sapiens*IGKC*01 (100%), Km3 A45.1 (154), V101 (192) (109'-215')]; dimère (228-228":231-231")-bisdisulfure, produit dans des cellules ovariennes de hamster chinois (CHO), glycoforme alfa

bexmarilimab

imunoglobulina G4-kappa, anti-[*Homo sapiens* STAB1 (stabilin 1, STAB-1, CLEVER-1, FEEL-1, FELE-1, FEX1, SCARH2)], anticuerpo monoclonal humanizado; cadena pesada gamma4 humanizada (1-449) [VH (*Homo sapiens*IGHV2-5*09 (91.8%) -(IGHD) - IGHJ4*01 (100%)) [10.7.14] (1-122) -*Homo sapiens*IGHG4*01, G4v5 h P10, G4v3 CH2 E1.2 (CH1 (123-220), bisagra 1-12 S10>P (230) (221-232), CH2 L1.2>E (237) (233-342), CH3 (343-447), CHS (448-449)) (123-449)], (136-215')-disulfuro con la cadena ligera kappa humanizada (1'-215') [V-KAPPA (*Homo sapiens*IGKV3-20*01 (80.2%) -IGKJ2*01 (100%)) [7.3.9] (1'-108') -*Homo sapiens*IGKC*01 (100%), Km3 A45.1 (154), V101 (192) (109'-215')]; dímero (228-228":231-231")-bisdisulfuro, producido por células ováricas de hamster chino (CHO), forma glicosilada alfa

Heavy chain / Chaîne lourde / Cadena pesada

QVTLKESGPT LVKPTQILTL TCSFSGFESLSS TSGMGIGWIR QPPGKALEWL 50
 AHIIWDDDKR YNPALKSRLT ISKDTSKNOV VLTMTNMDPV DTATYYCARH 100
 YGYDPYIAMD YWGQQTIVTV SSASTKGPSV FPLAPCSRST SESTAALGCL 150
 VKDYFFPEPV TWSWNSGALTS GVHTFPAVLQ SSGLYSLSVV VTVFVSSSLGT 200
 KTYTCNCVDRH PSNTKVDKRV ESKYGGPCP CPAAPEFEGGP SVFLFPKPK 250
 DTMISRTPE VTCVVVDVDSQ EDPEVQFWNY WDGVEVHNAP TKPREEQFNFS 300
 TYRVSVLTV LJQDWLNKE YKCKVSNKGL PSSIEKTISR AKGQPREGPV 350
 YTLPSQEEM TRKQVSITCL VKGEYPSDIA VEWESENQPE NNYKTTEPVLF 400
 DSDGSFPLYS RJTVDKSRWQ EGNVFSCSVM HEALHNHYTQ KSLSLSLGK 449

Light chain / Chaîne légère / Cadena ligera

EIVLTQSPGT LSLSPGERAT LSCTASSSVS SSYLHWYQQK PGKAKPPLL 50
 FTSNLASGVP SRFGSSGSGT DYTLTISLQ PEDFATYCHQ YHRSRPTFG 100
 QGTKLKRPV VAAEPSVIFIPF PSDEQLKSGT ASVCLLNNF YPREAKVQNK 150
 VDNALSGNS QSEVTEQDSK DSTYSLSSL TLSKADYEHK KVYACEVTHQ 200
 GLSSPFVTKS NRGE 215

Post-translational modifications

Disulfide bridges location / Position des ponts disulfure / Posiciones de los puentes disulfuro
 Intra-H (C23-C104) 22"-97" 149-205 263-323 369-427
 22"-97" 149"-205" 263"-323" 369"-427"
 Intra-L (C23-C104) 23"-89" 135"-195"
 23"-89" 135"-195"
 Inter-H-L (CH1 10-CL 126) 136-215" 136"-215"
 Inter-H-H (h8, h11) 228-228" 231-231"

N-glycosylation sites / Sites de N-glycosylation / Posiciones de N-glicosilación

HCH2 N84.4:

299, 299"

Fucosylated complex bi-antennary CHO-type glycans / glycanes de type CHO bi-antennaires complexes fucosylés / glicanos de tipo CHO biantenarios complejos fucosilados

bomedemstatum

bomedemstat

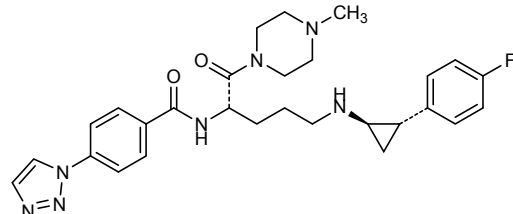
N-[(2S)-5-{{[(1R,2S)-2-(4-fluorophenyl)cyclopropyl]amino}-1-(4-methylpiperazin-1-yl)-1-oxopentan-2-yl]-4-(1H-1,2,3-triazol-1-yl)benzamide

bomédemstat

N-[(2S)-5-{{[(1R,2S)-2-(4-fluorophényl)cyclopropyl]amino}-1-(4-méthylpipérazin-1-yl)-1-oxopentan-2-yl]-4-(1H-1,2,3-triazol-1-yl)benzamide

bomedemstat

N-[(2S)-5-{{[(1R,2S)-2-(4-fluorofenil)ciclopropil]amino}-1-(4-metilpiperazin-1-il)-1-oxopentan-2-il]-4-(1H-1,2,3-triazol-1-il)benzamida

 $C_{28}H_{34}FN_7O_2$ **cevostamabum #**

cevostamab

immunoglobulin G1-kappa, anti-[*Homo sapiens* FCRL5 (Fc receptor like 5, FCRH5, IRTA2, BXMAS1, CD307e)] and anti-[*Homo sapiens* CD3E (CD3 epsilon, Leu-4)], monoclonal antibody, bispecific trivalent; gamma1 heavy chain anti-FCRL5 (1-450) [VH (*Mus musculus* IGHV2-4*01 (77.1%) -(IGHD) -IGHJ3*01 (90.9%)/*Homo sapiens* IGHV4-4*08 (72.9%) -(IGHD) -IGHJ5*01 (85.7%)) CDR-IMGT [8.7.14] (26-33.51-57.96-109) (1-120) -*Homo sapiens*IGHG1*03v, G1m3>G1m17, nG1m1, G1v30 CH2 G84.4, G1v32 CH3 W22 (CH1 R120>K (217) (121-218), hinge 1-15 (219-233), CH2 N84.4>G (300) (234-343), CH3 E12 (359), M14 (361), T22>W (369) (344-448), CHS (449-450)) (121-450)], (223-214')-disulfide with kappa light chain anti-FCRL5 (1'-214') [V-KAPPA (*Homo sapiens* IGKV1-16*01 (83.2%) -IGKJ1*01 (91.7%)) CDR-IMGT [6.3.9] (27-32.50-52.89-97) (1'-107') -*Homo sapiens* IGKC*01 (100%), Km3 A45.1 (153), V101 (191) (108'-214')]; gamma1 heavy chain anti-CD3 (1"-449") [VH (*Homo sapiens* IGHV1-3*01 (82.7%) -(IGHD) -IGHJ4*01 (100%)) CDR-IMGT [8.8.12] (26-33.51-58.97-108) (1"-119") -*Homo sapiens*IGHG1*03v, G1m3>G1m17, nG1m1, G1v30 CH2 G84.4, G1v33 S22, A24, V86 (CH1 R120>K (216) (120-217), hinge 1-15 (218-232), CH2 N84.4>G (299) (233-342), CH3 E12 (358), M14 (360), T22>S (368), L24>A (370), Y86>V (409) (343-447), CHS (448-449)) (120"-449")], (222"-219")-disulfide with kappa light chain anti-CD3 (1""-219") [V-KAPPA (*Homo sapiens* IGKV4-1*01 (88.8%) -IGKJ1*01 (100%)) CDR-IMGT [12.3.8] (27-38.56-58.95-102) (1""-112") -*Homo sapiens* IGKC*01 (100%), Km3 A45.1 (158), V101 (196) (113""-219")]; dimer (229-228":232-231")-bisdisulfide, produced in Chinese hamster ovary (CHO) cells

cévostamab	immunoglobuline G1-kappa anti-[<i>Homo sapiens</i> FCRL5 (récepteur Fc like 5, FCRH5, IRTA2, BXMAS1, CD307e)] et anti-[<i>Homo sapiens</i> CD3E (CD3 epsilon, Leu-4)], anticorps monoclonal, bispécifique tétravalent; chaîne lourde gamma1 anti-FCRL5 (1-450) [VH (<i>Mus musculus</i> IGHV2-4*01 (77.1%) -(IGHD) -IGHJ3*01 (90.9%)/ <i>Homo sapiens</i> IGHV4-4*08 (72.9%) -(IGHD) -IGHJ5*01 (85.7%)) CDR-IMGT [8.7.14] (26-33.51-57.96-109) (1-120) - <i>Homo sapiens</i> IGHG1*03v, G1m3>G1m17, nG1m1, G1v30 CH2 G84.4, G1v32 CH3 W22 (CH1 R120>K (217) (121-218), charnière 1-15 (219-233), CH2 N84.4>G (300) (234-343), CH3 E12 (359), M14 (361), T22>W (369) (344-448), CHS (449-450) (121-450)], (223-214')-disulfure avec la chaîne légère kappa anti-FCRL5 (1'-214') [V-KAPPA (<i>Homo sapiens</i> IGKV1-16*01 (83.2%) -IGKJ1*01 (91.7%)) CDR-IMGT [6.3.9] (27-32.50-52.89-97) (1'-107') - <i>Homo sapiens</i> IGKC*01 (100%), Km3 A45.1 (153), V101 (191) (108'-214')]; chaîne lourde gamma1 anti-CD3 (1"-449") [VH (<i>Homo sapiens</i> IGHV1-3*01 (82.7%) -(IGHD) -IGHJ4*01 (100%)) CDR-IMGT [8.8.12] (26-33.51-58.97-108) (1"-119") - <i>Homo sapiens</i> IGHG1*03v, G1m3>G1m17, nG1m1, G1v30 CH2 G84.4, G1v33 S22, A24, V86 (CH1 R120>K (216) (120-217), charnière 1-15 (218-232), CH2 N84.4>G (299) (233-342), CH3 E12 (358), M14 (360), T22>S (368), L24>A (370), Y86>V (409) (343-447), CHS (448-449) (120"-449")], (222"-219")-disulfure avec la chaîne légère kappa anti-CD3 (1"-219") [V-KAPPA (<i>Homo sapiens</i> IGKV4-1*01 (88.8%) -IGKJ1*01 (100%)) CDR-IMGT [12.3.8] (27-38.56-58.95-102) (1"-112") - <i>Homo sapiens</i> IGKC*01 (100%), Km3 A45.1 (158), V101 (196) (113""-219"]); dimère (229-228":232-231")-bisdisulfure, produit dans des cellules ovariennes de hamster chinois (CHO)
cevostamab	imunoglobulina G1-kappa anti-[<i>Homo sapiens</i> FCRL5 (receptor Fc like 5, FCRH5, IRTA2, BXMAS1, CD307e)] y anti-[<i>Homo sapiens</i> CD3E (CD3 épsilon, Leu-4)], anticuerpo monoclonal, biespecífico tetravalente; cadena pesada gamma1 anti-FCRL5 (1-450) [VH (<i>Mus musculus</i> IGHV2-4*01 (77.1%) -(IGHD) -IGHJ3*01 (90.9%)/ <i>Homo sapiens</i> IGHV4-4*08 (72.9%) -(IGHD) -IGHJ5*01 (85.7%)) CDR-IMGT [8.7.14] (26-33.51-57.96-109) (1-120) - <i>Homo sapiens</i> IGHG1*03v, G1m3>G1m17, nG1m1, G1v30 CH2 G84.4, G1v32 CH3 W22 (CH1 R120>K (217) (121-218), bisagra 1-15 (219-233), CH2 N84.4>G (300) (234-343), CH3 E12 (359), M14 (361), T22>W (369) (344-448), CHS (449-450) (121-450)], (223-214')-disulfuro con la cadena ligera kappa anti-FCRL5 (1'-214') [V-KAPPA (<i>Homo sapiens</i> IGKV1-16*01 (83.2%) -IGKJ1*01 (91.7%)) CDR-IMGT [6.3.9] (27-32.50-52.89-97) (1'-107') - <i>Homo sapiens</i> IGKC*01 (100%), Km3 A45.1 (153), V101 (191) (108'-214')]; cadena pesada gamma1 anti-CD3 (1"-449") [VH (<i>Homo sapiens</i> IGHV1-3*01 (82.7%) -(IGHD) -IGHJ4*01 (100%)) CDR-IMGT [8.8.12] (26-33.51-58.97-108) (1"-119") - <i>Homo sapiens</i> IGHG1*03v, G1m3>G1m17, nG1m1, G1v30 CH2 G84.4, G1v33 S22, A24, V86 (CH1 R120>K (216) (120-217), bisagra 1-15 (218-232), CH2 N84.4>G (299) (233-342), CH3 E12 (358), M14 (360), T22>S (368), L24>A (370), Y86>V (409) (343-447), CHS (448-449) (120"-449")], (222"-219")-disulfuro con la cadena ligera kappa anti-CD3 (1"-219") [V-KAPPA (<i>Homo sapiens</i> IGKV4-1*01 (88.8%) -IGKJ1*01 (100%)) CDR-IMGT [12.3.8] (27-38.56-58.95-102) (1"-112") - <i>Homo sapiens</i> IGKC*01 (100%), Km3 A45.1 (158), V101 (196) (113""-219)]; dímero (229-228":232-231")-bisdisulfuro, producido por células ováricas de hamster chino (CHO)

Heavy chain / Chaîne lourde / Cadena pesada (anti-FCRL5)

EVQLVESPGV	LVKPSETLSL	TCTVSGFSLT	RFGVHWVRQP	PGKGLEWLGV	50
IWRGGSTDYV	AAFVSRITIS	KDNSKNQVSL	KLSSVIAADT	AVYYCSNHYY	100
GSSDYALDNW	GGQTLTVVSS	ASTKGPSVFP	LAPSSKSTSG	GTAAALGCLVK	150
DYFPEPVTVS	WNSGALTSGV	HTFFPAVLQSS	GLYSLSVVTT	VPSSSLGTQT	200
YICVNHHKPS	NTKVDKKVEP	KSCDKTHTCPP	CPAPELLGG	PSVFLFPPKP	250
KDTLMISRTP	EVTCVVVDVS	HEDPEVKFNW	YVDGEVHNAA	KTKPREEQYIG	300
STYRVSLSLT	VLHQDWLNGK	EYCKCVSNKA	LPAPIEKTIKS	KAKGQPREGQ	350
VYTLPSPSREEM	MTKNQVSLWC	LVKGFYPSDI	AWEWESNGQP	ENNYKTTPPV	400
LDSDGSFFLY	SKLTVDKSRW	QGNVFSCSV	MHEALHNHYT	QKSLSLSPKG	450

Light chain / Chaîne légère / Cadena ligera (anti-FCRL5)

DIQMTOQSPSS	LSASVGDRVTI	ITCKASQDVR	NLVVWFQQKP	GKAPKLLIYS	50
GSYRYSGVPV	RFGSGSGTD	FTLTISSLQP	EDFATYYCQQ	HYSPPYTFQG	100
GTKVEIKRTV	AAFSVFIFPP	SDEQLKSGTA	SVVCLNNNFY	PREAKVQVKV	150
DNALQSGNSQ	ESVTEQDSKD	STYSLSSTLT	LSKADYEKHK	VYACEVTHQG	200
LSSPVTKFSN	RGEC				214

Heavy chain / Chaîne lourde / Cadena pesada (anti-CD3)

EVOLVQSGAE	VKKPGASVKV	SCKASGFTFT	SYIHWVRQA	PGQGLEWIGW	50
IYPENDNTKY	NEFKFKDRVTI	TADISTSTAY	LELSSLRSED	TAVYYCARDG	100
YSRYYFDYWG	QGTLVTVSSA	STKGPSVPL	AFSSKSTSGG	TAALGCLVKD	150
YFPEPVTVSW	NSGALTSGVH	TFPAVLQSSG	LYSLSVVTV	PSSSLGTQTY	200
ICNVNHHKPSN	TKVDKKVEPK	SCDKTHTCPP	CPAPELLGG	SVFLFPPKP	250
DTLTMISRTP	VTCVVVDVSH	EDPEVKFNWY	VDGVEVHNAA	TKPREEQYGS	300
TYRVVSVLTV	LHQDWLNGKE	YKCKVSNKAL	PAPIEKTIKS	AKGQPREGQV	350
YTLPPSREEM	TKNQVSLSCA	VKGFYPSDI	AWEWESNGQE	ENNYKTTPPV	400
DSDGSSLFLVS	KLTVDKSRWQ	QGNVFSCSV	MHEALHNHYTQ	QKSLSLSPKG	449

Light chain / Chaîne légère / Cadena ligera (anti-CD3)

DIVMTQSPDS	LAWSLGERAT	INCKSSQSLL	NSRTRKNYLA	WYQQKPGQSP	50
KLLIYWTRSTR	KSGVPDRFSG	SGSGTDFTLT	ISSLQAEDVA	VYCKQSFIL	100
RTFGQGTKVE	IKRTVAAAPSV	FIFPPSDEQL	KSGTAGSVCL	LNNFYPREAK	150
VQWKVDNALQ	SGNSQESVTE	QDSKDSTYSL	SSTLTLSKAD	YEKHKVYACE	200
VTHQGLSSPV	TKSFNRGEC				219

Post-translational modifications

Disulfide bridges location / Position des ponts disulfure / Posiciones de los puentes disulfuro

Intra-H (C23-C104)	22-95	147-203	264-324	370-428
	22"-96"	146"-202"	263"-323"	369"-427"
Intra-L (C23-C104)	23"-88"	134"-194"		
	23"-94"	139"-199"		
Inter-H-L (h 5-CL 126)	223-214'	222"-219"		
Inter-H-H (h 11, h 14)	229-228"	232-231"		

No N-glycosylation sites / pas de sites de N-glycosylation / ningún posición de N-glicosilación:
H CH₂ N84.4>G;
300, 299"

ciltacabtagenum autoleucelum #

ciltacabtagene autoleucel

autologous peripheral blood mononuclear cell (PBMC)-derived T lymphocytes transduced *ex vivo* with a non-replicating, self-inactivating (SIN) lentiviral vector encoding a chimeric antigen receptor (CAR) targeting two epitopes of the human B cell maturation antigen (BCMA) under the control of a human elongation factor 1 alpha (EF1α) promoter

The coding sequence comprises a human CD8 alpha signal peptide (CD8α SP), a BCMA targeting domain consisting of two variable heavy chain-only antibodies (VHH1 and VHH2) targeting two distinct BCMA epitopes, a human CD8 alpha hinge and transmembrane domain (CD8α hinge + TM), a human CD137 cytoplasmic domain (4-1BB) and a human CD3 zeta cytoplasmic domain (CD3ζ).

The vector genome contains a chimeric Rous sarcoma virus (RSV)/truncated 5'LTR and a self-inactivating 3'LTR-SIN (Δ-U3).

ciltacabtagène autoleucel

lymphocytes T autologues dérivés de cellules mononucléées du sang périphérique (PBMC) transduits *ex vivo* avec un vecteur lentival non-répliquant, auto-inactivant (SIN) codant pour un récepteur d'antigène chimérique (CAR) ciblant deux épitopes de l'antigène de maturation des lymphocytes B (BCMA) humains sous le contrôle d'un promoteur du facteur d'elongation 1-alpha humain (EF1 α)

La séquence code pour un peptide signal CD8 alpha humain (CD8 α SP), un domaine ciblant le BCMA consistant en seulement la partie variable des chaînes lourdes (VHH1 et VHH2) de deux anticorps dirigés contre deux épitopes du BCMA, une charnière et un domaine transmembranaire du CD8 alpha humain, un domaine cytoplasmique du CD 137 humain (4-1BB) et un domaine cytoplasmique du CD3 zéta humain (CD3 ζ).

Le génome du vecteur contient en 5', une séquence LTR (terminale longue répétée) tronquée d'un virus du sarcome de Rous (RSV) chimérique et en 3', une séquence LTR-SIN (Δ -U3) auto-inactivante.

ciltacabtagén autoleucel

linfocitos T autólogos derivados de células mononucleares de sangre periférica (PBMC) transducidos *ex vivo* con un vector lentival no replicativo, auto inactivante (SIN), que codifica para un receptor de antígenos quimérico (CAR) dirigido a dos epítopos del antígeno de maduración de linfocitos B (BCMA) humano bajo el control de un promotor del factor de elongación 1 alfa humano (promotor EF1 α). La secuencia codificante consta de un péptido señal del CD8 alfa humano, un dominio dirigido a BCMA consistente en sólo la parte variable de las cadenas pesadas (VHH1 y VHH2) de dos anticuerpos dirigidos a dos epítopos de BCMA, una bisagra y un dominio transmembrana del CD8 alfa humano, un dominio citoplásмico del CD137 humano (4-1BB) y un dominio citoplásмico del CD3 zeta humano (CD3 ζ). El genoma del vector contiene un LTR 5' truncado/RSV (virus del sarcoma de Rous) químérico y un LTR 3'-SIN auto inactivante (Δ -U3).

conendostatinum

conendostatin

L-methionyl-human endostatin [human collagen type XVIII α -1 (COL18A1) C-terminal (1572-1754)-fragment (1-183)], canonical D¹⁰⁴, R¹¹⁰, S¹⁵⁰ form, produced in *Escherichia coli*

conendostatine

L-méthionyl-endostatine humaine [fragment C-terminal (1572-1754) du collagène humain de type XVIII α -1 (COL18A1) (1-183)], forme canonique D¹⁰⁴, R¹¹⁰, S¹⁵⁰, produit dans *Escherichia coli*

conendostatina

L-metionil-endostatina humana [fragmento C-terminal (1572-1754) del colágeno humano de tipo XVIII α -1 (COL18A1) (1-183)], forma canónica D¹⁰⁴, R¹¹⁰, S¹⁵⁰, producido en *Escherichia coli*

Sequence / Séquence / Secuencia

M	0
HSHRDFQPV LHLVALNSPLS GGMRGIRGAD FQCFQQARAV GLAGTFRAFI	50
SSRLQDLYSI VRRADRAAVP IVNLKDELLF PSWEALFSGS EGPLKPGARI	100
FSFDGKDVL R HPTWPQKS梧 HGSDPNGRRL TESYCETWRT EAPSATGQAS	150
SLLGGGRLLGQ SAAASCHAYI VLCIENSFMT ASK	183

Post-translational modifications / Modifications post-traductionnelles / Modificaciones posttraduccionales

Disulfide bridges location / Position des ponts disulfure / Posiciones de los puentes disulfuro intra-chain 33-165 135-173

Glycosylation sites / Sites de glycosylation / Posiciones de glicosilación
None / aucune / ninguna

cudarolimab #

cudarolimab

immunoglobulin G1-kappa, anti-[*Homo sapiens* TNFRSF4 (tumor necrosis factor receptor (TNFR) superfamily member 4, ACT35, OX40, CD134)], *Homo sapiens* monoclonal antibody; gamma1 heavy chain *Homo sapiens* (1-453) [VH (*Homo sapiens*IGHV3-30*03 (100%) -(IGHD) - IGHJ3*02 (100%) CDR-IMGT [8.8.17] (26-33.51-58.97-113) (1-124) -*Homo sapiens*IGHG1*01 (100%) G1m17,1 (CH1 K120 (221) (125-222), hinge 1-15 (223-237), CH2 (238-347), CH3 D12 (363), L14 (365) (348-452), CHS K>del (453)) (125-453)], (227-213')-disulfide with kappa light chain *Homo sapiens* (1'-213') [V-KAPPA (*Homo sapiens*IGKV1-33*01 (96.8%) - IGKJ4*01 (100%)) CDR-IMGT [6.3.8] (27-32.50-52.89-96) (1'-106') -*Homo sapiens*IGKC*01 (100%), Km3 A45.1 (152), V101 (190) (107'-213')]; dimer (233-233":236-236")-bisdisulfide, produced in Chinese hamster ovary (CHO) cells, glycoform alfa

cudarolimab

immunoglobuline G1-kappa, anti-[*Homo sapiens* TNFRSF4 (membre 4 de la superfamille des récepteurs du facteur de nécrose tumorale, ACT35, OX40, CD134)], anticorps monoclonal *Homo sapiens*; chaîne lourde gamma1 *Homo sapiens* (1-453) [VH (*Homo sapiens*IGHV3-30*03 (100%) -(IGHD) - IGHJ3*02 (100%) CDR-IMGT [8.8.17] (26-33.51-58.97-113) (1-124) -*Homo sapiens*IGHG1*01 (100%) G1m17,1 (CH1 K120 (221) (125-222), charnière 1-15 (223-237), CH2 (238-347), CH3 D12 (363), L14 (365) (348-452), CHS K>del (453)) (125-453)], (227-213')-disulfure avec la chaîne légère kappa *Homo sapiens* (1'-213') [V-KAPPA (*Homo sapiens*IGKV1-33*01 (96.8%) -IGKJ4*01 (100%)) CDR-IMGT [6.3.8] (27-32.50-52.89-96) (1'-106') -*Homo sapiens*IGKC*01 (100%), Km3 A45.1 (152), V101 (190) (107'-213')]; dimère (233-233":236-236")-bisdisulfure, produite dans des cellules ovarianes de hamster chinois (CHO), glycoforme alfa

cudarolimab

immunoglobulina G1-kappa, anti-[*Homo sapiens* TNFRSF4 (miembro 4 de la superfamilia de los receptores del factor de necrosis tumoral, ACT35, OX40, CD134)], anticuerpo monoclonal *Homo sapiens*;

cadena pesada gamma1 *Homo sapiens* (1-453) [VH (*Homo sapiens* IGHV3-30*03 (100%) -(IGHD) - IGHJ3*02 (100%)) CDR-IMGT [8.8.17] (26-33.51-58.97-113) (1-124) -*Homo sapiens* IGHG1*01 (100%) G1m17.1 (CH1 K120 (221) (125-222), bisagra 1-15 (223-237), CH2 (238-347), CH3 D12 (363), L14 (365) (348-452), CHS K>del (453)) (125-453)], (227-213')-disulfuro con la cadena ligera kappa *Homo sapiens* (1'-213') [V-KAPPA (*Homo sapiens* IGKV1-33*01 (96.8%) -IGKJ4*01 (100%)) CDR-IMGT [6.3.8] (27-32.50-52.89-96) (1'-106') -*Homo sapiens* IGKC*01 (100%), Km3 A45.1 (152), V101 (190) (107'-213')]; dímero (233-233":236-236")-bisdisulfuro, producida por células ováricas de hamster chino (CHO), forma glicosilada alfa

Heavy chain / Chaîne lourde / Cadena pesada
 QVQLVESGGG VVQPGRSLRL SCAASGFTPS SYGMHWVRQA PGKGLEWAVV 50
 ISYDGNSKYY ADSVKGRFTI SRDINSKNTLY LQMNSLRAED TAVYYCARGR 100
 FWYSETGTS A FDINGQGTMV TVSSASTKGP SVFPLAPSSK STSGGTAALG 150
 CLVKRDYFPEP VTWSWNSGAL TSGVHTFPAV LQSSGLYLSL SVVTVPSSL 200
 GTQTYYCNCVA HKPSNTKVKDK KVEPKSCDKT HTCPCCPAPPE LLGGPSVLF 250
 PPKPKDTLMI SRTPEVTCVV VDVSHDEPVE KFNWYVDGVE VHNAKTKPQE 300
 EQYNSTYRVV SVLTVLHQDW LNGKEYKKV SNKALPAPIE KTISKAKGQP 350
 REPQVYTLLPP SRDELTKNQV SLTCLVKGFY PSDIAVEWES NGQPENNYKT 400
 TPPVLDSDGS FFLYSKLTVD KSRWQQGNVF SCSTMHEALH NHYTQKSLSL 450
 SPG

Light chain / Chaîne légère / Cadena ligera
 DIQMTQSPSS LSASVGRDRV ITTCQASQDIS NYLNWYQQKP GKAPKLLIYD 50
 ASNLETGVFS RFSGSGSGTD FTFTISSLQP EDIATYYCQQ SDHYPTFGGG 100
 TKVEIKRTVA APFSVIFPPS DEQLKSGTAS VVCLLNNFYP REAKVQWKVD 150
 NALQSGNSNQE SVTEQDSKDS TYSSLSTLTL SKADYEKHKV YACEVTHQGL 200
 SSPVTKSFNR GEC 213

Post-translational modifications
 Disulfide bridges location / Position des ponts disulfure / Posiciones de los puentes disulfuro
 Intra-H (C23-C104) 22-96 151-207 268-328 374-432
 22"-96" 151"-207" 268"-328" 374"-432"
 Intra-L (C23-C104) 23"-88" 133"-193"
 23"-88" 133"-193"
 Inter-H-L (h 5-CL 126) 227-213" 227"-213"
 Inter-H-H (h 11, h 14) 233-233" 236-236"

N-glycosylation sites / Sites de N-glycosylation / Posiciones de N-glicosilación
 H CH2 N84:4;
 304, 304"
 Fucosylated complex bi-antennary CHO-type glycans / glycanes de type CHO bi-antennaires complexes fucosylés / glicanos de tipo CHO biantenarios complejos fucosilados

dapatifagenum navolactibacum # dapatifagene navolactibac

A recombinant live attenuated *Lactococcus lactis*, subspecies *cremoris* (strain MG1363), expressing a fusion protein comprising lactococcal secretion leader SSusp45 and human trefoil factor protein 1 (hTFF1), driven by the promoter from the homologous *hIIA* gene (*PhIIA*); the transduced gene is located in the thymidylate synthase A (*thyA*) locus which has been deleted (930102-930469).

dapatifagène navolactibac

Lactococcus lactis, sous-espèce *cremoris*, recombinante (souche MG1363), vivante atténueée exprimant une protéine de fusion consistant en le leader de sécrétion lactococcique SSusp45 et le facteur en trèfle-1 humain (hTFF1), sous le contrôle du promoteur du gène homologue *hIIA* (*PhIIA*); le gène transduit est localisé sur le locus de la thymidylate synthase A (*thyA*) qui a été supprimé (930102-930469).

dapatifagén navolactibac

Lactococcus lactis, subespecie *cremoris* (cepa MG1363), recombinante, viva atenuada, que expresa una proteína de fusión consistente en el leader de secreción lactocócica SSusp45 y la proteína 1 del factor trébol humano (hTF1), dirigida por el promotor del gen homólogo *hIIA* (*PhIIA*); el gen transducido se localiza en el locus de la timidilato sintasa A (*thyA*), que ha sido delecionado (930102-930469).

datopotamab #

datopotamab

immunoglobulin G1-kappa, anti-[*Homo sapiens* TACSTD2 (tumor-associated calcium signal transducer 2, membrane component chromosome 1 surface marker 1, M1S1, gastrointestinal tumor-associated antigen GA7331, pancreatic carcinoma marker protein GA733-1, epithelial glycoprotein-1, EGP-1, trophoblast antigen-2, cell surface glycoprotein Trop-2, TROP2)], humanized monoclonal antibody; gamma1 heavy chain humanized (1-451) [VH (*Homo sapiens*IGHV1-3*01 (79.6%) -(IGHD) -IGHJ4*01 (93.3%)) [8.8.14] (1-121) -*Homo sapiens*IGHG1*03 (100%) G1m3, nG1m1 (CH1 R120 (218) (122-219), hinge 1-15 (220-234), CH2 (235-344), CH3 E12 (360), M14 (362) (345-449), CHS (450-451)) (122-451)], (224-214')-disulfide with kappa light chain humanized (1'-214') [V-KAPPA (*Homo sapiens* IGKV1-39*01 (84.2%) -IGKJ2*01 (100%)) [6.3.9] (1'-107') -*Homo sapiens*IGKC*01 (100%), Km3 A45.1 (153), V101 (191) (108'-214')]; dimer (230-230":233-233")-bisdisulfide, produced in Chinese hamster ovary (CHO) cells, glycoform alfa

datopotamab

immunoglobuline G1-kappa, anti-[*Homo sapiens* TACSTD2 (transducteur 2 de signaux calciques associé aux tumeurs, composant membranaire du chromosome 1 marqueur de surface 1, M1S1, antigène GA7331 associé aux tumeurs gastrointestinales, protéine GA733-1 marqueur de carcinomes pancréatiques, glycoprotéine épithéliale 1, EGP-1, antigène 2 du trophoblaste, glycoprotéine Trop-2 à la surface des cellules, TROP2)], anticorps monoclonal humanisé; chaîne lourde gamma1 humanisée (1-451) [VH (*Homo sapiens*IGHV1-3*01 (79.6%) -(IGHD) -IGHJ4*01 (93.3%)) [8.8.14] (1-121) -*Homo sapiens*IGHG1*03 (100%) G1m3, nG1m1 (CH1 R120 (218) (122-219), charnière 1-15 (220-234), CH2 (235-344), CH3 E12 (360), M14 (362) (345-449), CHS (450-451)) (122-451)], (224-214')-disulfure avec la chaîne légère kappa humanisée (1'-214') [V-KAPPA (*Homo sapiens* IGKV1-39*01 (84.2%) -IGKJ2*01 (100%)) [6.3.9] (1'-107') -*Homo sapiens*IGKC*01 (100%), Km3 A45.1 (153), V101 (191) (108'-214')]; dimère (230-230":233-233")-bisdisulfure, produit dans des cellules ovariennes de hamster chinois (CHO), glycoforme alfa

datopotamab

inmunoglobulina G1-kappa, anti-[*Homo sapiens* TACSTD2 (transductor 2 de señales cárnicas asociado a los tumores, componente membranario del cromosoma 1 marcador de superficie 1, M1S1, antígeno GA7331 asociado a los tumores gastrointestinales, proteína GA733-1 marcador de carcinomas pancreáticos, glicoproteína epitelial 1, EGP-1, antígeno 2 del trofoblasto, glicoproteína Trop-2 en la superficie de las células, TROP2)], anticuerpo monoclonal humanizado; cadena pesada gamma1 humanizada (1-451) [VH (*Homo sapiens*IGHV1-3*01 (79.6%) -IGHD1-IGHJ4*01 (93.3%)) [8.8.14] (1-121) -*Homo sapiens*IGHG1*03 (100%) G1m3, nG1m1 (CH1 R120 (218) (122-219), bisagra 1-15 (220-234), CH2 (235-344), CH3 E12 (360), M14 (362) (345-449), CHS (450-451)) (122-451)], (224-214')-disulfuro con la cadena ligera kappa humanizada (1'-214') [V-KAPPA (*Homo sapiens*IGKV1-39*01 (84.2%) -IGKJ2*01 (100%)) [6.3.9] (1'-107") -*Homo sapiens*IGKC*01 (100%), Km3 A45.1 (153), V101 (191) (108'-214')]; dímero (230-230"-233-233")-bisdisulfuro, producido por células ováricas de hamster chino (CHO), forma glicosilada alfa

Heavy chain / Chaîne lourde / Cadena pesada

QVQLVQSGAE VKKPGASVKV SCKASGYTFT TAGMQWVRQA PGQQGLEWMGW 50
INTHSVGPKY AEDFKGRVTI SADSTSTAY LQLSLSKSED TAVYYCARSG 100
FGSSYWVFDPV WGQGLTVTVS SASTKGPSVF PLAPSSKSTS GGTAALGCLV 150
KDYPFPEPVTV SWNSGALTSG VHTFFPAVLOS SGLYLSSLSSV TVPSSSLGTQ 200
TYICNVNHHKP SNTKVDKRVF PKSCDKTHTC PPCPAPELLG GPSPVFLFPK 250
PKDTLMISRT PEVTCVVVDV SHEDPEVKFN WYTDVGEVHN AKTKPREEQY 300
NSTYRVRVSVL TVLHQDWLNG KEYKCKVSNK ALPAPIEKTI SAKAQQRREP 350
QVYTLPSPRE EMTKQNQVSLT CLVKGFYPSD IAVEWEWSNQ PENNYKTTPP 400
VLDSDGSGFFL YSKLTVDKRSR WQQGNVFSCS VMHEALHNHY TQKSLSLSPG 450
K

Light chain / Chaîne légère / Cadena ligera

DIQMTQSPSS LSASVGDRTV ITCKASQDV S TAVAWYQQKP GKAPKLILIYS 50
ASYRTYGVPV RFSGSGSGTD FTLTISSLQP EDFAVYYCQY HYITPLTFQ 100
GKLEIKRTV AAPSVFIPPP SDEQLKSGTA SVVCLLNNFY PREAKVQKVY 150
DNALQSGNSQ ESVTEQDSKD STYSLSSSTLT LSKADYEKHK VYACEVTHHQ 200
LSSPVTKSFN RGEC 214

Post-translational modifications

Disulfid bridges location / Position des ponts disulfure / Posiciones de los puentes disulfuro
Intra-H (C23-C104) 22-96 148-204 265-325 371-429
22"-96" 148"-204" 265"-325" 371"-429"
Intra-L (C23-C104) 23"-88" 134"-194"
23"-88" 134"-194"
Inter-H-L (h 5-CL 126) 224-214" 224"-214"
Inter-H-H (h 11, h 14) 230-230" 233-233"

N-glycosylation sites / Sites de N-glycosylation / Posiciones de N-glicosilación
H CH2 N84.4;
301, 301"

Fucosylated complex bi-antennary CHO-type glycans / glycanes de type CHO bi-antennaires complexes fucosylés / glicanos de tipo CHO biantenarios complejos fucosilados

C-terminal lysine clipping:

H CHS K2:
451, 451"

datopotamab deruxtecan

datopotamab deruxtecan

immunoglobulin G1-kappa, anti-[*Homo sapiens* TACSTD2 (tumor-associated calcium signal transducer 2, membrane component chromosome 1 surface marker 1, M1S1, gastrointestinal tumor-associated antigen GA7331, pancreatic carcinoma marker protein GA733-1, epithelial glycoprotein-1, EGP-1, trophoblast antigen-2, cell surface glycoprotein Trop-2, TROP2)], humanized monoclonal antibody conjugated to deruxtecan, comprising a linker and a camptothecin derivative;

gamma1 heavy chain humanized (1-451) [VH (*Homo sapiens* IGHV1-3*01(79.6%) -(IGHD) - IGHJ4*01 (93.3%)) CDR-IMGT [8.8.14] (26-33.51-58.97-110) (1-121) -*Homo sapiens* IGHG1*03 (100%) G1m3, nG1m1 (CH1 R120 (218) (122-219), hinge 1-15 (220-234), CH2 (235-344), CH3 E12 (360), M14 (362) (345-449), CHS (450-451)) (122-451)], (224-214')-disulfide with kappa light chain humanized (1'-214') [V-KAPPA (*Homo sapiens* IGKV1-39*01 (84.2%) -IGKJ2*01 (100%)) CDR-IMGT [6.3.9] (27-32.50-52.89-97) (1'-107') -*Homo sapiens* IGKC*01 (100%), Km3 A45.1 (153), V101 (191) (108'-214')]; dimer (230-230":233-233")-bisdisulfide; produced in Chinese hamster ovary (CHO) cells, glycoform alfa, conjugated, on an average of 4 cysteinyl, to *déruxtecan*, comprising a linker and a camptothecin derivative

datopotamab déruxtécan

immunoglobuline G1-kappa, anti-[*Homo sapiens* TACSTD2 (transducteur 2 de signaux calciques associé aux tumeurs, composant membranaire du chromosome 1 marqueur de surface 1, M1S1, antigène GA7331 associé aux tumeurs gastrointestinales, protéine GA733-1 marqueur de carcinomes pancréatiques, glicoprotéine épithéliale 1, EGP-1, antigène 2 du trophoblaste, glicoprotéine Trop-2 à la surface des cellules, TROP2)], anticorps monoclonal humanisé conjugué au *déruxtécan*, comprenant un linker et un dérivé de la camptothécine; chaîne lourde gamma1 humanisée (1-451) [VH (*Homo sapiens* IGHV1-3*01 (79.6%) -(IGHD) - IGHJ4*01 (93.3%)) CDR-IMGT [8.8.14] (26-33.51-58.97-110) (1-121) -*Homo sapiens* IGHG1*03 (100%) G1m3, nG1m1 (CH1 R120 (218) (122-219), charnière 1-15 (220-234), CH2 (235-344), CH3 E12 (360), M14 (362) (345-449), CHS (450-451)) (122-451)], (224-214')-disulfure avec la chaîne légère kappa humanisée (1'-214') [V-KAPPA (*Homo sapiens* IGKV1-39*01 (84.2%) -IGKJ2*01 (100%)) CDR-IMGT [6.3.9] (27-32.50-52.89-97) (1'-107') -*Homo sapiens* IGKC*01 (100%), Km3 A45.1 (153), V101 (191) (108'-214')]; dimère (230-230":233-233")-bisdisulfure; produit dans des cellules ovarianas de hamster chinois (CHO), glicoform alfa, conjugado sobre una media de 4 cisteína al *déruxtecan*, comprendiendo un linker y un derivado de la camptotecina;

datopotamab deruxtecán

inmunoglobulina G1-kappa, anti-[*Homo sapiens* TACSTD2 (transductor 2 de señales cárnicas asociado a los tumores, componente membrana del cromosoma 1 marcador de superficie 1, M1S1, antigénico GA7331 asociado a los tumores gastrointestinales, proteína GA733-1 marcador de carcinomas pancreáticos, glicoproteína epitelial 1, EGP-1, antigénico 2 del trofoblasto, glicoproteína Trop-2 en la superficie de las células, TROP2)], anticuerpo monoclonal humanizado conjugado con *deruxtecán*, que comprende un enlace y un derivado de la camptotecina;

cadena pesada gamma1 humanizada (1-451) [VH (*Homo sapiens* IGHV1-3*01 (79.6%) -(IGHD) -IGHJ4*01 (93.3%)) CDR-IMGT [8.8.14] (26-33.51-58.97-110) (1-121) -*Homo sapiens*IGHG1*03 (100%) G1m3, nG1m1 (CH1 R120 (218) (122-219), bisagra 1-15 (220-234), CH2 (235-344), CH3 E12 (360), M14 (362) (345-449), CHS (450-451)) (122-451)], (224-214')-disulfuro con la cadena ligera kappa humanizada (1'-214') [V-KAPPA (*Homo sapiens* IGKV1-39*01 (84.2%) -IGKJ2*01 (100%)) CDR-IMGT [6.3.9] (27-32.50-52.89-97) (1'-107') -*Homo sapiens* IGKC*01 (100%), Km3 A45.1 (153), V101 (191) (108'-214')]; dímero (230-230":233-233")-bisdisulfuro; producido por células ováricas de hamster chino (CHO), forma glicosilada alfa, conjugado con una media de 4 cisteinas al *deruxtecan*, que comprende un enlace y un derivado de la camptotecina.

Heavy chain / Chaîne lourde / Cadena pesada
 QVQLVQSGAE VKKPGASVKV SCKASGYFT TAGMQWVRQA PGQGLEWMGW 50
 INTHSGVPKY AEDFKGRVII SADTSTSTAY LQLSSLKSED TAVYFCARSG 100
 FGSSXYFPDV WQGQTLTVS SASTKGPSVE PLAPFSKSTS GGTAALGCLV 150
 KDYFPEPVTV SWNSGALTSG VHTFPAVLQS SGLYSLSSVV TVPSSSLGQ 200
 TYICNVNHHK PNTKVDKRVF PKSCDKTHTC PPCPAPELLG GPSVFLFPPL 250
 PKDTLMISRT PEVTCVVVDV SHEDPEVKFPI WYVGDVEVHN AKTKPREEQY 300
 NSTYRVSVVL TVLHQDWLNG KEYKCKVSNK ALPAPIEKTI SKAKGQPREP 350
 QVYTLPPSRE EMTRKNQVSLT CLVKGFYPSD IAVEWESNQ PENNYKTTIP 400
 VLDSDGSSFL YSKLTVDKSR WQQGNVFSCS VMHEALHNHY TQKSLSLSPG 450
 K 451

Light chain / Chaîne légère / Cadena ligera
 DIQMTQSPSS LSASVGVDRV ITCKASQDVS TAVAWYQQKP GKAPKLLIYS 50
 ASYRTYGVPS RFSGSGGGTD FTITISLQP EDFAVYTCQQ HYITPLTGFQ 100
 GTKLEIKRTV AAPSVFIFPP SDEQLLKSGTA SVVCLLNFFY PREAKVQWKV 150
 DNALQGSNSQ ESVTEQDSKD STYSLSSTLT LSKADYEKHK VYACEVTHQG 200
 LSSPVTKSFN RGECA 214

Post-translational modifications

Disulfide bridges location / Position des ponts disulfure / Posiciones de los puentes disulfuro
 Intra-H (C23-C104) 22-96 148-204 265-325 371-429
 22"-96" 148"-204" 265"-325" 371"-429"

Intra-L (C23-C104) 23"-88" 134"-194"
 23"-88" 134"-194"

Inter-H-L (h 5-CL 126) 224-214' 224"-214"

Inter-H-H (h 11, h 14)" 230-230" 233-233"

*The four inter-chain disulfide bridges are not present, an average of 4 cysteinyl being conjugated each via a thioether bond to a drug linker.

*Les quatre ponts disulfures inter-châînes ne sont pas présents, 4 cystéinyl en moyenne étant chacun conjugué via une liaison thioéther à un linker-principe actif.

*Faltan los cuatro puentes disulfuro inter-catenarios, una media de 4 cisteinil está conjugada a conectores de principio activo.

N-glycosylation sites / Sites de N-glycosylation / Posiciones de N-glicosilación
 H CH2 N84.4:
 301, 301"

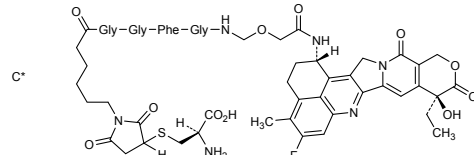
Fucosylated complex bi-antennary CHO-type glycans / glycanes de type CHO bi-antennaires complexes fucosylés / glicanos de tipo CHO biantenarios complejos fucosilados.

C-terminal lysine clipping:

H CHS K2:

451, 451"

Potential modified residues / résidus modifiés potentiels / restos modificados potenciales



demupitamabum #

demupitamab

immunoglobulin G1-kappa, anti-[*Homo sapiens* EGFR (epidermal growth factor receptor, receptor tyrosine-protein kinase erbB-1, ERBB1, HER1, HER-1, ERBB)], *Homo sapiens* monoclonal antibody; gamma1 heavy chain *Homo sapiens* (1-449) [VH (*Homo sapiens*IGHV4-61*01 (89.9%) -(IGHD) - IGHJ3*02 (100%)) CDR-IMGT [10.7.11] (26-35.53-59.98-108) (1-119) -*Homo sapiens*IGHG1*01 (100%) G1m17,1 (CH1 K120 (216) (120-217), hinge 1-15 (218-232), CH2 (233-342), CH3 D12 (358), L14 (360) (343-447), CHS K (448-449)) (120-449)], (222-214')-disulfide with kappa light chain *Homo sapiens* (1'-214') [V-KAPPA (*Homo sapiens*IGKV1-33*01 (94.7%) - IGKJ4*01 (91.7%)) CDR-IMGT [6.3.9] (27-32.50-52.89-97) (1'-107') -*Homo sapiens*IGKC*01 (100%), Km3 A45.1 (153), V101 (191) (108'-214')]; dimer (228-228":231-231")-bisdisulfide, produced in Chinese hamster ovary (CHO) cells, glycoform alfa

démupitamab

immunoglobuline G1-kappa, anti-[*Homo sapiens* EGFR (récepteur du facteur de croissance épidermique, récepteur tyrosine-protéine kinase erb-1, ERBB1, HER1, HER-1, ERBB)], anticorps monoclonal humanisé; chaîne lourde gamma1 *Homo sapiens* (1-449) [VH (*Homo sapiens*IGHV4-61*01 (89.9%) -(IGHD) - IGHJ3*02 (100%)) CDR-IMGT [10.7.11] (26-35.53-59.98-108) (1-119) -*Homo sapiens*IGHG1*01 (100%) G1m17,1 (CH1 K120 (216) (120-217), charnière 1-15 (218-232), CH2 (233-342), CH3 D12 (358), L14 (360) (343-447), CHS K (448-449)) (120-449)], (222-214')-disulfure avec la chaîne légère kappa *Homo sapiens* (1'-214') [V-KAPPA (*Homo sapiens*IGKV1-33*01 (94.7%) -IGKJ4*01 (91.7%)) CDR-IMGT [6.3.9] (27-32.50-52.89-97) (1'-107') -*Homo sapiens*IGKC*01 (100%), Km3 A45.1 (153), V101 (191) (108'-214')]; dimère (228-228":231-231")-bisdisulfure, produite dans des cellules ovarianes de hamster chinois (CHO), glycoforme alfa

demupitamab

inmunoglobulina G1-kappa, anti-[*Homo sapiens* EGFR (receptor del factor de crecimiento epidérmico, receptor tirosina-proteína kinasa erb-1, ERBB1, HER1, HER-1, ERBB)], anticuerpo monoclonal humanizado; cadena pesada gamma1 *Homo sapiens* (1-449) [VH (*Homo sapiens*IGHV4-61*01 (89.9%) -(IGHD) - IGHJ3*02 (100%)) CDR-IMGT [10.7.11] (26-35.53-59.98-108) (1-119) -*Homo sapiens*IGHG1*01 (100%) G1m17,1 (CH1 K120 (216) (120-217), bisagra 1-15 (218-232), CH2 (233-342), CH3 D12 (358), L14 (360) (343-447), CHS K (448-449)) (120-449)], (222-214')-disulfuro con la cadena ligera kappa *Homo sapiens* (1'-214') [V-KAPPA (*Homo sapiens*IGKV1-33*01 (94.7%) -IGKJ4*01 (91.7%)) CDR-IMGT [6.3.9] (27-32.50-52.89-97) (1'-107') -*Homo sapiens*IGKC*01 (100%), Km3 A45.1 (153), V101 (191) (108'-214')]; dímero (228-228":231-231")-bisdisulfuro, producida por células ováricas de hamster chino (CHO), forma glicosilada alfa

Heavy chain / Chaîne lourde / Cadena pesada

QVQLQESGGPG LVVKPSETISSL TCTVSGGSVS SGDYYWTWIR QSPGKGLEWI 50
 GHIIYSGNTN YNPSLKSRLT ISIDTSKTF SLKLSSVTAA DTATYYCVRD 100
 FVTGAEDIWG QGTMVTVSSA STKGPSPVFIL APSSKSTSGG TAALGCLVRD 150
 YFPEPVTVSW NSGALTSGVH TFPAVLQSSG LYSLSSVVTV PSSSLGTQTY 200
 ICNVNHKEFSN TKVDKVEPK SCDKTHFCPP CTAPELLGGP SVFLFPFKPK 250
 DTLMIISRTPE VTCVVVDVSH EDPEVKENWY VDGVEVHNAP TKPREEQYN 300
 TYRVSVLTV LHQDWLNGKE YKKVSVNSKAL PAPIEKTIIS ARGGQREPQV 350
 YTLPSPRDEL TNQVQSVITCL VKGFYPSDIWA VEWESNGOPR NNYKTPTPVL 400
 DSDGSPFELYS KLTVDKSRWQ QGNVFSCSVM HEALHNHYTQ KSLSLSPGK 449

Light chain / Chaîne légère / Cadena ligera

DIQMTQSFTL LSASVGDRTV ITTCQASQDIS NYLNWYQQKP GRKAPKLIIYD 50
 ASNLETGVPS RFSGSGSGTD FFTFISSLQP EDIATYFCQH DFHILPLAFCG 100
 GTKVEIKRTV AAPSVFIFPP SDEQLKSGT A SVVCLNNFY PREAKVQWKV 150
 DNALQSGNSQ ESVTEQDSKD STYSLSSTLT LSKADYEKHK VYACEVTHHQ 200
 LSSPVTKSFN RGEC 214

Post-translational modifications

Disulfide bridges location / Position des ponts disulfure / Posiciones de los puentes disulfuro
 Intra-H (C23-C104) 22-97 146-202 263-323 369-427
 22"-97" 146"-202" 263"-323" 369"-427"
 Intra-L (C23-C104) 23"-88" 134"-194"
 23"-88" 134"-194"
 Inter-H-L (h5-CL 126) 222-214" 222"-214"
 Inter-H-H (h 11, h 14) 228-228" 231-231"

N-glycosylation sites / Sites de N-glycosylation / Posiciones de N-glicosilación

H₂CH2N84.4:
 299, 299"

Fucosylated complex bi-antennary CHO-type glycans / glycanes de tipo CHO bi-antennarios complejos fucosilados
 complexes fucosylés / glicanos de tipo CHO biantenarios complejos fucosilados

docaravimabum #

docaravimab

immunoglobulin G2B-kappa, anti-[rabies virus strain ERA (Evelyn-Rockitniki-Abelseth) glycoprotein ectodomain epitope G-III], *Mus musculus* monoclonal antibody;
 gamma2b heavy chain *Mus musculus* (1-455) [VH (*Mus musculus* IGHV2-6-7*01 (92.8%) -(IGHD) - IGHJ2*01 (100%)) CDR-IMGT [8.7.13] (26-33.51-57.96-108) (1-119) -*Mus musculus* IGHG2B*02 (CH1 (120-216), hinge 1-22 (217-238), CH2 (239-348), CH3 (349-453), CHS (454-455)) (120-455)], (134-214")-disulfide with kappa light chain *Mus musculus* (1'-214') [V-KAPPA (*Mus musculus* IGKV10-96*01 (93.7%) - IGKJ1*02 (100%)) CDR-IMGT [6.3.9] (27-32.50-52.99-107) (1'-106') -*Mus musculus* IGKC*01 (100%) (108'-214')];
 dimer (228-228":231-231":234-234":237-237")-tetrakisdisulfide, produced in mouse myeloma cell line SP2/0-Ag14, glycoform alfa

docaravimab

immunoglobuline G2B-kappa, anti-[ectodomaine épitope G-III glycoprotéine du virus de la rage souche ERA (Evelyn-Rockitniki-Abelseth)], anticorps monoclonal *Mus musculus*;
 chaîne lourde gamma2b *Mus musculus* (1-455) [VH (*Mus musculus* IGHV2-6-7*01 (92.8%) -(IGHD) - IGHJ2*01 (100%)) CDR-IMGT [8.7.13] (26-33.51-57.96-108) (1-119) -*Mus musculus* IGHG2B*02 (CH1 (120-216), charnière 1-22 (217-238), CH2 (239-348), CH3 (349-453), CHS (454-455)) (120-455)], (134-214')-disulfure avec la chaîne légère kappa *Mus musculus* (1'-214') [V-KAPPA (*Mus musculus* IGKV10-96*01 (93.7%) -IGKJ1*02 (100%)) CDR-IMGT [6.3.9] (27-32.50-52.99-107) (1'-106') -*Mus musculus* IGKC*01 (100%) (108'-214')];
 dimère (228-228":231-231":234-234":237-237")-tetrakisdisulfure, produite dans la lignée cellulaire de myélome murin SP2/0-Ag14, glycoforme alfa

docaravimab

inmunoglobulina G2B-kappa, anti-[ectodominio epítopo G-III glicoproteína del virus de la rabia cepa ERA (Evelyn-Rockitniki-Abelseth)], anticuerpo monoclonal *Mus musculus*; cadena pesada gamma2b *Mus musculus* (1-455) [VH (*Mus musculus* IGHV2-6-7*01 (92.8%) -(IGHD) -IGHJ2*01 (100%)) CDR-IMGT [8.7.13] (26-33.51-57.96-108) (1-119) -*Mus musculus* IGHG2B*02 (CH1 (120-216), bisagra 1-22 (217-238), CH2 (239-348), CH3 (349-453), CHS (454-455)) (120-455)], (134-214')-disulfuro con la cadena ligera kappa *Mus musculus* (1'-214') [V-KAPPA (*Mus musculus* IGKV10-96*01 (93.7%) -IGKJ1*02 (100%)) CDR-IMGT [6.3.9] (27-32.50-52.99-107) (1'-106') -*Mus musculus* [GKC*01 (100%) (108'-214')]; dímero (228-228":231-231":234-234":237-237")-tetrakisdisulfuro, producida en la línea celular de mieloma murino SP2/0-Ag14, glicoforma alfa

Heavy chain / Chaîne lourde / Cadena pesada
 QVQLKESGPG LLAPQSLSI TCTVSGGSFLT GHGVNWVRQP PGKGLEWLGI 50
 IWADOTNNY SALKSRSLIS KDNSSKSVFQ KMNSLQTDTT ASYYCAREGD 100
 ISGYYFDYWG QGTTLTVSSA KTPPSVYPL APGGCDTTGS SVTLGCLVKG 150
 YFPESVTIVW NSGSSLSSVH TFPALLQSGL YTMSSSVTVP SSTWFSQVTI 200
 CSVAHPPASST TVDKLKLEPSG PISTINCPPP CKECHKCPAP NLEGPPSVFI 250
 FPPVNPKDVL M ISLTPKTCV VVDVSEDDPD VQISWFVNIN EVHTAQQTTH 300
 RDEYNISTRV VSTLPIQHQD WMSGKEFKCK VNNKDLPSPI ERTISKIKGL 350
 VRAPQVYILP PPAPQLSKRD VSLTCLVVG FNPQDISWEVT SNHGTTEENYK 400
 DTAPVLDSDG SYFIYSKLNM KTSKWEKTDS FSCNVRHEGL KNYYLKKTIS 450
 RSPGK 455

Light chain / Chaîne légère / Cadena ligera
 DVQMTQTTS LSASLGDRVT ITCRFSQDIN NYLSWYQQKP DGTVKLLIYY 50
 TSRRLHSGVPS RFSGSSGGTD YSLTISNLQE EDFATYFCQG GNTLPPFTGG 100
 GTKLEIKRAD AAPPTVSIFPP SSEQLITSGGA SVVCFLNNFY PKDINWKWI 150
 DGSERQNQGVL NSWTQDQSKD STYSMSSTLT LTKDEYERHN SYTCEATHKT 200
 STSPIVKSFN RNEC 214

Post-translational modifications
 Disulfide bridges location / Position des ponts disulfure / Posiciones de los puentes disulfuro
 Intra-H (C23-C104) 22.-95° 146.-201° 269.-329° 375.-433°
 22°.-95° 146°.-201° 269°.-329° 375°.-433°
 Intra-L (C23-C104) 23°.-88° 134°.-194°
 23°.-88° 134°.-194°
 Inter-H-L (CH1 11-CL 126) 134.-214° 134°.-214°
 Inter-H-H (h 12, h 15, h 18, h 21) 228.-228° 231.-231° 234.-234° 237.-237°

N-glycosylation sites / Sites de N-glycosylation / Posiciones de N-glicosilación
 H CH2 N84.4:
 305, 305°
 Fucosylated complex bi-antennary Sp2/0-type glycans / glycanes de type Sp2/0 bi-antennaires complexes fucosylés / glicanos de tipo Sp2/0 biantenarios complejos fucosilados

ebopiprantum

ebopiprant

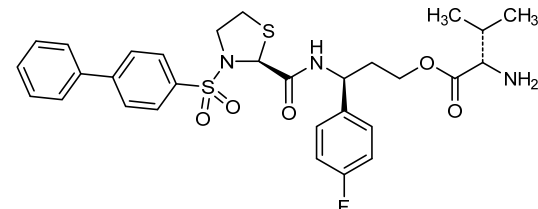
(3S)-3-[(2S)-3-[(1,1'-biphenyl]-4-sulfonyl)-1,3-thiazolidine-2-carboxamido]-3-(4-fluorophenyl)propyl L-valinate

ébopiprant

L-valinate de (3S)-3-[(2S)-3-[(1,1'-biphenyl]-4-sulfonyl)-1,3-thiazolidine-2-carboxamido]-3-(4-fluorophényle)propyle

ebopiprant

L-valinato de (3S)-3-[(2S)-3-[(1,1'-bifenil)-4-sulfonil]-1,3-tiazolidina-2-carboxamido]-3-(4-fluorofenil)propilo



efanesoctocogum alfa #

efanesoctocog alfa

human coagulation factor VIII (FVIII, antihemophilic factor, AHF, procoagulant component) with replaced B-domain (746-1648)-sequence [FVIII domains A1-a1-A2-a2 (1-740) and N-terminal B-domain fragment (741-745), fused via a synthetic 291-peptide linker of 24 repeating 12-peptides (4 types) (746-1033) plus tripeptide ASS (1034-1036) to the FVIII C-terminal (1649-2332)-domains a3-A3-C1-C2 (1037-1720)], fused to a human immunoglobulin G1 C-terminal K>del Fc fragment (1721-1946), (1726-663':1729-666')-bisdisulfide with the TIL3-D3-TIL4 domain-containing fragment 742-1218 of the human von Willebrand factor (1'-477') [(C¹⁰⁷⁷>A³³⁶,C¹¹²⁰>A³⁷⁹)-mutant] fused via a synthetic 148-peptide linker of 12 repeating 12-peptides (4 types) plus tetrapeptide GASS (478'-625') to a thrombin cleavable FVIII fragment 712-743 (626'-657') [thrombin-cleavable acidic region 2 plus B3 domain (1-3)-peptide] fused to a human immunoglobulin G1 C-terminal K>del Fc fragment (658'-883'), produced in human embryonic kidney 293 (HEK293) cells, glycoform alfa

éfanésoctocog alfa

facteur de coagulation VIII humain (FVIII, facteur antihémophilique, AHF, composant procoagulant) dont le domaine B a été remplacé (746-1648) [domaines A1-a1-A2-a2 du FVIII (1-740) et fragment N-terminal du domaine B (741-745), fusionné via un peptide synthétique de 291 acides aminés, fait de 24 peptides de 12 acides aminés chacun, se répétant (4 types) (746-1033), et d'un tripeptide ASS (1034-1036), à la partie C-terminale des domaines a3-A3-C1-C2 1649-2332 du FVIII (1037-1720)], fusionné au fragment Fc C-terminal K>del de l'immunoglobuline G1 humaine (1721-1946), (1726-663':1729-666') lié par des ponts disulfure au fragment contenant le domaine TIL3-D3-TIL4 du facteur de von Willebrand humain 742-1218 (1'-477') [(C¹⁰⁷⁷>A³³⁶,C¹¹²⁰>A³⁷⁹)-mutant] fusionné via un peptide synthétique de 148 acides aminés, fait de 12 peptides de 12 acides aminés chacun, se répétant (4 types), plus un térapéptide GASS (478'-625'), à un fragment du FVIII clivable par la thrombine 712-743 (626'-657') [région 2 acide clivable par la thrombine plus le (1-3)-peptide du domaine B3] fusionné au fragment Fc C-terminal K>del de l'immunoglobuline G1 humaine (658'-883'), produit dans des cellules rénales embryonnaires humaines 293 (HEK293), glicoforme alfa

efanesoctocog alfa

factor de coagulación VIII humano (FVIII, factor antihemofílico, AHF, componente procoagulante) en el dominio B reemplazado (746-1648) [dominios A1-a1-A2-a2 del FVIII (1-740) y fragmento N-terminal del dominio B (741-745), fusionado a través de un péptido sintético de 291 aminoácidos, hecho de 24 péptidos de 12 aminoácidos cada uno, que se repiten (4 tipos) (746-1033), y de un tripéptido ASS (1034-1036), con la parte C-terminal de los dominios a3-A3-C1-C2 1649-2332 del FVIII (1037-1720)], fusionado con el fragmento Fc C-terminal K>del de la inmunoglobulina G1 humana (1721-1946), (1726-663':1729-666') unido por puentes disulfuro con el fragmento que contiene el dominio TIL3-D3-TIL4 del factor de von Willebrand humano 742-1218 (1'-477') [(C¹⁰⁷⁷>A³³⁶,C¹¹²⁰>A³⁷⁹)-mutante] fusionado a través de un péptido sintético de 148 aminoácidos, hecho de 12 péptidos de 12 aminoácidos cada uno, que se repiten (4 tipos), además un tetrapéptido GASS (478'-625'), con un fragmento del FVIII escindible por la trombina 712-743 (626'-657') [región 2 ácido escindible por la trombina además el (1-3)-péptido del dominio B3] fusionado con el fragmento Fc C-terminal K>del de la inmunoglobulina G1 humana (658'-883'), producido en las células renales embrionarias humanas 293 (HEK293), glicoforma alfa

Sequence / Séquence / Secuencia

(a) BddFVIII-Fc chain:

ATRRYYLGAV ELSWDYMQSD LGELPVDAF PPRVPKSFPF NTSVVYKKT1 FVEFTDHLFN IAKPRPPWMG LLGPTIQAEV 80
 YDTVVITLKN MASHPVLSLHA VGVSYWKASE GAEYDDQTSQ REKEDEKKVFP GGSHTVWQV1 LKENGPMSD PLCLTYSYL 160
 HVDLVKDLNS GLIGALLVCS EGSIAKEKTO TLHFKILLFA VPDECKSWSHS ETKNSLMDQR DAASARAWPK MHVTWNGVNR 240
 SLPGLIGCHR KSVYWHVIGM GTTPVEHHSIF LEGHTFLVRN HRQASLEISP ITFLTAQTL1 MDLQQFLLC HISSHQHDGM 320
 EAAYVKVDCSP EEPQLMKNN EEAEDYDDDL TDSEMDVVRP DDDNSPFIQ IRSVAKKHPK TWVHYIAAEE EDWDYAPLVL 400
 APPDRSYKSQ YLNNGPQRIG RKYKKVRFMA YTDETFKTR1 AIQHESGILG PLLYGEVGDT LLIIFKNQAS RPYNIYPHGI 480
 TDVPRPLYSRRL LPKGVKHKL FPILPGEIPIK YKWTVTVEDO PTKSDPRLT RYYSFSVNM1 RDLASGLIGP LLLCYKESVD 560
 QRGNQIMSDK RNVLFSVFD ENRSWYLTEM IQRFLPNPAG VQLEDPEFQA SNIMHSINGY VFDSLQLSVC LHEVAYWYIL 640
 SIGAQTDFLS VFFSGYTFKU KMVYEDTTLT PFPFGSETVFM SMENPGLWL GCHNSDFRN1 GMTALLKVS1 CDKNTGDDYE 720
 DSYEDISAYL LSKNNNAIEP1 SFSQNGTSES ATPESPGPSE PATSGSETPG TSESATPESG PGSEPATSGS ETPGTSESAT 800
 PESPGPTSTE PSEGAPGSP AGSPGTSTE EGSPGTSESAT PESPGPTEG1 PESPGPSSAT PESPGPSSAT PESPGPSSAT 880
 AGSPGTSTE EGSPGTSESAT PESPGPTEG1 PESPGPSSAT PESPGPSSAT PESPGPSSAT PESPGPSSAT 960
 PGSPAGSPSTS TEEGTSTEPS EGSPAGSPSTS PESPGPTEG1 PESPGPTEG1 PESPGPTEG1 PESPGPTEG1 PESPGPTEG1 1040
 TTLQSDQEEI DYDFTISVEM KKEDFDIYDE DENQSPRSFQ KKTRHYFIAA VERLWDYGM1 SSPHVLRNRA QSGSVPQFKK 1120
 VVFQEFDTDS FGTPQLYRGEL NEHLLGLLGPY IRAEVEDNM1 VTFRNQASRP YSFYSLISY EEDQRQGAEP RKNFVKPNET 1200
 KTYFWKVQHH MAPTKDEFDC KAWAYFSDVD LKDVKHSGLI GPLLVLCHNT1 LNPNAHGRQVT VQEFAFLFTI FDETWSYFT 1280
 ENMERCRAP CNIQMEDPTE KENYRPHAIN GYIMDTPGL VMAQDORLW YLLSMGSNEM1 IHSIHFSGHV FTVRKKEEYK 1360
 MALYNLYPGV FETVEMPLSK AGIWRVECLI GEHLHAGMST LFLVYNSNKQ1 TPLGMASGHI RDFQITASGQ YGQWAPKLAR 1440
 LHYSGSINAW STKEPFSWIK VDLIAPMIH GIKTQGARQF FSSLYISQFI IMYSLDGKWW QTYRGNSTGT LMVFFGNVDS 1520
 SGIKHNIFNP PIARYIRL PTHYSIRSTL RMELMGCDLN1 SCSCMLGMES KAISDAQITA SSYFTNMFAT WSPSKARLH 1600
 QGRSNARWPQ VNPKWELQV DFQKTMKVIG VTTQGVKSLL SMYVKEFLLI SSSQDGHQWT1 LFFQNGKVVKV FQGNQDSFTP 1680
 VVNLSLDPPLL TRYLRHFPQ WVHQIALRME VLGCCEAQDLY DKHTHTCPCCP APELLGGPSV FLFPPKPKDT LMISRTPEVT 1760
 CVVVDVSHED PEVKFNWVVD GVEVHNAAKTK PREEQYNSTY RVVSVLTVLH QDWLNGKEYK CKVSNKALPA PIEKTISKAK 1840
 GQPREPVQVTY LPPSRDELTK NQVSLTCVLK GFYPSDIAVE WESNQGPENN YKTTPPVLDs DGSFFLYSKL TVDKSRWQOG 1920
 NVFSCSVME AHNHNYTQKS LSLSPG 1946

(b) vWF fragment-FVIII a2-Fc chain:

SLSRCPPMVK LVCPADNLRA EGLECTKTQ NYDLECMSCM CGVSGCLCPG MVRHENRCVA LERCPFCFHQ KEYAPGETVK 80
 IGNCNTCVRD RKWNKTDHV DATCSTIGMA HYLTFLDGLKY LFPGECQXVLL VQDYCGSNPG TFRILVGNNKG CSHPSVKCKK 160
 RTVILVEGGIE IELDFGEENVN KRPMKDETHF EVVESGRYII LLLLKGALKS1 SVV WDRHLSISVW LKQTQKEKVC GLCGNPDG1Q 240
 NNDLTSSNLQ VEEDPVDFFG SWKVSSQCAD TRKVPLDSSP ATCHNNIMKQ TMVDSSCRIL TSDVFQDCNK1 LVDPEPYLDV 320
 CIYDTCSCIES IGDCAACFDT IAAyahvcaq1 HKGVVWTWTA1 TLCPVCSCER NLRENGYEAE WRYNSCAPAC QVTCQHPEEL 400
 ACVPQCVEGHC HAHCPGKIL DELLQTCVDP EDPCVCEVAG RRFASGKVT1 LNPSDPFHQ1 ICHCDWVNLT CEACQEPGTS 480
 ESATPESGPG SEPATSGSET PGTSESATPESG1 SGETPGTSES1 ATPESPGPGSP1 AGSPGTSTE EGASSDKNTG DYYEDSYEDI 560
 EGTSESATPESG1 SGPGEPAT1 SGETPGTSES1 ATPESPGPGSP1 AGSPGTSTE EGASSDKNTG DYYEDSYEDI 640
 SAYILSKNNNA1 IEPQRSFSKDT1 HTCPCPAPE1 LLGQPSVFLP1 PPKPDTLM1 SRTPEVTCVV1 DVDSHEDEPV1 KFNWYDVGE 720
 VHNAKTKVPP1 EQYNQSYRVV1 SVLTVLHQDW1 LNKKEYKCV1 SKNALPPIE1 KTISKAGQF1 REPQVYTIAPP1 SRDELTKNQV1 800
 SLTCLVKGFY1 PSDTIAVEWES1 NGOPENNYKT1 TPPVLDSDGS1 FFYFLSKLTD1 KSRWQQQNVF1 SC5VMHEALH1 NHYTQKSLSL1 880
 SPG1 883

Disulfide bridges location / Position des ponts disulfure / Posiciones de los puentes disulfuro

(a) 153-179, 248-329, 528-554, 630-711, 1220-1246, 1287-1291, 1409-1557, 1562-1714, 1761-1821, 1867-1925

(Cys-SH: 310, 692, 1388);

(b) 4'-45', 13'-41', 25'-36', 29'-64', 47'-58', 66'-88', 83'-100', 86'-95', 104'-233', 126'-268', 135'-230',
 151'-158', 283'-326', 297'-321', 308'-348', 328'-334', 338'-363', 367'-410', 386'-406', 390'-402',
 394'-433', 414'-427', 436'-464', 459'-474', 462'-471', 698'-758', 804'-862'

(a)-(b) intermolecular: 1726-663', 1729-666'

N-glycosylation sites / Sites de N-glycosylation / Posiciones de N-glicosilación
 N41, N1239, N1198, N1506, N1797 and N94', N384', N734'O-glycosylation sites / Sites de O-glycosylation / Posiciones de O-glicosilación
 potentially each Ser and Thr in the linker peptides
 746-1036 and 478'-625'Tyr-sulfation sites / Sites de Tyr-sulfation / Posiciones de Tyr-sulfación
 346, 718, 719, 723, 729, 1052, 1068 and 632', 633', 637', 643'**eflepedocokinum alfa #**
eflepedocokin alfa

human interleukin 22 (IL22, cytokine Zcyt018, IL10-related T-cell-derived inducible factor, IL-TIF) (1-146), fused via a GSG(S(G4S)2 peptide linker (147-162) to a human immunoglobulin G2 C-terminal Fc fragment (163-385), P²⁶⁹>S-mutant S³¹⁶>A-variant, dimer (165-165':168-168')-bisdisulfide, produced in Chinese hamster ovary (CHO) cells, glycoform alfa

eflédédocokine alfa

interleukine 22 humaine (IL22, cytokine Zcyto18, facteur inducible dérivé des lymphocytes T lié à IL10, IL-TIF) (1-146), fusionnée via un peptide liant GSG₃S(G₄S)₂(147-162) au fragment Fc C-terminal de l'immunoglobuline G2 humaine (163-385), P²⁶⁹>S-mutant S³⁶⁶>A-variant, dimère (165-165':168-168')-bisisulfure, produit dans des cellules ovariennes de hamster chinois (CHO), glicoforme alfa

eflepedocokina alfa

interleukina 22 humana (IL22, citoquina Zcyto18, factor inducible derivado de los linfocitos T relacionado con IL10, IL-TIF) (1-146), fusionada a través de un péptido que se une a GSG₃S(G₄S)₂(147-162) con el fragmento Fc C-terminal de la inmunoglobulina G2 humana (163-385), P²⁶⁹>S-mutante S³⁶⁶>A-variante, dímero (165-165':168-168')-bisdisulfuro, producido en las células ováricas de hamster chino (CHO), glicoforma alfa

Sequence / Séquence / Secuencia	
APISHCRLD KSNFQQPYIT NRTFMLAKEA SLADNNNTDVR LIGEKLPHGV	50
SMSERCYLMK QVLMNFTLEEV LFPPQSDRQP YMQEVVPLA RLSNRNLSTCH	100
IEGDDLHIIQR NVQLKLDVTK KLGEGSEIKA IGEGLDLFLMS LRNACIGSGG	150
GSGGGGSGGG GSVECPCCPA PPVAGPSVFL FPPPKPKDTLM ISRTPEVTCV	200
VVDVSHEDPP VQFNWVYDVG EVHNIAKTKPR EEEQFNSTFRV VSVLTVTWHQD	250
WLNKEYKCKC VSNIKGLPASI EKTISKTKQQ PREFPQVYTLPSRREEMTKNQ	300
VSLTCLVKG YPSDIAVEWE SNGQEPENNPK TTPPMELDSDG SFFLYSKLTV	350
DKSRWQQGNV PSCSVMHEAL HNHYTQKSLS LSPGK	385

Post-translational modifications / Modifications post-traduccionnelles / Modificaciones posttraduccionales

Disulfide bridges location / Position des ponts disulfure / Posiciones de los puentes disulfuro intramolecular: 7-99 56-145 199-259 305-363
7'-99' 56'-145' 199'-259' 305'-363'
intermolecular: 165-165' 168-168'

Glycosylation sites / Sites de glycosylation / Posiciones de glicosilación
N21, N35, N64, N235 N21', N35', N64', N235'
Fucosylated complex bi-antennary CHO-type glycans / Glycanes de tipo CHO bi-antennaires complejos fucosylés / Glicanos de tipo CHO biantenarios complejos fucosilados

C-terminal lysine clipping / Coupe de la lysine C-terminale / supresión de lisina C-terminal
H CHS K2: 385, 385'

efmarodocokinum alfa #
efmarodocokin alfa

human interleukin 22 (IL22, cytokine Zcyto18, IL10-related T-cell-derived inducible factor, IL-TIF) (1-146), fused to a human immunoglobulin G4 C-terminal Fc fragment (147-377), S¹⁵⁸>P, N²²⁷>G-mutant; dimer (156-156':159-159')-bisdisulfide, produced in Chinese hamster ovary (CHO) cells, glicoform alfa

efmarodocokine alfa

interleukine 22 humaine (IL22, cytokine Zcyto18, facteur inducible dérivé des lymphocytes lié à l'IL10, IL-TIF) (1-146), fusionnée au fragment Fc C-terminal de l'immunoglobuline G4 humaine (147-377), mutant S¹⁵⁸>P, N²²⁷>G, dimère (156-156':159-159')-bisisulfure, produit dans des cellules ovariennes de hamster chinois (CHO), glicoforme alfa

efmarodocokina alfa

interleukina 22 humana (IL22, citoquina Zcyto18, IL10-relacionada factor inducible derivado de células T, IL-TIF) (1-146), fusionada con el fragmento Fc C-terminal de la inmunoglobulina G4 humana (147-377), mutante S¹⁵⁸>P, N²²⁷>G, dímero (156-156':159-159')-bisdisulfuro, producido en las células ováricas de hamster chino (CHO), glicoforma alfa

Sequence / Séquence / Secuencia
 APISSHCRLL KSNFQDPYIT NRTFMLAKEA SLADNNNTDVR LIGEKLHFHG 50
 SMSSERCYLMV QVNLFNTLEEV LFPPQSDRFQP YMQEVEVFFLA RLSNRLSTCH 100
 IEGDDLHIIQK NVQQLKLDVTK KLGESGEIKA IGEELDLIFMS LRNACIRVES 150
 KYGPCCPPCP APEFLGPGPSV FLFPPKPKDT LMISRTPEVT CVVVDVSQED 200
 PEVQFNWVVD GVEVHNNAKTK PREEQPFGSTY RVVSVLTIVLH QDWLNQKEYK 250
 CKVSNKGLPS SIEKTISKAK GQPREPVYT LPPSQEMMTK NQVSLTCLVK 300
 GFYPDSIAVE WESNGQPEENN YKTTPPVVLDS DGSFFLYSRL TVDKSRWQEG 350
 NVFSCSVMHE ALHNHYTQKS LSLSLCK 377

Post-translational modifications / Modifications post-traductionnelles / Modificaciones posttraduccionales

Disulfide bridges location / Position des ponts disulfure / Posiciones de los puentes disulfuro intramolecular: 7'99 56'-145 191-251 297-355
 7'99' 56'-145' 191'-251' 297'-355'
 intermolecular: 156-156' 159-159'

Glycosylation sites / Sites de glycosylation / Posiciones de glicosilación
 N21, N35, N64, N143 N21', N35', N64', N143'
 Fucosylated complex bi-antennary CHO-type glycans / Glycane de type CHO bi-antennaires complexes fucosylés / Glicanos de tipo CHO biantenarios complejos fucosilados

C-terminal lysine clipping / Coupure de la lysine C-terminale / supresión de lisina C-terminal
 H CHS K2: 377, 377'

eliapixantum

eliapixant

3-(5-methyl-1,3-thiazol-2-yl)-5-{{[(3*R*)-oxolan-3-yl]oxy}-
N-{(1*R*)-1-[2-(trifluoromethyl)pyrimidin-5-
 yl]ethyl}benzamide

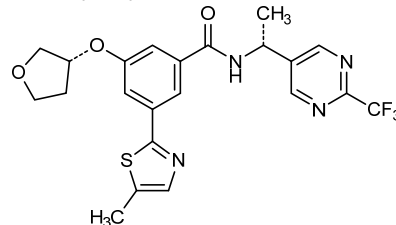
éliapixant

3-(5-méthyl-1,3-thiazol-2-yl)-5-{{[(3*R*)-oxolan-3-yl]oxy}-
N-{(1*R*)-1-[2-(trifluorométhyl)pyrimidin-5-
 yl]éthyl}benzamide

eliapixant

3-(5-metil-1,3-tiazol-2-il)-5-{{[(3*R*)-oxolan-3-il]oxi}-
N{(1*R*)-1-[2-(trifluorometil)pirimidin-5-il]etil}benzamida

C₂₂H₂₁F₃N₄O₃S



elinzanetantum

elinzanetant

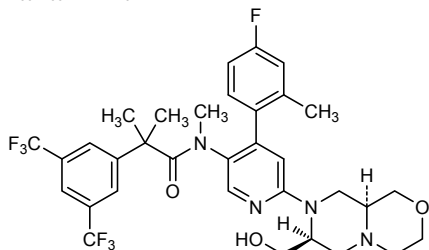
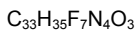
2-[3,5-bis(trifluoromethyl)phenyl]-*N*-{4-(4-fluoro-2-methylphenoxy)-6-[(7*S*,9*a*S)-7-(hydroxymethyl)hexahdropyrazino[2,1-c][1,4]oxazin-8(1*H*)-yl]pyridin-3-yl}-*N*,2-dimethylpropanamide

élinzanétant

2-[3,5-bis(trifluorométhyl)phényl]-*N*-{4-(4-fluoro-2-méthylphénol)-6-[(7*S*,9*a*S)-7-(hydroxyméthyl)hexahdropirazino[2,1-c][1,4]oxazin-8(1*H*)-yl]piridin-3-yl}-*N*,2-diméthylpropanamide

elinzanetant

2-[3,5-bis(trifluorometil)fenil]-*N*-{4-(4-fluoro-2-metilenfenil)-6-[(7*S*,9*a*S)-7-(hidroximetil)hexahidropirazino[2,1-c][1,4]oxazin-8(1*H*)-il]piridin-3-il}-*N*,2-dimetilpropanamida

**enflico**xibum****enflico**xib**

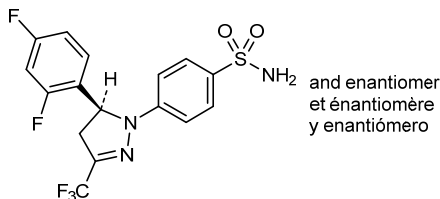
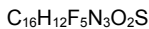
rac-4-[(5*R*)-5-(2,4-difluorophenyl)-3-(trifluoromethyl)-4,5-dihydro-1*H*-pyrazol-1-yl]benzene-1-sulfonamide

enflico**xib**

rac-4-[(5*R*)-5-(2,4-difluorophényle)-3-(trifluorométhyl)-4,5-dihydro-1*H*-pyrazol-1-yl]benzène-1-sulfonamide

enflico**xib**

rac-4-[(5*R*)-5-(2,4-difluorofenil)-3-(trifluorometil)-4,5-dihidro-1*H*-pirazol-1-il]benceno-1-sulfonamida



and enantiomer
et énantiomère
y enantiómero

esamisulpridum

esamisulpride

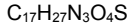
4-amino-5-(ethanesulfonyl)-*N*-{[(2*S*)-1-ethylpyrrolidin-2-yl]methyl}-2-methoxybenzamide

ésamisulpride

4-amino-5-(éthanesulfonyl)-*N*-{[(2*S*)-1-éthylpyrrolidin-2-yl]méthyl}-2-méthoxybenzamide

esamisulprida

4-amino-5-(etanosulfonil)-*N*-{[(2*S*)-1-etylpirrolidin-2-il]metil}-2-metoxibenzamida

**exalurenem**

exaluren

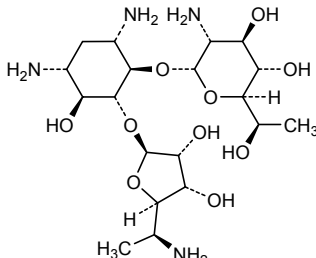
4-O-(2-amino-2,7-dideoxy-D-glycero-D-glucopyranosyl)-5-O-(5-amino-5,6-dideoxy-L-talofuranosyl)-2-deoxy-D-streptamine

exalurène

4-O-(2-amino-2,7-didésoxy-D-glycéro-D-glucopyranosyl)-5-O-(5-amino-5,6-didésoxy-L-talofuranosyl)-2-désoxy-D-streptamine

exalureno

4-O-(2-amino-2,7-didesoxi-D-glicero- α -D-glucosheptopyranosil)-5-O-(5-amino-5,6-didesoxi- α -L-talofuranosil)-2-desoxi-D-estreptamina



ezabenlimab #

ezabenlimab

immunoglobulin G4-kappa, anti-[*Homo sapiens* PDCD1 (programmed cell death 1, PD-1, PD1, CD279)], humanized monoclonal antibody; gamma4 heavy chain humanized (1-446) [VH (*Homo sapiens*IGHV3-23*04 (86.7%) -(IGHD) -IGHJ4*01 (100%)) [8.8.13] (1-120)-*Homo sapiens*IGHG4*01, G4v5 h P10 (CH1 (121-218), hinge 1-12 S10>P (228) (219-230), CH2 (231-340), CH3 (341-445), CHS K2>del (446)) (121-446)], (134-218')-disulfide with kappa light chain humanized (1'-218') [V-KAPPA (*Homo sapiens*IGKV3D-11*01 (79.8%) -IGKJ2*02 (100%)) [10.3.9] (1'-111') -*Homo sapiens*IGKC*01 (100%), Km3 A45.1 (157), V101 (195) (112'-218')]; dimer (226-226":229-229")-bisdisulfide, produced in Chinese hamster ovary (CHO) cells, glycoform alfa

ézabenlimab

immunoglobuline G4-kappa, anti-[*Homo sapiens* PDCD1 (protéine 1 de mort cellulaire programmée, PD-1, PD1, CD279)], anticorps monoclonal humanisé; chaîne lourde gamma4 humanisée (1-446) [VH (*Homo sapiens*IGHV3-23*04 (86.7%) -(IGHD) -IGHJ4*01 (100%)) [8.8.13] (1-120)-*Homo sapiens*IGHG4*01, G4v5 h P10 (CH1 (121-218), charnière 1-12 S10>P (228) (219-230), CH2 (231-340), CH3 (341-445), CHS K2>del (446)) (121-446)], (134-218')-disulfure avec la chaîne légère kappa humanisée (1'-218') [V-KAPPA (*Homo sapiens*IGKV3D-11*01 (79.8%) -IGKJ2*02 (100%)) [10.3.9] (1'-111') -*Homo sapiens*IGKC*01 (100%), Km3 A45.1 (157), V101 (195) (112'-218')]; dimère (226-226":229-229")-bisdisulfure, produit dans des cellules ovariennes de hamster chinois (CHO), glycoforme alfa

ezabenlimab

imunoglobulina G4-kappa, anti-[*Homo sapiens* PDCD1 (proteína 1 de muerte celular programada, PD-1, PD1, CD279)], anticuerpo monoclonal humanizado;

cadena pesada gamma4 humanizada (1-446) [VH (*Homo sapiens* IGHV3-23*04 (86.7%) -(IGHD) -IGHJ4*01 (100%)) [8.8.13] (1-120) -*Homo sapiens*IGHG4*01, G4v5 h P10 (CH1 (121-218), bisagra 1-12 S10>P (228) (219-230), CH2 (231-340), CH3 (341-445), CHS K2>del (446)) (121-446)], (134-218')-disulfuro con la cadena ligera kappa humanizada (1'-218') [V-KAPPA (*Homo sapiens* IGKV3D-11*01 (79.8%) -IGKJ2*02 (100%)) [10.3.9] (1'-111) -*Homo sapiens* IGKC*01 (100%), Km3 A45.1 (157), V101 (195) (112'-218')]; dímero (226-226":229-229")-bisdisulfuro, producido por células ováricas de hamster chino (CHO), forma glicosilada alfa

Heavy chain / Chaîne lourde / Cadena pesada
 EVMLVESGGGVVQQLVPSPLRLV SCTASCGFTFS KSAMSWVRQA PGKGLEENVAY 50
 ISGGGGDTYI SSSVKGRFTI SRDNAAKNSLY LQMNSLRAED TAVYYCARHS 100
 NVNNYAMDYI GGTLGLTVSS ASTKGPSPVP LAPCSRSTSE STAALGCLVK 150
 DYFPEPVITS WNSGALTSGV HTFPFAVLQSS GLYSLSVSVT VFSSSLGTTK 200
 YTCAVNDHKPS NTKVDKRVEST KYGPPCPCPK APEFLGGESV FLFPKPKEKT 250
 LMISRTPEVT CVVVDVQSED PEVQFWNVYD GVEVHNNAKTK PREEQFNSTY 300
 RVSVSLTVLH QDWLNGKEYK CKVSNKGLPS SIEKTISKAK GQPREPQVYT 350
 LPFSQEEMTK NQVSLLTCLVK GFYPSDIAVE WESNCQPFENN YKTPPPVLDs 400
 DGSFFLYSRL TVDKSRWQEG NVFSCSMHE ALHNHYTQKS LSLSLG 446

Light chain / Chaîne légère / Cadena ligera
 EIVLTOSPAT LSLSPGERAT MSCRASENID VSGISFMNWY QQKPGQAPKL 50
 LIYVASNQGS GIPARFGSGC SGTDFTLITIS RLEPFDFAVY YCQQSKEVWP 100
 TFGQGTKEI KRTVAAPSVF IFPPSDEQLK SGTASVCLL NNFFYPREAKV 150
 QWKVDNALQSG NSNQESVTEQ DSKDSTYSSLs STTLTSKADY EKKHVVYACEV 200
 THQGLSSEFTV KSFNNGEC 218

Post-translational modifications
Disulfide bridges location / Position des ponts disulfure / Posiciones de los puentes disulfuro
 Intra-H (C23-C104) 22-96 147-203 261-321 367-425
 22"-96" 147"-203" 261"-321" 367"-425"
 Intra-L (C23-C104) 23"-92" 138"-198"
 23"-92" 138"-198"
 Inter-H-L (CH1 10-CL 126) 134-218" 134"-218"
 Inter-H-H (h 8, h 11) 226-226" 229-229"

N-glycosylation sites / Sites de N-glycosylation / Posiciones de N-glicosilación
 H-CH2-N844.4;
 297, 297"
 Fucosylated complex bi-antennary CHO-type glycans / glycanes de type CHO bi-antennaires
 complejos fucosilés / glicanos de tipo CHO biantenarios complejos fucosilados

ezeprogindum

ezeprogind

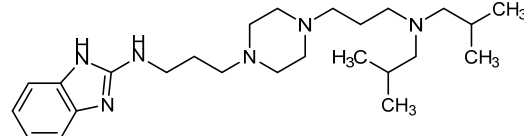
ézéprogind

ezeprogind

N-[3-(4-{3-[bis(2-methylpropyl)amino]propyl}piperazin-1-yl)propyl]-1*H*-benzimidazol-2-amine

N-[3-(4-{3-[bis(2-méthylpropyl)amino]propyl}piperazin-1-yl)propyl]-1*H*-benzimidazol-2-amine

N-[3-(4-{3-[bis(2-metilpropil)amino]propil}piperazin-1-il)propil]-1*H*-benzimidazol-2-amino



feladilimab #

feladilimab

immunoglobulin G4-kappa, anti-[*Homo sapiens* ICOS (inducible T-cell costimulator, activation-inducible lymphocyte immunomediatory molecule, AILIM, CD278)], humanized monoclonal antibody; gamma4 heavy chain humanized (1-448) [VH (*Homo sapiens* IGHV1-69*04 (84.7%) -(IGHD) -IGHJ6*01 (100%)) [8.8.14] (1-121) -*Homo sapiens* IGHG4*01, G4v5 h P10, G4v3 CH2 E1.2 (CH1 (122-219), hinge 1-12 S10>P (229)(220-231), CH2 L1.2>E (236) (232-341), CH3 (342-446), CHS (447-448)) (122-448)], (135-213')-disulfide with kappa light chain humanized (1'-213') [V-KAPPA (*Homo sapiens* IGKV3-11*01 (85.3%) -IGKJ2*01 (100%)) [5.3.9] (1'-106') -*Homo sapiens* IGKC*01 (100%), Km3 A45.1 (152), V101 (190) (107'-213')]; dimer (227-227":230-230")-bisdisulfide, produced in Chinese hamster ovary (CHO) cells, glycoform alfa

féladilimab

immunoglobuline G4-kappa, anti-[*Homo sapiens* ICOS (costimulateur inducible du lymphocyte T, molécule immunomédiateur lymphocytaire inducible par activation, AILIM, CD278)], anticorps monoclonal humanisé; chaîne lourde gamma4 humanisée (1-448) [VH (*Homo sapiens* IGHV1-69*04 (84.7%) -(IGHD) - IGHJ6*01 (100%)) [8.8.14] (1-121) -*Homo sapiens* IGHG4*01, G4v5 h P10, G4v3 CH2 E1.2 (CH1 (122-219), charnière 1-12 S10>P (229) (220-231), CH2 L1.2>E (236) (232-341), CH3 (342-446), CHS (447-448)) (122-448)], (135-213')-disulfure avec la chaîne légère kappa humanisée (1'-213') [V-KAPPA (*Homo sapiens* IGKV3-11*01 (85.3%) -IGKJ2*01 (100%)) [5.3.9] (1'-106') -*Homo sapiens* IGKC*01 (100%), Km3 A45.1 (152), V101 (190) (107'-213')]; dimère (227-227":230-230")-bisdisulfure, produit dans des cellules ovarianes de hamster chinois (CHO), glycoforme alfa

feladilimab

immunoglobulina G4-kappa, anti-[*Homo sapiens* ICOS (coestimulador inducible del linfocito T, molécula immunomediadora linfocitaria inducible para activación, AILIM, CD278)], anticuerpo monoclonal humanizado; cadena pesada gamma4 humanizada (1-448) [VH (*Homo sapiens* IGHV1-69*04 (84.7%) -(IGHD) - IGHJ6*01 (100%)) [8.8.14] (1-121) -*Homo sapiens* IGHG4*01, G4v5 h P10, G4v3 CH2 E1.2 (CH1 (122-219), bisagra 1-12 S10>P (229) (220-231), CH2 L1.2>E (236) (232-341), CH3 (342-446), CHS (447-448)) (122-448)], (135-213')-disulfuro con la cadena ligera kappa humanizada (1'-213') [V-KAPPA (*Homo sapiens* IGKV3-11*01 (85.3%) -IGKJ2*01 (100%)) [5.3.9] (1'-106') -*Homo sapiens* IGKC*01 (100%), Km3 A45.1 (152), V101 (190) (107'-213')]; dímero (227-227":230-230")-bisdisulfuro, producido por células ováricas de hamster chino (CHO), forma glicosilada alfa

Heavy chain / Chaîne lourde / Cadena pesada

QVQLVQSGAE VKKPGSSVKV SCKASCYFTF DYAMHWVRQA PGQCLEWMGL 50
 ISIYSDHTNY NQKFQGRVTI TADKSTSTAY MELSSLRSED TAVYYCGRNN 100
 YGNYGWYFDV WGQGTTVVS SASTKGPSVF PLAPGSRSTS ESTAALGCLV 150
 KDYFPEPVTV SWNSGALTSG VHTFPAILQS SGLYSLSSVV TVPSSSLGTK 200
 TYTCNVNDHKP SNTRVKDVRKE SKYGPFCPC PAFEFEGGFS VFLFFPKPKD 250
 TLMISRTPEV TCVWVDSQE DPEVQFNWVY DGVEVHNAKY KPREEQNST 300
 YRVVSVLITVL HQDWLNLKEY KCKVSNKGLP SSIEKTISKA KGQPREPQVY 350
 TLPSSQEEMT KNQVSLTCLV KGFPSPDIAV EWESNGQEN NYKTPPVLD 400
 SDGSFFLYSR LTVDKSRWQE GNVFSCSVMH EALHNHYTQK SLSLSLGLK 448

Light chain / Chaîne légère / Cadena ligera

EIVLTQSPAT LSLSFGERAT LSCSASSSVS YMHWYQQKPG QAPRLLIYDT 50
 SKLASGIPAR FSGSSGGTDX TLTISSLEPE DFAVYCCFGQ SCYPYTFQCG 100
 TKLEIKRTVA APVFIFPPS DEQLKSGTAS VVCLLNNFYP REAKVQWKVD 150
 NAHQSGNSQE SVTEQDSDKS TDYSLSSTLTL SKADYEKHKV YACEVTQHQL 200
 SSPVTKSFRN GEC 213

Post-translational modifications

Disulfide bridges location / Position des ponts disulfure / Posiciones de los puentes disulfuro
 Intra-H (C23-C104) 22-96 148-204 262-322 368-426
 22"-96" 148"-204" 262"-322" 368"-426"
 Intra-L (C23-C104) 23'-87' 133'-193'
 23"-87" 133"-193"
 Inter-H-L (CH1 10-CL 126) 135-213' 135"-213"
 Inter-H-H (h 8, h 11) 227-227" 230-230"

N-glycosylation sites / Sites de N-glycosylation / Posiciones de N-glicosilación
 H CH2 N84.4:
 298, 298"

Fucosylated complex bi-antennary CHO-type glycans / glycanes de tipo CHO bi-antennaires complexes fucosylés / glicanos de tipo CHO biantenarios complejos fucosilados

felzartamabum #

felzartamab

immunoglobulin G1-lambda, anti-[*Homo sapiens* CD38 (ADP-ribosyl cyclase 1, cyclic ADP-ribose hydrolase 1, cADPr hydrolase 1, T10)], humanized monoclonal antibody;
 gamma1 heavy chain (1-450) [VH (*Homo sapiens* IGHV3-30*01 (90.8%) -(IGHD) -IGHJ4*01 (92.9%)) CDR-IMGT [8.8.13] (26-33.51-58.97-109) (1-120) - *Homo sapiens* IGHG1*03 (100%) G1m3, nG1m1 (CH1 R120 (217) (121-218), hinge 1-15 (219-233), CH2 (234-343), CH3 E12 (359), M14 (361) (344-448), CHS (449-450)) (121-450)], (223-212')-disulfide with lambda light chain (1'-213') [V-LAMBDA (*Homo sapiens* IGLV3-1*01 (84.1%) -IGLJ3*02 (100%)) CDR-IMGT [6.3.10] (26-31.49-51.88-97) (1'-107') -*Homo sapiens* IGLC2*01 (100%) (108'-213')];
 dimer (229-229":232-232")-bisdisulfide, produced in human cell line PER.C6, glycoform alfa

felzartamab

immunoglobuline G1-lambda, anti-[*Homo sapiens* CD38 (ADP-ribosyl cyclase 1, ADP-ribose cyclique hydrolase 1, cADPr hydrolase 1, T10)], anticorps monoclonal humanisé ;
 chaîne lourde gamma1 (1-450) [VH (*Homo sapiens* IGHV3-30*01 (90.8%) -(IGHD) -IGHJ4*01 (92.9%)) CDR-IMGT [8.8.13] (26-33.51-58.97-109) (1-120) - *Homo sapiens* IGHG1*03 (100%) G1m3, nG1m1 (CH1 R120 (217) (121-218), charnière 1-15 (219-233), CH2 (234-343), CH3 E12 (359), M14 (361) (344-448), CHS (449-450)) (121-450)], (223-212')-disulfure avec la chaîne légère lambda (1'-213') [V-LAMBDA (*Homo sapiens* IGLV3-1*01 (84.1%) -IGLJ3*02 (100%)) CDR-IMGT [6.3.10] (26-31.49-51.88-97) (1'-107') -*Homo sapiens* IGLC2*01 (100%) (108'-213')];
 dimère (229-229":232-232")-bisdisulfure, produite dans des cellules humaines PER.C6, glycoforme alfa

felzartamab

inmunoglobulina G1-lambda, anti-[*Homo sapiens* CD38 (ADP-ribosil ciclase 1, ADP-riboosa cíclica hidrolasa 1, cADPr hidrolasa 1, T10)], anticuerpo monoclonal humanizado ; cadena pesada gamma1 (1-450) [VH (*Homo sapiens*IGHV3-30*01 (90.8%) -(IGHD) - IGHJ4*01 (92.9%)) CDR-IMGT [8.8.13] (26-33.51-58.97-109) (1-120) -*Homo sapiens*IGHG1*03 (100%) G1m3, nG1m1 (CH1 R120 (217) (121-218), bisagra 1-15 (219-233), CH2 (234-343), CH3 E12 (359), M14 (361) (344-448), CHS (449-450)) (121-450)], (223-212')-disulfuro con la cadena ligera lambda (1'-213') [V-LAMBDA (*Homo sapiens*IGLV3-1*01 (84.1%)-IGLJ3*02 (100%)) CDR-IMGT [6.3.10] (26-31.49-51.88-97) (1'-107') -*Homo sapiens*IGLC2*01 (100%) (108'-213')]; dímero (229-229":232-232")-bisdisulfuro, producida por células humanas PER.C6, glicoforma alfa

Heavy chain / Chaîne lourde / Cadena pesada
 QVQLVQESGGG LVQPGGSLRL SCAASCGFTFS SYMMNWVRQA PGKGLEWVSG 50
 ISGDPFSNTYY ADSVKGRFTI SRDNNSKNTLY LQMNSSLRAED TAVVYCARDL 100
 PLVYTGFAYY QGGTIVTVSS ASTKGPSVFP LAPSSKSTSG GTAALGCLVK 150
 DYPPEPVITVS WNSGALTSGV HTPPAVLQSS GLYSLSSVVT VPSSSLQTQ 200
 YICNVNKHPS NTKVDKRVEEP KSCDKTHTCP PCPAPELLGG PSVPLFPPKP 250
 KDTLMISRTP EVTCVVVDVS HEDPEVKFNW YVDGEVHNNA KTKPRREEQYN 300
 STYRVVSVLTL VHODQDWLNGK EYCKKVSNSKA LPAPIEKITIS KAKGQPREFQ 350
 VYTLPPSKER MTKNQVSLTC LVKGFYPSDI AVEWEWSNGQP ENNYKTTTPV 400
 LDSDGSFFLY SKLTVDKSRW QQGNVFSCSV MHEALHNHYT QKSSLSLSPGK 450

Light chain / Chaîne légère / Cadena ligera
 DIELTQPESV SVAPGQATAR SCSCDNLRHY YYVWWYQQKPG QAPVLUVYGD 50
 SKRPPSGIPER FSGSNNSGNTA TLTIISGTQAE DEADYYCQTY TGGASLIVFGG 100
 GTKLTIVLQQP KAAPSIVLTFP PSSEELQANK ATLVLCLISDF YPGAVTVANK 150
 ADSSPVKAGV ETTTPSKQSN NYKAASSYLS LTPEQWKSHR SYSQCQVTHEG 200
 STVEKTVAPT ECS 213

Post-translational modifications

Disulfide bridges location / Position des ponts disulfure / Posiciones de los puentes disulfuro
 Intra-H (C23-C104) 22-96 147-203 264-324 370-428
 22"-96" 147"-203" 264"-324" 370"-428"
 Intra-L (C23-C104) 22"-87" 135"-194"
 22"-87" 135"-194"
 Inter-H-L (h 5-CL 126) 223-212" 223"-212"
 Inter-H-H (h 11, h 14) 229-229" 232-232"

N-glycosylation sites / Sites de N-glycosylation / Posiciones de N-glicosilación
 H CH2 N84.4:
 300, 300"

Fucosylated complex bi-antennary PER.C6-type glycans / glycanes de type PER.C6
 bi-antennaires complexes fucosylés / glicanos de tipo PER.C6 biantenarios complejos
 fucosilados

filapixantum

filapixant

3-{{(2*R*)-4-methylmorpholin-2-yl}methoxy}-5-(5-methyl-1,3-thiazol-2-yl)-N-{{(1*R*)-1-[2-(trifluoromethyl)pyrimidin-5-yl]ethyl}benzamide

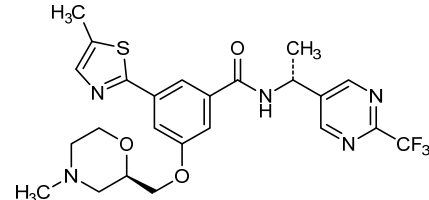
filapixant

3-{{(2*R*)-4-méthylmorpholin-2-yl)méthoxy}-5-(5-méthyl-1,3-thiazol-2-yl)-N-{{(1*R*)-1-[2-(trifluorométhyl)pyrimidin-5-yl]éthyl}benzamide

filapixant

3-{{(2*R*)-4-metilmorfolin-2-il)metoxi}-5-(5-metil-1,3-tiazol-2-il)-N-{{(1*R*)-1-[2-(trifluorometil)pirimidin-5-il]etil}benzamida

C₂₄H₂₆F₃N₅O₃S



fosciclopiroxum

fosciclopirox

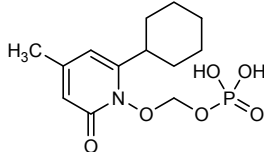
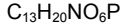
[(6-cyclohexyl-4-methyl-2-oxopyridin-1(2H)-yl)oxy]methyl dihydrogen phosphate

fosciclopirox

dihydrogénophosphate de [(6-cyclohexyl-4-méthyl-2-oxopyridin-1(2H)-yl)oxy]méthyle

fosciclopirox

dihidrogenofosfato de [(6-ciclohexil-4-metil-2-oxopiridin-1(2H)-il)oxi]metilo

**fosifidancitinibum**

fosifidancitinib

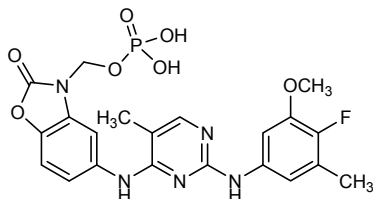
(5-{{[2-(4-fluoro-3-methoxy-5-methylanilino)-5-methylpyrimidin-4-yl]amino}-2-oxo-1,3-benzoxazol-3(2H)-yl)methyl dihydrogen phosphate

fosifidancitinib

dihydrogénophosphate de (5-{{[2-(4-fluoro-3-methoxy-5-methylanilino)-5-methylpyrimidin-4-yl]amino}-2-oxo-1,3-benzoxazol-3(2H)-yl)méthyle

fosifidancitinib

dihidrogenofosfato de (5-{{[2-(4-fluoro-5-metilanilino-3-metoxi)-5-methylpyrimidin-4-yl]amino}-2-oxo-1,3-benzoxazol-3(2H)-il)metilo

**genisteinum**

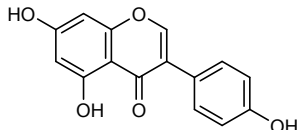
genistein

5,7-dihydroxy-3-(4-hydroxyphenyl)-4*H*-chromen-4-one

génistéine

5,7-dihydroxy-3-(4-hydroxyphényl)-4*H*-chromén-4-one

genisteína

5,7-dihidroxi-3-(4-hidroxifenil)-4*H*-cromen-4-ona

gilralimab #

gilralimab

immunoglobulin G1-kappa, anti-[*Homo sapiens* CD40 (tumor necrosis factor receptor super family member 5, TNFRSF5)], monoclonal antibody; gamma1 heavy chain (1-442) [VH (*Homo sapiens*IGHV4-59*01 (88.8%) -(IGHD) -IGHJ4*01 (85.7%)) CDR-IMGT [9.7.5] (26-34.52-58.97-101) (1-112) - *Homo sapiens*IGHG1*03v, G1m3>G1m17, nG1m1 (CH1 R120>K (209) (113-210), hinge 1-15 (211-225), CH2 V37>E (268) (226-335), CH3 E12 (351), M14 (353) (336-440), CHS (441-442)) (113-442)], (215-219')-disulfide with kappa light chain (1'-219') [V-KAPPA (*Mus musculus* IGKV1-122*01 (89.0%) -IGKJ4*01 (91.7%)/*Homo sapiens* IGKV2-29*02 (86.0%) -IGKJ2*02 (100%)) CDR-IMGT [11.3.9] (27-37.55-57.94-102) (1'-112') -*Homo sapiens* IGKC*01 (100%) Km3 A45.1 (158), V101 (196) (113'-219')]; dimer (221-221":224-224")-bisdisulfide

gilralimab

immunoglobuline G1-kappa, anti-[*Homo sapiens* CD40 (membre 5 de la superfamille des récepteurs du TNF, TNFRSF5)], anticorps monoclonal; chaîne lourde gamma1 (1-442) [VH (*Homo sapiens*IGHV4-59*01 (88.8%) -(IGHD) -IGHJ4*01 (85.7%)) CDR-IMGT [9.7.5] (26-34.52-58.97-101) (1-112) - *Homo sapiens*IGHG1*03v, G1m3>G1m17, nG1m1 (CH1 R120>K (209) (113-210), charnière 1-15 (211-225), CH2 V37>E (268) (226-335), CH3 E12 (351), M14 (353) (336-440), CHS (441-442)) (113-442)], (215-219')-disulfure avec la chaîne légère kappa (1'-219') [V-KAPPA (*Mus musculus* IGKV1-122*01 (89.0%) -IGKJ4*01 (91.7%)/*Homo sapiens* IGKV2-29*02 (86.0%) -IGKJ2*02 (100%)) CDR-IMGT [11.3.9] (27-37.55-57.94-102) (1'-112') -*Homo sapiens* IGKC*01 (100%) Km3 A45.1 (158), V101 (196) (113'-219')]; dimère (221-221":224-224")-bisdisulfure

gilralimab

inmunoglobulina G1-kappa, anti-[*Homo sapiens* CD40 (miembro 5 de la superfamilia de los receptores del TNF, TNFRSF5)], anticuerpo monoclonal; cadena pesada gamma1 (1-442) [VH (*Homo sapiens*IGHV4-59*01 (88.8%) -(IGHD) -IGHJ4*01 (85.7%)) CDR-IMGT [9.7.5] (26-34.52-58.97-101) (1-112) - *Homo sapiens*IGHG1*03v, G1m3>G1m17, nG1m1 (CH1 R120>K (209) (113-210), bisagra 1-15 (211-225), CH2 V37>E (268) (226-335), CH3 E12 (351), M14 (353) (336-440), CHS (441-442)) (113-442)], (215-219')-disulfuro con la cadena ligera kappa (1'-219') [V-KAPPA (*Mus musculus* IGKV1-122*01 (89.0%) -IGKJ4*01 (91.7%)/*Homo sapiens* IGKV2-29*02 (86.0%) -IGKJ2*02 (100%)) CDR-IMGT [11.3.9] (27-37.55-57.94-102) (1'-112') -*Homo sapiens* IGKC*01 (100%) Km3 A45.1 (158), V101 (196) (113'-219')]; dímero (221-221":224-224")-bisdisulfuro

Heavy chain / Chaîne lourde / Cadena pesada
 EVQLQESGPV LVKPSETLISL TCTVSGYSIT SNYYWNWIRO PPGKGLEWMG 50
 YIRYDGSNNY NPSLKKNRVTI SRDTSKNQFS LKLSSVTAD TAVYCCARLD 100
 YWQQGTTVTV SSASTKGPSV FPLAPSSKST SGQTAAALCCL VKDYFPEPV 150
 VSNNSGALTIS GVHTFPALIQ SSSLGYSLLSV VTVTPSSIGT QTYICNVNHK 200
 PSNTKVDKKV EPKSCDKTHH CPPCPAPELL GGGSVFLFPP KFKDTLMISR 250
 TPEVTCVVVD VSHEDPEKEF CPPCPAPELL GGGSVFLFPP KFKDTLMISR 250
 LTVLHQDWLN GREYCKKVSN KALPAPIEKT ISRAKGQPRE PQVYTLPESR 300
 EEMTKNQVSL TCLVKGYFPS DIAVENEWSNG QPENNYKTTP VLVIDSDGSFF 400
 LYSKLTVOKS RWQQGNVFSC SVMHEALHNH YTQKSLSLSP GK 442

Light chain / Chaîne légère / Cadena ligera
 DIVMTQTPLS LSVTQPGQPAS ISCRSSQSLE NTNGNTFLNW YLQKPGQSPQ 50
 LLIYRVSNRFE SGVPDRFGS GSGTDFTLKI SRVEAEDWGV YYCLQVTHVP 100
 FTFGQGTKELE IKRTVAAPSV FIFPPSDEQI KSGTASVCL LNNFYPREAK 150
 VQNKVDNALQ SGNSQEVSTE QDSKDSTYSL SSTLTLSKAD YEKHKVYACE 200
 VTHQGLSSPV TKSFNRGEC 219

Post-translational modifications
 Disulfide bridges location / Position des ponts disulfure / Posiciones de los puentes disulfuro
 Intra-H (C23-C104) 22-96 139-195 256-316 362-420
 22"-96" 139"-195" 256"-316" 362"-420"
 Intra-L (C23-C104) 23-93 139"-199"
 23"-93" 139"-199"
 Inter-H-L (h 5-CL 126) 215-219" 215"-219"
 Inter-H-H (h 11, h 14) 221-221" 224-224"

N-glycosylation sites / Sites de N-glycosylation / Posiciones de N-glicosilación
 H CH2 N84:4:
 292, 292"
 Fucosylated complex bi-antennary CHO-type glycans / glycanes de type CHO bi-antennaires
 complejos fucosilados

C-terminal lysine clipping:
 H CHS K2:
 442, 442"

giredestrantum

giredestrant

3-[(1*R*,3*R*)-1-(2,6-difluoro-4-[(1-(3-fluoropropyl)azetidin-3-yl]amino)phenyl)-3-methyl-1,3,4,9-tetrahydro-2*H*-pyrido[3,4-*b*]indol-2-yl]-2,2-difluoropropan-1-ol

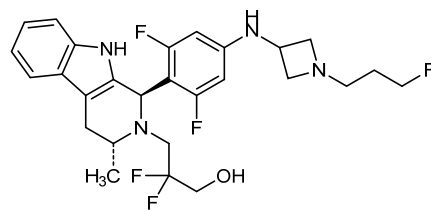
girédestrant

3-[(1*R*,3*R*)-1-(2,6-difluoro-4-[(1-(3-fluoropropyl)azétidin-3-yl]amino)phényl)-3-méthyl-1,3,4,9-tétrahydro-2*H*-pyrido[3,4-*b*]indol-2-yl]-2,2-difluoropropan-1-ol

giredestrant

3-[(1*R*,3*R*)-1-(2,6-difluoro-4-[(1-(3-fluoropropyl)azetidin-3-yl]amino)fenil)-3-metil-1,3,4,9-tetrahidro-2*H*-pirido[3,4-*b*]indol-2-yl]-2,2-difluoropropan-1-ol

C₂₇H₃₁F₅N₄O



icenticaftor

icenticaftor

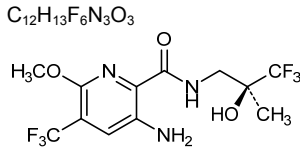
3-amino-6-methoxy-N-[(2S)-3,3,3-trifluoro-2-hydroxy-2-methylpropyl]-5-(trifluoromethyl)pyridine-2-carboxamide

icenticaftor

3-amino-6-méthoxy-N-[(2S)-3,3,3-trifluoro-2-hydroxy-2-méthylpropyl]-5-(trifluorométhyl)pyridine-2-carboxamide

icenticaftor

3-amino-6-metoxi-N-[(2S)-3,3,3-trifluoro-2-hidroxi-2-metilpropil]-5-(trifluorometil)piridina-2-carboxamida

**icerguastatum**

icerguastat

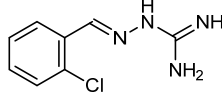
(2E)-2-[(2-chlorophenyl)methylidene]hydrazine-1-carboximidamide

icerguastat

(2E)-2-[(2-chlorophénolyméthylidène]hydrazine-1-carboximidamide

icerguastat

(2E)-2-[(2-clorofenil)metylideno]hidrazina-1-carboximidamida

**idetrexedum**

idetrexed

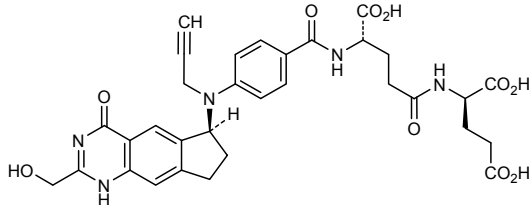
N-(4-{[(6*S*)-2-(hydroxymethyl)-4-oxo-4,6,7,8-tetrahydro-1*H*-cyclopenta[*g*]quinazolin-6-yl}(prop-2-yn-1-yl)amino}benzoyl)-L-γ-glutamyl-D-glutamic acid

idétrexed

acide *N*-(4-{[(6*S*)-2-(hydroxyméthyl)-4-oxo-4,6,7,8-tétrahydro-1*H*-cyclopenta[*g*]quinazolin-6-yl}(prop-2-yn-1-yl)amino}benzoyl)-L-γ-glutamyl-D-glutamique

idetrexed

ácido *N*-(4-{[(6*S*)-2-(hidroximetil)-4-oxo-4,6,7,8-tetrahidro-1*H*-ciclopenta[*g*]quinazolin-6-il}(prop-2-in-1-il)amino}benzoil)-L-γ-glutamil-D-glutámico



ifidancitinibum

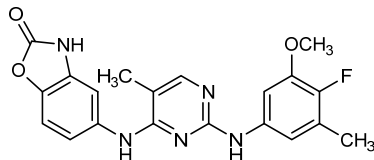
ifidancitinib

5-{{[2-(4-fluoro-3-methoxy-5-methylanilino)-5-methylpyrimidin-4-yl]amino}-1,3-benzoxazol-2(3*H*)-one

ifidancitinib

5-{{[2-(4-fluoro-3-méthoxy-5-méthylanilino)-5-méthylpyrimidin-4-yl]amino}-1,3-benzoxazol-2(3*H*)-one

ifidancitinib

5-{{[2-(4-fluoro-5-metilanilino-3-metoxi)-5-metilpirimidin-4-il]amino}-1,3-benzoxazol-2(3*H*)-ona**imaradenantum**

imaradenant

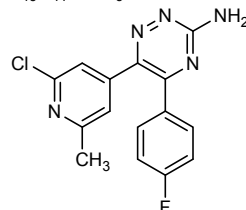
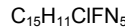
6-(2-chloro-6-methylpyridin-4-yl)-5-(4-fluorophenyl)-1,2,4-triazin-3-amine

imaradénant

6-(2-chloro-6-méthylpyridin-4-yl)-5-(4-fluorophényl)-1,2,4-triazin-3-amine

imaradenant

6-(2-cloro-6-metilpiridin-4-il)-5-(4-fluorofenil)-1,2,4-triazin-3-amina

**inavolisibum**

inavolisib

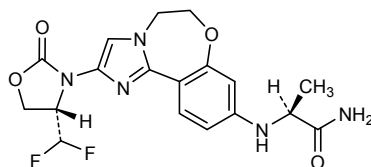
(2*S*)-2-((2-[(4*S*)-4-(difluoromethyl)-2-oxo-1,3-oxazolidin-3-yl]-5,6-dihydroimidazo[1,2-*d*][1,4]benzoxazepin-9-yl)amino)propenamide

inavolisib

(2*S*)-2-((2-[(4*S*)-4-(difluorométhyl)-2-oxo-1,3-oxazolidin-3-yl]-5,6-dihydroimidazo[1,2-*d*][1,4]benzoxazépin-9-yl)amino)propenamide

inavolisib

(2*S*)-2-((2-[(4*S*)-4-(difluorometil)-2-oxo-1,3-oxazolidin-3-il]-5,6-dihidroimidazo[1,2-*d*][1,4]benzoxazepin-9-il)amino)propanamida

**insulinum efsitorum alfa #**

insulin efsitora alfa

human insulin B-chain (1-30) variant ($\text{Y}^{16}>\text{E}$, $\text{F}^{25}>\text{H}$, $\text{T}^{27}>\text{G}$, $\text{P}^{28}>\text{G}$, $\text{K}^{29}>\text{G}$, $\text{T}^{30}>\text{G}$) fused via a G_2SG_4 peptide linker (31-37) to human insulin A-chain (38-58) variant ($\text{I}^{10}>\text{T}^{47}$, $\text{Y}^{14}>\text{D}^{51}$, $\text{N}^{21}>\text{G}^{58}$) and via a $(\text{G}_4\text{Q})_3\text{G}_5$ peptide linker (59-78) to a human immunoglobulin G2 C-terminal K>del Fc fragment (79-299), dimer (80-80':83-83')-bisdisulfide, produced in Chinese hamster ovary (CHO) cells, glycoform alfa

insuline efsitora alfa

chaîne B de l'insuline humaine (1-30) variant ($\text{Y}^{16}>\text{E}$, $\text{F}^{25}>\text{H}$, $\text{T}^{27}>\text{G}$, $\text{P}^{28}>\text{G}$, $\text{K}^{29}>\text{G}$, $\text{T}^{30}>\text{G}$) fusionné via un peptide liant G_2SG_4 (31-37) à la chaîne A de l'insuline humaine (38-58) variant ($\text{I}^{10}>\text{T}^{47}$, $\text{Y}^{14}>\text{D}^{51}$, $\text{N}^{21}>\text{G}^{58}$) et via un peptide liant $(\text{G}_4\text{Q})_3\text{G}_5$ (59-78) au fragment Fc C-terminal K>del de l'immunoglobuline G2 humaine (IgG2) (79-299), dimère (80-80':83-83')-bisdisulfure, produit par des cellules ovariques de hamster chinois (CHO), glicoforme alfa

insulina efsitora alfa

cadena B de la insulina humana (1-30) variante ($\text{Y}^{16}>\text{E}$, $\text{F}^{25}>\text{H}$, $\text{T}^{27}>\text{G}$, $\text{P}^{28}>\text{G}$, $\text{K}^{29}>\text{G}$, $\text{T}^{30}>\text{G}$) fusionada a través de un péptido que se une G_2SG_4 (31-37) a la cadena A de la insulina humana (38-58) variante ($\text{I}^{10}>\text{T}^{47}$, $\text{Y}^{14}>\text{D}^{51}$, $\text{N}^{21}>\text{G}^{58}$) y a través de un péptido que se une $(\text{G}_4\text{Q})_3\text{G}_5$ (59-78) al fragmento Fc C-terminal K>del de la inmunoglobulina G2 humana (IgG2) (79-299), dímero (80-80':83-83')-bisdisulfuro, producido por las células ováricas de hamster chino (CHO), glicoforma alfa

Sequence / Séquence / Secuencia

FWVNQHLCGSH	LVEALELVLCG	ERGFHYGGGG	GGSGGGGGIV	EQCCSTSTCSL	50
DQLENYCCGG	GGGGGGGGGG	GGGGGGGGEC	PPCPAPPVAG	PSVFLFPKPK	100
KDTLMISRTP	EVTCVVVDVS	HEDPEVQFNW	YVDGVEVHNA	KTKPREEQFN	150
STFRVVSVLT	VVHQDWLNGK	EYKKVSNKG	LPAPIEKTIIS	KTKQGPREPQ	200
VYTLPSSREE	MTKNQVSLTC	LVKGFYPSDI	AWEWSNGQP	ENNYKTTPPPQ	250
LDSDGSSFFLY	SKLTVDKSRW	QQGNVFSCSV	MHEALHNHYT	QKSLSLSPG	299

Post-translational modifications / Modifications post-traductionnelles / Modificaciones posttraduccionales

Disulfide bridges location / Position des ponts disulfure / Posiciones de los puentes disulfuro
 B-A 7-44 19-57 B'-A' 7'-44' 19'-57'
 A-A 43-48 A'-A' 43'-48'
 Intra-Fc 114-174 220-278 114'-174' 220'-278'
 Inter-Fc 80-80' 83-83'

Glycosylation sites / Sites de glycosylation / Posiciones de glicosilación

N150, N150'
 Fucosylated complex bi-antennary CHO-type glycans / Glycans de type CHO bi-antennaires complexes fucosylés / Glicanos de tipo CHO biantenarios complejos fucosilados

iptacopanum

iptacopan

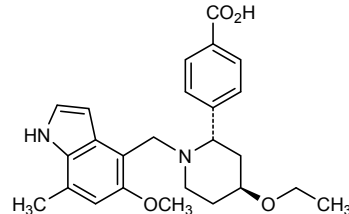
4-((2S,4S)-4-ethoxy-1-[(5-methoxy-7-methyl-1*H*-indol-4-yl)methyl]piperidin-2-yl)benzoic acid

iptacopan

acide 4-[(2S,4S)-4-éthoxy-1-[(5-méthoxy-7-méthyl-1H-indol-4-yl)méthyl]pipéridin-2-yl}benzoïque

iptacopán

ácido 4-[(2S,4S)-4-etoxi-1-[(7-metil-5-metoxi-1H-indol-4-il)metil]piperidin-2-il}benzoico

 $C_{25}H_{30}N_2O_4$ **isecarosmabum #**

isecarosmab

immunoglobulin single chain VH-VH', anti-[*Homo sapiens* ADAMTSL5 (ADAMTS like 5, THSD6, thrombospondin type I domain 6)] and anti-[*Homo sapiens* ALB (albumin, human serum albumin, HSA)], *Lama glama* and humanized monoclonal antibody, bispecific bivalent; sc VH-VH'(1-275) [*Lama glama* VH anti-ADAMTSL5 (*Lama glama*IGHV3S1*01 (81.4%) -(IGHD)-IGHJ2*01 (100%)/*Homo sapiens*IGHV3-23*04 (80.2%) -(IGHD)-IGHJ1*01 (100%) [8.8.17] (1-124)) -35-mer (GGGGS)7 linker (125-159)-humanized VH anti-ALB (*Homo sapiens*IGHV3-23*04 (87.5%) -(IGHD)-IGHJ1*01 (100%) [8.8.8] (160-275), produced in *Pichia pastoris* yeast, non-glycosylated

isécarosmab

immunoglobuline single chaîne VH-VH', anti-[*Homo sapiens* ADAMTSL5 (ADAMTS like 5, thrombospondine type I domaine 6)] et anti-[*Homo sapiens* ALB (albumine, sérum albumine humaine, SAH)], anticorps monoclonal *Lama glama* et humanisé, bispécifique bivalent; sc VH-VH' (1-275) [*Lama glama* VH anti-ADAMTSL5 (*Lama glama*IGHV3S1*01 (81.4%) -(IGHD)-IGHJ2*01 (100%)/*Homo sapiens*IGHV3-23*04 (80.2%) -(IGHD)-IGHJ1*01 (100%) [8.8.17] (1-124)) -35-mer (GGGGS)7 linker (125-159)-VH humanisé anti-ALB (*Homo sapiens*IGHV3-23*04 (87.5%) -(IGHD)-IGHJ1*01 (100%) [8.8.8] (160-275), produit dans la levure *Pichia pastoris*, non-glycosylé

isecarosmab

inmunoglobulina cadena simple VH-VH', anti-[*Homo sapiens* ADAMTSL5 (ADAMTS like 5, trombospondina tipo I dominio 6)] y anti-[*Homo sapiens* ALB (albúmina, sero albúmina humana, SAH)], anticuerpo monoclonal *Lama glama* y humanizado, biespecífico bivalente; sc VH-VH' (1-275) [*Lama glama* VH anti-ADAMTSL5 (*Lama glama*IGHV3S1*01 (81.4%) -(IGHD)-IGHJ2*01 (100%)/*Homo sapiens*IGHV3-23*04 (80.2%) -(IGHD)-IGHJ1*01 (100%) [8.8.17] (1-124)) -linker 35-mer (GGGGS)7 (125-159)-VH humanizado anti-ALB (*Homo sapiens*IGHV3-23*04 (87.5%) -(IGHD)-IGHJ1*01 (100%) [8.8.8] (160-275), producido en la levadura *Pichia pastoris*, no glicosilado

scVH-VH' chain / Chaîne scVH-VH' / Cadena scVH-VH'
 DVLQIVESGGG VVQPGGSRL SCAASGRTVS SYAMGWFRQA PGKEREVFAG 50
 ISRSAERTYY VDSLKGRTFI SRDNNSKNTVY LQMNSLRPED TALYYCACADI 100
 DPNRIFSRREE YAYWVGOTLV TVSSGGGGSG GGGSGGGGSG GGGSGGGGSG 150
 GGGSAGGTFS FGMSWVRQAF 200
 GKGLGEWVSSI SGSGSDTLYA DSVKGRFTIS RDNAKTTLYL QMNSLRFEDT 250
 ALYYCTIGGS LSRSQQGTLV TVSSA 275

Post-translational modifications

Disulfide bridges location / Position des ponts disulfure / Posiciones de los puentes disulfuro
 Intra-single chain (C23-C104) 22-96 181-255

No N-glycosylation sites / pas de sites de N-glycosylation / ningún sitio de N-glicosilación

itacnosertibum

itacnosertib

N⁴-[(2,2'-bipyridin]-3-yl)-N⁶-[3-methoxy-4-(4-methylpiperazin-1-yl)phenyl]pyrimidine-2,4-diamine

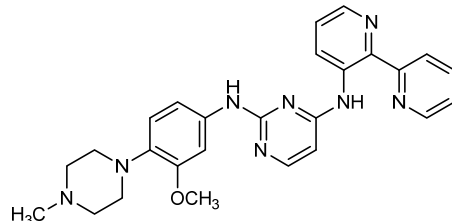
itacnosertib

N⁴-[(2,2'-bipyridin]-3-yl)-N⁶-[3-méthoxy-4-(4-méthylpipérazin-1-yl)phényl]pyrimidine-2,4-diamine

itacnosertib

N⁴-[(2,2'-bipyridin]-3-yl)-N⁶-[4-(4-methylpiperazin-1-il)-3-metoxifenil]pirimidina-2,4-diamina

C₂₆H₂₈N₈O

**itepekimabum #**

itepekimab

immunoglobulin G4-kappa, anti-[*Homo sapiens* IL33 (interleukin 33, interleukin-1 family member 11, IL1F11, nuclear factor for high endothelial venules, NF-HEV)], monoclonal antibody; gamma4 heavy chain (1-449) [VH (*Homo sapiens* IGHV3-23*04 (88.8%) -(IGHD) -IGHJ6*03 (91.0%)) [8.8.15] (1-122) -*Homo sapiens* IGHG4*01, G4v5 h P10 (CH1 (123-220), hinge 1-12 S10>P (230)(221-232), CH2 (233-342), CH3 (343-447), CHS (448-449)) (123-449)], (136-214')-disulfide with kappa light chain (*Homo sapiens* (1'-214') [V-KAPPA (*Homo sapiens* IGKV1-12*01 (96.8%) -IGKJ5*01 (100%)) [6.3.9] (1'-107') -*Homo sapiens* IGKC*01 (100%), Km3 A45.1 (153), V101 (191) (108'-214')]; dimer (228-228":231-231")-bisdisulfide, produced in Chinese hamster ovary (CHO) cells, glycoform alfa

itépékimab

immunoglobuline G4-kappa, anti-[*Homo sapiens* IL33 (interleukine 33, membre 11 de la famille 1 d'interleukines, IL1F11, facteur nucléaire des veinules à haut endothélium, NF-HEV)], anticorps monoclonal; chaîne lourde gamma4 (1-449) [VH (*Homo sapiens* IGHV3-23*04 (88.8%) -(IGHD) -IGHJ6*03 (91.0%)) [8.8.15] (1-122) -*Homo sapiens* IGHG4*01, G4v5 h P10 (CH1 (123-220), charnière 1-12 S10>P (230)(221-232), CH2 (233-342), CH3 (343-447), CHS (448-449)) (123-449)], (136-214')-disulfure avec la chaîne légère kappa (1'-214') [V-KAPPA (*Homo sapiens* IGKV1-12*01 (96.8%) -IGKJ5*01 (100%)) [6.3.9] (1'-107') -*Homo sapiens* IGKC*01 (100%), Km3 A45.1 (153), V101 (191) (108'-214')]; dimère (228-228":231-231")-bisdisulfure, produit dans des cellules ovaries de hamster chinois (CHO), glycoforme alfa

itepekimab

inmunoglobulina G4-kappa, anti-[*Homo sapiens* IL33 (interleukina 33, miembro 11 de la familia 1 de interleukinas, IL1F11, factor nuclear de las vérulas del endotelio alto, NF-HEV)], anticuerpo monoclonal; cadena pesada gamma4 (1-449) [VH (*Homo sapiens*IGHV3-23*04 (88.8%) -(IGHD) -IGHJ6*03 (91.0%)) [8.8.15] (1-122) -*Homo sapiens* IGHG4*01, G4v5 h P10 (CH1 (123-220), bisagra 1-12 S10>P (230)(221-232), CH2 (233-342), CH3 (343-447), CHS (448-449) (123-449)], (136-214')-disulfuro con la cadena ligera kappa (1'-214') [V-KAPPA (*Homo sapiens* IGKV1-12*01 (96.8%) -IGKJ5*01 (100%)) [6.3.9] (1'-107') -*Homo sapiens* IGKC*01 (100%), Km3 A45.1 (153), V101 (191) (108'-214')]; dímero (228-228":231-231")-bisdisulfuro, producido por células ováricas de hamster chino (CHO), forma glicosilada alfa

Heavy chain / Chaîne lourde / Cadena pesada

```

EVOLVESGGN LEQPGGSLRL SCTASCGFTFS RSAMNNWVRRA PGKGLEWVG 50
ISGSGGRTYY ADSVKGRFTI SRDNNSKNTLY LQMNLSAED TAAIYCAKDS 100
YTTSWYGGMD VMGHTTGTIV SSASTKGPSV FPLAPCSRSV SESTAALGCL 150
VKDYFPEPVTV WSWSNSGALTQ GVHTFPAVLQ SSGLYLSLSSV VTVFSSSLCT 200
KTYTCNVWDH E PSNTKVDKRV ESKYGGPPCP CAAPEFLQGG SVFLFPFKPK 250
DTLMISRTEP VTCVVVDVSG EDPEVQFNWY VDGVEVNNAAT TKPREEQFN 300
TYRVSVLTW LHQDWLNKE YKCKVSNKGL PSSIEKTISI AKGQPREPOV 350
YTLPPSQEEM TKNQVSITCL VKGFYPSDIA VEWESNGQPE NNYKTTFPV 400
DSGSSEFLYS RLTVDKSRWQ EGNVFSCSVM HEALHNHYTQ KSLSLSLGK 449

```

Light chain / Chaîne légère / Cadena ligera

```

DIQMOTQSPSS VSASVGDWRV ITCRASQGIF SWLAWYQQKP GKAKPLLIIYA 50
ASSLQSQVES RFSGSGGSTD FTLTISLQP EDEFAIYVQCO ANSVPITFGQ 100
GTRLEIKRTV AAPSVFIFPP SDEQLKSGTA SVVCLNNFY PREAKVQWKV 150
DNAIQSGNSQ ESVTBQDSRD STYSLSSLT LSKADYEKRHK YVACEVTHQG 200
LSSPVTKSFN RGEC 214

```

Post-translational modifications

Disulfide bridges location / Position des ponts disulfure / Posiciones de los puentes disulfuro
 Intra-H (C23-C104) 22-96 149-205 263-323 369-427
 22"-96" 149"-205" 263"-323" 369"-427"
 Intra-L (C23-C104) 23-88 134"-194"
 23"-88" 134"-194"
 Inter-H-L (CH1 10-CL 126) 136-214" 136"-214"
 Inter-H-H (h 8, h 11) 228-228" 231-231"

N-glycosylation sites / Sites de N-glycosylation / Posiciones de N-glicosilación

HCH2 N84.4:
 299, 299"

Fucosylated complex bi-antennary CHO-type glycans / glycanes de tipo CHO bi-antennaires complexes fucosylés / glicanos de tipo CHO biantenarios complejos fucosilados

C-terminal lysine clipping:

HCHS K2:
 449, 449"

izaflortaucipirum (18F)
izaflortaucipir (18F)

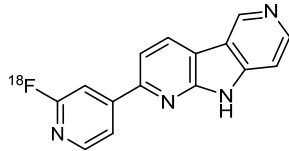
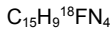
izaflortaucipir (18F)

2-(2-(¹⁸F)fluoropyridin-4-yl)-9*H*-pyrrolo[2,3-*b*:4,5-*c*]dipyridine

2-(2-(¹⁸F)fluoropyridin-4-yl)-9*H*-pyrrolo[2,3-*b*:4,5-*c*]dipyridine

izaflortaucipir (18F)

2-(2-(¹⁸F)fluoropiridin-4-ii)-9*H*-pirrolo[2,3-*b*:4,5-*c*]dipiridina

**izokibepum #**

izokibep

fusion protein composed of 3 binding domains consisting of three-alpha-helix motifs, each derived from the immunoglobulin (Ig)-binding Z-domain of staphylococcal protein A (SpA), engineered for binding to two homodimer subunits of human interleukin 17A (IL17A) with the two identical N- and C-terminal domains (1-58, 116-173) and to the domain II of human serum albumin (HSA) with the central domain (59-110), connected via a G₄S peptide linker (111-115); [IL17A-binding engineered SpA peptide (1-58)]-[HSA-binding engineered SpA peptide (59-110)]-[G₄S linker (111-115)]-[IL17A-binding engineered SpA peptide (116-173)] fusion protein; produced in *Escherichia coli*

izokibep

protéine de fusion composée de 3 domaines liants, chacun consistant en un motif à 3 hélices alpha dérivé du domaine Z de la protéine staphylocoque A (SpA) se liant à l'immunoglobuline (Ig), mis au point pour se lier aux deux homodimères des sous-unités de l'interleukine 17A humaine (IL17A) avec les deux domaines N- et C-terminaux identiques (1-58, 116-173), et au domaine II de l'albumine sérique humaine (ASH, HSA) avec le domaine central (59-110), connecté via un peptide liant G₄S (111-115); protéine de fusion [peptide SpA mis au point pour se lier à l'IL17A (1-58)]-[peptide SpA mis au point pour se lier au HSA (59-110)]-[peptide liant G₄S (111-115)]-[peptide SpA mis au point pour se lier à l'IL17A (116-173)]; produite par *Escherichia coli*

izokibep

proteína de fusión compuesta de 3 dominios de unión, cada uno consistente en un motivo con 3 hélices alfa derivado del dominio Z de la proteína estafilocócica A (SpA) que se une a la inmunoglobulina (Ig), diseñado para unirse a los dos homodímeros de las sub-unidades de la interleukina 17A humana (IL17A) con los dos dominios N- y C-terminal idénticos (1-58, 116-173), y con el dominio II de la albúmina sérica humana (ASH, HSA) con el dominio central (59-110), conectado a través de un péptido que se une a G₄S (111-115); proteína de fusión [péptido SpA diseñado para unirse a la IL17A (1-58)]-[péptido SpA diseñado para unirse al HSA (59-110)]-[G₄S linker (111-115)]-[péptido SpA diseñado para unirse a la IL17A (116-173)]; producida por *Escherichia coli*

Sequence / Séquence / Secuencia
 AEAKYAKEAD DAAVEIASLP NLTWDQWYAF IQKLRRDPSQ SSELLSEAKK 50
 LNDSQAPKAS GSIAEAEKA NAEELDSYGVIS DFYKRLIDKA KTVEGVEALK 100
 DAIILAALPGT GGGGSAEAKY AKEADDAAVE IASLPNLTWQ QWYAFIQKLR 150
 DDPSQSSELL SEAKKLNDSQ APK 173

Post-translational modifications / Modifications post-traductionnelles / Modificaciones
 posttraduccionales
 None / aucune / ninguna

lazuvapagonum

lazuvapagon

(4S)-*N*-(2*S*)-1-hydroxypropan-2-yl]-methyl-1-[2-methyl-4-(3-methyl-1*H*-pyrazol-1-yl)benzoyl]-2,3,4,5-tetrahydro-1*H*-1-benzazepine-4-carboxamide

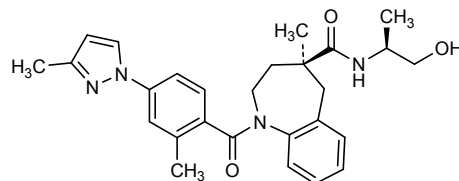
lazuvapagon

(4*S*)-*N*-(2*S*)-1-hydroxypropan-2-yl]-methyl-1-[2-méthyl-4-(3-méthyl-1*H*-pirazol-1-yl)benzoyl]-2,3,4,5-tétrahydro-1*H*-1-benzazépine-4-carboxamide

lazuvapagón

(4*S*)-*N*-(2*S*)-1-hidroxipropan-2-il]-metil-1-[2-metil-4-(3-metil-1*H*-pirazol-1-il)benzoil]-2,3,4,5-tetrahidro-1*H*-1-benzazepina-4-carboxamida

C₂₇H₃₂N₄O₃



lecanemabum #

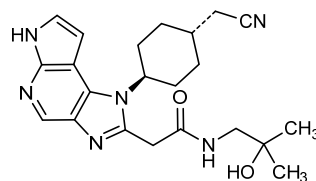
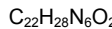
lecanemab

immunoglobulin G1-kappa, anti-[*Homo sapiens* APP (amyloid beta A4 precursor protein) soluble beta-amyloid protofibrill], monoclonal antibody;
 gamma1 heavy chain (1-454) [VH (*Homo sapiens* IGHV3-48*01 (89.8%) -(IGHD) -IGHJ4*01 (92.3%)) CDR-IMGT [8.8.17] (26-33.51-58.97-113) (1-124) -*Homo sapiens*IGHG1*03 (100%) G1m3, nG1m1 (CH1 R120 (221) (125-222), hinge 1-15 (223-237), CH2 (238-347), CH3 E12 (363), M14 (365) (348-452), CHS (453-454)) (125-454)], (227-219')-disulfide with kappa light chain (1'-219') [VKAPPA (*Mus musculus* IGKV1-117*01 (91%) -IGKJ1*02 (90.9%)/*Homo sapiens* IGKV2-30*02 (84.0%) -IGKJ2*01 (90.9%)) CDR-IMGT [11.3.9] (27-37.55-57.94-102) (1'-112') -*Homo sapiens* IGKC*01 (100%), Km3 A45.1 (158), V101 (196) (227'-219')]; dimer (233-233"-236-236")-bisdisulfide, produced in Chinese hamster ovary (CHO) cells, glycoform alfa

lécanémab

immunoglobuline G1-kappa, anti-[*Homo sapiens* APP (protéine précurseur amyloïde bêta A4) protofibrille bêta amyloïde soluble], anticorps monoclonal;
 chaîne lourde gamma1 (1-454) [VH (*Homo sapiens* IGHV3-48*01 (89.8%) -(IGHD) -IGHJ4*01 (92.3%)) CDR-IMGT [8.8.17] (26-33.51-58.97-113) (1-124) -*Homo sapiens*IGHG1*03 (100%) G1m3, nG1m1 (CH1 R120 (221) (125-222), charnière 1-15 (223-237), CH2 (238-347), CH3 E12 (363), M14 (365) (348-452), CHS (453-454)) (125-454)], (227-219')-disulfure avec la chaîne légère kappa

	(1'-219') [V-KAPPA (<i>Mus musculus</i> IGKV1-117*01 (91%) - IGKJ1*02 (90.9%)/ <i>Homo sapiens</i> IGKV2-30*02 (84.0%) -IGKJ2*01 (90.9%)) CDR-IMGT [11.3.9] (27-37.55-57.94-102) (1'-112') - <i>Homo sapiens</i> IGKC*01 (100%), Km3 A45.1 (158), V101 (196) (227'-219')]; dimère (233-233":236-236")-bisdisulfure, produite dans des cellules ovariennes de hamster chinois (CHO), glycoforme alfa
lecanemab	inmunoglobulina G1-kappa, anti-[<i>Homo sapiens</i> APP (proteína precursor amiloide beta A4) protofibrilla beta amiloide soluble], anticuerpo monoclonal; cadena pesada gamma1 (1-454) [VH (<i>Homo sapiens</i> IGHV3-48*01 (89.8%) -(IGHD) -IGHJ4*01 (92.3%)) CDR-IMGT [8.8.17] (26-33.51-58.97-113) (1-124) - <i>Homo sapiens</i> IGHG1*03 (100%) G1m3, nG1m1 (CH1 R120 (221) (125-222), bisagra 1-15 (223-237), CH2 (238-347), CH3 E12 (363), M14 (365) (348-452), CHS (453-454)) (125-454)], (227-219')-disulfuro con la cadena ligera kappa (1'-219') [V-KAPPA (<i>Mus musculus</i> IGKV1-117*01 (91%) -IGKJ1*02 (90.9%)/ <i>Homo sapiens</i> IGKV2-30*02 (84.0%) -IGKJ2*01 (90.9%)) CDR-IMGT [11.3.9] (27-37.55-57.94-102) (1'-112') - <i>Homo sapiens</i> IGKC*01 (100%), Km3 A45.1 (158), V101 (196) (227'-219')]; dímero (233-233":236-236")-bisdisulfuro, producida por células ováricas de hamster chino (CHO), forma glicosilada alfa
	Heavy chain / Chaîne lourde / Cadena pesada EVQIVLESGGG LVQPGGSRLR SCSASGFTFS SFGMHWWVRQK PGKGLEWWAY 50 ISSGSSTIYY GDTVKGRFTI SRDNNAKNSLF LQMSSLRAED TAVYYCAREG 100 GYYYGRSYYY MDYWQGQGTTV TVSSASTKGP SVFPLAFPSK STSGGTAALG 150 CLVKDYFPEE VTVSNMSGAL TSGVHTFPAV LQSSGLYLSL SVTVVTPSSL 200 GTQTYICNVAI HKPSNTKVDK RVEPKSCDKT HTCPCPAPE LLLGGPSVFLF 250 PPEPKDTLMR SRTPEVTCVV DVDSHEDPEV KFNWVWDGV E VHNAAKTKRE 300 EQYNSTYRMI SVLTVLHQDW LNGKEYKCKV SNKALPAPIE KTISKAKGQP 350 REPQVYTLPP SREEMTNQV SLTCLVKRGFY PSDIAVWEES NGQPENNYKT 400 TPVPLSDSGS FFLYSKLTVD KSRWQQGNVF SCSVMEHALH NHYTQKSLSL 450 SPGK 454
	Light chain / Chaîne légère / Cadena ligera DVUMTQSPLS LPVTGDPAPAS ISCRSSQSIV HSNGNNTYLEW YLQKPGQSPK 50 LLIYKVSNR SGVPDRFSGS GSGTDFTLRI SRVEAEDVGI YYCFQGSHVP 100 PTTGGTQLKE IKTIVAAFPV FVFFPSDEQL KSGTASVCL LNNFYFREAK 150 VQWKVDNALQ SGNSQESVTE QDSKDSYSTS L SSTLTLSKAD YEKHKVYACE 200 VTHQGLSSPV TKSFRNGEC 219
	Post-translational modifications Disulfide bridges location / Position des ponts disulfure / Posiciones de los puentes disulfuro Intra-H (C23-C104) 22-96 151-207 268-328 374-432 22"-96" 151"-207" 268"-328" 374"-432" Intra-L (C23-C104) 23"-93" 139"-199" 23"-93" 139"-199" Inter-H-L (h 5-CL 126) 227-219" 227"-219" Inter-H-H (h 11, h 14) 233-233" 236-236"
	N-glycosylation sites / Sites de N-glycosylation / Posiciones de N-glicosilación HCH2 N84.4: 304, 304" Fucosylated complex bi-antennary CHO-type glycans / glycanes de type CHO bi-antennaires complexes fucosylés / glicanos de tipo CHO biantenarios complejos fucosilados
	C-terminal lysine clipping: HCNS K2: 454, 454"
lorpucitinibum	
lorpucitinib	2-{1-[<i>trans</i> -4-(cyanomethyl)cyclohexyl]-1,6-dihydroimidazo[4,5- <i>d</i>]pyrrolo[2,3- <i>b</i>]pyridin-2-yl}- <i>N</i> -(2-hydroxy-2-methylpropyl)acetamide
lorpucitinib	2-{1-[<i>trans</i> -4-(cyanométhyl)cyclohexyl]-1,6-dihydroimidazo[4,5- <i>d</i>]pyrrolo[2,3- <i>b</i>]pyridin-2-yl}- <i>N</i> -(2-hydroxy-2-méthylpropyl)acetamide
lorpucitinib	2-{1-[<i>trans</i> -4-(cianometil)ciclohexil]-1,6-dihidroimidazo[4,5- <i>d</i>]pirrolo[2,3- <i>b</i>]piridin-2-il}- <i>N</i> -(2-hidroxi-2-metilpropil)acetamida

**luvadaxistatum**

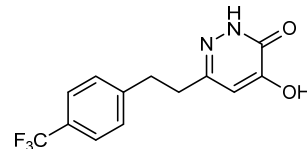
luvadaxistat

4-hydroxy-6-{2-[4-(trifluoromethyl)phenyl]ethyl}pyridazin-3(2*H*)-one

luvadaxistat

4-hydroxy-6-{2-[4-(trifluorométhyl)phényl]éthyl}pyridazin-3(2*H*)-one

luvadaxistat

4-hidroxi-6-{2-[4-(trifluorometil)feni]etil}piridazin-3(2*H*)-ona**miptentalimab #**

miptentalimab

immunoglobulin G4-kappa, anti-[*Homo sapiens* LAG3 (lymphocyte activating 3, lymphocyte-activation 3, CD223)], monoclonal antibody; gamma4 heavy chain (1-448) [VH (*Homo sapiens*IGHV3-33*01 (77.0%) -(IGHD) -IGHJ4*01 (93.3%)) [10.7.14] (1-122)-*Homo sapiens*IGHG4*01, G4v5 h P10 (CH1 (123-220), hinge 1-12 S10>P (230) (221-232), CH2 (233-342), CH3 (343-447), CHS K2>del (448)) (123-448)], (136-214')-disulfide with kappa light chain (1'-214') [V-KAPPA (*Mus musculus*IGKV6-17 (85.3%) -IGKJ2*03 (90.9%)/*Homo sapiens*IGKV1-39*01 (82.1%) -IGKJ2*01 (100%)) [6.3.9] (1'-107') -*Homo sapiens*IGKC*01 (100%), Km3 A45.1 (153), V101 (191) (108'-214')]; dimer (228-228":231-231")-bisdisulfide, produced in Chinese hamster ovary (CHO) cells, glycoform alfa

mipténalimab

immunoglobuline G4-kappa, anti-[*Homo sapiens* LAG3 (activateur 3 des lymphocytes, lymphocyte-activation 3, CD223)], anticorps monoclonal; chaîne lourde gamma4 (1-448) [VH (*Homo sapiens*IGHV3-33*01 (77.0%) -(IGHD) -IGHJ4*01 (93.3%)) [10.7.14] (1-122) -*Homo sapiens*IGHG4*01, G4v5 h P10 (CH1 (123-220), charnière 1-12 S10>P (230) (221-232), CH2 (233-342), CH3 (343-447), CHS K2>del (448)) (123-448)], (136-214')-disulfure avec la chaîne légère kappa (1'-214') [V-KAPPA (*Mus musculus*IGKV6-17 (85.3%) -IGKJ2*03 (90.9%)/*Homo sapiens*IGKV1-39*01 (82.1%) -IGKJ2*01 (100%)) [6.3.9] (1'-107') -*Homo sapiens*IGKC*01 (100%), Km3 A45.1 (153), V101 (191) (108'-214')]; dimère (228-228":231-231")-bisdisulfure, produit dans des cellules ovariennes de hamster chinois (CHO), glycoforme alfa

miptenalinab

inmunoglobulina G4-kappa, anti-[*Homo sapiens* LAG3 (activador 3 de los linfocitos, linfocito-activación 3, CD223)], anticuerpo monoclonal; cadena pesada gamma4 (1-448) [VH (*Homo sapiens*IGHV3-33*01 (77.0%) -IGHD1*01 (93.3%)) [10.7.14] (1-122) -*Homo sapiens*IGHG4*01, G4v5 h P10 (CH1 (123-220), bisagra 1-12 S10>P (230) (221-232), CH2 (233-342), CH3 (343-447), CHS K2>del (448)) (123-448)], (136-214')-disulfuro con la cadena ligera kappa (1'-214') [V-KAPPA (*Mus musculus* IGKV6-17 (85.3%) -IGKJ2*03 (90.9%)/*Homo sapiens* IGKV1-39*01 (82.1%) -IGKJ2*01 (100%)) [6.3.9] (1'-107') -*Homo sapiens* IGKC*01 (100%), Km3 A45.1 (153), V101 (191) (108'-214')]; dímero (228-228":231-231")-bisdisulfuro, producido por células ováricas de hamster chino (CHO), forma glicosilada alfa

Heavy chain / Chaîne lourde / Cadena pesada

```
QVTILVESGGG VVQPGRSRLR SCAFSGFSL S TSDMGVGWIR QAPGKGLEWV 50
AHIIWDDWKR YNPALKSRFT ISRDNSKNTL YLQOMNSLRAE DTAVYFCARI 100
EDYGVSYIYDF YWGQGTTVTV SSASTKGPSV FPLAPCSRST SESTAALGCL 150
VRDYFPEEPVT VSWNSGALT S GVHTFFAVLQ SSGGLYSLSV VTVFVSSSLGT 200
KTYTCNVNDHK PSNTKVDKRV ESKYGPCCP CCAPEFLGGR SVVLFPPKPK 250
DTLMISRTP E VTCVWVDSQ EDPEVQFNWY VDGVEVHNAR TKPREEQFNS 300
TYRVSWSLTV LHQDWLNGKE YKCKVSNKGL PSSIETKTISK AKGQPREPVQ 350
YTLPFSQEEM TKNQVSLTCL VKGFYFSDIA VEWESENQPE NNYKTPPPVL 400
DSDGSSFFLYS RLTWDKSRWQ EGNNVFSCSVM HEALHNHYTQ KSLSLSLG 448
```

Light chain / Chaîne légère / Cadena ligera

```
DIQMTQSPSF LSASVQDRVS ITCKASQDVS TAVAWYQQKQP GKAPKLILIYS 50
ASYRTGVPD RFSGSGSGSTD FTITLISSIQP EDFATTYCQQ HYSIPITFGQ 100
GTKLEIKRTV AAPSVFIFPP SDEQLKSGTA SVVCLLNNFY PREAKVQWRV 150
DNAHQSGNSQ ESEVTEQDSKD STYSLSSLT LSKADYEERHK VYACEVTHQG 200
LSSPVTKSFN RGEC 214
```

Post-translational modifications

Disulfide bridges location / Position des ponts disulfure / Posiciones de los puentes disulfuro
 Intra-H (C23-C104) 22-97 149-205 263-323 369-427
 22"-97" 149"-205" 263"-323" 369"-427"
 Intra-L (C23-C104) 23"-88" 134"-194"
 23"-88" 134"-194"
 Inter-H-L (CH1 10-CL 126) 136-214" 136"-214"
 Inter-H-H (h 8, h 11) 228-228" 231-231"

N-terminal glutaminyl cyclization to pyroglutamyl (pE, 5-oxoprolyl)
 H VH Q1; I, I"

N-glycosylation sites / Sites de N-glycosylation / Posiciones de N-glicosilación
 H CH2 N84.4:
 299, 299"

Fucosylated complex bi-antennary CHO-type glycans / glycanes de type CHO bi-antennaires complexes fucosylés / glicanos de tipo CHO biantenarios complejos fucosilados

mirdametinib

mirdametinib

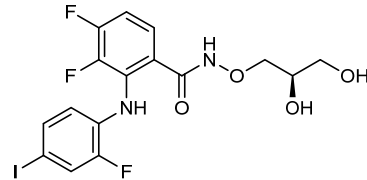
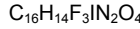
N-[(2*R*)-2,3-dihydroxypropoxy]-3,4-difluoro-2-(2-fluoro-4-iodoanilino)benzamide

mirdamétinib

N-[(2*R*)-2,3-dihydroxypropoxy]-3,4-difluoro-2-(2-fluoro-4-iodoanilino)benzamide

mirdametinib

N-[(2*R*)-2,3-dihidroxipropoxi]-3,4-difluoro-2-(2-fluoro-4-iodoanilino)benzamide



miromavimab #

miromavimab

immunoglobulin G1-kappa, anti-[rabies virus strain ERA (Evelyn-Rockitniki-Abelseth) glycoprotein ectodomain epitope G-II], *Mus musculus* monoclonal antibody; gamma1 heavy chain *Mus musculus* (1-445) [VH (*Mus musculus* IGHV1S130*01 (93.9%) -(IGHD) -IGHJ1*01 (88.2%)) CDR-IMGT [8.8.14] (26-33.51-58.97-110) (1-121) -*Mus musculus* IGHG1*02 (CH1 Q100>E (199) (122-218), hinge 1-13 (219-231), CH2 K81>Q (288), I84.3>F (294) (232-338), CH3 N27>D (369) (339-443), CHS (444-445)) (122-445)], (223-214')-disulfide with kappa light chain *Mus musculus* (1'-214') [V-KAPPA (*Mus musculus* IGKV6-17*01 (98.9%) -IGKJ1*02 (100%)) CDR-IMGT [6.3.9] (27-32.50-52.89-97) (1'-107') -*Mus musculus* IGKC*01 (100%) (108'-214')]; dimer (225-225":228-228":230-230")-trisdisulfide, produced in mouse myeloma cell line SP2/0-Ag14, glycoform alfa

miromavimab

immunoglobuline G1-kappa, anti-[épitope G-II de l'ectodomaine de la glycoprotéine de la souche ERA (Evelyn-Rockitniki-Abelseth) du virus de la rage], anticorps monoclonal *Mus musculus*; chaîne lourde gamma1 *Mus musculus* (1-445) [VH (*Mus musculus* IGHV1S130*01 (93.9%) -(IGHD) -IGHJ1*01 (88.2%)) CDR-IMGT [8.8.14] (26-33.51-58.97-110) (1-121) -*Mus musculus* IGHG1*02 (CH1 Q100>E (199) (122-218), charnière 1-13 (219-231), CH2 K81>Q (288), I84.3>F (294) (232-338), CH3 N27>D (369) (339-443), CHS (444-445)) (122-445)], (223-214')-disulfure avec la chaîne légère kappa *Mus musculus* (1'-214') [V-KAPPA (*Mus musculus* IGKV6-17*01 (98.9%) -IGKJ1*02 (100%)) CDR-IMGT [6.3.9] (27-32.50-52.89-97) (1'-107') -*Mus musculus* IGKC*01 (100%) (108'-214')]; dimère (225-225":228-228":230-230")-trisdisulfure, produite dans la lignée cellulaire de myélome murin SP2/0-Ag14, glycoforme alfa

miromavimab

inmunoglobulina G1-kappa, anti-[epítopo G-II del ectodominio de la glicoproteína de la cepa ERA (Evelyn-Rockitniki-Abelseth) del virus de la rabia], anticuerpo monoclonal *Mus musculus*; cadena pesada gamma1 *Mus musculus* (1-445) [VH (*Mus musculus* IGHV1S130*01 (93.9%) -(IGHD) -IGHJ1*01 (88.2%)) CDR-IMGT [8.8.14] (26-33.51-58.97-110) (1-121) -*Mus musculus* IGHG1*02 (CH1 Q100>E (199) (122-218), bisagra 1-13 (219-231), CH2 K81>Q (288), I84.3>F (294) (232-338), CH3 N27>D (369) (339-443), CHS (444-445)) (122-445)], (223-214')-disulfuro con la cadena ligera kappa *Mus musculus* (1'-214') [V-KAPPA (*Mus musculus* IGKV6-17*01 (98.9%) -IGKJ1*02 (100%)) CDR-IMGT [6.3.9] (27-32.50-52.89-97) (1'-107') -*Mus musculus* IGKC*01 (100%) (108'-214')]; dímero (225-225":228-228":230-230")-trisdisulfuro, producida en la línea celular de mieloma murino SP2/0-Ag14, glicoforma alfa

Heavy chain / Chaîne lourde / Cadena pesada

QVQLQQPGSV LVREGASVKL SCKTSGYAAFT SSWMHWAKQR PGQGLEWIGQ 50
 THPNSGYTNY NEKFKGKATL TVDTSSSTAY VDLSSLTSED SAVYYCARES 100
 GGGPHWYFDV WGACTIONTWS SAKTTPPSVY PLAPGSAQT NSMVTLGCLV 150
 KGYFPEPVTV TWNSGSSLSSG VHTFPAVLQS DLYTLSSSVT VPSSSTWPSET 200
 VTCNAHPS STKVDKKIVP RDCGCKPCIC TVEEVSSVFI FPPFKPKDVLT 250
 ITLTLPKVTCV VVDISKDDPE VQFSNFVDDV EVHTAQVQPR EEQCFNSTFRS 300
 VSEELPIMHQD WLNGKEFKCR VNSAAFPAPV EKTISTKGR PKAPQVYIIP 350
 PPKEQMAKDK VSLTCMIDTF FPEEDITVEWG WNGQPAENYK NTQFIMDTDG 400
 SYFVYSKLNV QKSNWEAGNT FTCSVLH EGL HNNHTEKSLS HSPG 445

Light chain / Chaîne légère / Cadena ligera

DIVMTQSHKF MSTSVGDRVS ITCKASQDVS TAVAWEQQKP GQSPKLLIYS 50
 ASYRTGVPD RFTGSGSGTD FFTFTISSVQA EDLAVYYCQQ HYSSPHFTGG 100
 GTKLETRKRAD AAPTIVSIFPP SSEQLTSGGA SVVCFLNNFY PKDINVWKKI 150
 DGSERQNGVL NSWTDQDSKD STYSMSSTLT LTKDEYERHN SYTCEATHKT 200
 STSPIVKSFN RNEC 214

Post-translational modifications

Disulfide bridges location / Position des ponts disulfure / Posiciones de los puentes disulfuro

Intra-H (C23-C104) 22-96 148-203 259-319 365-423
 22"-96" 148"-203" 259"-319" 365"-423"

Intra-L (C23-C104) 23"-88" 134"-194"

23"-88" 134"-194"

Inter-H-L (h 5-CL 126) 223-214" 223"-214"

Inter-H-H (h 7, h 10,h12) 225-225" 228-228" 230-230"

N-glycosylation sites / Sites de N-glycosylation / Posiciones de N-glicosilación

H CH2N84.4:

295, 295"

Fucosylated complex biantennary Sp2/0-type glycans / glycanes de type Sp2/0 bi-antennaires
 complejos fucosylés / glicanos de tipo Sp2/0 biantenarios complejos fucosilados

modakafuspum alfa #

modakafusp alfa immunoglobulin G4-kappa, anti-[human ADP-ribosyl cyclase/cyclic ADP-ribose hydrolase 1 (EC:3.2.2.6) (ADPRC 1/cADRp hydrolase 1, cell surface antigen CD38)], humanized monoclonal antibody, fused at each C-terminus of the heavy chains (1-447, 1"-447") to attenuated human interferon α -2b (IFNa2b) variant ($K^{23}>R^{470}$, $T^{106}>A^{553}$, $A^{145}>D^{592}$) (448-612, 448"-612"); gamma4 heavy chain humanized fused to IFNa2b (1-612) [VH (*Homo sapiens* IGHV1-69-2*01 (90.7%) -(IGHD)-IGHJ4*01 (85.7%)) CDR-IMGT [8.8.13] (26-33.51-58.97-109) (1-120)-*Homo sapiens* IGHG4*01, G4v5 h P10 (CH1 (121-218), hinge 1-12 S¹⁰>P (228) (219-230), CH2 (231-340), CH3 (341-445), CHS (446-447))(121-447), fused to IFNa2b $K^{23}>R$ (470), $T^{106}>A$ (553), $A^{145}>D$ (592) (448-612)],(134-214")-disulfide with kappa light chain humanized (1"-214') [V-KAPPA (*Homo sapiens* IGKV1-33*01 (83.2%)-IGKJ4*01 (100%)) CDR-IMGT [6.3.9] (27-32.50-52.89-97) (1"-107') -*Homo sapiens* IGKC*01 (100%), Km3 A45.1 (153), V¹⁰¹ (191) (108"-214')]; dimer (226-226":229-229")-bisdisulfide; produced in Chinese hamster ovary (CHO) K1SV cells, glycoform alfa

modakafusp alfa immunoglobuline G4-kappa, anti-[ADP-ribosyl cyclase/ ADP cyclique - ribose hydrolase 1 humaine (EC:3.2.2.6) (ADPRC 1/cADRp hydrolase 1, antigène de surface cellulaire CD38)], anticorps monoclonal humain fusionné à chaque partie C-terminale des chaînes lourdes (1-447, 1"-447") à un variant ($K^{23}>R^{470}$, $T^{106}>A^{553}$, $A^{145}>D^{592}$) de l'interféron α -2b humain (IFNa2b) atténué, (448-612, 448"-612"); chaîne lourde gamma4 humanisée fusionnée à IFNa2b (1-612) [VH (*Homo sapiens* IGHV1-69-2*01 (90.7%) -(IGHD)-IGHJ4*01 (85.7%)) CDR-IMGT [8.8.13] (26-33.51-58.97-109) (1-120)-*Homo sapiens* IGHG4*01, G4v5 h P10 (CH1 (121-218), charnière 1-12 S¹⁰>P (228) (219-230), CH2 (231-340), CH3 (341-445), CHS (446-447))(121-447), fusionné à IFNa2b $K^{23}>R$ (470), $T^{106}>A$ (553), $A^{145}>D$ (592) (448-612)],(134-214")-disulfure avec la chaîne légère kappa humanisée (1"-214') [V-KAPPA (*Homo sapiens* IGKV1-33*01 (83.2%)-IGKJ4*01 (100%)) CDR-IMGT [6.3.9] (27-32.50-52.89-97) (1"-107') -*Homo sapiens* IGKC*01 (100%), Km3 A45.1 (153), V¹⁰¹ (191) (108"-214')]; dimère (226-226":229-229")-bisdisulfure ; produit dans des cellules ovarianes de hamster chinois (CHO) K1SV, glycoforme alfa

modakafusp alfa

inmunoglobulina G4-kappa, anti-[ADP-ribosil ciclase/ ADP cíclica -ribosa hidrolasa 1 humana (EC:3.2.2.6) (ADPRC 1/cADRp hidrolasa 1, antígeno de superficie celular CD38)], anticuerpo monoclonal humano fusionado a cada parte C-terminal de las cadenas pesadas (1-447, 1"-447") a una variante (K²³>R⁴⁷⁰, T¹⁰⁶>A⁵⁵³, A¹⁴⁵>D⁵⁹²) del interferón α-2b humano (IFNα2b) atenuado, (448-612, 448"-612"); cadena pesada gamma4 humanizada fusionada al IFNα2b (1-612) [VH (*Homo sapiens* IGHV1-69-2*01 (90.7%) -(IGHD)-IGHJ4*01 (85.7%)) CDR-IMGT [8.8.13] (26-33.51-58.97-109) (1-120)-*Homo sapiens*IGHG4*01, G4v5 h P10 (CH1 (121-218), bisagra 1-12 S¹⁰>P (228) (219-230), CH2 (231-340), CH3 (341-445), CHS (446-447))(121-447), fusionado con IFNα2b K²³>R (470), T¹⁰⁶>A (553), A¹⁴⁵>D (592) (448-612)],(134-214")-disulfuro con la cadena ligera kappa humanizada (1'-214') [V-KAPPA (*Homo sapiens* IGKV1-33*01 (83.2%) -IGKJ4*01 (100%)) CDR-IMGT [6.3.9] (27-32.50-52.89-97) (1'-107') -*Homo sapiens* IGKC*01 (100%), Km3 A45.1 (153), V¹⁰¹ (191) (108'-214')]; dímero (226-226":229-229")-bisdisulfuro ; producido en las células ováricas de hamster chino (CHO) K1SV, glicoforma alfa

Sequence / Séquence / Secuencia

Heavy chain / Chaîne lourde / Cadena pesada (anti-CD38 γ4-IFNα2b)

EVQLVQSGAE	VVKPGATVKI	SCKVSGYTF	DSVMNWVQQA	PGKGLLEWMGW	50
IDPEYGRITDV	AEKFQGRVTII	TADTSTDATY	MELSSLRS	TAVYYCARTC	100
YNNSGYGFPW	GGGTTTVVSS	ASTKGPSVFP	LAPCRSSTER	STAALGCLVK	150
DYPPEPVTVW	WNSGALTSGV	HTPPAVLQSS	GLYSLSVV	VPSSSLGKT	200
YTCNVVDHKPS	NTKVDKRVE	KYGPCCPCP	APEFLGGPSV	FLFPDPKPD	250
LMISRTPEVT	CVVVDVQS	PEVQFNWYVD	GVEVHNNAKTK	PREEQFNSTY	300
RVVSVLTIVLH	QDWLNKGKEYK	CKVQSNKGLPS	SIEKTISKAK	QGPREPQVYT	350
LPPSQEEMTH	NQVSLTCLVK	GFYPSDIAVE	WESNQCPENN	YKTPPPVLD	400
DGSFFLYSRL	TVDKSRWQEG	NVFVCSVMHE	ALHNHYTQKS	LSLSLGKCDL	450
PQTHSLGSR	TLMLLAQMR	ISLFLSCLKDR	HDFGPOEQEF	GNQFQKAETI	500
FVLHEMIQQI	FNLFSTKDSS	AAWDETLLDK	FYTELYQQLN	DLEACVIQGV	550
GVAETPLMKE	DSILAVRKYF	QRITLYKLKEK	KYSPCAWEVV	RDEIMRSFSL	600
STNLQESLRS	KE				612

Light chain / chaîne légère / cadena ligera

DIQMGTSPSS	LSASVGDVRV	ITCKASQNVD	SDVDWYQQKP	GKAPKLLIYK	50
ASNDYTGVPS	RFSGGSGGTD	FTFTKISSLQP	EDIATYVYCMQ	SNTHPRTFGG	100
GTKEVIEKRTV	AAHSVIFIPPP	SDEQLKSGTA	SVCVLLNNFY	PREAKVQWKV	150
DNALQSGNSQ	ESVTEQDSKD	STYSLSSLT	LSKADYEKHK	VYACEVTHQG	200
LSSPVTKFSFN	RGECE				214

Post-translational modifications

Disulfide bridges location / Position des ponts disulfure / Posiciones de los puentes disulfuro

Intra-H	22-96	147-203	261-321	367-425	
	22"-96"	147"-203"	261"-321"	367"-425"	
Intra-IFN	448-545	476-585	448"-545"	476"-585"	
Intra-L	23"-88"	134"-194"	23"-88"	134"-194"	
Inter-H-L	134-214'	134"-214"			
Inter-H-H	226-226"	229-229"			

Glycosylation sites / Sites de glycosylation / Posiciones de glicosilación

H CH2 N84.4: N297, N297"

Fucosylated complex bi-antennary CHO-type glycans / Glycans de type CHO bi-antennaires complexes fucosylés / Glicanos de tipo CHO biantenarios complejos fucosilados

murizatoclaxum

murizatoclax

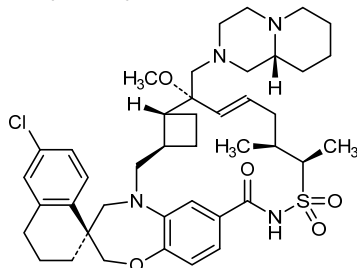
(1³S,3¹R,3²R,4R,5E,8S,9R)-6'-chloro-4-methoxy-8,9-dimethyl-4-{[(9aR)-octahydro-2H-pyrido[1,2-a]pyrazin-2-yl]methyl}-3',4'-dihydro-1²H,1⁴H,2'²H-spiro[10λ⁶-thia-11-aza-1(5,7)-[1,5]benzoxazepina-3(1,2)-cyclobutanacyclododecaphan-5-ene-1³,1'-naphthalene]-10,10,12-trione

murizatoclax

($^{13}S,3^1R,3^2R,4R,5E,8S,9R$)-6'-chloro-4-méthoxy-8,9-diméthyl-4-{{[(9a*R*)-octahydro-2*H*-pyrido[1,2-*a*]pyrazin-2-yl]méthyl}-3',4'-dihydro-1 2 *H*,1 4 *H*,2'*H*-spiro[10*λ* 6 -thia-11-aza-1(5,7)-[1,5]benzoxazépina-3(1,2)-cyclobutanacyclododecaphan-5-ène-1 3 ,1'-naphtalène]-10,10,12-trione

murizatoclax

($^{13}S,3^1R,3^2R,4R,5E,8S,9R$)-6'-cloro-4-metoxi-8,9-dimetil-4-{{[(9a*R*)-octahidro-2*H*-pirido[1,2-*a*]pirazin-2-il]metil}-3',4'-dihidro-1 2 *H*,1 4 *H*,2'*H*-spiro[10*λ* 6 -thia-11-aza-1(5,7)-[1,5]benzoxazepina-3(1,2)-ciclobutanacliclodecafan-5-eno-1 3 ,1'-naftaleno]-10,10,12-triona

 $C_{42}H_{57}ClN_4O_5S$ 

nadunolimab #

nadunolimab

immunoglobulin G1-kappa, anti-[*Homo sapiens* IL1RAP (interleukin-1 receptor accessory protein)], humanized monoclonal antibody; gamma1 heavy chain humanized (1-446) [VH (*Homo sapiens*IGHV1-69*02 (85.4%) -(IGHD) -IGHJ4*01 (100%)) [8.8.10] (1-117) -*Homo sapiens*IGHG1*03v, G1m3>G1m17, nG1m1 (CH1 R120>K (214) (118-215), hinge (216-230), CH2 (231-340), CH3 E12 (356), M14 (358) (341-445), CHS K2>del (446)) (118-446), (220-214')-disulfide with kappa light chain humanized (1'-214') [V-KAPPA (*Homo sapiens*IGKV1-33*01 (85.3%) -IGKJ4*01 (100%)) [6.3.9] (1'-107') -*Homo sapiens*IGKC*01 (100%), Km3 A45.1 (153), V101 (191) (108'-214')]; dimer (226-226":229-229")-bisdisulfide

nadunolimab

immunoglobulin G1-kappa, anti-[*Homo sapiens* IL1RAP (interleukin-1 receptor accessory protein)], humanized monoclonal antibody; gamma1 heavy chain humanized (1-446) [VH (*Homo sapiens*IGHV1-69*02 (85.4%) -(IGHD) -IGHJ4*01 (100%)) [8.8.10] (1-117) -*Homo sapiens*IGHG1*03v, G1m3>G1m17, nG1m1 (CH1 R120>K (214) (118-215), hinge (216-230), CH2 (231-340), CH3 E12 (356), M14 (358) (341-445), CHS K2>del (446)) (118-446), (220-214')-disulfide with kappa light chain humanized (1'-214') [V-KAPPA (*Homo sapiens*IGKV1-33*01 (85.3%) -IGKJ4*01 (100%)) [6.3.9] (1'-107') -*Homo sapiens*IGKC*01 (100%), Km3 A45.1 (153), V101 (191) (108'-214')]; dimer (226-226":229-229")-bisdisulfide

nadunolimab

immunoglobulin G1-kappa, anti-[*Homo sapiens* IL1RAP (interleukin-1 receptor accessory protein)], humanized monoclonal antibody; gamma1 heavy chain humanized (1-446) [VH (*Homo sapiens*IGHV1-69*02 (85.4%) -(IGHD) -IGHJ4*01 (100%)) [8.8.10] (1-117) -*Homo sapiens*IGHG1*03v, G1m3>G1m17, nG1m1 (CH1 R120>K (214) (118-215), hinge (216-230), CH2 (231-340), CH3 E12 (356), M14 (358) (341-445), CHS K2>del (446)) (118-446)], (220-214')-disulfide with kappa light chain humanized (1'-214') [V-KAPPA (*Homo sapiens*IGKV1-33*01 (85.3%) -IGKJ4*01 (100%)) [6.3.9] (1'-107') -*Homo sapiens*IGKC*01 (100%), Km3 A45.1 (153), V101 (191) (108'-214')]; dimer (226-226":229-229")-bisdisulfide

Heavy chain / Chaîne lourde / Cadena pesada

QVQLVQSGAE VKPGSSVKV SCKASGYAFT SSWMNWVRQA PGQGLEWMGR 50
IYPGDGNTHY AQKFQGRVTL TADKSTSTAY MELSSLRSED TAVYYCGEY 100
LDPPMDYWGGG TLTVVSSAST KGPSVFPLAP SSKSTSGGTA ALGCLVKDYF 150
PEPVTVSWNS GALITSGVHTF PAVLQSSGLY SLSSVVTVPS SSLGTQTYC 200
NNNHKPSNTK VDKKVEPKSC DKTHTCPPCP APELLGGPSV FLFPKKPKDT 250
LMISRTPEVT CVVVDVSHED PEVKFNWYD GVEVHNAKTK PREEQVNSTY 300
RVVSVLTVLH QDWLNGKEYK CKVSNKALPA PIEKTSKAK GQPREFQVYT 350
LPPSRREEMTK NQVSLTCLVK GFYPSDIAVE WESNGQPEENN YKTTPPVLDs 400
DGSSFLYSKL TVDKSRWQQG NVFSCVMHE ALHNHYTQKS LSLSPG 446

Light chain / Chaîne légère / Cadena ligera

DIQMTQSPSS LSASVGDRVT ITCAQASQGIN NYLNWYQQKP GKAPKLLIHY 50
TSGLHAGVPVS RFSGSSGGTD YTTLTISSLEP EDVATYCCQY YSLLPWTFGG 100
GTVKEIKRTV AAPSVFIFPP SDEQLQSGTA SVVCLLNNFY PREAKVQWKV 150
DNALQSGNSQ ESTVEQDSKD STYSLSSLT LSKADYEKHK VYACEVTHQG 200
LSSPVTKSPN RGEC 214

Post-translational modifications

Disulfide bridges location / Position des ponts disulfure / Posiciones de los puentes disulfur
Intra-H (C23-C104) 22-96 144-200 261-321 367-425
22"-96" 144"-200" 261"-321" 367"-425"
Intra-L (C23-C104) 23"-88" 134"-194"
23"-88" 134"-194"
Inter-H-L (h 5-CL 126) 220-214" 220"-214"
Inter-H-H (h 11, h 14) 226-226" 229-229"

N-glycosylation sites / Sites de N-glycosylation / Posiciones de N-glicosilación
H CH2 N84.4:
297, 297'

Afucosylated complex bi-antennary CHO-type glycans / glycanes de tipo CHO bi-antennai complexes afucosylés / glicanos de tipo CHO biantenarios complejos afucosilados.

nesolicaftorum

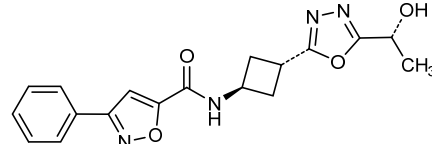
nesolicaftor

N-(*trans*-3-{5-[(1*R*)-1-hydroxyethyl]-1,3,4-oxadiazol-2-yl}cyclobutyl)-3-phenyl-1,2-oxazole-5-carboxamide

nésolicaftor

N-(*trans*-3-{5-[(1*R*)-1-hydroxyethyl]-1,3,4-oxadiazol-2-yl}cyclobutyl)-3-phenyl-1,2-oxazole-5-carboxamide

nesolicaftor

3-fenil-*N*-(*trans*-3-{5-[(1*R*)-1-hidroxietil]-1,3,4-oxadiazol-2-il)ciclobutil}-1,2-oxazolo-5-carboxamidaC₁₈H₁₈N₄O₄

nipocalimabum #

nipocalimab

immunoglobulin G1-lambda, anti-[*Homo sapiens* FCGRT (Fc fragment of IgG receptor and transporter, neonatal Fc receptor, FcRn, transmembrane alpha chain of the neonatal receptor)], *Homo sapiens* monoclonal antibody;
 gamma1 heavy chain *Homo sapiens* (1-445) [VH (*Homo sapiens*IGHV3-23*01 (90.8%) -(IGHD) - IGHJ3*01 (100%)) CDR-IMGT [8.8.9] (26-33.51-58.97-105) (1-116) -*Homo sapiens*IGHG1*03 G1m3>G1m17, nG1m1, G1v29 CH2 A84.4 (CH1 R120>K (213) (117-214), hinge 1-15 (215-229), CH2 N84.4>A (296) (230-339), CH3 E12 (355), M14 (357) (340-444), CHS K2>del (445)) (117-445)], (219-215')-disulfide with lambda light chain *Homo sapiens* (1'-216') [V-LAMBDA (*Homo sapiens*IGLV2-23*01 (94.8%) -IGLJ1*01 (100%)) CDR-IMGT [9.3.10] (26-34.52-54.91-100) (1'-110') -*Homo sapiens*IGLC3*03 (100%) (111'-216')];
 dimer (225-225":228-228")-bisdisulfide, produced in Chinese hamster ovary (CHO) cells, glycoform alfa

nipocalimab

immunoglobuline G1-lambda, anti-[*Homo sapiens* FCGRT (transporteur et récepteur du fragment Fc des IgG, récepteur Fc néonatal, FcRn, chaîne alpha transmembranaire du récepteur néonatal)], anticorps monoclonal *Homo sapiens*;
 chaîne lourde gamma1 *Homo sapiens* (1-445) [VH (*Homo sapiens*IGHV3-23*01 (90.8%) -(IGHD) - IGHJ3*01 (100%)) CDR-IMGT [8.8.9] (26-33.51-58.97-105) (1-116) -*Homo sapiens*IGHG1*03 G1m3>G1m17, nG1m1, G1v29 CH2 A84.4 (CH1 R120>K (213) (117-214), charnière 1-15 (215-229), CH2 N84.4>A (296) (230-339), CH3 E12 (355), M14 (357) (340-444), CHS K2>del (445)) (117-445)], (219-215')-disulfure avec la chaîne légère lambda *Homo sapiens* (1'-216') [V-LAMBDA (*Homo sapiens*IGLV2-23*01 (94.8%) -IGLJ1*01 (100%)) CDR-IMGT [9.3.10] (26-34.52-54.91-100) (1'-110') -*Homo sapiens*IGLC3*03 (100%) (111'-216')];
 dimère (225-225":228-228")-bisdisulfure, produite dans des cellules ovaries de hamster chinois (CHO), glycoforme alfa

nipocalimab

inmunoglobulina G1-lambda, anti-[*Homo sapiens* FCGRT (transportador y receptor del fragmento Fc de las IgG, receptor Fc neonatal, FcRn, cadena alfa transmembranaria del receptor neonatal)], anticuerpo monoclonal *Homo sapiens*;
 cadena pesada gamma1 *Homo sapiens* (1-445) [VH (*Homo sapiens*IGHV3-23*01 (90.8%) -(IGHD) - IGHJ3*01 (100%)) CDR-IMGT [8.8.9] (26-33.51-58.97-105) (1-116) -*Homo sapiens*IGHG1*03 G1m3>G1m17, nG1m1, G1v29 CH2 A84.4 (CH1 R120>K (213) (117-214), bisagra 1-15 (215-229), CH2 N84.4>A (296) (230-339), CH3 E12 (355), M14 (357) (340-444), CHS K2>del (445)) (117-445)], (219-215')-disulfuro con la cadena ligera lambda *Homo sapiens* (1'-216') [V-LAMBDA (*Homo sapiens*IGLV2-23*01 (94.8%) -IGLJ1*01 (100%)) CDR-IMGT [9.3.10] (26-34.52-54.91-100) (1'-110') -*Homo sapiens*IGLC3*03 (100%) (111'-216')];
 dímero (225-225":228-228")-bisdisulfuro, producida por células ováricas de hamster chino (CHO), forma glicosilada alfa

Heavy chain / Chaîne lourde / Cadena pesada
 EVOLLESGGG LVQPGSILRL SCAASGFTFS TYAMGWVRQA PGKGLEWVSS 50
 IGASGSQTRY ADSVKGRFTI SRDNNSKNTLY LQMNLSRAED TAVYYCARLA 100
 IGDSDYWGGQT MVTVSSASTK GPSVFPLAPS SKSTSQQTAA LGCLVKDYFP 150
 EPVTWSWNSG ALTSGVHTFP AVLQSSGLYS LSVVTVPSS SLGTQTYICN 200
 VNHKPSNTKV DKVEPKSCD KTHTCPPCPA PELLGGPSVF LFPPKPKDTL 250
 M1SRTPEVTC VVVVDVSHEDP EVKFNWYVGD VEVHNNAKTPR REEQYASTYR 300
 VVSVLTVLHC DWLNKEYKVC KVSNKALPAP IEKTISKAG QPREPVQVYTL 350
 PPSREEMTKQ QVSILTCLVKG FYPSDIAVEV ESNQOPENNY KTPPPVLDSD 400
 GSFFFLYSKLT DVKSRWQQGN VFSCSVMHEA LHNHYTQKSL SLSPG 445

Light chain / Chaîne légère / Cadena ligera
 QSALTQPASV SGSPGQSITI SCTGTGSDVG SYNLVSWYQQ HPGKAKPLMI 50
 YGDSERPSPGV SNRFSGSKSG NTASLTISGL QAEDEADEYYC SSYAGSGIYV 100
 FGTTGTVTQL GQPKAAAPSVT LFPPSSEELQ ANKATLVCIL SDFYPPGAVTV 150
 AWKADSSPVL AVGETTTPSK QSNNNYAASS YLSLTPEQWK SHKSYSQCVT 200
 HEGSTVKEKV APTEC 216

Post-translational modifications
 Disulfide bridges location / Position des ponts disulfure / Posiciones de los puentes disulfuro
 Intra-H (C23-C104) 22"-96° 143"-199° 260"-320° 366"-424°
 22"-96° 143"-199° 260"-320° 366"-424"
 Intra-L (C23-C104) 22"-90° 138"-197°
 22"-90° 138"-197"
 Inter-H-L (h 5-CL 126) 219-215° 219"-215"
 Inter-H-H (h 11, h 14) 225-225° 228-228"

No N-glycosylation sites / pas de sites de N-glycosylation / ningún posición de N-glicosilación
 H CH2 N84.4>A:
 296, 296"

olveremabatinibum

olveremabatinib

4-methyl-N-{4-[(4-methylpiperazin-1-yl)methyl]-3-(trifluoromethyl)phenyl}-3-[(1*H*-pyrazolo[3,4-*b*]pyridin-5-yl)ethynyl]benzamide

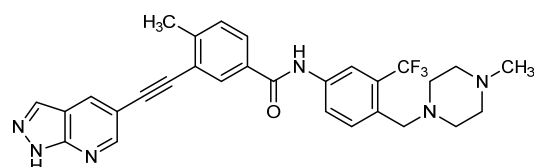
olvéremabatinib

4-méthyl-N-{4-[(4-méthylpipérazin-1-yl)méthyl]-3-(trifluorométhyl)phényl}-3-[(1*H*-pyrazolo[3,4-*b*]pyridin-5-yl)éthynyl]benzamide

olveremabatinib

4-metil-N-{4-[(4-metilpiperazin-1-il)metil]-3-(trifluorometil)fenil}-3-[(1*H*-pirazolo[3,4-*b*]piridin-5-il)etinil]benzamide

C₂₉H₂₇F₃N₆O



olvimulogenum nanivacirepvecum

olvimulogene nanivacirepvec

A recombinant replication-competent oncolytic vaccinia virus (strain LIVP) comprising the genes encoding a Renilla luciferase - green fluorescent protein fusion protein (ruc-gfp) and enzymes beta-galactosidase (lacZ) and beta-glucuronidase (gusA), inserted into the F14.5L, J2R (thymidine kinase) and A56R (hemagglutinin) loci, respectively. Expression of the three proteins is driven by a synthetic early/late promoter (pSEL), a vaccinia virus strain Western Reserve early/late p7.5 promoter and a vaccinia virus strain Western Reserve late p11 promoter, respectively. A human transferrin receptor gene has also been inserted in the J2R locus but is not expressed.

olvimulogène nanivacirépvec	virus de la vaccine recombinant répliquant oncolytique (souche LIVP) contenant les gènes codant pour une protéine de fusion luciférase de Renilla - protéine fluorescente verte (ruc-gfp) et des enzymes galactosidase bêta (lacZ) et glucuronidase bêta (gusA), insérés dans les loci F14.5L, J2R (thymidine kinase) and A56R (hémagglutinine), respectivement. L'expression des trois protéines est sous le contrôle d'un promoteur synthétique précoce/tardif (pSEL), d'un promoteur p7.5 précoce/tardif du virus de la vaccine souche Western Reserve et d'un promoteur p11 tardif du virus de la vaccine souche Western Reserve, respectivement. Un gène du récepteur de transféride humain a aussi été inséré dans le locus J2R mais n'est pas exprimé.
olvimulogén nanivacirepvec	Un virus vaccinia recombinante (cepa LIVP) competente para replicación, oncolítico, que contiene los genes que codifican para una proteína de fusión de la luciferasa de Renilla y la proteína fluorescente verde (ruc-gfp) y para las enzimas beta-galactosidasa (LacZ) y beta-glucuronidasa (gusA), insertados en los loci F14.5L, J2R (timidina quinasea) y A56R (hemaglutinina), respectivamente. La expresión de las tres proteínas está dirigida por un promotor temprano/tardío sintético (pSEL), un promotor p7.5 precoz/tardío de la cepa Western Reserve del virus vaccinia y un promotor p11 tardío de la cepa Western Reserve del virus vaccinia, respectivamente. Se ha insertado también un gen del receptor de transferrina humano en el locus J2R pero éste no se expresa.
omfiloctocogum alfa # omfiloctocog alfa	human coagulation factor VIII (FVIII, antihemophilic factor, AHF, procoagulant component) with deleted B-domain (746-1639)-sequence: single-chain recombinant FVIII composed of domains A1-a1-A2-a2 (1-740), the B-domain N- and C-terminal fragments (741-745) and 1640-1648 (746-754) and domains a3-A3-C1-C2 1649-2332 (755-1438), produced in Chinese hamster ovary (CHO) cells, glycoform alfa
omfiloctocog alfa	facteur de coagulation VIII humain (FVIII, facteur antihémophilique, AHF, composant procoagulant) dont le domaine B a été supprimé (746-1639): chaîne unique du FVIII humain recombinant composé des domaines A1-a1-A2-a2 (1-740), des fragments N- and C-terminaux du domaine B (741-745) et 1640-1648 (746-754) et des domaines a3-A3-C1-C2 1649-2332 (755-1438), produit par des cellules ovariennes de hamster chinois (CHO), glycoforme alfa
omfiloctocog alfa	factor de coagulación VIII humano (FVIII, factor antihemofílico, AHF, componente procoagulante) con el dominio B que ha sido suprimido (746-1639):

cadena única del FVIII humano recombinante compuesto de los dominios A1-a1-A2-a2 (1-740), de los fragmentos N- y C-terminal del dominio B (741-745) y 1640-1648 (746-754) y de los dominios a3-A3-C1-C2 1649-2332 (755-1438), producido por las células ováricas de hamster chino (CHO), glicoforma alfa

Sequence / Séquence / Secuencia

```

ATRRYYLGA V ELSWDYMQSD LGEPLPVDAF PPRVPKSFPF NTSVYVKKTL      50
FVEFTDHLFN IAKPRPPWMG LLGPTIQAEV YDTVVITLKN MASHPVSLHA    100
VGVSYWKASE GAELYDQTSQ REKEDDKWPF GGSHTYWQVN LKENGPMASD   150
FLCLTYSYLS HVDLVKDLNS GLIGALVCR EGSLAKEKTQ TLHKHFKILLFA  200
VFDEGKSWHS ETKNSLQMQR DAASARAWPK MHVTNGVYNR SLPQGRHCHR  250
KSVYWHVIGH GTTPEWHHSIF LEGLTFILRN HRQASLEISP ITFLTATQTL 300
MDLGQFLLFC HISHHQHDGM EAVYKVDSCS EEPQLRMKNN EEAEDYDDLL 350
TDSEMDVVRF DDDNSPFSFIQ IRSVAKKHPK TWVHYIAAEE EDWDYAPLVL 400
APDDRSYKSQ YLNNGPQRIG RKYKKVFRMA YTDETFKTR EAIQHESGLG 450
PFLYGEVGD T LLIIFTKNQAS RPYNIPYHGI TDVPRLYSSR LPGKVKHLKD 500
FPILPGEIFT YKWTVTEVEDG PTKSDFPCLT RYSSVFVNME RDLASGLIGP 550
LLICYKEHSV QRGNQIMMSDK RNVLPSRCM ENRWSYLLEN TQRFPLPNAG 600
VQLEDPEFOA SNIMHSINGY VFDSLQLSV LHEVAYWYIL SIGAQATDFLS 650
VFFSGYTFKH KMVYEDTLJL PFPFSGETVFM SMENPGLWIL GCHNSDPRNR 700
GMTALLKVSS CDKNTGDDYYE DSYEDIISAYL LSKNNNAIEPR SFQNPPVTLK 750
RHQREIRTRT LQSQDEEIDY DDTISVEMRK EDFD1YIDEDE NQSPSRFQKK 800
TRHYFIAAVL RLWDYGMSSS PHVLRNRQAK GSVPQFKKKV FQEFTDGSFT 850
QPLYRGELNLN HLGLLGPYIR AEVEDNMIVT FRNQASRPSY FYSSLISYVE 900
DQRQGAEPRA NFVKPNETKT YFWKVOHJMA PTKDEFDCKA WAYFSDVDE 950
KDWHSGLIGP LLVCHCTNTLN PAHGRQVTVQ EFALFPTIFD ETKSWYFTEN 1000
MERNCRAPCN IQMEDPTFKE NYRFHAINGY IMDTLPGLVM AQDQRIRWYL 1050
LSMGSNENIH STHFGSHVFT VRKKEEYKMA LYNYLPGVFFE TVEMLPSKG 1100
IWRVECLIGH LHLAGMSTLF LVYSNKKCQTP LGMASGHIRD QFITAQSGVG 1150
QWAPKLLRML YSGGSINAWST KEPFSWIKVM LLAPMIHIGI KTQGARQKFS 1200
SLVIISOFIIM YSLDGKKWQT YRGNSTGTLM VFFGNVDSSG IKHNIFNPPI 1250
IARYIRLHPT HYSIRSLTRM ELMGCDLNSC SMPLGMESKA ISDAQITASS 1300
YFTNMFATWS PSKARLHLQG RSNAWRPQVN NPKEWLQVDF QKTMKVTVGT 1350
TQGVKSLLTS MYKVEFLISS SQDGHQWTLF FQNGKVKVFQ GNQDSFTPVV 1400
NSLDPPPLLTR YLRHPOQSVW HQIALEMVL GCEAQADLY 1438

```

Post-translational modifications
Disulfide bridges location / Position des ponts disulfure / Posiciones de los puentes disulfuro
153-179, 248-329, 528-554, 630-711, 938-964, 1005-1009, 1127-1275, 1280-1432
(Cys-SH: 310, 692, 1106)

Glycosylation sites / Sites de glycosylation / Posiciones de glicosilación
N41, N239, N916, N1224
Fucosylated complex bi-antennary CHO-type glycans / Glycane de type CHO bi-antennaires complexes fucosylés / Glicanos de tipo CHO biantenarios complejos fucosilados

Tyr-sulfation sites / Sites de Tyr-sulfation / Posiciones de Tyr-sulfación
346, 718, 719, 723, 770, 786

onatasertibum

onatasertib

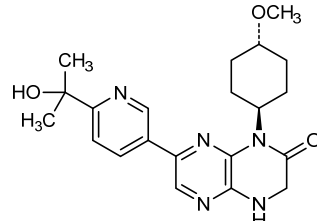
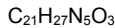
7-[6-(2-hydroxypropan-2-yl)pyridin-3-yl]-1-(*trans*-4-methoxycyclohexyl)-3,4-dihydropyrazino[2,3-*b*]pyrazin-2(1*H*)-one

onatasertib

7-[6-(2-hydroxypropan-2-yl)pyridin-3-yl]-1-(*trans*-4-methoxycyclohexyl)-3,4-dihydropyrazino[2,3-*b*]pyrazin-2(1*H*)-one

onatasertib

7-[6-(2-hidroxipropan-2-il)piridin-3-il]-1-(*trans*-4-metoxiciclohexil)-3,4-dihidropirazino[2,3-*b*]pirazin-2(1*H*)-ona



ongericimabum #

ongericimab

immunoglobulin G4-kappa, anti-[*Homo sapiens* PCSK9 (proprotein convertase subtilisin/kexin type 9, neural apoptosis-regulated convertase 1, NARC1, NARC-1, proprotein convertase 9, PC9)], humanized monoclonal antibody;
 gamma4 heavy chain (1-438) [VH (*Homo sapiens* IGHV4-59*01 (79.2%) -(IGHD) -IGHJ1*01 (100%)) CDR-IMGT [8.7.5] (26-33.51-57.96-100) (1-111) - *Homo sapiens* IGHG4*01, G4v5 h P10 (CH1 (112-209), hinge 1-12 S10>P (219) (210-221), CH2 (222-331), CH3 (332-436), CHS (437-438)) (112-438)], (125-213')-disulfide with kappa light chain (1'-213') [V-KAPPA (*Homo sapiens* IGKV1-33*01 (85.1%) -IGKJ1*01 (100%)) CDR-IMGT [6.3.8] (27-32.50-52.89-96) (1'-106') -*Homo sapiens* IGKC*01 (100%) Km3 A45.1 (152), V101 (190) (107'-213')]; dimer (217-217":220-220")-bisdisulfide, produced in Chinese hamster ovary (CHO) cells, glycoform alfa

ongéricimab

immunoglobuline G4-kappa, anti-[*Homo sapiens* PCSK9 (protéine convertase subtilisine/kexine type 9, convertase 1 régulée par l'apoptose neuronale, NARC1, NARC-1, protéine convertase 9, PC9)], anticorps monoclonal humanisé; chaîne lourde gamma4 (1-438) [VH (*Homo sapiens* IGHV4-59*01 (79.2%) -(IGHD) -IGHJ1*01 (100%)) CDR-IMGT [8.7.5] (26-33.51-57.96-100) (1-111) - *Homo sapiens* IGHG4*01, G4v5 h P10 (CH1 (112-209), charnière 1-12 S10>P (219) (210-221), CH2 (222-331), CH3 (332-436), CHS (437-438)) (112-438)], (125-213')-disulfure avec la chaîne légère kappa (1'-213') [V-KAPPA (*Homo sapiens* IGKV1-33*01 (85.1%) -IGKJ1*01 (100%)) CDR-IMGT [6.3.8] (27-32.50-52.89-96) (1'-106') -*Homo sapiens* IGKC*01 (100%) Km3 A45.1 (152), V101 (190) (107'-213')]; dimère (217-217":220-220")-bisdisulfure, produite dans des cellules ovarianes de hamster chinois (CHO), glycoforme alfa

ongericimab

inmunoglobulina G4-kappa, anti-[*Homo sapiens* PCSK9 (proteína convertasa subtilisina/kexina tipo 9, convertasa 1 regulada por la apoptosis neuronal, NARC1, NARC-1, proteína convertasa 9, PC9)], anticuerpo monoclonal humanizado; cadena pesada gamma4 (1-438) [VH (*Homo sapiens* IGHV4-59*01 (79.2%) -(IGHD) -IGHJ1*01 (100%)) CDR-IMGT [8.7.5] (26-33.51-57.96-100) (1-111) - *Homo sapiens* IGHG4*01, G4v5 h P10 (CH1 (112-209), bisagra 1-12 S10>P (219) (210-221), CH2 (222-331), CH3 (332-436), CHS (437-438)) (112-438)], (125-213')-disulfuro con la cadena ligera kappa (1'-213') [V-KAPPA (*Homo sapiens* IGKV1-33*01 (85.1%) -IGKJ1*01 (100%)) CDR-IMGT [6.3.8] (27-32.50-52.89-96) (1'-106') -*Homo sapiens* IGKC*01 (100%) Km3 A45.1 (152), V101 (190) (107'-213')]; dímero (217-217":220-220")-bisdisulfuro, producida por células ováricas de hamster chino (CHO), forma glicosilada alfa

Heavy chain / Chaîne lourde / Cadena pesada

QVQLQESPGP LVKPSQTLSL TCTVSGFSIS SYGIHWIRQS PGKCLEWIGV 50
 IWRGGITDYN APFMSRVTIS KDNKNQVSF KLSVSTAADT AVYYCANHHD 100
 WGQGTIVTVS SASTKGPSVF PLAPCSRSTS ESTAALGCLV KDYFPPEPVTV 150
 SWNSGALTSG VHTFFPAVLQS SGYLSLSSV TVFSSSLCTK YTTCNVDHKP 200
 SNTKVDVKRVE SKYGPCCPFC PAPEFLGGS VFLFPPKFKD TLMISRTPEV 250
 TCVVVDVVSQD DEPVQFNWVY DGVEVNHNART KPRERQFNST YRVVSVITLV 300
 HQDWLNKEY KCKVSNKGLP SSIERKTIKA KGQPREPCVY TLPPSQREMT 350
 KNQVSLTCLV KGFYPSDIAV EWESNGOPEN NYKTTTPVLD SDGSFFLYSR 400
 LTVDKSRWQE GNFVSCSVMH EALHNHYTQK SLSLSLGK 438

Light chain / Chaîne légère / Cadena ligera

DIQMTQSPFSS LSASVGDRTV ITTCQASQDIN KYIDWYQHKP GRAPKLLIHY 50
 ASTLQPQGVPS RFSGSGSGRD YTFTISSLQP EDIATYYCILQ YDDLWTFGG 100
 TKVEIKRTVA APSVFIFPPS DEQLKSGTAS VVCLLNNFYP REAKVQWKVD 150
 NALQSGNSQE SVTEQDSDKDS TYSLSSLTIL SKADYEKHKV YACEVTQHQL 200
 SSPVTKSFRN GEC 213

Post-translational modifications

Disulfide bridges location / Position des ponts disulfure / Posiciones de los puentes disulfuro
 Intra-H (C23-C104) 22-95 138-194 252-312 358-416
 22"-95" 138"-194" 252"-312" 358"-416"
 Intra-L (C23-C104) 23"-88" 133"-193"
 23"-88" 133"-193"
 Inter-H-L (CH1 10-CL 126) 125-213" 125"-213"
 Inter-H-H (h 8, h 11) 217-217" 220-220"

N-glycosylation sites / Sites de N-glycosylation / Posiciones de N-glicosilación
 $\text{H}_2\text{N}-\text{CH}_2-\text{N}^{\circ}\text{H}$: 288, 288"

Fucosylated complex bi-antennary CHO-type glycans / glycanes de type CHO bi-antennaires complexes fucosylés / glicanos de tipo CHO biantenarios complejos fucosilados

ontorpacept #

ontorpacept

human signal-regulatory protein alpha (SIRPa,
 tyrosine-protein phosphatase non-receptor type
 substrate 1, inhibitory receptor SHPS-1), ($\text{L}^{14}>\text{S}$,
 $\text{T}^{20}>\text{S}$, $\text{T}^{22}>\text{I}$, $\text{R}^{24}>\text{H}$, $\text{A}^{27}>\text{V}$, $\text{G}^{45}>\text{A}$, $\text{D}^{65}>\text{E}$, $\text{L}^{66}>\text{S}$,
 $\text{N}^{70}>\text{E}$, $\text{R}^{77}>\text{S}$, $\text{G}^{79}>\text{S}$, $\text{D}^{101}>\text{del}$, $\text{V}^{102}>\text{T}^{101}$)-variant, N-
 terminal (1-118)-fragment [binding domain for CD47
 (inhibitor of phagocytosis by macrophages)], fused to a
 human immunoglobulin G1 C-terminal Fc fragment
 (119-345), dimer (124-124':127-127')-bisdisulfide,
 produced in Chinese hamster ovary (CHO) cells,
 glycoform alfa

ontorpacept

protéine régulatoire de signal alpha, humaine (SIRPa,
 substrat 1 de type non-récepteur de la tyrosine-
 protéine phosphatase, récepteur inhibiteur SHPS-1),
 ($\text{L}^{14}>\text{S}$, $\text{T}^{20}>\text{S}$, $\text{T}^{22}>\text{I}$, $\text{R}^{24}>\text{H}$, $\text{A}^{27}>\text{V}$, $\text{G}^{45}>\text{A}$, $\text{D}^{65}>\text{E}$,
 $\text{L}^{66}>\text{S}$, $\text{N}^{70}>\text{E}$, $\text{R}^{77}>\text{S}$, $\text{G}^{79}>\text{S}$, $\text{D}^{101}>\text{del}$, $\text{V}^{102}>\text{T}^{101}$)-
 variant, fragment N-terminal (1-118) [domaine se liant
 au CD47 (inhibiteur de la phagocytose par les
 macrophages)], fusionnée au fragment Fc C-terminal
 de l'immunoglobuline G1 (119-345), dimère (124-
 124':127-127')-bisdisulfure, produit dans des cellules
 ovariennes de hamster chinois (CHO), glycoforme alfa

ontorpacept

proteína reguladora de señal alfa, humana (SIRPa,
 sustrato 1 de tipo no-receptor de la tirosina-proteína
 fosfatasa, receptor inhibidor SHPS-1), ($\text{L}^{14}>\text{S}$, $\text{T}^{20}>\text{S}$,
 $\text{T}^{22}>\text{I}$, $\text{R}^{24}>\text{H}$, $\text{A}^{27}>\text{V}$, $\text{G}^{45}>\text{A}$, $\text{D}^{65}>\text{E}$, $\text{L}^{66}>\text{S}$, $\text{N}^{70}>\text{E}$,
 $\text{R}^{77}>\text{S}$, $\text{G}^{79}>\text{S}$, $\text{D}^{101}>\text{del}$, $\text{V}^{102}>\text{T}^{101}$)-variante, fragmento
 N-terminal (1-118) [dominio unido al CD47 (inhibidor
 de la fagocitosis por los macrófagos)], fusionado con
 el fragmento Fc C-terminal de la inmunoglobulina G1
 (119-345), dímero (124-124':127-127')-bisdisulfuro,
 producido en las células ováricas de hamster chino
 (CHO), glicoforma alfa

Sequence / Séquence / Secuencia
 EEEELQVIQPD KSVSVAAGES AILHCTVTSL IVPGPIQWFR GAGPARELIY 50
 NQKEGHIFPRV TTVESSTKRE NMDFSIISIN ITPADAGTYY CVKFRKGSPD 100
 TEFKSGAGTE LSVRAKPSDK THTCPGPCAP ELLGGPSVFL FPPKPKDILM 150
 ISRTPPEVTCV VVDVSHRDPE VKFNWVXVGDV EVHNNAKTKPR EEQNNSTYRV 200
 VSVLTVLHQD WLNGKEYKCK VSNKALPAPI EKTISKAKGQ PREFQVYTLP 250
 PSRDELTKNQ VSLTCLVKGF YPSDIAVEWE SNGQPENNYK TPPVLDSDG 300
 SFPLFLYSKLTV DKSRWQQGNV FSCSVMHEAL HNHYTQKSLS LSPGK 345

Post-translational modifications
 Disulfide bridges location / Position des ponts disulfure / Posiciones de los puentes disulfuro
 intra-chain: 25-91 159-219 265-323
 25'-91' 159'-219' 265'-323'
 inter-chain: 124-124' 127-127'

Glycosylation sites / Sites de glycosylation / Posiciones de glicosilación
 N80, N195, N80', N195'
 Fucosylated complex bi-antennary CHO-type glycans / Glycane de type CHO bi-antennaires
 complejos fucosylés / Glicanos de tipo CHO biantenarios complejos fucosilados

C-terminal lysine clipping / Coupure de la lysine C-terminale / supresión de lisina C-terminal
 H CHS K2: 345, 345'

opucolimab

opucolimab

immunoglobulin G1-lambda, anti-[*Homo sapiens*
 CD274 (programmed death ligand 1, PDL1, PD-L1, B7
 homolog 1, B7H1)], monoclonal antibody;
 gamma1 heavy chain (1-453) [VH (*Homo sapiens*
 IGHV3-21*01 (94.9%) -(IGHD) -IGHJ3*01 (93.3%))
 [8.8.16] (1-123) -*Homo sapiens* IGHG1*03v
 G1m3>G1m17, nG1m1 (CH1 R120>K (220) (124-
 221), hinge 1-15 (222-236), CH2 N84.4>A (303) (237-
 346), CH3 E12 (362), M14 (364) (347-451), CHS (452-
 453)) (124-453)], (226-214')-disulfide with lambda light
 chain humanized (1'-214') [V-LAMBDA (*Homo sapiens*
 IGLV1-51*01 (82.3%) -IGLJ2*01 (100%)) [8.3.10] (1'-
 109') -*Homo sapiens* IGLC3*03 (98.1%) K119>R
 (207), P123>L (211) (110'-214')];
 dimer (232-232".235-235")-bisdisulfide, produced in
 Chinese hamster ovary (CHO) cells

opucolimab

immunoglobuline G1-lambda, anti-[*Homo sapiens*
 CD274 (ligand 1 de mort programmée, PDL1, PD-L1,
 homologue 1 de B7, B7H1)], anticorps monoclonal;
 chaîne lourde gamma1 (1-453) [VH (*Homo sapiens*
 IGHV3-21*01 (94.9%) -(IGHD) -IGHJ3*01 (93.3%))
 [8.8.16] (1-123) -*Homo sapiens* IGHG1*03v
 G1m3>G1m17, nG1m1 (CH1 R120>K (220) (124-
 221), charnière 1-15 (222-236), CH2 N84.4>A (303)
 (237-346), CH3 E12 (362), M14 (364) (347-451), CHS
 (452-453)) (124-453)], (226-214')-disulfure avec la
 chaîne légère (1'-214') [V-LAMBDA (*Homo sapiens*
 IGLV1-51*01 (82.3%) -IGLJ2*01 (100%)) [8.3.10] (1'-
 109') -*Homo sapiens* IGLC3*03 (98.1%) K119>R
 (207), P123>L (211) (110'-214')];
 dimère (232-232".235-235")-bisdisulfure, produit dans
 des cellules ovaries de hamster chinois (CHO)

opucolimab

inmunoglobulina G1-lambda, anti-[*Homo sapiens*
 CD274 (ligando 1 de muerte programada, PDL1, PD-
 L1, homólogo 1 de B7, B7H1)], anticuerpo monoclonal;

cadena pesada gamma1 (1-453) [VH (*Homo sapiens* IGHV3-21*01 (94.9%) -(IGHD) -IGHJ3*01 (93.3%)) [8.8.16] (1-123) -*Homo sapiens* IGHG1*03v G1m3>G1m17, nG1m1 (CH1 R120>K (220) (124-221), bisagra 1-15 (222-236), CH2 N84.4>A (303) (237-346), CH3 E12 (362), M14 (364) (347-451), CHS (452-453)) (124-453)], (226-214')-disulfuro con la cadena ligera lambda (1'-214') [V-LAMBDA (*Homo sapiens* IGLV1-51*01 (82.3%) -IGLJ2*01 (100%)) [8.3.10] (1'-109') -*Homo sapiens* IGLC3*03 (98.1%) K119>R (207), P123>L (211) (110'-214')]; dímero (232-232":235-235")-bisdisulfuro, producido por células ováricas de hamster chino (CHO)

Heavy chain / Chaîne lourde / Cadena pesada
EVQLVQSGGG LVKPGGSLRL SCAASGFTFS SYTMNNVRQA PGKGLEWVSS 50
ISSGSDYLYY ADSVKGRFTI SRDNAKNSLY LQMNSLRRAED TAVYYCARNE 100
LRWYPQAGAR DRWQQGTMVT VSSASTKOP3 VFPPLAPSKS TSQGTAALGC 150
LVKDYFPEPV TVSNNSGALT SGVHTPAVL QSGLYLSLLS VTVVPESSLG 200
TQTYICNVNI KPSNTKVDKK VEPKSCDKTH TCPPCPAPEL LGGSPVFLFP 250
PKPKDTLMIS RTPEVTCVVV DVSHEDPEVK FNWVVDGVEV HNAKTKPREE 300
QYASTYRVRS VLTVLHQDWL NGKEYCKKVS NKAALPAPIEK TISKAKGQPR 350
EPQVYTLPPS REEMTKNQVS LTCLVKGFYP SDIAVEWESN GPQENNYKTT 400
PPVLDSDGSF FLYSKLITVBDK SRWQQGNVFS CSVVMHEALHN HYTQKSLSLS 450
PGK 453

Light chain / Chaîne légère / Cadena ligera
QSVTQPPSM SAAPGQRVTI SCSCGSSYYTIE SSYVGWNYQQL PGTAPRLLIY 50
DDDMRPRSGIP DRFSGSKSGT SATLAITGLQ TGDEADYYCE IWRSLGGVF 100
GGGTKLTVLS QPKAAAPSVTL FPPSSEELQA NKAATLVCILS DFYPGAVTV 150
WKADSSPVKA GVETTTPSKQ SNNNKYAASSY LSLSLPEQWKS HKSYSCQVTH 200
EGSTVERTVLA L7EC 214

Post-translational modifications
Disulfide bridges location / Position des ponts disulfure / Posiciones de los puentes disulfuro
Intra-H (C23-C104) 22-96 150-206 267-327 373-431
22"-96" 150"-206" 267"-327" 373"-431"
Intra-L (C23-C104) 22-89" 137"-196"
22"-89" 137"-196"
Inter-H-L (h 5-CL 126) 226-214" 226"-214"
Inter-H-H (h 11, h 14) 232-232" 235-235"

No N-glycosylation sites / pas de sites de N-glycosylation / ningún posición de N-glicosilación:
H CH2 N84.4>A:
303, 303"

C-terminal lysine clipping:
H CHS K2:
453, 453"

orelabrutinib

orelabrutinib

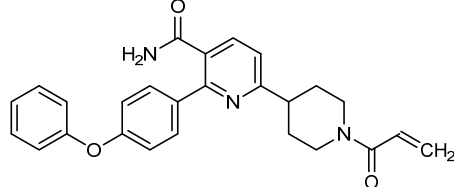
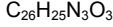
2-(4-phenoxyphenyl)-6-[1-(prop-2-enoyl)piperidin-4-yl]pyridine-3-carboxamide

orélabrutinib

2-(4-phénoxyphényl)-6-[1-(prop-2-énoyl)pipéridin-4-yl]pyridine-3-carboxamide

orelabrutinib

2-(4-fenoxifénol)-6-[1-(prop-2-enoil)piperidin-4-il]piridina-3-carboxamida



orvacabtagenum autoleucel #

orvacabtagene autoleucel

autologous CD4+ and CD8+ T lymphocytes obtained from peripheral blood mononuclear cells (PBMC), transduced *ex vivo* with a replication-incompetent, self-inactivating (SIN) lentiviral vector, encoding a chimeric antigen receptor (CAR) consisting of the human B cell maturation antigen (BCMA)-specific scFv, an IgG4-CH2-CH3 hinge region, CD28 transmembrane domain, CD137 (4-1BB) co-stimulatory domain and CD3 zeta signalling domain, under the control of a hybrid Elongation Factor 1 alpha (EF1 α) / Human T cell Leukemia Virus (HTLV) R element promoter. The vector also encodes a truncated human epidermal growth factor receptor (EGFRt) that is expressed separately from the CAR on the cell surface.

orvacabtagène autoleucel

lymphocytes T autologues CD4+ et CD8+ obtenus de cellules mononucléées du sang périphérique (PBMC), transduits *ex vivo* avec un vecteur lentiviral non-répliquant, auto-inactivant (SIN) codant pour un récepteur d'antigène chimérique (CAR) ciblant l'antigène spécifique du scFv de maturation des lymphocytes B (BCMA) humain, une région charnière IgG4-CH2-CH3, un domaine transmembranaire du CD28, un domaine co-stimulateur du CD137 (4-1BB), et un domaine de signalisation CD3 zéta, sous le contrôle d'un promoteur hybride du facteur d'élongation 1-alpha humain (EF1 α) / élément R du virus du lymphome humain à cellules T (HTLV). Le vecteur exprime un récepteur du facteur de croissance des cellules épidermiques humain tronqué (EGFRt) qui est exprimé séparément du CAR à la surface de la cellule.

orvacabtagén autoleucel

linfocitos T CD4+ y CD8+ autólogos obtenidos de células mononucleares de sangre periférica, transducidos con un vector lentiviral auto inactivante e incompetente para replicación, que codifica un receptor para antígenos químérico (CAR) consistente en un ssFv específico del antígeno de maduración de linfocitos B humano (BCMA), una región bisagra IgG4-CH2-CH3, un dominio transmembrana de CD28, un dominio coestimulador de CD137 (4-1BB) y un dominio de señalización de CD3 zeta, bajo el control de un promotor híbrido del Factor de Elongación 1 alfa (EF1a) / elemento R del virus de la leucemia de células T (HTLV) humana. El vector también codifica para una forma truncada del receptor del factor de crecimiento epidérmico (EGFRt) humano que se expresa separado del CAR en la superficie celular.

osoressnontrinum

osoressnontrine

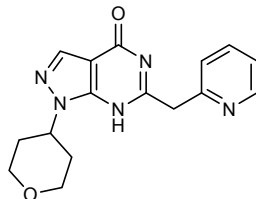
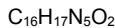
1-(oxan-4-yl)-6-[(pyridin-2-yl)methyl]-1,5-dihydro-4*H*-pyrazolo[3,4-*d*]pyrimidin-4-one

osoressnontrine

1-(oxan-4-yl)-6-[(pyridin-2-yl)méthyl]-1,5-dihydro-4*H*-pyrazolo[3,4-*d*]pyrimidin-4-one

osoressnontrina

1-(oxan-4-il)-6-[(piridin-2-il)metil]-1,5-dihidro-4*H*-pirazolo[3,4-*d*]pirimidin-4-ona

**pelacarsenum**

pelacarsen

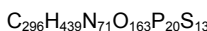
all-P-ambo-5'-O-(28-[(2-acetamido-2-deoxy-β-D-galactopyranosyl)oxy]-16,16-bis{[3-((6-[(2-acetamido-2-deoxy-β-D-galactopyranosyl)oxy]hexyl)amino)-3-oxopropoxy]methyl}-1-hydroxy-1,10,14,21-tetraoxo-2,18-dioxa-9,15,22-traza-1Λ⁵-phosphoactacosan-1-yl)-2'-O-(2-methoxyethyl)-5-methyl-P-thiouridylyl-(3'>5')-2'-O-(2-methoxyethyl)guanylyl-(3'>5')-2'-O-(2-methoxyethyl)-5-methyluridyl-(3'>5')-2'-O-(2-methoxyethyl)-5-methylcytidyl-(3'>5')-2'-deoxy-P-thioguanlyl-(3'>5')-P-thiothymidyl-(3'>5')-P-thiothymidyl-(3'>5')-2'-deoxy-P-thioguanlyl-(3'>5')-2'-deoxy-P-thioguanlyl-(3'>5')-2'-deoxy-5-methyl-P-thiocytidyl-(3'>5')-P-thiothymidyl-(3'>5')-2'-O-(2-methoxyethyl)-5-methyluridyl-(3'>5')-2'-O-(2-methoxyethyl)guanylyl-(3'>5')-2'-O-(2-methoxyethyl)-5-methyl-P-thiouridylyl-(3'>5')-2'-O-(2-methoxyethyl)-5-methyl-P-thiouridylyl-(3'>5')-2'-O-(2-methoxyethyl)-5-methylcytidine

pélacarsen

tout-P-ambo-5'-O-(28-[(2-acétamido-2-désoxy-β-D-galactopyranosyl)oxy]-16,16-bis{[3-((6-[(2-acétamido-2-désoxy-β-D-galactopyranosyl)oxy]hexyl)amino)-3-oxopropoxy]méthyl}-1-hydroxy-1,10,14,21-tétraoxo-2,18-dioxa-9,15,22-traza-1Λ⁵-phosphoactacosan-1-yl)-2'-O-(2-méthoxyéthyl)-5-méthyl-P-thiouridylyl-(3'>5')-2'-O-(2-méthoxyéthyl)guanylyl-(3'>5')-2'-O-(2-méthoxyéthyl)-5-méthyluridyl-(3'>5')-2'-O-(2-méthoxyéthyl)-5-méthylcytidyl-(3'>5')-2'-désoxy-5-méthyl-P-thiocytidyl-(3'>5')-2'-désoxy-P-thioguanlyl-(3'>5')-P-thiothymidyl-(3'>5')-P-thiothymidyl-(3'>5')-2'-désoxy-P-thioguanlyl-(3'>5')-2'-désoxy-P-thioguanlyl-(3'>5')-2'-désoxy-P-thioguanlyl-(3'>5')-2'-désoxy-5-méthyl-P-thiocytidyl-(3'>5')-P-thiothymidyl-(3'>5')-2'-O-(2-méthoxyéthyl)-5-méthyluridyl-(3'>5')-2'-O-(2-méthoxyéthyl)guanylyl-(3'>5')-2'-O-(2-méthoxyéthyl)-5-méthyl-P-thiouridylyl-(3'>5')-2'-O-(2-méthoxyéthyl)-5-méthyl-P-thiouridylyl-(3'>5')-2'-O-(2-méthoxyéthyl)-5-méthylcytidine

pelacarsén

todo-P-ambo-5'-O-(28-[(2-acetamido-2-desoxi-β-D-galactopyranosil)oxi]-16,16-bis{[3-{(2-acetamido-2-desoxi-β-D-galactopyranosil)oxi]hexyl}amino]-3-oxopropoxi]metil}-1-hidroxi-1,10,14,21-tetraoxo-2,18-dioxa-9,15,22-triaza-1⁵-fosfaoctacosan-1-il)-2'-O-(2-metoxietil)-5-metil-P-tiouridilil-(3'→5')-2'-O-(2-metoxietil)guaniilil-(3'→5')-2'-O-(2-metoxietil)-5-metilcitidilil-(3'→5')-2'-O-(2-metoxietil)-5-metiluridilil-(3'→5')-2'-O-(2-metoxietil)-5-metilcitidilil-(3'→5')-2'-desoxi-P-tioguanilil-(3'→5')-P-tiotimidilil-(3'→5')-P-tiotimidilil-(3'→5')-2'-desoxi-P-tioguanilil-(3'→5')-P-tiotimidilil-(3'→5')-2'-desoxi-P-tioguanilil-(3'→5')-2'-desoxi-5-metil-P-tiocitidilil-(3'→5')-2'-O-(2-metoxietil)-5-metil-P-tiouridilil-(3'→5')-2'-O-(2-metoxietil)-5-metil-P-tiouridilil-(3'→5')-2'-O-(2-metoxietil)-5-metilcitidina

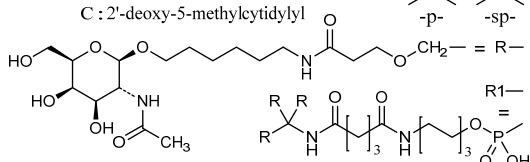


(3'-5') R1-U=G-C-U-C-d(C=G=T=T=G=G=T=G=C=T=)U-G-U=U=C

Legend: C & U : 2'-O-(2-methoxyethyl)-5-methylnucleotide

A & G & T: 2'-deoxynucleotide

C : 2'-deoxy-5-methylcytidyl



pelcitoclaxum

pelcitoclax

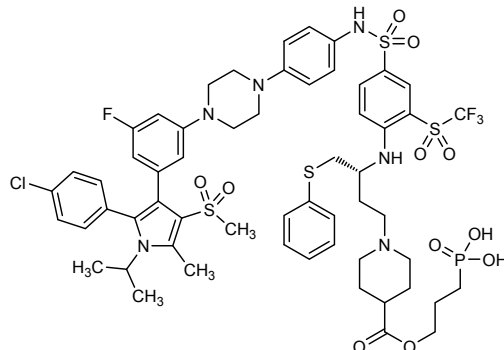
(3-{{[(10R)-1⁴-chloro-3⁵-fluoro-2⁴-(methanesulfonyl)-2⁵-methyl-7,7-dioxo-10-[(phenylsulfanyl)methyl]-2¹-(propan-2-yl)-8³-(trifluoromethanesulfonyl)-2¹H-7λ⁶-thia-6,9-diaza-4(1,4)-piperazina-13(1)-piperidina-2(2,3)-pyrrola-1(1,3(1,3),5,8(1,4)-tetrabenzenatridecaphane-13⁴-carbonyl]oxy}propyl}phosphonic acid

pelcitoclax

acide (3-{{[(10R)-1⁴-chloro-3⁵-fluoro-2⁴-(méthanesulfonyl)-2⁵-méthyl-7,7-dioxo-10-[(phénylsulfanyl)méthyl]-2¹-(propan-2-yl)-8³-(trifluorométhanesulfonyl)-2¹H-7λ⁶-thia-6,9-diaza-4(1,4)-pipérazina-13(1)-pipéridina-2(2,3)-pyrrola-1(1,3(1,3),5,8(1,4)-tétabenzenatridécaphe-13⁴-carbonyl]oxy}propyl)phosphonique

pelcitoclax

ácido (3-{{[(10R)-1⁴-cloro-10-[(fenilsulfanil)metil]-3⁵-fluoro-2⁴-(metanosulfonil)-2⁵-metil-7,7-dioxo-2¹-(propan-2-il)-8³-(trifluorometanosulfonil)-2¹H-7λ⁶-tia-6,9-diaza-4(1,4)-piperazina-13(1)-piperidina-2(2,3)-pirrola-1(1,3(1,3),5,8(1,4)-tetrabenzenatridécafano-13⁴-carbonil]oxi}propil)fosfónico

**pexopiprantum**

pexopiprant

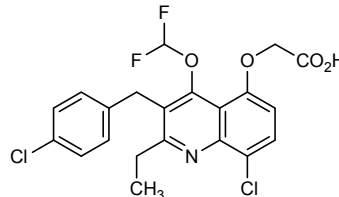
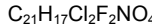
(8-chloro-3-[(4-chlorophenyl)methyl]-4-(difluoromethoxy)-2-ethylquinolin-5-yl)oxy)acetic acid

pexopiprant

acide (8-chloro-3-[(4-chlorophényl)méthyl]-4-(difluorométhoxy)-2-éthylquinolin-5-yl)oxy)acétique

pexopiprant

ácido (8-cloro-3-[(4-clorofenil)metil]-4-(difluorometoxi)-2-etylquinolin-5-il)oxi)acético

**pimurutamab #**

pimurutamab

immunoglobulin G1-kappa, anti-[*Homo sapiens* EGFR (epidermal growth factor receptor, receptor tyrosine-protein kinase erbB-1, ERBB1, HER1, HER-1, ERBB)], humanized monoclonal antibody; gamma1 heavy chain humanized (1-449) [VH (*Homo sapiens* IGHV3-48*03 (78.6%) -IGHD -IGHJ3*01 (85.7%)) [8.7.13] (1-119) -*Homo sapiens*IGHG1*03 (100%) G1m3, nG1m1 (CH1 R120 (216) (120-217), hinge 1-15 (218-232), CH2 (233-342), CH3 E12 (358), M14 (360) (343-447), CHS (448-449)) (120-449)], (222-214')-disulfide with kappa light chain humanized (1'-214') [V-KAPPA (*Homo sapiens* IGKV3-11*01 (85.3%) -IGKJ4*01 (90.9%)) [6.3.9] (1'-107') -*Homo sapiens*IGKC*01 (100%) Km3 A45.1 (153), V101 (191) (108'-214')]; dimer (228-228".231-231")-bisdisulfide, produced in Chinese hamster ovary (CHO) cells, glycoform alfa

pimurutamab

immunoglobuline G1-kappa, anti-[*Homo sapiens* EGFR (récepteur du facteur de croissance épidermique, récepteur tyrosine-protéine kinase erbB-1, ERBB1, HER1, HER-1, ERBB)], anticorps monoclonal humanisé;

chaîne lourde gamma1 humanisée (1-449) [VH (*Homo sapiens* IGHV3-48*03 (78.6%) -(IGHD) -IGHJ3*01 (85.7%)) [8.7.13] (1-119) -*Homo sapiens* IGHG1*03 (100%) G1m3, nG1m1 (CH1 R120 (216) (120-217), charnière 1-15 (218-232), CH2 (233-342), CH3 E12 (358), M14 (360) (343-447), CHS (448-449)) (120-449)], (222-214')-disulfure avec la chaîne légère kappa humanisée (1'-214') [V-KAPPA (*Homo sapiens* IGKV3-11*01 (85.3%) -IGKJ4*01 (90.9%)) [6.3.9] (1'-107') -*Homo sapiens* IGKC*01 (100%) Km3 A45.1 (153), V101 (191) (108'-214')]; dimère (228-228":231-231")-bisdisulfure, produit dans des cellules ovariennes de hamster chinois (CHO), glycoforme alfa

pimurutamab

inmunoglobulina G1-kappa, anti-[*Homo sapiens* EGFR (receptor del factor de crecimiento epidérmico, receptor tirosina-proteína kinasa erbB-1, ERBB1, HER1, HER-1, ERBB)], anticuerpo monoclonal humanizado; cadena pesada gamma1 humanizada (1-449) [VH (*Homo sapiens* IGHV3-48*03 (78.6%) -(IGHD) -IGHJ3*01 (85.7%)) [8.7.13] (1-119) -*Homo sapiens* IGHG1*03 (100%) G1m3, nG1m1 (CH1 R120 (216) (120-217), bisagra 1-15 (218-232), CH2 (233-342), CH3 E12 (358), M14 (360) (343-447), CHS (448-449)) (120-449)], (222-214')-disulfuro con la cadena ligera kappa humanizada (1'-214') [V-KAPPA (*Homo sapiens* IGKV3-11*01 (85.3%) -IGKJ4*01 (90.9%)) [6.3.9] (1'-107') -*Homo sapiens* IGKC*01 (100%) Km3 A45.1 (153), V101 (191) (108'-214')]; dímero (228-228":231-231")-bisdisulfuro, producido por células ováricas de hamster chino (CHO), forma glicosilada alfa

Heavy chain / Chaîne lourde / Cadena pesada

```

EVLQLVESGGG LVQPGQSLRL SCAAGFSLTT NYGVHWWVRQA PGKGLEWLGV 50
IWSGGNTDYG NEFTSRFTIS RDNAKNSLYL QMNSLRAEDT AVYYCARAID 100
YYDYEFAIWG QGTMVTVSSA STKGPSVFLL APSSKSTSGG TAALGCLVKD 150
YFFEPVTWVW NSGALTSGVH TFPAVLQSSG LYSLSSVVTV FSSSLGTQTY 200
ICVNHHKPSN TKVDKRVEPK SCDKTHTCP CPAAPELLGGP SVFLFPKPK 250
DTLMISRTPE VTCVVVDVSH EDPEVKENWY VGDGVEVHNAK TKPREEQYNS 300
TYRVSVLTV LIQDWLNGKE YKCKVSNKAL PAPIEKTIISK AKGQPREPQV 350
YTLPPSREEM TKNQVSITCL VKGEFYPSDIA VEWEESNGQPE NNYKTTEPVVL 400
DSGDGSFFLYS KLTVDKSRWQ QGNVFSCSVN HEALHNHYTQ KSLSLSPGK 449

```

Light chain / Chaîne légère / Cadena ligera

```

EIVLTQSPAT LSLSPGERAT LSCRAQSOSIG TNIIHWYQQKP GQAPRLLIKY 50
ASESIISGIPA RFSGSGSGTD FTIITISSLEP EDFAVYYQQQ NNNWPPTSFEG 100
GTVKEIKRTV AAPSVFIFPPP SDEQLKSGTA SVVCLNNFY PREAKVQWVYK 150
DNALQSGNSQ ESVTEQDSKD STYSLSSTLT LSKADYEHKH VYACEVTHQG 200
LSSPVTKSFSN RGEC 214

```

Post-translational modifications

Disulfide bridges location / Position des ponts disulfure / Posiciones de los puentes disulfuro

Intra-H (C23-C104) 22-95 146-202 263-323 369-427

22"-95" 146"-202" 263"-323" 369"-427"

Intra-L (C23-C104) 23"-88" 134"-194"

23"-88" 134"-194"

Inter-H-L (h 5-CL 126) 222-214" 222"-214"

Inter-H-H (h 11, h 14) 228-228" 231-231"

N-glycosylation sites / Sites de N-glycosylation / Posiciones de N-glicosilación

H CH2 N84.4:

299, 299"

Fucosylated complex bi-antennary CHO-type glycans / glycanes de type CHO bi-antennaires complexes fucosylés / glicanos de tipo CHO biantenarios complejos fucosilados

C-terminal lysine clipping:

H CHS K2:

449, 449"

posenacaftor

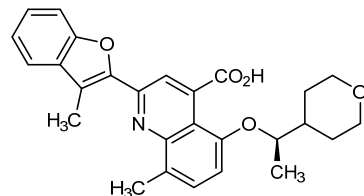
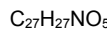
posenacaftor

8-methyl-2-(3-methyl-1-benzofuran-2-yl)-5-[(1*R*)-1-(oxan-4-yl)ethoxy]quinoline-4-carboxylic acid

poséacaftor

acide 8-méthyl-2-(3-méthyl-1-benzofuran-2-yl)-5-[(1*R*)-1-(oxan-4-yl)éthoxy]quinoléine-4-carboxylique

posenacaftor

ácido 8-metil-2-(3-metil-1-benzofuran-2-il)-5-[(1*R*)-1-(oxan-4-il)etoxi]quinolina-4-carboxílico**pudexacianinii chloridum**

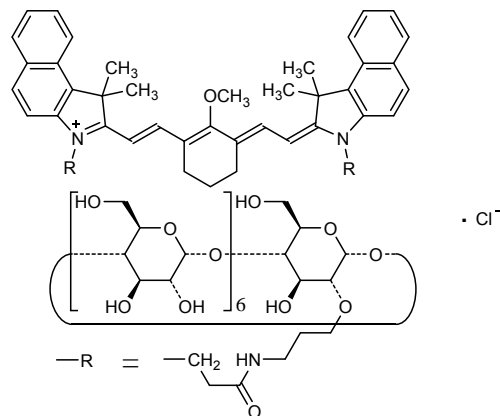
pudexacianinium chloride

3-(3-[(3-(cyclomaltoheptaos-2'-O-yl)propyl]amino)-3-oxopropyl)-2-[(1*E*)-2-[(3*E*)-3-[(2*E*)-2-[3-(3-(cyclomaltoheptaos-2'-O-yl)propyl]amino)-3-oxopropyl]-1,1-dimethyl-1,3-dihydro-2*H*-benzo[e]indol-2-ylidene]ethylidene}-2-methoxycyclohex-1-en-1-yl]ethen-1-yl]-1,1-dimethyl-1*H*-benzo[e]indol-3-ium chloride

chlorure de pudexacianinium

chlorure de 3-(3-[(3-(cyclomaltoheptaos-2'-O-yl)propyl]amino)-3-oxopropyl)-2-[(1*E*)-2-[(3*E*)-3-[(2*E*)-2-[3-(3-(cyclomaltoheptaos-2'-O-yl)propyl]amino)-3-oxopropyl]-1,1-diméthyl-1,3-dihydro-2*H*-benzo[e]indol-2-ylidène]éthylidène)-2-méthoxycyclohex-1-en-1-yl]éthèn-1-yl]-1,1-diméthyl-1*H*-benzo[e]indol-3-ium

cloruro de pudexacianinio

cloruro de 3-(3-[(3-(ciclomaltoheptaos-2'-O-yl)propil]amino)-3-oxopropil)-2-[(1*E*)-2-[(3*E*)-3-[(2*E*)-2-[3-(3-(ciclomaltoheptaos-2'-O-yl)propil]amino)-3-oxopropil]-1,1-dimetil-1,3-dihidro-2*H*-benzo[e]indol-2-ylideno]-2-metoxiciclohex-1-en-1-il]eten-1-il]-1,1-dimetil-1*H*-benzo[e]indol-3-ium

quavonlimabum #

quavonlimab

immunoglobulin G1-kappa, anti-[*Homo sapiens* CTLA4 (cytotoxic T-lymphocyte-associated protein 4, CD152)], humanized monoclonal antibody; gamma1 heavy chain humanized (1-445) [VH (*Homo sapiens* IGHV3-72*01 (84.7%) -(IGHD) -IGHJ4*01 (92.9%)) CDR-IMGT [8.10.6] (26-33.51-60.99-104) (1-115) -*Homo sapiens* IGHG1*01 (100%) G1m17,1 (CH1 K120 (212) (116-213), hinge 1-15 (214-228), CH2 (229-338), CH3 D12 (354), L14 (356) (339-443), CHS (444-445)) (116-445)], (224-214')-disulfide with kappa light chain humanized (1'-214') [V-KAPPA (*Homo sapiens* IGKV1-6*01 (81.6%) -IGKJ2*02 (90.9%)) CDR-IMGT [6.3.9] (27-32.50-52.89-97) (1'-107') -*Homo sapiens* IGKC*01 (100%) Km3 A45.1 (153), V101 (191) (108'-214')]; dimer (224-224":227-227")-bisdisulfide, produced in Chinese hamster ovary (CHO) cells, glycoform alfa

quavonlimab

immunoglobuline G1-kappa, anti-[*Homo sapiens* CTLA4 (protéine 4 associée aux lymphocytes T cytotoxiques, CD152)], anticorps monoclonal humanisé; chaîne lourde gamma1 humanisée (1-445) [VH (*Homo sapiens* IGHV3-72*01 (84.7%) -(IGHD) -IGHJ4*01 (92.9%)) CDR-IMGT [8.10.6] (26-33.51-60.99-104) (1-115) -*Homo sapiens* IGHG1*01 (100%) G1m17,1 (CH1 K120 (212) (116-213), charnière 1-15 (214-228), CH2 (229-338), CH3 D12 (354), L14 (356) (339-443), CHS (444-445)) (116-445)], (224-214')-disulfure avec la chaîne légère kappa humanisée (1'-214') [V-KAPPA (*Homo sapiens* IGKV1-6*01 (81.6%) -IGKJ2*02 (90.9%)) CDR-IMGT [6.3.9] (27-32.50-52.89-97) (1'-107') -*Homo sapiens* IGKC*01 (100%) Km3 A45.1 (153), V101 (191) (108'-214')]; dimère (224-224":227-227")-bisdisulfure, produit dans des cellules ovarianes de hamster chinois (CHO), glycoforme alfa

quavonlimab

inmunoglobulina G1-kappa, anti-[*Homo sapiens* CTLA4 (proteína 4 asociada a los linfocitos T citotóxicos, CD152)], anticuerpo monoclonal humanizado; cadena pesada gamma1 humanizada (1-445) [VH (*Homo sapiens* IGHV3-72*01 (84.7%) -(IGHD) -IGHJ4*01 (92.9%)) CDR-IMGT [8.10.6] (26-33.51-60.99-104) (1-115) -*Homo sapiens* IGHG1*01 (100%) G1m17,1 (CH1 K120 (212) (116-213), bisagra 1-15 (214-228), CH2 (229-338), CH3 D12 (354), L14 (356) (339-443), CHS (444-445)) (116-445)], (224-214')-disulfuro con la cadena ligera kappa humanizada (1'-214') [V-KAPPA (*Homo sapiens* IGKV1-6*01 (81.6%) -IGKJ2*02 (90.9%)) CDR-IMGT [6.3.9] (27-32.50-52.89-97) (1'-107') -*Homo sapiens* IGKC*01 (100%) Km3 A45.1 (153), V101 (191) (108'-214')]; dímero (224-224":227-227")-bisdisulfuro, producido por células ováricas de hamster chino (CHO), forma glicosilada alfa

	Heavy chain / Chaîne lourde / Cadena pesada EVQLVESGGG LVQPGGSLRL SCAASGFTFS DNWMNWVRQA PGKGLEWLAQ 50 IRNKPYNYET YYASAVKGFR TISRRDGKNS VYLOMNSLKT EDTGYYCYTA 100 QFAWYGGGTI VTVSAASTKG PSVFPFLAPSS KSTSGGTAAL GCLVKDYEPE 150 PTVSVWSNGA LTSGVHTPFA VLOSSGLYSLS SSVVTVPSSS LGTQTYICNV 200 NIHKPSNTKVY KKVEPKSCDK HTCPCCPAP ELLGGPSVFL FPPPKPDILM 250 ISRTPEVTCV VVDVSHEDIE VKENNNYVGIV EVHNNAKTKPR EEEQYNSTYRV 300 VSVLTVLHQD WLNGKEYKCK VSNLKALPAPI EKTISKARGK PREPVQYILP 350 PSRDELTVLHQD VSLTCLVKGF YPSDIAWEW SNGOPENNNYK TPPVPLDSDG 400 SFELYSKLTV DKSRWQZQNV FSCSVMMHEAL HNHYTQKSL5 LSPGK 445
	Light chain / Chaîne légère / Cadena ligera DIQMTQSPSS LSASVGDRTV ITCRTSENITY GGLNWNYQRKP GKSPKLLIYG 50 ATNLASGVQSS RFSGSGSGTD YTLTTSILQP EDVATYQCN VLRSPPFTGGS 100 GTKLEIKRTV AAFPSVFIFPP SDEQLKSGTA SVVCLLNFFY FREAKVQMV 150 DNALQSGNSQ ESYTEQDSKD STYSLSSLT LSKADYEKHK VYACEVTHQG 200 LSSPVTKSFSN RGE 214
	Post-translational modifications Disulfide bridges location / Position des ponts disulfure / Posiciones de los puentes disulfuro Intra-H (C23-C104) 22-98 142-198 259-319 365-423 22"-98" 142"-198" 259"-319" 365"-423" Intra-L (C23-C104) 23"-88" 134"-194" 23"-88" 134"-194" Inter-H-L (h 5-CL 126) 218-214" 218"-214" Inter-H-H (h 11, h 14) 224-224" 227-227"
	N-glycosylation sites / Sites de N-glycosylation / Posiciones de N-glicosilación H CH2 N84.4: 295, 295" Fucosylated complex bi-antennary CHO-type glycans / glycanes de tipo CHO bi-antennarios complejos fucosilados / complejos fucosylés / glicanos de tipo CHO biantenarios complejos fucosilados
	C-terminal lysine clipping: H CHS K2: 445, 445"
ragifilimab # ragifilimab	immunoglobulin G1-kappa, anti-[<i>Homo sapiens</i> TNFRSF18 (tumor necrosis factor receptor (TNFR) superfamily member 18, activation-inducible TNFR family receptor, AITR, glucocorticoid-induced TNFR-related, GITR, CD375)], humanized monoclonal antibody; gamma1 heavy chain humanized (1-447) [VH (<i>Homo sapiens</i> IGHV1-2*02 (80.6%) -(IGHD) -IGHJ4*01 (92.9%)) CDR-IMGT [8.8.11] (26-33.51-58.97-107) (1-118) - <i>Homo sapiens</i> IGHG1*03 (100%) G1m3, nG1m1 (CH1 R120 (215) (119-216), hinge 1-15 (217-231), CH2 (232-341), CH3 E12 (357), M14 (359) (342-446), CHS K>del (447)) (119-447)], (221-220')-disulfide with kappa light chain humanized (1'-220') [V-KAPPA (<i>Homo sapiens</i> IGKV4-1*01 (91.1%) -IGKJ2*01 (100%)) CDR-IMGT [12.3.9] (27-38.56-58.95-103) (1'-113') - <i>Homo sapiens</i> IGKC*01 (100%) Km3 A45.1 (159), V101 (197) (114'-220')]; dimer (227-227":230-230")-bisdisulfide, produced in Chinese hamster ovary (CHO) cells, glycoform alfa
ragifilimab	immunoglobuline G1-kappa, anti-[<i>Homo sapiens</i> TNFRSF18 (membre 18 de la superfamille des récepteurs du TNF, récepteur de la famille TNFR induit par activation, AITR, récepteur apparenté au TNFR et induit par les glucocorticoïdes, GITR, CD375), anticorps monoclonal humanisé; chaîne lourde gamma1 humanisée (1-447) [VH (<i>Homo sapiens</i> IGHV1-2*02 (80.6%) -(IGHD) -IGHJ4*01 (92.9%)) CDR-IMGT [8.8.11] (26-33.51-58.97-107) (1-118) - <i>Homo sapiens</i> IGHG1*03 (100%) G1m3, nG1m1 (CH1 R120 (215) (119-216), charnière 1-15 (217-231), CH2 (232-341), CH3 E12 (357), M14 (359) (342-446), CHS K>del (447)) (119-447)], (221-220')-disulfure avec la chaîne légère kappa humanisée (1'-220') [V-KAPPA (<i>Homo sapiens</i> IGKV4-1*01 (91.1%) -IGKJ2*01 (100%)) CDR-IMGT [12.3.9] (27-38.56-58.95-103) (1'-113') - <i>Homo sapiens</i> IGKC*01 (100%) Km3 A45.1 (159), V101 (197) (114'-220')]; dimère (227-227":230-230")-bisdisulfure, produit dans des cellules ovariennes de hamster chinois (CHO), glycoforme alfa

ragifilimab

inmunoglobulina G1-kappa, anti-[*Homo sapiens* TNFRSF18 (miembro 18 de la superfamilia de los receptores del TNF, receptor de la familia TNFR inducido por activación, AITR, receptor relacionado con el TNFR e inducido por los glucocorticoides, GITR, CD375), anticuerpo monoclonal humanizado; cadena pesada gamma1 humanizada (1-447) [VH (*Homo sapiens*IGHV1-2*02 (80.6%) -(IGHD) - IGHJ4*01 (92.9%)) CDR-IMGT [8.8.11] (26-33.51-58.97-107) (1-118) -*Homo sapiens*IGHG1*03 (100%) G1m3, nG1m1 (CH1 R120 (215) (119-216), bisagra 1-15 (217-231), CH2 (232-341), CH3 E12 (357), M14 (359) (342-446), CHS K>del (447)) (119-447)], (221-220')-disulfuro con la cadena ligera kappa humanizada (1'-220') [V-KAPPA (*Homo sapiens*IGKV4-1*01 (91.1%) -IGKJ2*01 (100%)) CDR-IMGT [12.3.9] (27-38.56-58.95-103) (1'-113') -*Homo sapiens*IGKC*01 (100%) Km3 A45.1 (159), V101 (197) (114'-220')]; dímero (227-227":230-230")-bisdisulfuro, producido por células ováricas de hamster chino (CHO), forma glicosilada alfa

Heavy chain / Chaîne lourde / Cadena pesada

QVQLVQSGAE VKKPGASVKV SCKGSQYFTT DYAMYWVRQA PGQGLEWIVG 50
IRTYSQDVY NQKFKDRATM TVDKSISTAY MELSLRSDD TAVYVCAKSG 100
TVTRGFAYNQQ GTLVITVSSAS TKGPSVFPLA PSSKSTSGGT AALGCLVKDY 150
PPEEPVTVSWN SGALTSGVHT FPAVLQSSGL YSLSSVVTVV SSSLGQTQYI 200
CNVNHKPSNT KVDKRVEPKS CDKHTCPFC PAPELLGGPS VFLFPPKPKD 250
TLM1SRTPEV TCVVVDSVSH DPEVKFVNWY DGVEVHNNAKT KPREEQYNST 300
YRVVSVLTVL HDQWLNGKEY KCKVSNKALP APIEKTTISKA KGQPREPQVY 350
TLPSPREEMT KNQVSLTCLV KGFPSPDIAV EWESNGQDEN NYKTTTPVLD 400
SDGSFFFLYST LTVDKSRWQQ GNVFSCSVMH EALHNHYTQK SLSSLSPG 447

Light chain / Chaîne légère / Cadena ligera

DIVMTQSPDS LAVSLGERAT INCKSSQSLL NSGNQKNYL WYQQKPGQPP 50
KLLIYWAEST ESGVPDRFSG SGSGDFDTLT ISSLQAEDVA VVHQCNQDYSY 100
PYTFQGQGTLK EIKRTVVAAPS VFIFPPSDEQ LKSGTASVVC LLNNFYPREA 150
KVQWKVDNAL QSGNSQESVT EQDSKDISTYS LSSTTLSKA DYEKHKVYAC 200
EVTHQQLSSP VTKSFRNRGEC 220

Post-translational modifications

Disulfide bridges location / Position des ponts disulfure / Posiciones de los puentes disulfuro
Intra-H (C23-C104) 22-96 145-201 262-322 368-426
22"-96" 145"-201" 262"-322" 368"-426"
Intra-L (C23-C104) 23"-94" 140"-200"
23"-94" 140"-200"
Inter-H-L (h 5-CL 126) 221-220 231"-220"
Inter-H-H (h 11, h 14) 227-227" 230-230"

N-terminal glutaminyl cyclization to pyroglutamyl (pE, 5-oxopropyl)

H VH Q1:
1, 1"

N-glycosylation sites / Sites de N-glycosylation / Posiciones de N-glicosilación

H CH2 N84.4;
298, 298"
Fucosylated complex bi-antennary CHO-type glycans / glycanes de type CHO bi-antennaires complexes fucosylés / glicanos de tipo CHO biantenarios complejos fucosilados

reciferceptum #
recifercept

human fibroblast growth factor receptor 3 (FGFR-3, CD333) (1-336)-(401-413) fragment (1-349) [soluble isoform (337-400>del, 414-784>del)-sFGFR3], produced in Chinese hamster ovary (CHO) cells, glycoform alfa

récifercept

fragment (1-336)-(401-413) du récepteur 3 du facteur de croissance des fibroblastes humain (FGFR-3, CD333) (1-349) [isoforme soluble (337-400>del, 414-784>del)-sFGFR3], produit dans des cellules ovariennes de hamster chinois (CHO), glycoform alfa

recifercept

fragmento (1-336)-(401-413) del receptor 3 del factor de crecimiento de los fibroblastos humanos (FGFR-3, CD333) (1-349) [isoforma soluble (337-400>del, 414-784>del)-sFGFR3], producido en las células ováricas de hamster chino (CHO), glicoforma alfa

Sequence / Séquence / Secuencia

```

ESLGTEQRVVGRAAEVPGPFGQQEQLVPGPSCDAVELSCP PPGGGPMGPT 50
VWVKDGTGLVPSERVLVQPGRLQVLNASHADSGAYSCRQR LTQVLCHFSP 100
VRVTIDAPSSDDDEGEDEAE DTGVDTGAPY WTRPERMDKK LLAVPAANTV 150
RFRCPAAGNT TPSISWLKNG REFRGEHRIR GIKLRLHQOWS LVMEHSVPSD 200
RGNYTCVVEK KPGSIROTQYT LDVLERSPH PILQAGLPLAN QTAVLGSVDE 250
FHCKVVSDAQ PHIQLWLKHVE VNGSKVGPDA TPYVTVLKTA GANITDKELE 300
VLSLHNVTFE DAGEYTCLAG NSIGFSHHSA WLVVLPVSL ENASMSNT 349

```

Post-translational modifications

Disulfide bridges location / Position des ponts disulfure / Posiciones de los puentes disulfuro intra-chain 39-97 154-206 253-317
(Cys-SH: 87)

Glycosylation sites / Sites de glycosylation / Posiciones de glicosilación

N76, N203, N240, N272, N293, N306, N342

Fucosylated complex bi-antennary CHO-type glycans / Glycane de type CHO bi-antennaires complexes fucosylés / Glicanos de tipo CHO biantenarios complejos fucosilados

relzomostatum

relzomostat

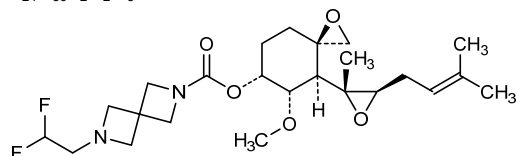
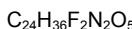
(3*R*,4*S*,5*S*,6*R*)-5-methoxy-4-[(2*R*,3*R*)-2-methyl-3-(3-methylbut-2-en-1-yl)oxiran-2-yl]-1-oxaspiro[2.5]octan-6-yl 6-(2,2-difluoroethyl)-2,6-diazaspiro[3.3]heptane-2-carboxylate

relzomostat

6-(2,2-difluoroéthyl)-2,6-diazaspiro[3.3]heptane-2-carboxylate de (3*R*,4*S*,5*S*,6*R*)-5-méthoxy-4-[(2*R*,3*R*)-2-méthyl-3-(3-méthylbut-2-én-1-yl)oxiran-2-yl]-1-oxaspiro[2.5]octan-6-yle

relzomostat

6-(2,2-difluoroethyl)-2,6-diazaspiro[3.3]heptano-2-carboxilato de (3*R*,4*S*,5*S*,6*R*)-5-méthoxy-4-[(2*R*,3*R*)-2-méthyl-3-(3-méthylbut-2-én-1-yl)oxiran-2-il]-1-oxaspiro[2.5]octan-6-ilo

**resiquimod pegolum**

resiquimod pegol

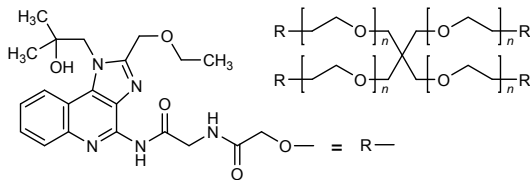
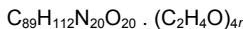
2',2'',2'''-{methanetetrailtetrakis[methylenepoly(oxyethylene)oxy]}tetrakis[N-(2-[2-(ethoxymethyl)-1-(2-hydroxy-2-methylpropyl)-1*H*-imidazo[4,5-*c*]quinolin-4-yl]amino)-2-oxoethyl]acetamide

résiquimod pégol

2',2'',2'''-{méthanetétrailtétrakis[méthylènepoly(oxyéthylène)oxy]}tétrakis[N-(2-[2-(éthoxyméthyl)-1-(2-hydroxy-2-méthylpropyl)-1*H*-imidazo[4,5-*c*]quinoléin-4-yl]amino)-2-oxoéthyl]acétamide

resiquimod pegol

2,2',2'',2'''-{metanotetrailltetrakis[metilenepoli(oxietileno)oxit]}tetrakis[N-(2-[2-(etoximetil)-1-(2-hidroxi-2-metilpropil)-1*H*-imidazo[4,5-*c*]quinolin-4-il]amino)-2-oxoetil]acetamida]

**revdofilimab #**

revdofilimab

immunoglobulin G1-kappa, anti-[*Homo sapiens* TNFRSF4 (tumor necrosis factor receptor (TNFR) superfamily member 4, ACT35, OX40, CD134)], monoclonal antibody; gamma1 heavy chain (1-450) [VH (*Mus musculus* IGHV5-6-3*01 (88.8%) -IGHJ4*01 (93.8%)/*Homo sapiens* IGHV3-7*01 (88.8%) -(IGHD) -IGHJ4*01 (92.3%)) CDR-IMGT [8.8.13] (26-33.51-58.97-109) (1-120) -*Homo sapiens*IGHG1*03v, G1m3>G1m17, nG1m1 (CH1 R120>K (217) (121-218), hinge 1-15 (219-233), CH2 (234-343), CH3 E12 (359), M14 (361) (344-448), CHS (449-450)) (121-450)], (223-218')-disulfide with kappa light chain (1'-218') [V-KAPPA (*Mus musculus* IGKV3-4*01 (83.8%) -IGKJ1*01 (90.9%)/*Homo sapiens* IGKV4-1*01 (83.2%) -IGKJ4*01 (100%)) CDR-IMGT [10.3.9] (27-36.54-56.93-101) (1-111') -*Homo sapiens* IGKC*01 (100%) Km3 A45.1 (157), V101 (195) (112'-218')]; dimer (229-229":232-232")-bisdisulfide, produced in Chinese hamster ovary (CHO) cells, glycoform alfa

revdofilimab

immunoglobuline G1-kappa, anti-[*Homo sapiens* TNFRSF4 (membre 4 de la super-famille des récepteurs du facteur de nécrose tumorale, ACT35, OX40, CD134)], anticorps monoclonal; chaîne lourde gamma 1 (1-450) [VH (*Mus musculus* IGHV5-6-3*01 (88.8%) -IGHJ4*01 (93.8%)/*Homo sapiens* IGHV3-7*01 (88.8%) -(IGHD) -IGHJ4*01 (92.3%)) CDR-IMGT [8.8.13] (26-33.51-58.97-109) (1-120) -*Homo sapiens*IGHG1*03v, G1m3>G1m17, nG1m1 (CH1 R120>K (217) (121-218), charnière 1-15 (219-233), CH2 (234-343), CH3 E12 (359), M14 (361) (344-448), CHS (449-450)) (121-450)], (223-218')-disulfure avec la chaîne légère kappa (1'-218') [V-KAPPA (*Mus musculus* IGKV3-4*01 (83.8%) -IGKJ1*01 (90.9%)/*Homo sapiens* IGKV4-1*01 (83.2%) -IGKJ4*01 (100%)) CDR-IMGT [10.3.9] (27-36.54-56.93-101) (1-111') -*Homo sapiens* IGKC*01 (100%) Km3 A45.1 (157), V101 (195) (112'-218')]; dimère (229-229":232-232")-bisdisulfure, produit dans des cellules ovarien-es de hamster chinois (CHO), glycoforme alfa

revdofilimab

immunoglobulina G1-kappa, anti-[*Homo sapiens* TNFRSF4 (miembro 4 de la superfamilia de los receptores del factor de necrosis tumoral, ACT35, OX40, CD134)], anticuerpo monoclonal;

cadena pesada gamma1 (1-450) [VH (*Mus musculus* IGHV5-6-3*01 (88.8%) -IGHJ4*01 (93.8%)/*Homo sapiens* IGHV3-7*01 (88.8%) - (IGHD) -IGHJ4*01 (92.3%)) CDR-IMGT [8.8.13] (26-33.51-58.97-109) (1-120) -*Homo sapiens* IGHG1*03v, G1m3>G1m17, nG1m1 (CH1 R120>K (217) (121-218), bisagra 1-15 (219-233), CH2 (234-343), CH3 E12 (359), M14 (361) (344-448), CHS (449-450)) (121-450)], (223-218')-disulfuro con la cadena ligera kappa (1'-218') [V-KAPPA (*Mus musculus* IGKV3-4*01 (83.8%) -IGKJ1*01 (90.9%)/*Homo sapiens* IGKV4-1*01 (83.2%) -IGKJ4*01 (100%)) CDR-IMGT [10.3.9] (27-36.54-56.93-101) (1'-111') -*Homo sapiens* IGKC*01 (100%) Km3 A45.1 (157), V101 (195) (112'-218')]; dímero (229-229"-232-232")-bisdisulfuro, producido por células ováricas de hamster chino (CHO), forma glicosilada alfa

Heavy chain / Chaîne lourde / Cadena pesada
 EVQLVESGGG LVQPGGSLRL SCAASGFTFS RYGMWSWVRQA PGKGLELVT 50
 INSNGRTTY PDVKGRFTI SRDNARKNSY LQMNSLAED TAVYVCAREG 100
 ITTAYAMDW QGGTTTVTSS ASTKGPSVFP LAPSSSKSTSG GTAALGCLIVK 150
 DYPPEEVTVS WNSGALTSGV HTFFAVLQSS GLYSLSVSVT VPSSSLGTQ 200
 YICVNHNKPS NTKVDKKVEE KSCDKTHTCP PCPAPELLGG PSVFLFPKRP 250
 KDTLMISRTP EVTGVVVVDS HEDEVKFNVW YVDGVEVHNA KTKPREEQYN 300
 STYRVVSVLT VLHQDWLNGK EYCKVKSNSKA LPAPIKTIS KAKGQPREPQ 350
 VYTLPFSREEE MTKNQVSLTC LVKGFPYPSDI AVEWESENQEE ENNYKTTTPV 400
 LDSDGFFFL SKLTVDKSRW QQGNVFCSCV MHEALHHHYT QKSLSLSPGK 450

Light chain / Chaîne légère / Cadena ligera
 DIVMTQSPDS LAVSLSGERAT INCKASQSVD YDGDSYMHWW QOKPGQPPKL 50
 LIYAASILES GVPDRFSGSG SGTDFTLTIS SLQAEDVAVY YCQQSNEDPR 100
 TFGGGTKEVI KRTVAQPSVF IFFPSDEQLK SGTAHSVCLL NNFYPRREAKV 150
 QWKVNDAQLQS GNSQESVTEQ DSKDSTYSLS STLTLSKADY EKHKVYACEV 200
 THQGLLSPVT KSFNRNGEC 218

Post-translational modifications

Disulfide bridges location / Position des ponts disulfure / Posiciones de los puentes disulfuro

Intra-H (C23-C104) 22-96 147-203 264-324 370-428
 22"-96" 147"-203" 264"-324" 370"-428"

Intra-L (C23-C104) 23"-92" 138"-198"
 23"-92" 138"-198"
 Inter-H-L (h-5-CL 126) 223-218" 223"-218"
 Inter-H-H (h 11, h 14) 229-229" 232-232"

N-glycosylation sites / Sites de N-glycosylation / Posiciones de N-glicosilación
 HCCH2 N84.4:

300, 300"

Fucosylated complex bi-antennary CHO-type glycans / glycanes de type CHO bi-antennaires complexes fucosylés / glicanos de tipo CHO biantenarios complejos fucosilados

C-terminal lysine clipping:

HCHS K2:

450, 450"

rezivertinibum

rezivertinib

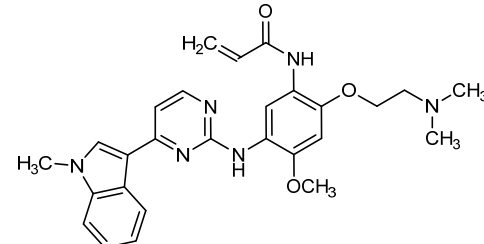
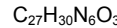
N-(2-[2-(dimethylamino)ethoxy]-4-methoxy-5-[(4-(1-methyl-1*H*-indol-3-yl)pyrimidin-2-yl]amino}phenyl)prop-2-enamide

rézivertinib

N-(2-[2-(diméthylamino)éthoxy]-4-méthoxy-5-[(4-(1-méthyl-1*H*-indol-3-yl)pyrimidin-2-yl]amino}phényl)prop-2-énamide

rezivertinib

N-(2-[2-(dimetilamino)etoxio]-5-[(4-(1-metil-1*H*-indol-3-il)pirimidin-2-il]amino}fenil)-4-metoxiprop-2-enamida



rilematovirum

rilematovir

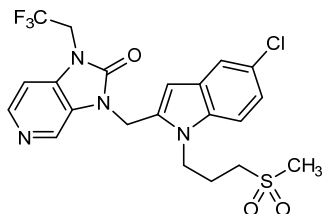
3-({5-chloro-1-[3-(methanesulfonyl)propyl]-1*H*-indol-2-yl}methyl)-1-(2,2,2-trifluoroethyl)-1,3-dihydro-2*H*-imidazo[4,5-*c*]pyridin-2-one

rilématovir

3-({5-chloro-1-[3-(méthanesulfonyl)propyl]-1*H*-indol-2-yl)méthyl)-1-(2,2,2-trifluoroéthyl)-1,3-dihydro-2*H*-imidazo[4,5-*c*]pyridin-2-one

rilematovir

3-({5-cloro-1-[3-(metanosulfonil)propil]-1*H*-indol-2-il}metil)-1-(2,2,2-trifluoroetil)-1,3-dihidro-2*H*-imidazo[4,5-*c*]piridin-2-ona

**ripafollitropinum alfa (bovinum) #**

ripafollitropin alfa (bovine)

bovine follicle-stimulating hormone (synthetic analog): [follitropin (*Bos taurus*) subunit β (1-109)]-[human chorionic gonadotropin (hCG) C-terminal 28-peptide linker (110-137)]-[glycoprotein hormones α chain (follitropin subunit α) (*Bos taurus*) (138-233)] fusion protein, produced in Chinese hamster ovary (CHO) cells, glycoform alfa

ripafollitropine alfa (bovine)

hormone folliculostimulante bovine (análogo sintético): protéine de fusion [follitropine (*Bos taurus*) sous-unité β (1-109)]-[peptide liant: 28-peptide C-terminal de la gonadotrophine chorionique humaine (hCG) (110-137)]-[chaîne α des hormones glycoprotéiques (follitropine sous-unité α) (*Bos taurus*) (138-233)], produit par des cellules ovariques de hamster chinois (CHO), forme glycosylée alfa

ripafolitropina alfa (bovina)

hormona estimulante del folículo bovina (análogo sintético): proteína de fusión [folitropina (*Bos taurus*) subunidad β (1-109)]-[conector: 28-peptido C-terminal de la gonadotropina coriónica humana (hCG) (110-137)]-[cadena α de las hormonas glicoproteicas (folitropina subunidad α) (*Bos taurus*) (138-233)], producida por células ováricas de hamster chino (CHO), forma glicosilada alfa

Sequence / Séquence / Secuencia:

CELTNITITV EKEECGFCLIS INTTWCAGYC YTRDLVYRDP ARPNIQKTCT 5
 FKELVYETVK VPGCAHHADS LYTYPVATEC HCSCDSDST DCTVRGLGPS 10
 YCSFREIKEES SSSKAPPPLS PSPSRLPGPS DTIILQFPFD GEFTMQGPE 15
 CKLKENKYFS KPDAPLYQCM GCCFSRAYPT PARSKKTMVL PKNITSEATC 20
 CVAKAFTKAT VMGNVRVENH TECHCSTCYY HKS 21

Disulfide bridge location / Position de la pont disulfure / Posición del puente disulfuro (predicted): 1-49, 15-64, 18-102, 26-80, 30-82, 85-92, 148-172, 151-201, 169-223, 173-225, 200-228

Glycosylation sites / Sites de glycosylation / Posiciones de glicosilación
 potential N-glycosylation: N5, N22, N193, N219
 potential O-glycosylation: S113, S119, S124, S130

Other post-translational modifications:
 potential deamidation: N5, N22, N44, Q46, Q137, Q146,
 N156, Q168, N193, N214, N219
 potential S-oxidation: M145, M170, M188, M212

ripertamab #

ripertamab

immunoglobulin G1-kappa, anti-[*Homo sapiens*
 MS4A1 (membrane-spanning 4-domains subfamily A
 member 1, CD20)], chimeric monoclonal antibody;
 gamma1 heavy chain chimeric (1-451) [VH (*Mus*
musculus IGHV1-12*01 (91.8%) -(IGHD) -IGHJ1*01
 (87.5%)) CDR-IMGT [8.8.14] (26-33.51-58.97-110) (1-
 121) -*Homo sapiens*IGHG1*01 (100%) G1m17.1
 (CH1 K120 (218) (122-219), hinge 1-15 (220-234),
 CH2 (235-344), CH3 D12 (360), L14 (362) (345-449),
 CHS (450-451)) (122-451)], (224-213')-disulfide with
 kappa light chain chimeric (1'-213') [V-KAPPA (*Mus*
musculus IGKV4-72*01 (95.8%) -IGKJ1*01 (100%))
 CDR-IMGT [5.3.9] (27-31.49-51.88-96) (1'-106') -
*Homo sapiens*IGKC*01 (100%), Km3 A45.1 (152),
 V101 (190) (107'-213')];
 dimer (230-230":233-233")-bisdisulfide, produced in
 Chinese hamster ovary (CHO) cells, glycoform alfa

ripertamab

immunoglobuline G1-kappa, anti-[*Homo sapiens*
 MS4A1 (membre 1 de la sous-famille A à 4 domaines
 transmembranaires, CD20)], anticorps monoclonal
 chimérique;
 chaîne lourde gamma1 chimérique (1-451) [VH (*Mus*
musculus IGHV1-12*01 (91.8%) -(IGHD) -IGHJ1*01
 (87.5%)) CDR-IMGT [8.8.14] (26-33.51-58.97-110) (1-
 121) -*Homo sapiens*IGHG1*01 (100%) G1m17.1
 (CH1 K120 (218) (122-219), charnière 1-15 (220-234),
 CH2 (235-344), CH3 D12 (360), L14 (362) (345-449),
 CHS (450-451)) (122-451)], (224-213')-disulfure avec
 la chaîne légère kappa chimérique (1'-213') [V-KAPPA
 (*Mus musculus* IGKV4-72*01 (95.8%) -IGKJ1*01
 (100%)) CDR-IMGT [5.3.9] (27-31.49-51.88-96) (1'-
 106') -*Homo sapiens*IGKC*01 (100%), Km3 A45.1
 (152), V101 (190) (107'-213')];
 dimère (230-230":233-233")-bisdisulfure, produite
 dans des cellules ovariennes de hamster chinois
 (CHO), glycoforme alfa

ripertamab

inmunoglobulina G1-kappa, anti-[*Homo sapiens*
 MS4A1 (miembro 1 de la subfamilia A con 4 dominios
 transmembranarios, CD20)], anticuerpo monoclonal
 químérico;

cadena pesada gamma1 quimérica (1-451) [VH (*Mus musculus* IGHV1-12*01 (91.8%) -(IGHD) -IGHJ1*01 (87.5%)) CDR-IMGT [8.8.14] (26-33.51-58.97-110) (1-121) -*Homo sapiens* IGHG1*01 (100%) G1m17.1 (CH1 K120 (218) (122-219), bisagra 1-15 (220-234), CH2 (235-344), CH3 D12 (360), L14 (362) (345-449), CHS (450-451)) (122-451)], (224-213')-disulfuro con la cadena ligera kappa quimérica (1'-213') [V-KAPPA (*Mus musculus* IGKV4-72*01 (95.8%) -IGKJ1*01 (100%)) CDR-IMGT [5.3.9] (27-31.49-51.88-96) (1'-106') -*Homo sapiens* IGKC*01 (100%), Km3 A45.1 (152), V101 (190) (107'-213')]; dímero (230-230":233-233")-bisdisulfuro, producida por células ováricas de hamster chino (CHO), forma glicosilada alfa

Heavy chain / Chaîne lourde / Cadena pesada
 QVQLQQLQPGAE LVKPGASVKM SCKASQGYFTT SYNMHWVKQT PGRGLEWIGA 50
 IYVGNQGDTSY NQPKFKGATL TADKSSTAY MQLSSLTSED SAVYYCARST 100
 YXGGDWQFVNV WGAGTTTVTS AASTKGPSVF PLAPFSKSTS GGTAALGCLV 150
 KDYFPEPVTV SWNSGALTSG VHTFPAPLQS SGLYVLSVVV TVPSSSLGTO 200
 TYICCNVNHKP SNTKVDDKVE PKSCDKTHTC PFCPCAPELLG GPSVFLFPPK 250
 PKDTLMISRT PEVTCVVVDV SHDEPEVKFN WYWDGVEVHN AKTKPREEQY 300
 NSTYRVVSVL TLVLHQDWLNG KEYKCKVSNK ALPAPIEKTI SKAKQGPREP 350
 QVYTLPPSRD ELTKNQVSLT CLVKGQFYSD IAVEWESENQ PENNYKTPPP 400
 VLDSDGSSFL YSKLTVDDKSR WQQGNVFCSN VMHEALHNHY TQKSLSLSPG 450
 K 451

Light chain / Chaîne légère / Cadena ligera
 QIVLSQLQSPAI LSASPGKEVKT MTCRASSVS YIHWFQQKPG SSPKPWYAT 50
 SNLASGVVPR FSQSGSGSTY SLTISRVEAE DAATYYCQOW TSNPPTFGGG 100
 TKLEIKRTVA APSVFLIPPDs DEQLKSGTAS VVCLLNNFYP REAKVQWVKD 150
 NALQSGNSQE SVTEQDSKS TYSSLSTTL SKADYEHKV YACEVTHQGL 200
 SSPVTKSFNR GEC 213

Post-translational modifications

Disulfide bridges location / Position des ponts disulfure / Posiciones de los puentes disulfuro
 Intra-H (C23-C104) 22-96 148-204 265-325 371-429

22"-96" 148"-204" 265"-325" 371"-429"

Intra-L (C23-C104) 23"-87" 133"-193"

23"-87" 133"-193"

Inter-H-L (h 5-CL 126) 224-213" 224"-213"

Inter-H-H (h 11, h14) 230-230" 233-233"

N-glycosylation sites / Sites de N-glycosylation / Posiciones de N-glicosilación
 H CH2 N84.4;
 301, 301"

Fucosylated complex bi-antennary CHO-type glycans / glycanes de type CHO bi-antennaires complexes fucosylés / glicanos de tipo CHO biantenarios complejos fucosilados

rocakinogenum sifuplasmidum #

rocakinogene sifuplasmid

A DNA plasmid encoding both subunits of human interleukin-12 (IL12), subunit alpha (IL12A, IL-12 subunit p35) and subunit beta (IL12B; IL-12 subunit p40), under the control of a human cytomegalovirus (CMV) immediate-early 1 (IE1) promoter and a simian cytomegalovirus (sCMV) promoter, respectively.

rocakinogène sifuplasmide

plasmide dont l'ADN code pour les deux sous-unités de l'interleukine 12 humaine (IL-12), sous-unité alpha (IL12A, sous-unité p35 de l'IL-12) et sous-unité bêta (IL12B; sous-unité p40 de l'IL-12), sous le contrôle d'un activateur/promoteur immédiat-précoce 1 (IE1) du cytomégavirus (CMV) et d'un promoteur du cytomégavirus simiesque (sCMV), respectivement

rocakinogén sifuplasmida

Un plásmido de DNA que codifica para ambas subunidades de la interleucina 12 (IL12) humana, la subunidad alfa (IL12A, IL-12 subunidad p35) y la subunidad beta (IL12B; IL-12 subunidad p40), bajo el control de un promotor inmediato-temprano 1 (IE1) del citomegalovirus (CMV) humano y un promotor del citomegalovirus de simio (sCMV), respectivamente.

rosopatamab #

rosopatamab

immunoglobulin G1-kappa, anti-[*Homo sapiens* FOLH1 (folate hydrolase, prostate specific membrane antigen, PSMA)], monoclonal antibody; gamma1 heavy chain (1-445) [VH (*Mus musculus* IGHV1-26*01 (78.4%) -(IGHD) -IGHJ2*01 (92.9%)/*Homo sapiens* IGHV1-69-2*01 (76.3%) -(IGHD) -IGHJ4*01 (92.9%)) [8.8.8] (1-115) -*Homo sapiens* IGHG1*01 (100%) G1m17,1 (CH1 K120 (212) (116-213), hinge 1-15 (214-228), CH2 (229-338), CH3 D12 (354), L14 (356) (339-443), CHS (444-445)) (116-445)], (218-214')-disulfide with kappa light chain (1'-214') [V-KAPPA (*Mus musculus* IGKV6-23*01 (80.9%) -IGKJ2*03 (72.7%)/*Homo sapiens* IGKV1-13*02 (78.7%) -IGKJ3*01 (91.7%)) [6.3.9] (1'-107') -*Homo sapiens* IGKC*01 (100%) Km3 A45.1 (153), V101 (191) (108'-214')]; dimer (224-224":227-227")-bisdisulfide, produced in Chinese hamster ovary (CHO) cells, glycoform alfa

rosopatamab

immunoglobuline G1-kappa, anti-[*Homo sapiens* FOLH1 (folate hydrolase, antigène membranaire spécifique de la prostate, PSMA)], anticorps monoclonal; chaîne lourde gamma1 (1-445) [VH (*Mus musculus* IGHV1-26*01 (78.4%) -(IGHD) -IGHJ2*01 (92.9%)/*Homo sapiens* IGHV1-69-2*01 (76.3%) -(IGHD) -IGHJ4*01 (92.9%)) [8.8.8] (1-115) -*Homo sapiens* IGHG1*01 (100%) G1m17,1 (CH1 K120 (212) (116-213), charnière 1-15 (214-228), CH2 (229-338), CH3 D12 (354), L14 (356) (339-443), CHS (444-445)) (116-445)], (218-214')-disulfure avec la chaîne légère kappa (1'-214') [V-KAPPA *Mus musculus* IGKV6-23*01 (80.9%) -IGKJ2*03 (72.7%)/(*Homo sapiens* IGKV1-13*02 (78.7%) -IGKJ3*01 (91.7%)) [6.3.9] (1'-107') -*Homo sapiens* IGKC*01 (100%) Km3 A45.1 (153), V101 (191) (108'-214')]; dimère (224-224":227-227")-bisdisulfure, produit dans des cellules ovarianes de hamster chinois (CHO), glycoforme alfa

rosopatamab

inmunoglobulina G1-kappa, anti-[*Homo sapiens* FOLH1 (folato hidrolasa, antígeno membranario específico de la próstata, PSMA)], anticuerpo monoclonal; cadena pesada gamma1 (1-445) [VH (*Mus musculus* IGHV1-26*01 (78.4%) -(IGHD) -IGHJ2*01 (92.9%)/*Homo sapiens* IGHV1-69-2*01 (76.3%) -(IGHD) -IGHJ4*01 (92.9%)) [8.8.8] (1-115) -*Homo sapiens* IGHG1*01 (100%) G1m17,1 (CH1 K120 (212) (116-213), bisagra 1-15 (214-228), CH2 (229-338), CH3 D12 (354), L14 (356) (339-443), CHS (444-445)) (116-445)], (218-214')-disulfuro con la cadena ligera kappa (1'-214') [V-KAPPA *Mus musculus* IGKV6-23*01 (80.9%) -IGKJ2*03 (72.7%)/(*Homo sapiens* IGKV1-13*02 (78.7%) -IGKJ3*01 (91.7%)) [6.3.9] (1'-107') -*Homo sapiens* IGKC*01 (100%) Km3 A45.1 (153), V101 (191) (108'-214')]; dímero (224-224":227-227")-bisdisulfuro, producido por células ováricas de hamster chino (CHO), forma glicosilada alfa

Heavy chain / Chaîne lourde / Cadena pesada
 EVQLVQSGPE VKKPGATVKI SCKTSGYFTF EYTIHWVKQA PGKGLEWIGN 50
 INFNNGGTTY NQKFEDKATL TVDKSTDAY MELSSLRSED TAVYYCAAGW 100
 NFDYWQGCTL LTVSSASTKG PSVFPLAPSS KSTSGGTAAI GCLVKDYFPE 150
 PVTVWNNSGA LTSGVHHTPPA VLQSSGLYSI SSVVTVPSSS LGTQTYICNV 200
 NHKPSNTKVD KKVEPKSCCDK THTCPCPAP ELLGGPSVFL FFPKPKDITLM 250
 ISRTPEVTCV VVDVSHEDE VFKRNWVIVGTV EVHNNAKTKPR EEQINNSTYRV 300
 VSVLTVLHQI WLNGKEYKCK VSNKALPAPI EKTISKAKQQ PREPFQVYTLIP 350
 PSRDELTKNQ VSLTCLVKGF YPSDIAVEWE SNGQFENNYK TPPVLDSDG 400
 SFFLYSKLT VDKSRWQQGNV FSCSVMHEAL HNHYTQRSLS LSPGK 445

Light chain / Chaîne légère / Cadena ligera
 DIQMTCQSFSS LSTSVGRVRT LTCKAQDVG TAVDWYQQKP GPSPKLILY 50
 ASTRHTGIPS RFSQGSGSGTD FTLTISLQF EDFADYYCQQ YNSYPLTFGP 100
 GTKWDIKRTV AAPSVFIFPP SDEQLKSGTA SVVCLNNFY PREAKVQNKV 150
 DNALQSNSQ ESVTEQDSKD STYSLSSNTLT LSKADYEKKH VYACEVTHQG 200
 LSSPVTKSFn RGEc 214

Post-translational modifications
 Disulfide bridges location / Position des ponts disulfure / Posiciones de los puentes disulfuro
 Intra-H (C23-C104) 22-96 142-198 259-319 365-423
 22"-96" 142"-198" 259"-319" 365"-423"
 Intra-L (C23-C104) 23-88 134-194^a
 23"-88" 134"-194"
 Inter-H-L (h 5-CL 126) 218-214^a 218"-214"
 Inter-H-H (h 11, h 14) 224-224^a 227-227"

N-glycosylation sites / Sites de N-glycosylation / Posiciones de N-glicosilación
 HCH2N84.4:
 295, 295^a
 Fucosylated complex bi-antennary CHO-type glycans / glycanes de type CHO bi-antennaires
 complejos fucosylés / glicanos de tipo CHO biantenarios complejos fucosilados

rosopatamab tetraxetanum

rosopatamab tetraxetan

immunoglobulin G1-kappa, anti-[*Homo sapiens* FOLH1 (folate hydrolase, prostate specific membrane antigen, PSMA)], monoclonal antibody, *tetraxetan* conjugate; gamma1 heavy chain (1-445) [VH (*Mus musculus* IGHV1-26*01 (78.4%) -(IGHD) -IGHJ2*01 (92.9%)/*Homo sapiens* IGHV1-69-2*01 (76.3%) -(IGHD) -IGHJ4*01 (92.9%)) [8.8.8] (1-115) -*Homo sapiens*IGHG1*01 (100%) G1m17,1 (CH1 K120 (212) (116-213), hinge 1-15 (214-228), CH2 (229-338), CH3 D12 (354), L14 (356) (339-443), CHS (444-445)) (116-445)], (218-214")-disulfide with kappa light chain (1'-214') [V-KAPPA (*Mus musculus* IGKV6-23*01 (80.9%) -IGKJ2*03 (72.7%)/*Homo sapiens* IGKV1-13*02 (78.7%) -IGKJ3*01 (91.7%)) [6.3.9] (1'-107') -*Homo sapiens* IGKC*01 (100%) Km3 A45.1 (153), V101 (191) (108'-214')]; dimer (224-224":227-227")-bisdisulfide; produced in Chinese hamster ovary (CHO) cells, glycoform alfa, *tetraxetan* (DOTA) conjugate (on an average of 3 to 5 lysyl, linked to the chelator by their N6)

rosopatamab tétraxétan

immunoglobuline G1-kappa, anti-[*Homo sapiens* FOLH1 (folate hydrolase, antigène membranaire spécifique de la prostate, PSMA)], anticorps monoclonal, conjugué au tétraxétan; chaîne lourde gamma1 (1-445) [VH (*Mus musculus* IGHV1-26*01 (78.4%) -(IGHD) -IGHJ2*01 (92.9%)/*Homo sapiens* IGHV1-69-2*01 (76.3%) -(IGHD) -IGHJ4*01 (92.9%)) [8.8.8] (1-115) -*Homo sapiens*IGHG1*01 (100%) G1m17,1 (CH1 K120 (212) (116-213), charnière 1-15 (214-228), CH2 (229-338), CH3 D12 (354), L14 (356) (339-443), CHS (444-445)) (116-445)], (218-214")-disulfure avec la chaîne légère kappa (1'-214') [V-KAPPA (*Mus musculus* IGKV6-23*01 (80.9%) -IGKJ2*03 (72.7%)/(*Homo sapiens* IGKV1-13*02 (78.7%) -IGKJ3*01 (91.7%)) [6.3.9] (1'-107') -*Homo sapiens* IGKC*01 (100%) Km3 A45.1 (153), V101 (191) (108'-214')];

dimère (224-224"-227-227")-bisdisulfure; produit dans des cellules ovariennes de hamster chinois (CHO), glycoforme alfa, conjugué au tétraxétan (DOTA) (avec une moyenne de 3 à 5 lysyl liés au chélateur par leur N6)

rosopatamab tetraxetán

imunoglobulina G1-kappa, anti-[*Homo sapiens* FOLH1 (folato hidrolasa, antígeno membranario específico de la próstata, PSMA)], anticuerpo monoclonal, conjugado con tetraxetán ; cadena pesada gamma1 (1-445) [VH (*Mus musculus* IGHV1-26*01 (78.4%) -(IGHD) -IGHJ2*01 (92.9%)/*Homo sapiens* IGHV1-69-2*01 (76.3%) -(IGHD) -IGHJ4*01 (92.9%)) [8.8.8] (1-115) -*Homo sapiens* IGHG1*01 (100%) G1m17,1 (CH1 K120 (212) (116-213), bisagra 1-15 (214-228), CH2 (229-338), CH3 D12 (354), L14 (356) (339-443), CHS (444-445)) (116-445)], (218-214")-disulfuro con la cadena ligera kappa (1'-214') [V-KAPPA *Mus musculus* IGKV6-23*01 (80.9%) -IGKJ2*03 (72.7%)/(*Homo sapiens* IGKV1-13*02 (78.7%) -IGKJ3*01 (91.7%)) [6.3.9] (1'-107') -*Homo sapiens* IGKC*01 (100%) Km3 A45.1 (153), V101 (191) (108'-214')]; dímero (224-224"-227-227")-bisdisulfuro; producido por células ováricas de hamster chino (CHO), forma glicosilada alfa, conjugado con tetraxetán (DOTA) (con una media de 3 a 5 restos lisil unidos al quelante por sus respectivos N6)

Heavy chain / Chaîne lourde / Cadena pesada

EVQLVQSGPE	VKKPGATVKI	SCCKGTYFTF	EYTIHWVKQA	PGKGLEWIGN	50
INPNNGGTTT	NQKFEDKATL	TVDKSTDFTAY	MELSSLRSED	TAVVYCAAGW	100
NFDYWGGTTT	LTVVAASTKG	PSVFPPLAPSS	KSTSGGTAAL	GCLVKDYFPE	150
PVTVSNSNGG	LTSGVWHTFP	VLQSSGLYLS	SSVVTPVSS	LQTGTYICNV	200
NHKPSNTKVD	KKVEPKSCDK	THTCPCCPAP	ELLLGGPSVFL	FPPKPKDTLM	250
ISRTPEVTCV	VVDVSHEDPE	VKFNWIVDGV	EVHNAKTKPR	EEQINNSTYRV	300
VSLVTLVHQD	WLNGKEYKCK	VSNKALPAPI	EKTISKAKQQ	PREPVQVYTL	350
PSRDELTKND	VSLTCLVKGP	YPSDIAVEVE	SNCQFENNYK	TTPPVLDSDG	400
SFFFLYSKLTV	DKSRSRQQQNVN	FSCSVNHEAL	HNHYTQKSL	LSPGK	445

Light chain / Chaîne légère / Cadena ligera

DIQMTQSPSS	LSTSTVGDRTV	LTCKASQDVG	TAVDWYQQKP	GPSPKLLIYW	50
ASTRHTGIPS	RFSGGGGTTD	FTLTISSLQP	EDFADYYQQQ	YNSYXPLTFGP	100
GTKVDIKRTV	AAPSVFIFPP	SDEQLKSHTA	SVVCLLNNFY	PREAKVQWVK	150
DNALQSGNSQ	ESVTEQDSKD	STYSLSSLT	LSKADYEKHK	VYACEVTHQG	200
LSSPVTKSFN	RGECE				214

Post-translational modifications

Disulfide bridge location / Position des ponts disulfure / Posiciones de los puentes disulfuro
Intra-H (C23-C104) 22-96 142-198 259-319 365-423

22"-96" 142"-198" 259"-319" 365"-423"

Intra-L (C23-C104) 23"-88" 134"-194"

23"-88" 134"-194"

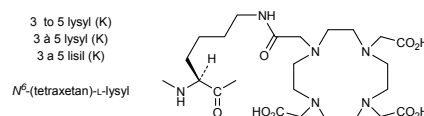
Inter-H-L (h 5-CL 126) 218-214" 218"-214"

Inter-H-H (h 11, h 14) 224-224" 227-227"

N-glycosylation sites / Sites de N-glycosylation / Posiciones de N-glicosilación
H CH2 N84.4;
295, 295"

Fucosylated complex bi-antennary CHO-type glycans / glycane de type CHO bi-antennaires complexes fucosylés / glicanos de tipo CHO biantenarios complejos fucosilados

Potential modified residues / résidus modifiés potentiels / restos modificados potenciales



sabatolimabum #

sabatolimab

immunoglobulin G4-kappa, anti-[*Homo sapiens* HAVCR2 (hepatitis A virus cellular receptor 2, T-cell immunoglobulin mucin family member 3, Tim-3, TIM3, TIMD3, CD366)], humanized monoclonal antibody; gamma4 heavy chain humanized (1-444) [VH (*Homo sapiens* IGHV1-46*01 (87.8%) -(IGHD) -IGHJ4*01 (92.3%)) CDR-IMGT [8.8.11] (26-33.51-58.97-107) (1-118) -*Homo sapiens* IGHG4*01, G4v5 h P10 (CH1 (119-216), hinge 1-12 S10>P (226) (217-228), CH2 (229-338), CH3 (339-443), CHS K>del (444)) (119-444)], (132-218')-disulfide with kappa light chain humanized (1'-218') [V-KAPPA (*Homo sapiens* IGKV1-39*01 (81.6%) -IGKJ4*01 (100%)) CDR-IMGT [10.3.9] (27-36.54-56.93-101) (1'-111') -*Homo sapiens* IGKC*01 (100%), Km3 A45.1 (157), V101 (195) (112'-218')]; dimer (224-224":227-227")-bisdisulfide, produced in Chinese hamster ovary (CHO) cells, glycoform alfa

sabatolimab

immunoglobuline G4-kappa, anti-[*Homo sapiens* HAVCR2 (récepteur cellulaire 2 du virus de l'hépatite A, CD366, membre 3 de la famille mucine immunoglobuline des cellules T, Tim-3, TIM3, TIMD3, CD366)], anticorps monoclonal humanisé; chaîne lourde gamma4 humanisée (1-444) [VH (*Homo sapiens* IGHV1-46*01 (87.8%) -(IGHD) -IGHJ4*01 (92.3%)) CDR-IMGT [8.8.11] (26-33.51-58.97-107) (1-118) -*Homo sapiens* IGHG4*01, G4v5 h P10 (CH1 (119-216), charnière 1-12 S10>P (226) (217-228), CH2 (229-338), CH3 (339-443), CHS K>del (444)) (119-444)], (132-218')-disulfure avec la chaîne légère kappa humanisée (1'-218') [V-KAPPA (*Homo sapiens* IGKV1-39*01 (81.6%) -IGKJ4*01 (100%)) CDR-IMGT [10.3.9] (27-36.54-56.93-101) (1'-111') -*Homo sapiens* IGKC*01 (100%), Km3 A45.1 (157), V101 (195) (112'-218')]; dimère (224-224":227-227")-bisdisulfure, produit dans des cellules ovariennes de hamster chinois (CHO), glycoforme alfa

sabatolimab

inmunoglobulina G4-kappa, anti-[*Homo sapiens* HAVCR2 (receptor celular 2 del virus de la hepatitis A, CD366, miembro 3 de la familia mucina immunoglobulina de las células T, Tim-3, TIM3, TIMD3, CD366)], anticuerpo monoclonal humanizado; cadena pesada gamma4 humanizada (1-444) [VH (*Homo sapiens* IGHV1-46*01 (87.8%) -(IGHD) -IGHJ4*01 (92.3%)) CDR-IMGT [8.8.11] (26-33.51-58.97-107) (1-118) -*Homo sapiens* IGHG4*01, G4v5 h P10 (CH1 (119-216), bisagra 1-12 S10>P (226) (217-228), CH2 (229-338), CH3 (339-443), CHS K>del (444)) (119-444)], (132-218')-disulfuro con la cadena ligera kappa humanizada (1'-218') [V-KAPPA (*Homo sapiens* IGKV1-39*01 (81.6%) -IGKJ4*01 (100%)) CDR-IMGT [10.3.9] (27-36.54-56.93-101) (1'-111') -*Homo sapiens* IGKC*01 (100%), Km3 A45.1 (157), V101 (195) (112'-218')]; dímero (224-224":227-227")-bisdisulfuro, producido por células ováricas de hamster chino (CHO), forma glicosilada alfa

Heavy chain / Chaîne lourde / Cadena pesada

QVQLVQSGAD VRKPGSSVKV SCKASGYTFT SYNMHHWVRQA PGQGLEWMGD 50
 IYPFGNGDTSV NQKFKGRVTI TADKSTSTVY MELSSLRSED TAVYVCARVG 100
 GAFPMDYWQQ GTTVTSSAAT TKGPFVPFLA PCSRTSEST AALCCLVKDY 150
 FPEPVTIVSWN SCALTSGVIT FPAVILQSSGL YSLSSVITVPP SSSLGKTYYT 200
 CNVDHKPSNT VDKRVESKY GPCCPCCPAP EFLGGPSVFL FPFPKPDKTLM 250
 ISRTPEVTCV VVDVSQEDPE VQFNWYVDGV EVHNNAKTKPR EEQFNSTYRV 300
 VSVLTVLHQD WLNGKEYKCK VSNKGELPSSI EKTISKAKQG PREQPVYTLP 350
 PSQEEMTKRNQ VSLTCLVKGF YPSDIAVEWE SNQCPENNYK TPPFVLDSDG 400
 THQGLLSPVY KSFNRGEC 444

Light chain / Chaîne légère / Cadena ligera

AIGLTQSPSS LSASVGDVRT ITCRASESVE YYGTSLMQWY QOKPGKAPKL 50
 LIYAASLNVES GVPSPRGFSGG SGTDFTLIS SLOPEDFTATY FCQOSRKDPS 100
 TFGGGTKVEI KRTVAAPSVF IFPPSDEQELK SGTAHSVCLL NNFFPREAKV 150
 QWKVDNALQSQ NSGEESVTEQ DSKDSTIISLS STTLTLSKADY EKKHVKVIACEV 200
 THQGLLSPVY KSFNRGEC 218

Post-translational modifications

Intra-H (C23-C104) 22-96 145-201 259-319 365-423
 22"-96" 145"-201" 259"-319" 365"-423"
 Intra-L (C23-C104) 23-92" 138"-198"
 23"-92" 138"-198"
 Inter-H-L (CHI 10-CL 126) 132-218" 132"-218"
 Inter-H-H (h 8, h 11) 224-224" 227-227"

N-terminal glutaminyl cyclization to pyroglutamyl (pE, 5-oxoprolyl)
 H VH Q1: I, I"

N-glycosylation sites / Sites de N-glycosylation / Posiciones de N-glicosilación
 H₂CH₂N84.4:
 295, 295"

Fucosylated complex bi-antennary CHO-type glycans / glycanes de type CHO bi-antennaires
 complexes fucosylés / glicanos de tipo CHO biantenarios complejos fucosilados

samelisantum

samelisant

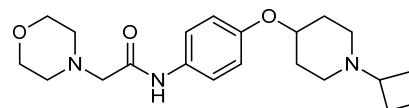
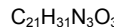
N-{4-[(1-cyclobutylpiperidin-4-yl)oxy]phenyl}-2-(morpholin-4-yl)acetamide

samélisant

N-{4-[(1-cyclobutylpiperidin-4-yl)oxy]phényle}-2-(morpholin-4-yl)acetamide

samelisant

N-{4-[(1-ciclobutilpiperidin-4-il)oxifenil]-2-(morfolin-4-il)acetamida

**samuraciclibum**

samuraciclib

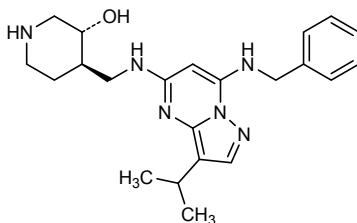
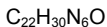
(3*R*,4*R*)-4-({[7-(benzylamino)-3-(propan-2-yl)pyrazolo[1,5-*a*]pyrimidin-5-yl]amino}methyl)piperidin-3-ol

samuraciclib

(3*R*,4*R*)-4-({[7-(benzylamino)-3-(propan-2-yl)pyrazolo[1,5-*a*]pyrimidin-5-yl]amino}méthyl)pipéridin-3-ol

samuraciclib

(3*R*,4*R*)-4-({[7-(benzilamino)-3-(propan-2-il)pirazolo[1,5-*a*]pirimidin-5-il]amino}metil)piperidin-3-ol

**seralutinibum**

seralutinib

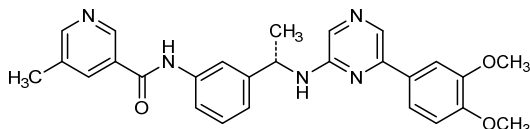
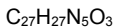
N-{3-[(1*S*)-1-{{[6-(3,4-dimethoxyphenyl)pyrazin-2-yl]amino}ethyl}phenyl]-5-methylpyridine-3-carboxamide

séralutinib

N-{3-[(1*S*)-1-{{[6-(3,4-diméthoxyphényl)pyrazin-2-yl]amino}éthyl}phényle]-5-méthylpyridine-3-carboxamide

seralutinib

N-{3-[(1*S*)-1-{{[6-(3,4-dimetoxyfenil)pirazin-2-il]amino}etil}fenil]-5-metilpiridina-3-carboxamida

**simoladagenum autotemcel #**

simoladagene autotemcel

autologous CD34+ hematopoietic stem cells (HSC), obtained by leukapheresis or from bone marrow, transduced *ex vivo* with a non-replicating, self-inactivating (SIN) lentiviral vector encoding codon optimised human adenosine deaminase (ADA) under the internal control of elongation factor 1α short promoter (EFS)

simoladagène autotemcel

cellules souches hématopoïétiques CD34+ autologues obtenues par leucophérèse ou de la moëlle osseuse, transduites *ex vivo* avec un vecteur lentiviral non-repliquant, auto-inactivant (SIN) codant pour l'adénosine déaminase (ADA) humaine codon optimisé sous le contrôle interne d'un promoteur court du facteur d'élongation 1α (EFS)

simoladagén autotemcel

células madre hematopoyéticas CD34+ autólogas obtenidas por leucoaféresis o de médula ósea, transducidas *ex vivo* con un vector lentiviral no replicativo y auto-inactivante (SIN), que codifica para la adenosina deaminasa (ADA) humana con codones optimizados bajo el control interno del promotor corto del factor de elongación 1α (EFS)

sisunatovirum

sisunatovir

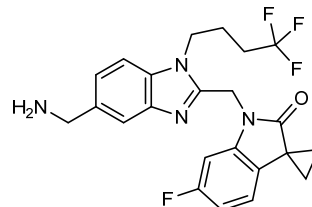
1'-{[5-(aminomethyl)-1-(4,4,4-trifluorobutyl)-1*H*-benzimidazol-2-yl]methyl}-6'-fluorospiro[cyclopropane-1,3'-indol]-2'(1*H*)-one

sisunatovir

1'-{[5-(aminométhyl)-1-(4,4,4-trifluorobutyl)-1*H*-benzimidazol-2-yl]méthyl}-6'-fluoro-spiro[cyclopropane-1,3'-[3*H*]indol]-2'-('1*H*)-one

sisunatovir

1'-{[5-(aminometil)-1-(4,4,4-trifluorobutyl)-1*H*-benzimidazol-2-il]metil}-6'-fluoro-spiro[ciclopropano-1,3'-[3*H*]indol]-2'-('1*H*)-ona

 $C_{23}H_{22}F_4N_4O$ **sovesudilum**

sovesudil

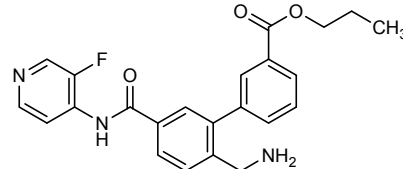
propyl 2'-(aminomethyl)-5'-[(3-fluoropyridin-4-yl)carbamoyl][1,1'-biphenyl]-3-carboxylate

sovésudil

2'-(aminométhyl)-5'-[(3-fluoropyridin-4-yl)carbamoyl][1,1'-biphényle]-3-carboxylate de propyle

sovesudil

2'-(aminometil)-5'-[(3-fluoropiridin-4-il)carbamoi][1,1'-bifenil]-3-carboxilato de propilo

 $C_{23}H_{22}FN_3O_3$ **sugemalimabum #**

sugemalimab

immunoglobulin G4-lambda, anti-[*Homo sapiens* CD274 (programmed death ligand 1, PDL1, PD-L1, B7 homolog 1, B7H1)], *Homo sapiens* monoclonal antibody; gamma4 heavy chain *Homo sapiens* (1-448) [VH (*Homo sapiens*IGHV3-23*01 (98.0%) -(IGHD) - IGHJ4*01 (100%)) [8.8.14] (1-121) -*Homo sapiens*IGHG4*01, G4v5 h P10 (CH1 (122-219), hinge 1-12 S10>P (229) (220-231), CH2 (232-341), CH3 (342-446), CHS (447-448)) (122-448)], (135-213')-disulfide with lambda light chain *Homo sapiens* (1-214') [VL-LAMBDA (*Homo sapiens*IGLV3-21*02 (100%) - IGLJ2*01 (100%)) [6.3.11] (1'-108') -*Homo sapiens*IGLC2*01 (100%) (109'-214')]; dimer (227-227":230-230")-bisdisulfide, produced in Chinese hamster ovary (CHO) cells, glycoform alfa

sugémalimab

immunoglobuline G4-lambda, anti-[*Homo sapiens* CD274 (ligand 1 de mort programmée, PDL1, PD-L1, homologue 1 de B7, B7H1)], anticorps monoclonal *Homo sapiens*;

chaîne lourde gamma4 *Homo sapiens* (1-448) [VH (*Homo sapiens* IGHV3-23*01 (98.0%) - (IGHD) - IGHJ4*01 (100%)) [8.8.14] (1-121) -*Homo sapiens* IGHG4*01, G4v5 h P10 (CH1 (122-219), charnière 1-12 S10>P (229) (220-231), CH2 (232-341), CH3 (342-446), CHS (447-448)) (122-448)], (135-213')-disulfure avec la chaîne légère lambda *Homo sapiens* (1'-214') [V-LAMBDA (*Homo sapiens* IGLV3-21*02 (100%) - IGLJ2*01 (100%)) [6.3.11] (1'-108') -*Homo sapiens* IGLC2*01 (100%) (109'-214')]; dimère (227-227":230-230")-bisdisulfure, produit dans des cellules ovariennes de hamster chinois (CHO), glycoforme alfa

sugemalimab

inmunoglobulina G4-lambda, anti-[*Homo sapiens* CD274 (ligando 1 de muerte programada, PDL1, PD-L1, homólogo 1 de B7, B7H1)], anticuerpo monoclonal *Homo sapiens*; cadena pesada gamma4 *Homo sapiens* (1-448) [VH (*Homo sapiens* IGHV3-23*01 (98.0%) - (IGHD) - IGHJ4*01 (100%)) [8.8.14] (1-121) -*Homo sapiens* IGHG4*01, G4v5 h P10 (CH1 (122-219), bisagra 1-12 S10>P (229) (220-231), CH2 (232-341), CH3 (342-446), CHS (447-448)) (122-448)], (135-213')-disulfuro con la cadena ligera lambda *Homo sapiens* (1'-214') [V-LAMBDA (*Homo sapiens* IGLV3-21*02 (100%) - IGLJ2*01 (100%)) [6.3.11] (1'-108') -*Homo sapiens* IGLC2*01 (100%) (109'-214')]; dímero (227-227":230-230")-bisdisulfuro, producido por células ováricas de hamster chino (CHO), forma glicosilada alfa

Heavy chain / Chaîne lourde / Cadena pesada

EVQLLESGGG LVQPQGSRLR SCAASGFTFS SYAMSWVRQA PGKGLEWVSG 50
ISGGGGFTYY ADSVKGRFTI SRDNNSKNTLY LQMNSLRAED TAVYVCAKPP 100
RGVNNGPFDY WGQGTIVLTVS SASTKGPVSF PLAPCSRSTS ESTAAALGCLV 150
KDYFPEPVTV SWNSGALTSG VHTTFPAVLQS SGGLYSLSVVV TVPSSSLGKT 200
TYTCVNVDHKP SNTRVKDRKVE SKYGPCCPCP PAPEFLGGPS VFLFPFPKPKD 250
TLMISRTEPV TCVVVDDVSQE DPEVQFNWV DGVEVHNNAKY KPREEQFNST 300
YRVVSVLTVL HQDWLNKGKEY KCKVSNKGLP SSIEKTISKA KQOPRECPQVY 350
TLPSSOEEMT KNQVSLTCLV KGFPSPDIAV EWESNGQEPEN NYKTTTPVLD 400
SDGSFFFLYSR LTVDKSRWQE GNVFSCSVMH EALHNHYTQK SLSLSLGK 448

Light chain / Chaîne légère / Cadena ligera

SYVLTQPPSV SVAPQQTARI TCGNNNIGSK SVHWYQQKPG QAPVLVYYD 50
SDRPSGIPEP FSGSNSGNTA TLTLSRVEAG DEADYCCQW DSSSDDHVPVG 100
GGTKLITVLGQ PKAAPSVTLF PPSEELQAN KATLVCLISD FYFGAVITVW 150
KADSSPVKAG VETTPPSKQG NNKYAASSYL SLTPEQWSH RSYSCQVTHE 200
GSTIVEKTWAP TECS 214

Post-translational modifications

Disulfide bridges location / Position des ponts disulfure / Posiciones de los puentes disulfuro
Intra-H (C23-C104) 22-96 148-204 262-322 368-426
22"-96" 148"-204" 262"-322" 368"-426"
Intra-L (C23-C104) 22"-87" 136"-195"
22"-87" 136"-195"
Inter-H-L (CH1 10-CL 126) 135-213" 135"-213"
Inter-H-H (h 8, h 11) 227-227" 230-230"

N-glycosylation sites / Sites de N-glycosylation / Posiciones de N-glicosilación
H CH2 N84.4:
298, 298"

Fucosylated complex bi-antennary CHO-type glycans / glycanes de type CHO bi-antennaires complexes fucosylés / glicanos de tipo CHO biantenarios complejos fucosilados

Deamidation sites / Sites de déamidation / Posiciones de desamidación

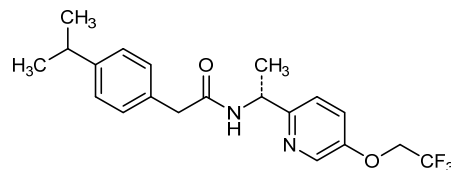
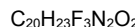
H CH3 N44: 385", 385"
H CH3 N114: 435, 435"
Oxidation sites / Sites de oxydation / Posiciones de oxidación
H CH2 M15.1: 253, 253"
H CH3 M107: 429, 429"

suvecaltamidum

suvecaltamide 2-[4-(propan-2-yl)phenyl]-N-{(1*R*)-1-[5-(2,2,2-trifluoroethoxy)pyridin-2-yl]ethyl}acetamide

suvécaltamide 2-[4-(propan-2-yl)phényle]-N-{(1*R*)-1-[5-(2,2,2-trifluoroéthoxy)pyridin-2-yl]éthyl}acétamide

suvecaltamida 2-[4-(propan-2-il)fenil]-N-{(1*R*)-1-[5-(2,2,2-trifluoroetoxi)piridin-2-il]etil}acetamida

**tebotelimumab #**

tebotelimab immunoglobulin G4-kappa, anti-[*Homo sapiens* PDCD1 (programmed cell death 1, PD-1, PD1, CD279)] and anti-[*Homo sapiens* LAG3 (lymphocyte activating 3, lymphocyte-activation 3, CD223)], humanized monoclonal antibody, bispecific tetravalent; gamma4 heavy chain scFv-h-CH2-CH3 humanized (1-496) [V-KAPPA anti-LAG3 (*Homo sapiens* IGKV1-39*01 (88.4%) -IGKJ4*01 (90.9%)) [6.3.9] (1-107) -8-mer linker (108-115)-VH anti-PDCD1 (*Homo sapiens* IGHV1-46*01 (81.6%) -(IGHD) -IGHJ4*01 (92.9%)) [8.8.12] (116-234) -6-mer diglycyl-cysteinyl-triglycyl linker (235-240)-E-coil motif (241-268) -*Homo sapiens* IGHG4*01, G4v5 h P10, G4v21 CH2 Y15.1, T16, E18 (hinge 1-12 S10>P (278) (269-280), CH2 M15.1>Y (302), S16>T (304), T18>E (306) (281-390), CH3 (391-495), CHS K>del (496) (269-496))], (237-240':245-248')-bisdisulfide with kappa light chain humanized (1'-271')[V-KAPPA anti-PDCD1 (*Homo sapiens* IGKV3D-11*02 (77.7%) -IGKJ4*01 (100%)) [10.3.9] (1'-111) -8-mer linker (112'-119')-VH anti LAG3 (*Homo sapiens* IGHV1-18*01 (86.7%) -(IGHD) -IGHJ4*01 (82.7%)) [8.8.11] (120'-237') -6-mer diglycyl-cysteinyl-triglycyl linker (238'-243') -K-coil motif (244'-271')]; dimer (276-276":279-279")-bisdisulfide, produced in Chinese hamster ovary (CHO) cells, glycoform alfa

tébotélimab

immunoglobuline G4-kappa, anti-[*Homo sapiens* PDCD1 (protéine 1 de mort cellulaire programmée, PD-1, PD1, CD279)] et anti-[*Homo sapiens* LAG3 (activateur 3 des lymphocytes, lymphocyte-activation 3, CD223)], anticorps monoclonal humanisé, bispécifique tétravalent; chaîne lourde gamma4 scFv-h-CH2-CH3 humanisée (1-496) [V-KAPPA anti-LAG3 (*Homo sapiens* IGKV1-39*01 (88.4%) -IGKJ4*01 (90.9%)) [6.3.9] (1-107) -8-mer linker (108-115) -VH anti-PDCD1 (*Homo sapiens* IGHV1-46*01 (81.6%) -(IGHD) -IGHJ4*01 (92.9%)) [8.8.12] (116-234) -6-mer diglycyl-cysteinyl-triglycyl linker (235-240)-E-coil motif (241-268) -*Homo sapiens* IGHG4*01, G4v5 h P10, G4v21 CH2 Y15.1, T16, E18 (charnière 1-12 S10>P (278) (269-280), CH2 M15.1>Y (302), S16>T (304), T18>E (306) (281-390), CH3 (391-495), CHS K>del (496) (269-496))], (237-240':245-248')-bisdisulfure avec la chaîne légère kappa humanisée (1'-271') [V-KAPPA anti-PDCD1 (*Homo sapiens* IGKV3D-11*02 (77.7%) -IGKJ4*01 (100%)) [10.3.9] (1'-111) -8-mer linker (112'-119')-VH anti-LAG3 (*Homo sapiens* IGHV1-18*01 (86.7%) -(IGHD) -IGHJ4*01 (82.7%)) [8.8.11] (120'-237') -6-mer diglycyl-cysteinyl-triglycyl linker (238'-243') -K-coil motif (244'-271')]; dimère (276-276":279-279")-bisdisulfure, produit dans des cellules ovariennes de hamster chinois (CHO), glycoforme alfa

telazorlimab #	immunoglobulin G1-kappa, anti-[<i>Homo sapiens</i> TNFRSF4 (tumor necrosis factor receptor (TNFR) superfamily member 4, ACT35, OX40, CD134)], humanized monoclonal antibody;
telazorlimab	gamma1 heavy chain humanized (1-448) [VH (<i>Homo sapiens</i> IGHV2-70*10 (93.0%) -(IGHD) -IGHJ4*01 (92.9%)) CDR-IMGT [10.7.10] (26-35.53-59.98-107) (1-118) -Homo sapiens IGHG1*01 (100%), G1m17.1 (CH1 K120 (215) (119-216), hinge 1-15 (217-231), CH2 (232-341), CH3 D12 (357), L14 (359) (342-446), CHS (447-448)) (119-448)], (221-213')-disulfide with kappa light chain humanized (1'-213') [V-KAPPA (<i>Homo sapiens</i> IGKV3-11*01 (87.4%) -IGKJ1*01 (100%)) CDR-IMGT [5.3.9] (27-31.49-51.38-46) (1'-106') -Homo sapiens IGKC*01 (100%) Km3 A45.1 (152), V101 (190) (107'-213')]; dimer (227-227":230-230")-bisdisulfide, produced in Chinese hamster ovary (CHO) cells, glycoform alfa

télazorlimab	immunoglobuline G1-kappa, anti-[<i>Homo sapiens</i> TNFRSF4 (membre 4 de la superfamille des récepteurs du facteur de nécrose tumorale, ACT35, OX40, CD134)], anticorps monoclonal humanisé; chaîne lourde gamma1 humanisée (1-448) [VH (<i>Homo sapiens</i> IGHV2-70*10 (93.0%) -(IGHD) -IGHJ4*01 (92.9%)) CDR-IMGT [10.7.10] (26-35.53-59.98-107) (1-118) - <i>Homo sapiens</i> IGHG1*01 (100%), G1m17.1 (CH1 K120 (215) (119-216), charnière 1-15 (217-231), CH2 (232-341), CH3 D12 (357), L14 (359) (342-446), CHS (447-448)) (119-448)], (221-213')-disulfure avec la chaîne légère kappa humanisée (1'-213') [V-KAPPA (<i>Homo sapiens</i> IGKV3-11*01 (87.4%) -IGKJ1*01 (100%)) CDR-IMGT [5.3.9] (27-31.49-51.38-46) (1'-106') - <i>Homo sapiens</i> IGKC*01 (100%) Km3 A45.1 (152), V101 (190) (107'-213')]; dimère (227-227":230-230")-bisdisulfure, produit dans des cellules ovariennes de hamster chinois (CHO), glycoforme alfa
telazorlimab	inmunoglobulina G1-kappa, anti-[<i>Homo sapiens</i> TNFRSF4 (miembro 4 de la superfamilia de los receptores del factor de necrosis tumoral, ACT35, OX40, CD134)], anticuerpo monoclonal humanizado; cadena pesada gamma1 humanizada (1-448) [VH (<i>Homo sapiens</i> IGHV2-70*10 (93.0%) -(IGHD) -IGHJ4*01 (92.9%)) CDR-IMGT [10.7.10] (26-35.53-59.98-107) (1-118) - <i>Homo sapiens</i> IGHG1*01 (100%), G1m17.1 (CH1 K120 (215) (119-216), bisagra 1-15 (217-231), CH2 (232-341), CH3 D12 (357), L14 (359) (342-446), CHS (447-448)) (119-448)], (221-213')-disulfuro con la cadena ligera kappa humanizada (1'-213') [V-KAPPA (<i>Homo sapiens</i> IGKV3-11*01 (87.4%) -IGKJ1*01 (100%)) CDR-IMGT [5.3.9] (27-31.49-51.38-46) (1'-106') - <i>Homo sapiens</i> IGKC*01 (100%) Km3 A45.1 (152), V101 (190) (107'-213')]; dímero (227-227":230-230")-bisdisulfuro, producido por células ováricas de hamster chino (CHO), forma glicosilada alfa
Heavy chain / Chaîne lourde / Cadena pesada	
QVTLKESGPV LVKPTQTLT TCSFSGFSLS TSGMGVGWIR QPPGKALEWI 50 AHIWWDKKY YNTALKTRLT ISKDTSKNQV VLTMNTNDPV DTATYYCARI 100 DWDFGPAYWGG GTLTVTSSAS TKGPSVFPLA PSSKSTSGGT AALGCLVKDY 150 FFPEPVTVSWN SGALTSGVHT FPAVLQSSGL YSLSSVVTVP SSSLTGTQTYI 200 CNVNHKPSNT KVDKKVEPKS CDKTHTCFPC PAPELLGGPS VFLFPKPKD 250 TLMISRTPEV TCVVVDVSHE DPEVKENVYV DGVEVHNNAKT KPREEQYNST 300 YRVVSVLTVL HQDWLNGKEY KCKVSNKALP APIEKTSKA KGQPREPQVY 350 TLPPSRDELT KNQVSLTCLV KGFPYPSDIAV EWESNGOPEN NYKTTTPVLD 400 SDGSFPLYSK LTIVKSRWQO GNVFSCSVMH EALINHHYTQK SLSLSPGK 448	
Light chain / Chaîne légère / Cadena ligera	
EIVLTQSPAT LSLSPGERAT LSCRASSVSS YMHWYQQKPG QAPRPWYIAT 50 SNRATGIPAR FGSGSGSTDY TLTISSLEPE DFAVYYCQWQ SSNPWTFCQQ 100 TKVEIKRTVA APSVFIFFPPS DEQLKSGTAS VVCLLNNFYP REAKVQWKVD 150 NALQSQNSQE SVTEQDSKDS TYSLSSTLTL SKADYEKHKV YACEVTHHQGL 200 SSPVTKSFNR GEC 213	
Post-translational modifications	
Disulfide bridges location / Position des ponts disulfure / Posiciones de los puentes disulfuro	
Intra-H (C23-C104) 22"-97 145-201 262-322 368-426 22"-97" 145"-201" 262"-322" 368"-426" Intra-L (C23-C104) 23"-87" 133"-193" 23"-87" 133"-193" Inter-H-L (h 5-CL 126) 221-213" 221"-213" Inter-H-H (h 11, h 14) 227-227" 230-230"	
N-glycosylation sites / Sites de N-glycosylation / Posiciones de N-glicosilación	
H CH2 N84.4: 298, 298"	
Fucosylated complex bi-antennary CHO-type glycans / glicanes de tipo CHO bi-antennarios complejos fucosilados	
complexes fucosylés / glicanos de tipo CHO biantenarios complejos fucosilados	
C-terminal lysine clipping:	
H CHS K2: 448, 448"	

tesnatinilimabum

tesnatinilimab

immunoglobulin G4-kappa, anti-[*Homo sapiens* KLRK1 (killer cell lectin like receptor K1, NKG2D, KLR, NKG2-D, CD314)], *Homo sapiens* monoclonal antibody; gamma4 heavy chain *Homo sapiens* (1-442) [VH (*Homo sapiens* IGHV4-59*01 (93.8%) -(IGHD) - IGHJ3*02 (93.8%)) CDR-IMGT [8.7.9] (26-33.51-57.96-104) (1-115) -*Homo sapiens* IGHG4*01, G4v5 h P10 (CH1 (116-213), hinge S10>P (223) (214-225), CH2 (226-335), CH3 (336-440), CHS (441-442)) (116-442)], (129-215')-disulfide with kappa light chain *Homo sapiens* (1'-215') [V-KAPPA (*Homo sapiens* IGKV3-20*01 (100%) -IGKJ1*01 (100%)) CDR-IMGT [7.3.9] (27-33.51-53.90-98) (1'-108') -*Homo sapiens* IGKC*01 (100%), Km3 A45.1 (154), V101 (192) (109'-215')]; dimer (221-221":224-224")-bisdisulfide, produced in Chinese hamster ovary (CHO) cells, glycoform alpha

tesnatinilimab

immunoglobuline G4-kappa, anti-[*Homo sapiens* KLRK1 (récepteur lectine like K1 de cellule tueuse, NKG2D, KLR, NKG2-D, CD314)], anticorps monoclonal *Homo sapiens*; chaîne lourde gamma1 *Homo sapiens* (1-442) [VH (*Homo sapiens* IGHV4-59*01 (93.8%) -(IGHD) - IGHJ3*02 (93.8%)) CDR-IMGT [8.7.9] (26-33.51-57.96-104) (1-115) -*Homo sapiens* IGHG4*01, G4v5 h P10 (CH1 (116-213), charnière S10>P (223) (214-225), CH2 (226-335), CH3 (336-440), CHS (441-442)) (116-442)], (129-215')-disulfure avec la chaîne légère kappa *Homo sapiens* (1'-215') [V-KAPPA (*Homo sapiens* IGKV3-20*01 (100%) -IGKJ1*01 (100%)) CDR-IMGT [7.3.9] (21-33.51-53.90-98) (1'-108') -*Homo sapiens* IGKC*01 (100%), Km3 A45.1 (154), V101 (192) (109'-215')]; dimère (221-221":224-224")-bisdisulfure, produit dans des cellules ovaries de hamster chinois (CHO), glycoforme alfa

tesnatinilimab

inmunoglobulina G4-kappa, anti-[*Homo sapiens* KLRK1 (receptor lectina like K1 de célula asesina, NKG2D, KLR, NKG2-D, CD314)], anticuerpo monoclonal *Homo sapiens*; cadena pesada gamma1 *Homo sapiens* (1-442) [VH (*Homo sapiens* IGHV4-59*01 (93.8%) -(IGHD) - IGHJ3*02 (93.8%)) CDR-IMGT [8.7.9] (26-33.51-57.96-104) (1-115) -*Homo sapiens* IGHG4*01, G4v5 h P10 (CH1 (116-213), bisagra S10>P (223) (214-225), CH2 (226-335), CH3 (336-440), CHS (441-442)) (116-442)], (129-215')-disulfuro con la cadena ligera kappa *Homo sapiens* (1'-215') [V-KAPPA (*Homo sapiens* IGKV3-20*01 (100%) -IGKJ1*01 (100%)) CDR-IMGT [7.3.9] (21-33.51-53.90-98) (1'-108') -*Homo sapiens* IGKC*01 (100%), Km3 A45.1 (154), V101 (192) (109'-215')]; dímero (221-221":224-224")-bisdisulfuro, producido por células ováricas de hamster chino (CHO), forma glicosilada alfa

Heavy chain / Chaîne lourde / Cadena pesada
 QVHLQESGPV LVKPSETLSSL TCTVSDDSIS SYYWSWIRQP PGKGLEWIGH 50
 ISYSGSANYN PSLKSRVTIS VDTSKNQFSL KLSSVTAADP AVYYCANWID 100
 AFINIWQGTM VTVVSSASTKG PSVEPLAPCS RSTSEESTAL GCLVKDYFPE 150
 PTVTWSNNSGA LTSGVHTFPV VLQSGGLYSL SSVVTVPSSS LGTKTYTCNV 200
 DHKPSNTKVDI KRVESKYGPP CPPCPAPEFL GGPSSVFLFPP KFKDITLMISR 250
 TPEVTSVVDD VSQEDPEVQF NWYVYDGVEVH NAKTKPREEQ FNSTYRVSV 300
 LTVLHQDWLN GREYKCKVSN KGLPSSIETKT ISRAKGQPRE PQVYTLPSQ 350
 EEMTKNQVSL TCLVKGYFPS DIAVENEWSNG QPENNYKTTP PVLDSDGSF 400
 LYSRILTVDKS RWQEGRNFSC SVMHEALHNH YTQKSLSLSL 442

Light chain / Chaîne légère / Cadena ligera
 EIVLTQSPGT LSLSPLGERAT LSCRASQSVS SSYLAWYQQK PGQAPRLLIY 50
 GASSRATGIP DRFSGSSGSGT DFTLTIPLERD PEDFAVYCCQ QYGSSPWTFG 100
 QGTTKVEIKRT VAAPSVFIFP PSDEQLKSGT ASVCLLNFF YPREAKVQNK 150
 VDNALSGNSN QSEVTEQDSK DSTYLSLSTL TLSKADYEKH KVYACEVTHQ 200
 GLSSPVTKSF NRGC 215

Post-translational modifications
 Disulfide bridges location / Position des ponts disulfure / Posiciones de los puentes disulfuro
 Intra-H (C23-C104) 22-95 142-198 256-316 362-420
 22"-95" 142"-198" 256"-316" 362"-420"
 Intra-L (C23-C104) 23"-89" 135"-195"
 23"-89" 135"-195"
 Inter-H-L (CH1 10-CL 126) 129-215" 129"-215"
 Inter-H-H (h 8, h 11) 221-221" 224-224"

N-glycosylation sites / Sites de N-glycosylation / Posiciones de N-glicosilación
 H CH2 N84.4:
 292, 292"
 Fucosylated complex bi-antennary CHO-type glycans / glycanes de type CHO bi-antennaires
 complexes fucosylés / glicanos de tipo CHO biantenarios complejos fucosilados

tezatabepum matraxetanum

tezatabep matraxetan

three-alpha-helix binding protein, derived from an immunoglobulin G (IgG)-binding domain of a staphylococcal protein A (SpA), designed to bind receptor tyrosine-protein kinase erbB-2 (ERBB2, Neu, HER2), produced by peptide synthesis, conjugated at the C-terminal Cys⁶¹ to one (3RS)-2,5-dioxo-1-(2-[2-[4,7,10-tris(carboxymethyl)-1,4,7,10-tetraazacyclododecan-1-yl]acetamido]ethyl)pyrrolidin-3-yl (*matraxetan*) group

tézatabep matraxétan

protéine à trois hélices alpha, dérivée du domaine de l'immunoglobuline G (IgG) se liant à la protéine staphylococcique A (SpA), mise au point pour se lier au récepteur tyrosine-protéine kinase erbB-2 (ERBB2, Neu, HER2), produite par synthèse peptidique, conjuguée sur la Cys⁶¹ en sa partie C-terminale à un groupe (3RS)-2,5-dioxo-1-(2-[2-[4,7,10-tris(carboxyméthyl)-1,4,7,10-tétraazacyclododécan-1-yl]acétamido]éthyl)pyrrolidin-3-yle (*matraxétan*)

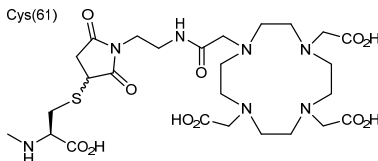
tezatabep matraxetán

proteína de tres hélices alfa, derivada del dominio de la inmunoglobulina G (IgG) que se une a la proteína estafilocócica A (SpA), diseñada para unirse al receptor tirosina-proteína kinasa erbB-2 (ERBB2, Neu, HER2), producida por síntesis peptídica, conjugada con la Cys⁶¹ en su parte C-terminal a un grupo (3RS)-2,5-dioxo-1-(2-[2-[4,7,10-tris(carboximétيل)-1,4,7,10-tetraazaciclododecan-1-il]acetamido]etil)pirrolidin-3-ilo (*matraxetán*)

Sequence / Séquence / Secuencia

AEAKYAKEMR NAYWEIALLP NLTNQQKRAF IRKLYDDPSQ SSELLSEAKK 50
LNDSQAPKVD C* 61

Potential modified residues / résidus modifiés potentiels / restos modificados pote

**tifalibepum #**

tifalibep

fusion protein composed of 3 binding domains, each consisting of a three-alpha-helix motif derived from the immunoglobulin (Ig)-binding Z-domain of staphylococcal protein A (SpA), engineered for binding to the human neonatal Fc receptor (FcRn) with the two identical N- and C-terminal domains (1-58, 116-173), and for binding to the domain II of human serum albumin (HSA) with the central domain (59-110), connected via a G₄S peptide linker (111-115); [FcRn-binding engineered SpA peptide (1-58)]-[HSA-binding engineered SpA peptide (59-110)]-[G₄S linker (111-115)]-[FcRn-binding engineered SpA peptide (116-173)] fusion protein; produced in *Escherichia coli*

tifalibep

protéine de fusion composée de 3 domaines liants, chacun consistant en un motif à 3 hélices alfa dérivé du domaine Z de la protéine staphylococcique A (SpA) se liant à l'immunoglobuline (Ig), mis au point pour se lier au récepteur Fc néonatal humain (FcRn) avec les deux domaines N- et C-terminaux identiques (1-58, 116-173), et au domaine II de l'albumine sérique humaine (ASH, HSA) avec le domaine central (59-110), connecté via un peptide liant G₄S (111-115) ; protéine de fusion [peptide SpA mis au point pour se lier au FcRn (1-58)]-[peptide SpA mis au point pour se lier au HSA (59-110)]-[peptide liant G₄S (111-115)]-[peptide SpA mis au point pour se lier au FcRn (116-173)]; produite par *Escherichia coli*

tifalibep

proteína de fusión compuesta de 3 dominios de unión, cada uno consistente en un motivo con 3 hélices alfa derivado del dominio Z de la proteína estafilocócica A (SpA) que se une a la inmunoglobulina (Ig), diseñada para unirse al receptor Fc neonatal humano (FcRn) con los dos dominios N- y C-terminal idénticos (1-58, 116-173), y con el dominio II de la albúmina sérica humana (ASH, HSA) con el dominio central (59-110), conectado a través de un péptido linker G₄S (111-115) ; proteína de fusión [péptido SpA diseñado para unirse al FcRn (1-58)]-[péptido SpA diseñado para unirse al HSA (59-110)]-[G₄S linker (111-115)]-[péptido SpA diseñado para unirse al FcRn (116-173)]; producida por *Escherichia coli*

Sequence / Séquence / Secuencia
 AEAFAKEWQ QAAHEIRWLP NLTFDQRVAF IHKLRRDPSQ SSELLSEAKK 50
 LSSESQAPKAS GSIAEAKEAA NAEELDSYGVFS DFYKRLLDKA KTVEGVEALK 100
 DAILAALPCT GGGGSAEAKF AKEWQQAAHE IRWLPNLTFD QRVAIFIHKL 150
 DDPSQSSELL SEAKKLSESQ APK 173

Post-translational modifications / Modifications post-traductionnelles / Modificaciones posttraduccionales
 None / aucune / ninguna

tilogotamabum #

tilogotamab

immunoglobulin G1-kappa, anti-[*Homo sapiens* TNFRSF10B (tumor necrosis factor receptor (TNFR) superfamily member 10B, death receptor 5, DR5, TNF-related apoptosis-inducing ligand receptor 2, TRAILR2, TRAIL-R2, TR-2, CD262)], humanized monoclonal antibody; gamma1 heavy chain humanized (1-447) [VH (*Homo sapiens* IGHV1-3*01 (84.7%) -(IGHD) -IGHJ4*01 (93.3%)) CDR-IMGT [8.8.11] (26-33.51-58.97-107) (1-118) -*Homo sapiens* IGHG1*03, G1m3, nG1m1, G1v34 CH3 G109 (CH1 R120 (215) (119-216), hinge 1-15 (217-231), CH2 (232-341), CH3 E12 (357), M14 (359), E109>G (431) (342-446), CHS K>del (447) (119-447)], (221-213')-disulfide with kappa light chain humanized (1'-213') [V-KAPPA (*Homo sapiens* IGKV1-16*01 (83.2%) -IGKJ4*01 (100%)) CDR-IMGT [5.3.9] (27-31.49-51.88-96) (1'-106') -*Homo sapiens* IGKC*01 (100%) Km3 A45.1 (152), V101 (190) (107'-213')]; dimer (227-227":230-230")-bisdisulfide, produced in Chinese hamster ovary (CHO) cells, glycoform alfa

tilogotamab

immunoglobuline G1-kappa, anti-[*Homo sapiens* TNFRSF10B (membre 10B de la superfamille des récepteurs du facteur de nécrose tumorale (TNFR), récepteur de mort 5, DR5, TRAILR2, TRAIL-R2, TR-2, CD262)], anticorps monoclonal humanisé; chaîne lourde gamma1 humanisée (1-447) [VH (*Homo sapiens* IGHV1-3*01 (84.7%) -(IGHD) -IGHJ4*01 (93.3%)) CDR-IMGT [8.8.11] (26-33.51-58.97-107) (1-118) -*Homo sapiens* IGHG1*03, G1m3, nG1m1, G1v34 CH3 G109 (CH1 R120 (215) (119-216), charnière 1-15 (217-231), CH2 (232-341), CH3 E12 (357), M14 (359), E109>G (431) (342-446), CHS K>del (447) (119-447)], (221-213')-disulfure avec la chaîne légère kappa humanisée (1'-213') [V-KAPPA (*Homo sapiens* IGKV1-16*01 (83.2%) -IGKJ4*01 (100%)) CDR-IMGT [5.3.9] (27-31.49-51.88-96) (1'-106') -*Homo sapiens* IGKC*01 (100%) Km3 A45.1 (152), V101 (190) (107'-213')]; dimère (227-227":230-230")-bisdisulfure, produit dans des cellules ovariennes de hamster chinois (CHO), glycoforme alfa

tilogotamab

inmunoglobulina G1-kappa, anti-[*Homo sapiens* TNFRSF10B (miembro 10B de la superfamilia de los receptores del factor de necrosis tumoral (TNFR), receptor de muerte 5, DR5, TRAILR2, TRAIL-R2, TR-2, CD262)], anticuerpo monoclonal humanizado;

cadena pesada gamma1 humanizada (1-447) [VH (*Homo sapiens* IGHV1-3*01 (84.7%) -(IGHD) - IGHJ4*01 (93.3%)) CDR-IMGT [8.8.11] (26-33.51-58.97-107) (1-118) -*Homo sapiens* IGHG1*03, G1m3, nG1m1, G1v34 CH3 G109 (CH1 R120 (215) (119-216), bisagra 1-15 (217-231), CH2 (232-341), CH3 E12 (357), M14 (359), E109>G (431) (342-446), CHS K>del (447)) (119-447)], (221-213')-disulfuro con la cadena ligera kappa humanizada (1'-213') [V-KAPPA (*Homo sapiens* IGKV1-16*01 (83.2%) -IGKJ4*01 (100%)) CDR-IMGT [5.3.9] (27-31.49-51.88-96) (1'-106') -*Homo sapiens* IGKC*01 (100%) Km3 A45.1 (152), V101 (190) (107-213')]; dimero (227-227":230-230")-bisdisulfuro, producido por células ováricas de hamster chino (CHO), forma glicosilada alfa

Heavy chain / Chaîne lourde / Cadena pesada
 QVQLVQSGAE VKKPGASVKV SCKASCWNPK DTHMHHWVRQA PGQRLEWIGR 50
 IDPANGNTYEY DQKFQGRVTI TVDTSSASTAY MELSSLRSED YLWYCARWV 100
 TNVVFAYWQQ GTLVIVVSSAS TKGPSVPLA PSSKSTSGGT AALGCLVKDY 150
 FPEPVTVWSN SGALTSGVHT FPAVLQSSGL YSLSSVVITVP SSSLGTQTYI 200
 CNVNHKPNSNT KVDKRKEEKS CDKTHTCPPC PAPELLGGPS VFLFPPKPKD 250
 TLMISRTPEV TCVVSVDSHE PEVDFKNNWVY DGVEVHNAKY KPREEQVNST 300
 YRVVSVLTFL HQDWLNGKEY KCKVSNKALP APIEKTIASKA KGQPREFQVY 350
 TLPPSRREMT KNQVSLTCLV KGFPSPDIAV EWESNGOPEN NYKTPPVLD 400
 SDGSFFLYSK LTVDKSRWQQ GNVFSCSVMH GALHNHYTQK SLSLSPG 447

Light chain / Chaîne légère / Cadena ligera
 DIQLQTQSPSS LSAVGDRVTI ITCSASSSVS YMYWYQQKPG KAPKPWVYRT 50
 SNLASGVPSR FGSGSGSGTDF TLTISLQPE DFATYYCQOY HSYPPTFGGG 100
 TKVEIKRTVA APSVIFPPS DEQLIKSGTAS VVCILNNFYP REAKVQWKD 150
 NALQSGNSQE SVTEQDSKDS TYSLSTLTL SKADYEKHKV YACEVTHQGL 200
 SSFVTKSFRN R GEC 213

Post-translational modifications
 Disulfide bridges location / Position des ponts disulfure / Posiciones de los puentes disulfuro
 Intra-H (C23-C104) 22-96 145-201 262-322 368-426
 22"-96" 145"-201" 262"-322" 368"-426"
 Intra-L (C23-C104) 23"-87" 133"-193"
 Inter-H-L (h5-CL 126) 221-213" 221"-213"
 Inter-H-H (h 11, h 14) 227-227" 230-230"

N-glycosylation sites / Sites de N-glycosylation / Posiciones de N-glicosilación
 H CH2 N84.4:
 298, 298"
 Fucosylated complex bi-antennary CHO-type glycans / glycanes de type CHO bi-antennaires complexes fucosylés / glicanos de tipo CHO biantenarios complejos fucosilados

tolebrutinibum

tolebrutinib

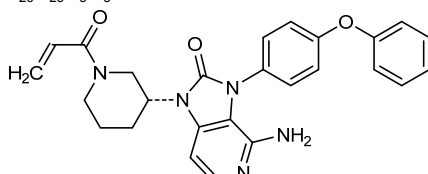
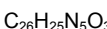
4-amino-3-(4-phenoxyphenyl)-1-[(3*R*)-1-(prop-2-enoyl)piperidin-3-yl]-1,3-dihydro-2*H*-imidazo[4,5-c]pyridin-2-one

tolébrutinib

4-amino-3-(4-phénoxyphényl)-1-[(3*R*)-1-(prop-2-énoyl)pipéridin-3-yl]-1,3-dihydro-2*H*-imidazo[4,5-c]pyridin-2-one

tolebrutinib

4-amino-3-(4-fenoxifenil)-1-[(3*R*)-1-(prop-2-enoil)piperidin-3-il]-1,3-dihidro-2*H*-imidazo[4,5-c]piridin-2-ona



tovinontrinum

tovinontrine

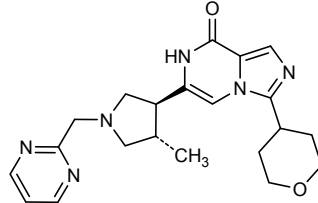
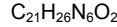
6-((3S,4S)-4-methyl-1-[(pyrimidin-2-yl)methyl]pyrrolidin-3-yl)-3-(oxan-4-yl)imidazo[1,5-a]pyrazin-8(7H)-one

tovinontrine

6-((3S,4S)-4-méthyl-1-[(pyrimidin-2-yl)méthyl]pyrrolidin-3-yl)-3-(oxan-4-yl)imidazo[1,5-a]pyrazin-8(7H)-one

tovinontrina

6-((3S,4S)-4-metil-1-[(pirimidin-2-il)metil]pirrolidin-3-il)-3-(oxan-4-il)imidazo[1,5-a]pirazin-8(7H)-ona

**udonitrectagum**

udonitrectag

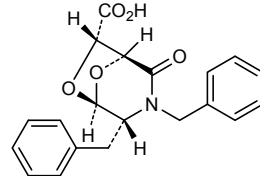
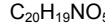
(1S,4R,5R,7S)-3,4-dibenzyl-2-oxo-6,8-dioxa-3-azabicyclo[3.2.1]octane-7-carboxylic acid

udonitrectag

acide (1S,4R,5R,7S)-3,4-dibenzyl-2-oxo-6,8-dioxa-3-azabicyclo[3.2.1]octane-7-carboxylique

udonitrectag

ácido (1S,4R,5R,7S)-3,4-dibencil-2-oxo-6,8-dioxa-3-azabiciclo[3.2.1]octano-7-carboxílico

**upifitamabum #**

upifitamab

immunoglobulin G1-kappa, anti-[*Homo sapiens* SLC34A2 (solute carrier family 34 (sodium phosphate) member 2, sodium/phosphate cotransporter 2B, NaPi2b, NaPi3b)], monoclonal antibody; gamma1 heavy chain (1-449) [VH (*Homo sapiens* IGHV1-46*01 (81.6%) -(IGHD) -IGHJ4*01 (92.9%)) [8.8.12] (1-119) -glycyl (120) -*Homo sapiens* IGHG1*03, G1m3, nG1m1 (CH1 R120 (217) (121-218), hinge 1-15 (219-233), CH2 (234-343), CH3 E12 (359), M14 (361) (344-448), CHS K>del (449)) (121-449)], (223-215')-disulfide with kappa light chain (1'-215') [V-KAPPA (*Mus musculus* IGKV10-94*01 (84.2%) -IGKJ5*01 (91.7%)/*Homo sapiens* IGKV1-16*01 (83.2%) -IGKJ2*01 (90.9%)) [6.3.9] (1'-107') -arginyl (108') -*Homo sapiens* IGKC*01 (100%) Km3 A45.1 (154), V101 (192) (109'-215')]; dimer (229-229":232-232")-bisdisulfide, produced in Chinese hamster ovary (CHO) cells, glycoform alfa

upifitamab	immunoglobuline G1-kappa, anti-[<i>Homo sapiens</i> SLC34A2 (membre 2 de la famille 34 (phosphate de sodium) de transporteurs de solutés, cotransporteur 2B de sodium/phosphate, NaPi2b, NaPi3b)], anticorps monoclonal; chaîne lourde gamma1 (1-449) [VH (<i>Homo sapiens</i> IGHV1-46*01 (81.6%) -(IGHD) -IGHJ4*01 (92.9%)) [8.8.12] (1-119) -glycyl (120) - <i>Homo sapiens</i> IGHG1*03, G1m3, nG1m1 (CH1 R120 (217) (121-218), charnière 1-15 (219-233), CH2 (234-343), CH3 E12 (359), M14 (361) (344-448), CHS K>del (449) (121-449)], (223-215)-disulfure avec la chaîne légère kappa (1'-215') [V-KAPPA (<i>Mus musculus</i> IGKV10-94*01 (84.2%) -IGKJ5*01 (91.7%)/ <i>Homo sapiens</i> IGKV1-16*01 (83.2%) -IGKJ2*01 (90.9%)) [6.3.9] (1'-107') -arginyl (108') - <i>Homo sapiens</i> IGKC*01 (100%) Km3 A45.1 (154), V101 (192) (109'-215')]; dimère (229-229":232-232")-bisdisulfure, produit dans des cellules ovariennes de hamster chinois (CHO), glycoforme alfa
upifitamab	inmunoglobulina G1-kappa, anti-[<i>Homo sapiens</i> SLC34A2 (miembro 2 de la familia 34 (fosfato de sodio) de transportadores de solutos, cotransportador 2B de sodio/fosfato, NaPi2b, NaPi3b)], anticuerpo monoclonal; cadena pesada gamma1 (1-449) [VH (<i>Homo sapiens</i> IGHV1-46*01 (81.6%) -(IGHD) -IGHJ4*01 (92.9%)) [8.8.12] (1-119) -glicil (120) - <i>Homo sapiens</i> IGHG1*03, G1m3, nG1m1 (CH1 R120 (217) (121-218), bisagra 1-15 (219-233), CH2 (234-343), CH3 E12 (359), M14 (361) (344-448), CHS K>del (449) (121-449)], (223-215')-disulfuro con la cadena ligera kappa (1'-215') [V-KAPPA (<i>Mus musculus</i> IGKV10-94*01 (84.2%) -IGKJ5*01 (91.7%)/ <i>Homo sapiens</i> IGKV1-16*01 (83.2%) -IGKJ2*01 (90.9%)) [6.3.9] (1'-107') -arginil (108') - <i>Homo sapiens</i> IGKC*01 (100%) Km3 A45.1 (154), V101 (192) (109'-215')]; dímero (229-229":232-232")-bisdisulfuro, producido por células ováricas de hamster chino (CHO), forma glicosilada alfa

Heavy chain / Chaîne lourde / Cadena pesada

QVQLVQSGAE VKPGASVKKM SCKASGYTFT GYNIIHWVKQA PQQGLEWIGA 50
 IYPGNQDTSY KQKFRGRATL TADTSTSTVY MELSSLRSED SAVYYCARGE 100
 TARATFAYNG QGTLLTVVSSG ASTKGPSVFP LAPSSKSTSG GTAALGCLVK 150
 DYFPEPVTVS WNSGALTSGV HTFPAPVLQSS GLYSLSVVVT VPSSSLGTQT 200
 YICMVNHKPS NTRVDKRVEP KSCDCKTHTCP PCPAPELLGG PSVFLFPFPK 250
 KDTLMISRTP ETVTCVVVDVSV HEDPEVKFNN YVDGVEVHNH KTKPREEQYN 300
 STYRVSVLT VLHQDWLNGE EYKCKVSNKA LPAPIEKTS KAKGQPREEQPV 350
 VTILPPSREE MTRNQVSLLTC LVKGEPYPSDI AWEVESNGQP ENNYKTTTPV 400
 LDSDGSPFLY SKLTVDKSRKQ QGQNVFSCSV MHEALHNHYT QKSLSLSPG 449

Light chain / Chaîne légère / Cadena ligera

DIQMTQSPSS LSASVGDRVT ITCASASQDIG NFLNWYQQKP GKTVKVLIY 50
 TFSQSGSGSTD YLTCTISSLQP EDFATYYCQQ YSKLPLTFQG 100
 GTKLELKRTT VAAPSVFIFP PSEDEQLKSGT ASVVCILNNF YPREAKVQWK 150
 VDNALQSGNS QESVTEQDSK DSTYSLSSLT TLSKADYEKH KVYACEVTHQ 200
 GLSSPVTKSF NRGEC 215

Post-translational modifications

Disulfide bridges location / Position des ponts disulfure / Posiciones de los puentes disulfuro
 Intra-H (C23-C104) 22-96 147-203 264-324 370-428
 22"-96" 147"-203" 264"-324" 370"-428"
 Intra-L (C23-C104) 23"-88" 135"-195"
 23"-88" 135"-195"
 Inter-H-L (h 5-CL 126) 223-215" 223"-215"
 Inter-H-H (h 11, h 14) 229-229" 232-232"

N-glycosylation sites / Sites de N-glycosylation / Posiciones de N-glicosilación
 H CH2 N84.4:
 300, 300"

Fucosylated complex bi-antennary CHO-type glycans / glycanes de tipo CHO bi-antennarios complejos fucosilados
 complexes fucosylés / glicanos de tipo CHO biantenarios complejos fucosilados

urabrelimab #

urabrelimab

immunoglobulin G4-kappa, anti-[*Homo sapiens* CD47 (integrin associated protein, IAP, MER6, OA3)], *Homo sapiens* monoclonal antibody; gamma4 heavy chain *Homo sapiens* (1-452) [VH (*Homo sapiens*IGHV4-4*02 (94.9%) -(IGHD) - IGHJ6*01 (94.7%)) CDR-IMGT [9.7.18] (26-34.52-58.97-114) (1-125)-*Homo sapiens*IGHG4*01 (CH1 (126-223), hinge 1-12 (224-235), CH2 (236-345), CH3 (346-450), CHS (451-452)) (126-452)], (139-212')-disulfide with kappa light chain *Homo sapiens* (1'-212') [V-KAPPA (*Homo sapiens*IGKV3-11*01 (94.7%) - IGKJ4*01 (91.7%)) CDR-IMGT [6.3.8] (27-32.50-52.89-96) (1'-106') -*Homo sapiens*IGKC*01 (100%), Km3 A45.1 (151), V101 (189) (107'-212')]; dimer (231-231":234-234")-bisdisulfide, produced in Chinese hamster ovary (CHO) cells, glycoform alpha

urabrémab

immunoglobuline G4-kappa, anti-[*Homo sapiens* CD47 (protéine associée à l'intégrine, IAP, MER6, OA3)], anticorps monoclonal *Homo sapiens*; chaîne lourde gamma4 *Homo sapiens* (1-452) [VH (*Homo sapiens*IGHV4-4*02 (94.9%) -(IGHD) - IGHJ6*01 (94.7%)) CDR-IMGT [9.7.18] (26-34.52-58.97-114) (1-125)-*Homo sapiens*IGHG4*01 (CH1 (126-223), charnière 1-12 (224-235), CH2 (236-345), CH3 (346-450), CHS (451-452)) (126-452)], (139-212')-disulfure avec la chaîne légère kappa *Homo sapiens* (1'-212') [V-KAPPA (*Homo sapiens*IGKV3-11*01 (94.7%) -IGKJ4*01 (91.7%)) CDR-IMGT [6.3.8] (27-32.50-52.89-96) (1'-106') -*Homo sapiens*IGKC*01 (100%), Km3 A45.1 (151), V101 (189) (107'-212')]; dimère (231-231":234-234")-bisdisulfure, produit dans des cellules ovariques de hamster chinois (CHO), glycoforme alfa

urabrelimab

inmunoglobulina G4-kappa, anti-[*Homo sapiens* CD47 (proteína asociada a la integrina, IAP, MER6, OA3)], anticuerpo monoclonal *Homo sapiens*; cadena pesada gamma4 *Homo sapiens* (1-452) [VH (*Homo sapiens*IGHV4-4*02 (94.9%) -(IGHD) - IGHJ6*01 (94.7%)) CDR-IMGT [9.7.18] (26-34.52-58.97-114) (1-125)-*Homo sapiens*IGHG4*01 (CH1 (126-223), bisagra 1-12 (224-235), CH2 (236-345), CH3 (346-450), CHS (451-452)) (126-452)], (139-212')-disulfuro con la cadena ligera kappa *Homo sapiens* (1'-212') [V-KAPPA (*Homo sapiens*IGKV3-11*01 (94.7%) -IGKJ4*01 (91.7%)) CDR-IMGT [6.3.8] (27-32.50-52.89-96) (1'-106') -*Homo sapiens*IGKC*01 (100%), Km3 A45.1 (151), V101 (189) (107'-212')]; dímero (231-231":234-234")-bisdisulfuro, producido por células ováricas de hamster chino (CHO), forma glicosilada alfa

Heavy chain / Chaîne lourde / Cadena pesada

QVQLQESGGP LVKPGTISL TCAVSGVSIR SINWWNNWVRQ PPGKGLEWIG 50
 EIYHGSTNY NPSLKSRTI SVDKSKNQFS LKLNSTVTAAD TAVYCCARDG 100
 GIAVTDDYYY GLDVWGQGTT VTVSSASTKG PSVFLAPCS RSTSESTAAL 150
 GCLVKDYYFE PVTWSWNNSGA LTSGVHTFFA VLQSSGLYSL SSVTFVSSS 200
 LGTKTYTCNV DHKPSNTKVD KRVEKYGP CPSCPAPEFL GGPSVFLFPP 250
 KPKDTLMISR TPEVFTCVWD VSQEDPEVQF NWYVGDVEVIR NAKTKPREQ 300
 FNSTYRKVSV LTVLHQDWLN GREYKCKVSN KGLPSSIIEKT ISKAKGQPRE 350
 PQVYTLPPSQ EEMTKNQVSL TCLVKGFYTES DIAVEWESNG QPNENYKTP 400
 PVLDSDGSSF LYSLRTVDKS RWQEGNFSC SVMHEALHNH YTQKSLSSL 450
 GK 452

Light chain / Chaîne légère / Cadena ligera

EIVLTQSPAT LSLSPGERAT LSCRASESVS SNLAWYQQKP QGAPRLLIYG 50
 AFNRTATGIPA RFSGSGSGTD FTLTISSLEP EDFAVYYCQQ RSDWFTFGGG 100
 TKVEIKTVAA PSVFIFFFFPSD EQLKSGTAVS VCLLNNFYPR EA KVQWKVDN 150
 ALOSGNSQES VTEQDSDKST YSLSSLTLS KADYEKHKVY ACEVTHQGLS 200
 SPVTKSFNRG EC 212

Post-translational modifications

Disulfide bridges location / Position des ponts disulfure / Posiciones de los puentes disulfuro
 Intra-H (C23-C104) 22°-96° 152°-208° 266°-326° 372°-430°
 22°-96° 152°-208° 266°-326° 372°-430°

Intra-L (C23-C104) 23°-88° 132°-192°
 23°-88° 132°-192°

Inter-H-L (CH1 10-CL 126) 139°-212° 139°-212°

Inter-H-H (h 8, h 11) 231-231° 234-234°

N-glycosylation sites / Sites de N-glycosylation / Posiciones de N-glicosilación
 HCH2N84.4:
 302, 302°

Fucosylated complex bi-antennary CHO-type glycans / glycanes de type CHO bi-antennaires
 complejos fucosylés / glicanos de tipo CHO biantenarios complejos fucosilados

uzansertibum

uzansertib

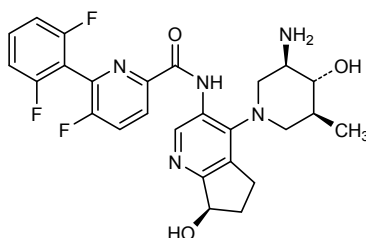
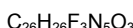
N-(7*R*)-4-[(3*R*,4*R*,5*S*)-3-amino-4-hydroxy-5-methylpiperidin-1-yl]-7-hydroxy-6,7-dihydro-5*H*-cyclopenta[*b*]pyridin-3-yl]-6-(2,6-difluorophenyl)-5-fluoropyridine-2-carboxamide

uzansertib

N-(7*R*)-4-[(3*R*,4*R*,5*S*)-3-amino-4-hydroxy-5-méthylpiperidin-1-yl]-7-hydroxy-6,7-dihydro-5*H*-cyclopenta[*b*]pyridin-3-yl]-6-(2,6-difluorophényl)-5-fluoropyridine-2-carboxamide

uzansertib

N-(7*R*)-4-[(3*R*,4*R*,5*S*)-3-amino-4-hidroxi-5-metilpiperidin-1-yl]-7-hidroxi-6,7-dihidro-5*H*-ciclopenta[*b*]piridin-3-yl]-6-(2,6-difluorofenil)-5-fluoropiridina-2-carboxamida

**vebicorvirus**

vebicorvir

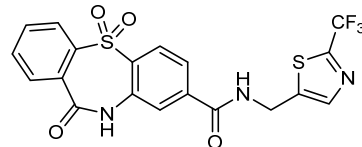
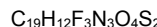
5,5,11-trioxo-*N*-{[2-(trifluoromethyl)-1,3-thiazol-5-yl]methyl}-10,11-dihydro-5*H*-5λ⁶-dibenzo[*b,f*][1,4]thiazepine-8-carboxamide

vébicorvir

5,5,11-trioxo-*N*-{[2-(trifluorométhyl)-1,3-thiazol-5-yl)méthyl}-10,11-dihydro-5*H*-5λ⁶-dibenzo[*b,f*][1,4]thiazépine-8-carboxamide

vebicorvir

5,5,11-trioxo-N-{{[2-(trifluorometil)-1,3-tiazol-5-il]metil}-10,11-dihidro-5H-5λ⁶-dibenzo[b,f][1,4]tiazepina-8-carboxamida}

**velmupressinum**

velmupressin

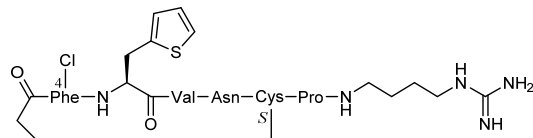
1,5-anhydro{4-chloro-L-phenylalanyl-3-(thiophen-2-yl)-L-alanyl-L-valyl-L-asparaginyl-S-(3-carboxypropyl)-L-cysteinyl-N-[4-(carbamimidoylamino)butyl]-L-prolinamide}

velmupressine

1,5-anhydro{4-chloro-L-phénylalanyl-3-(thiophén-2-yl)-L-alanyl-L-valyl-L-asparaginyl-S-(3-carboxypropyl)-L-cysteinyl-N-[4-(carbamimidoylamino)butyl]-L-prolinamide}

velmupresina

1,5-anhydro{4-cloro-L-fenilalanil-3-(tiofen-2-il)-L-alanil-L-valil-L-asparaginil-S-(3-carboxipropil)-L-cisteinil-N-[4-(carbamimidooilamino)butil]-L-prolinamida}

**velufenacinum**

velufenacin

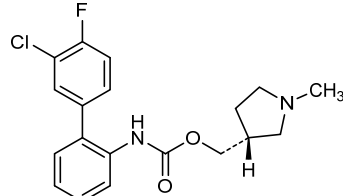
[(3*R*)-1-methylpyrrolidin-3-yl]methyl (3'-chloro-4'-fluoro[1,1'-biphenyl]-2-yl)carbamate

vélufénacine

(3'-chloro-4'-fluoro[1,1'-biphényl]-2-yl)carbamate de [(3*R*)-1-méthylpyrrolidin-3-yl]méthyle

velufenacina

(3'-cloro-4'-fluoro[1,1'-bifenil]-2-il)carbamato de [(3*R*)-1-metilpirrolidin-3-il]metilo



verbrinacogenum setparvovecum #

verbrinacogene setparvovec

A recombinant non-replicating adeno-associated virus of a modified liver-tropic serotype (S3) (rAAVS3) vector, encoding a gain-of-function variant (R338L; Padua) of codon-optimised human coagulation factor IX (hFIX) under the control of a liver-specific promoter (FRE1) comprising a truncated version of the human apolipoprotein E locus control region (i.e. enhancer) with a truncated version of the human alpha-1-antitrypsin promoter.

verbrinacogène setparvovec

vecteur viral adéno-associé recombinant, non-répliquant, d'un sérotype hépatotropique modifié (S3) (rAAVS3), codant pour le variant Padua (R338L) du facteur de coagulation IX humain (F9, Facteur IX, FIX) dont les codons sont optimisés, sous le contrôle du promoteur spécifique du foie (FRE1) comprenant une version tronquée de la région de contrôle du locus de l'apoprotéine E humaine (c.-à-d. amplificateur) avec une version tronquée du promoteur de l'antitrypsine alpha-1 humaine.

verbrinacogén setparvovec

Un vector de virus adeno-asociado recombinante, no replicativo, de un serotipo hepatotrópico modificado (S3) (rAAVS3), que codifica una variante de ganancia de función (R338L; Padua) del factor de coagulación IX humano (hFIX) con codones optimizados, bajo el control de un promotor específico de hígado (FRE1) que consta de una versión truncada de la región de control del locus de la apolipoproteína E humana (es decir, potenciador) con una versión truncada del promotor de la alfa-1-antitripsina humana.

vilobelimabum #

vilobelimab

immunoglobulin G4-kappa, anti-[*Homo sapiens* C5 (complement 5) anaphylatoxin (C5a, C5 Pr678-751)], chimeric monoclonal antibody; gamma4 heavy chain chimeric (1-446) [VH (*Mus musculus* IGHV1-61*01 (81.6%) -(IGHD) -IGHJ3*01 (92.9%)/*Homo sapiens* IGHV1-46*01 (62.2%) -(IGHD) -IGHJ4*01 (92.9%)) [8.8.13] (1-119) -*Homo sapiens* IGHG4*01 (CH1 (120-217), hinge 1-12 (218-229), CH2 (230-339), CH3 (340-444), CHS (445-446)) (120-446)], (133-218')-disulfide with kappa light chain chimeric (1'-218') [V-KAPPA (*Mus musculus* IGKV3-4*01 (98.0%) -IGKJ2*01 (100%)/*Homo sapiens* IGKV3D-11*02 (69.1%) -IGKJ2*01 (91.7%)) [10.3.9] (1'-111') -*Homo sapiens* IGKC*01 (100%), Km3 A45.1 (157), V101 (195) (112'-218')]; dimer (225-225":228-228")-bisdisulfide, produced in Chinese hamster ovary (CHO) cells, glycoform alfa

vilibélémab

immunoglobuline G4-kappa, anti-[*Homo sapiens* C5 (complément 5) anaphylatoxine (C5a, C5 Pr678-751)], anticorps monoclonal chimérique;

chaîne lourde gamma4 chimérique (1-446) [VH (*Mus musculus* IGHV1-61*01 (81.6%) -(IGHD) -IGHJ3*01 (92.9%)/*Homo sapiens* IGHV1-46*01 (62.2%) -(IGHD) -IGHJ4*01 (92.9%)) [8.8.13] (1-119) -*Homo sapiens* IGHG4*01 (CH1 (120-217), charnière 1-12 (218-229), CH2 (230-339), CH3 (340-444), CHS (445-446)) (120-446)], (133-218')-disulfure avec la chaîne légère kappa chimérique (1'-218') [V-KAPPA (*Mus musculus* IGKV3-4*01 (98.0%)-IGKJ2*01 (100%)/*Homo sapiens* IGKV3D-11*02 (69.1%) -IGKJ2*01 (91.7%)) [10.3.9] (1'-111') -*Homo sapiens* IGKC*01 (100%), Km3 A45.1 (157), V101 (195) (112'-218')]; dimère (225-225":228-228")-bisdisulfure, produit dans des cellules ovariennes de hamster chinois (CHO), glycoforme alfa

vilobelimab

immunoglobulina G4-kappa, anti-[*Homo sapiens* C5 (complemento 5) anafilatoxina (C5a, C5 Pr678-751)], anticuerpo monoclonal químérico; cadena pesada gamma4 químérica (1-446) [VH (*Mus musculus* IGHV1-61*01 (81.6%) -(IGHD) -IGHJ3*01 (92.9%)/*Homo sapiens* IGHV1-46*01 (62.2%) -(IGHD) -IGHJ4*01 (92.9%)) [8.8.13] (1-119) -*Homo sapiens* IGHG4*01 (CH1 (120-217), bisagra 1-12 (218-229), CH2 (230-339), CH3 (340-444), CHS (445-446)) (120-446)], (133-218')-disulfuro con la cadena ligera kappa químérica (1'-218') [V-KAPPA (*Mus musculus* IGKV3-4*01 (98.0%)-IGKJ2*01 (100%)/*Homo sapiens* IGKV3D-11*02 (69.1%) -IGKJ2*01 (91.7%)) [10.3.9] (1'-111') -*Homo sapiens* IGKC*01 (100%), Km3 A45.1 (157), V101 (195) (112'-218')]; dímero (225-225":228-228")-bisdisulfuro, producido por células ováricas de hamster chino (CHO), forma glicosilada alfa

Heavy chain / Chaîne lourde / Cadena pesada

QVQLQQSGPQ LVRPGTSVKI SCKASGYSFT TFWMDWVKQR PGQGLEWIGR 50
IDFDSSESRL DQRFKDRATL TVDKSSSTVY MQQLSPTSED SAVYYCARGN 100
DGYYGFAYWG QGTILTVTSSA STKGPSVFFL APCSRSTSES TAALGCLVKD 150
YFPEPVTVSW NSGALTSGVH TFPAVLQSSG LYSLSSVVTV PSSSLGKTYY 200
TCNVDHKPSN TKVDKRVESK YGPCCPSCPA PEFLGGPSVF LFPPPKPKDTL 250
MISRTPEVTC VVVDDVSQEDP EVQFNWVIVDG VEVHNNAKTP RREEQFNSTYR 300
VVSVLTVLHQ DWLNGKEYKC KVSNKGLPSS IEKTISKAKG QFRREPQVYTL 350
PPSQEEMTKN QVSLTCLVKG FYPSTDIAEVW ENSNGQEENY KTTTPVLDSD 400
GSFFFLYSRLT VKSEWEQEGN VFSCSVVMHEA LHNHYTQKSL SLSLGK 446

Light chain / Chaîne légère / Cadena ligera

DIVLTQSPAS LAVSILGQRAT ISCKRASQSVD YDCDSYMKWY QQKPGQPPKL 50
DIYAAASNQLS GIPARFSGSG SGDTFTLNH PVEEEADATY YQQQSNEDPY 100
TEGGGTKLIEI KRTVAAPSVE IFPPPSDEQLK SGTASVCLL NNFFYPREAKV 150
QWKVDNALQLS GMSQESVTEQ DSKDSTYSLS STLTLSKADY EKHKYVACEV 200
THQGLSSPVT KSFNRGEC 218

Post-translational modifications

Disulfide bridge location / Position des ponts disulfure / Posiciones de los puentes disulfuro

Intra-H (C23-C104) 22"-96" 146"-202" 260"-320" 366"-424"

22"-96" 146"-202" 260"-320" 366"-424"

Intra-L (C23-C104) 23"-92" 138"-198"

23"-92" 138"-198"

Inter-H-L (CH1 10-CL 126) 133-218" 133"-218"

Inter-H-H (h 8, h 11) 225-225" 228-228"

N-glycosylation sites / Sites de N-glycosylation / Posiciones de N-glicosilación

H-CH2-N84:4;

296, 296"

Fucosylated complex bi-antennary CHO-type glycans / glycanes de type CHO bi-antennaires complexes fucosylés / glicanos de tipo CHO biantenarios complejos fucosilados

C-terminal lysine clipping:

H-CHS K2:

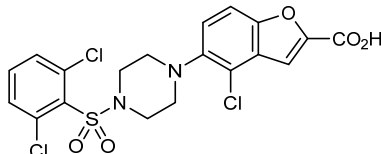
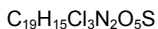
446, 446"

vonafexorum

vonafexor
4-chloro-5-[4-(2,6-dichlorobenzene-1-sulfonyl)piperazin-1-yl]-1-benzofuran-2-carboxylic acid

vonafexor
acide 4-chloro-5-[4-(2,6-dichlorobenzène-1-sulfonyl)piperazin-1-yl]-1-benzofuran-2-carboxylique

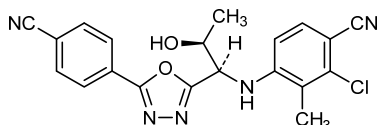
vonafexor
ácido 4-cloro-5-[4-(2,6-diclorobenceno-1-sulfonil)piperazin-1-il]-1-benzofuran-2-carboxílico

**vosilasarmum**

vosilasarm
2-chloro-4-({{(1R,2S)-1-[5-(4-cyanophenyl)-1,3,4-oxadiazol-2-yl]-2-hydroxypropyl}amino)-3-methylbenzonitrile

vosilasarm
2-chloro-4-({{(1R,2S)-1-[5-(4-cyanophényle)-1,3,4-oxadiazol-2-yl]-2-hydroxypropyl}amino)-3-méthylbenzonitrile

vosilasarm
4-{{(1R,2S)-1-[5-(4-cianofenil)-1,3,4-oxadiazol-2-il]-2-hidroxipropil}amino)-2-cloro-3-metilbenzonitrido

**vulinacimabum #**

vulinacimab
immunoglobulin G1-kappa, anti-[*Homo sapiens* VEGFR2 (vascular endothelial growth factor receptor 2, KDR, kinase insert domain receptor, FLK1, CD309)], *Homo sapiens* monoclonal antibody; gamma1 heavy chain *Homo sapiens* (1-447) [VH (*Homo sapiens*IGHV3-23*04 (90.8%) -IGHD -IGHJ1*01 (100%)) [8.8.10] (1-117) -*Homo sapiens*IGHG1*03v, G1m3>G1m17, nG1m1 (CH1 R120>K (214) (118-215), hinge 1-15 (216-230), CH2 (231-340), CH3 E12 (356), M14 (358) (341-445), CHS (446-457)) (118-447)], (220-219')-disulfide with kappa light chain *Homo sapiens* (1'-219') [V-KAPPA (*Homo sapiens*IGKV2-30*01 (83.0%) -IGKJ2*01 (100%)) [11.3.9] (1'-112') -*Homo sapiens* IGKC*01 (100%) Km3 A45.1 (158), V101 (196) (113'-219')]; dimer (226-226"-229-229")-bisdisulfide, produced in Chinese hamster ovary (CHO) cells, glycoform alfa

vulinacimab

immunoglobuline G1-kappa, anti-[*Homo sapiens* VEGFR2 (récepteur 2 du facteur de croissance endothérial vasculaire, KDR, récepteur à domaine insert kinase, FLK1, CD309)], *Homo sapiens* anticorps monoclonal; chaîne lourde gamma1 *Homo sapiens* (1-447) [VH (*Homo sapiens* IGHV3-23*04 (90.8%) -(IGHD) -IGHJ1*01 (100%)) [8.8.10] (1-117) -*Homo sapiens*IGHG1*03v, G1m3>G1m17, nG1m1 (CH1 R120>K (214) (118-215), charnière 1-15 (216-230), CH2 (231-340), CH3 E12 (356), M14 (358) (341-445), CHS (446-457)) (118-447)], (220-219")-disulfure avec la chaîne légère kappa *Homo sapiens* (1'-219') [V-KAPPA (*Homo sapiens* IGKV2-30*01 (83.0%) -IGKJ2*01 (100%)) [11.3.9] (1'-112') -*Homo sapiens* IGKC*01 (100%) Km3 A45.1 (158), V101 (196) (113'-219')]; dimère (226-226":229-229")-bisdisulfure, produit dans des cellules ovariennes de hamster chinois (CHO), glycoforme alfa

vulinacimab

inmunoglobulina G1-kappa, anti-[*Homo sapiens* VEGFR2 (receptor 2 del factor de crecimiento endotelial vascular, KDR, receptor con dominio inserto kinasa, FLK1, CD309)], *Homo sapiens* anticuerpo monoclonal; cadena pesada gamma1 *Homo sapiens* (1-447) [VH (*Homo sapiens* IGHV3-23*04 (90.8%) -(IGHD) -IGHJ1*01 (100%)) [8.8.10] (1-117) -*Homo sapiens*IGHG1*03v, G1m3>G1m17, nG1m1 (CH1 R120>K (214) (118-215), bisagra 1-15 (216-230), CH2 (231-340), CH3 E12 (356), M14 (358) (341-445), CHS (446-457)) (118-447)], (220-219")-disulfuro con la cadena ligera kappa *Homo sapiens* (1'-219') [V-KAPPA (*Homo sapiens* IGKV2-30*01 (83.0%) -IGKJ2*01 (100%)) [11.3.9] (1'-112') -*Homo sapiens* IGKC*01 (100%) Km3 A45.1 (158), V101 (196) (113'-219')]; dímero (226-226":229-229")-bisdisulfuro, producido por células ováricas de hamster chino (CHO), forma glicosilada alfa

Heavy chain / Chaîne lourde / Cadena pesada

QVQLVQSGGG LVQPQGSILRL SCAASGFSFS TYAMSWRQA PGKGLEWWSG 50
ISGGGGTTHY ADSVKGRTFI SRDNNSKNTVN LMNNSLRAED TAVYYCAGKL 100
WFGEGLWGGQ TLTVTVSSAST KGPSVFPPLAP SSKSTSGTA ALGCLVKDYF 150
PEPVTVSWNS GALTSQGVHTT PAVLQQSSGLY SLSSVTVPS SSLGTQTYIC 200
NVNHPKPSNTK VDKKKVPEKSC DKTHTCPCCP APPELLGGPSV FLPPPKPKDT 250
LMISRPTEVTL CVVVDVSHED PEVKPNWYVD GVEVHNNAKTF PREEQYNSTY 300
RVVSVLTVLH QDWLNKEYE# CVKSNSKALPA PIEKTISKAK GQPREPVQYT 350
LPSPREEMTK NQVSLLTCLVK GFYPSDIAVE WESNGQPEENN YKTTTPVLDs 400
DGSFFFLYSKL TVDKSRWQQG NVFSCSVMHE ALHNHYTQKS LSLSPGK 447

Light chain / Chaîne légère / Cadena ligera

DVVMTQSPLS LPVTLQQPAS ISCRSSQSLY YRSGYTFLDW YVQKPGQSPQ 50
LLIYQSSKRD SGVPDRIGGS GS GTDFTLRI SRVEAEDVGV YYCFQGTHWP 100
YTFQGQTKLE IKRTVVAAPSV FIFPPSDEQL KSGTASVVLN LNFFYXPREAK 150
VQMKVNDALQ SGNSQESVTE QDSKDSTYSL SSTLTLSKAD YEKHKVYACE 200
VTHQGLSSPV TKSFRNRGEC 219

Post-translational modifications

Disulfide bridges location / Position des ponts disulfure / Posiciones de los puentes disulfuro
Intra-H (C23-C104) 22-96 144-200 261-321 367-425
22"-96" 144"-200" 261"-321" 367"-425"
Intra-L (C23-C104) 23"-93' 139"-199'
23"-93" 139"-199"
Inter-H-L (h 5-CL 126) 220-219" 220"-219"
Inter-H-H (h 11, h 14) 226-226" 229-229"

N-glycosylation sites / Sites de N-glycosylation / Posiciones de N-glicosilación
H CH2 N84.4:
297, 297"

Fucosylated complex bi-antennary CHO-type glycans / glycanes de type CHO bi-antennaires complexes fucosylés / glicanos de tipo CHO biantenarios complejos fucosilados

C-terminal lysine clipping:
H CHS K2:
447, 447"

xevinapantum

xevinapant

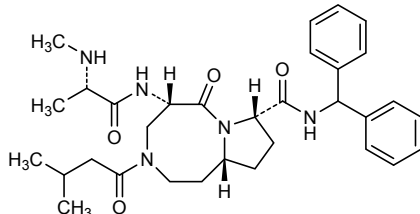
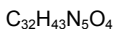
(*5S,8S,10aR*)-*N*-(diphenylmethyl)-5-[(*2S*)-2-(methylamino)propanamido]-3-(3-methylbutanoyl)-6-oxodecahydropyrrolo[1,2-*a*][1,5]diazocine-8-carboxamide

xévinapant

(*5S,8S,10aR*)-*N*-(diphénylméthyl)-5-[(*2S*)-2-(méthylamino)propanamido]-3-(3-méthylbutanoyl)-6-oxodécahydropyrrolo[1,2-*a*][1,5]diazocine-8-carboxamide

xevinapant

(*5S,8S,10aR*)-*N*-(difenilmetil)-5-[(*2S*)-2-(metilamino)propanamido]-3-(3-metilbutanoil)-6-oxodecahidropirrolo[1,2-*a*][1,5]diazocina-8-carboxamida

**zandelisibum**

zandelisib

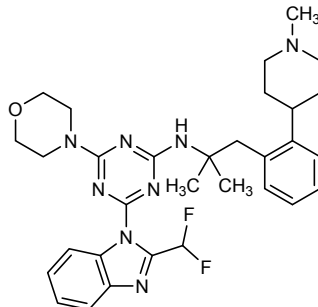
4-[2-(difluoromethyl)-1*H*-benzimidazol-1-yl]-*N*-(2-methyl-1-[2-(1-methylpiperidin-4-yl)phenyl]propan-2-yl)-6-(morpholin-4-yl)-1,3,5-triazin-2-amine

zandélisib

4-[2-(difluorométhyl)-1*H*-benzimidazol-1-yl]-*N*-(2-méthyl-1-[2-(1-méthylpipéridin-4-yl)phényl]propan-2-yl)-6-(morpholin-4-yl)-1,3,5-triazin-2-amine

zandelisib

4-[2-(difluorometil)-1*H*-benzimidazol-1-il]-*N*-(2-metil-1-[2-(1-metilpiperidin-4-il)fenil]propan-2-il)-6-(morpholin-4-il)-1,3,5-triazin-2-amina

**zoligratinibum**

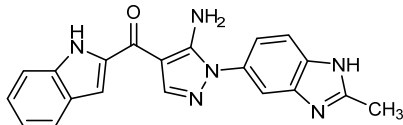
zoligratinib

[5-amino-1-(2-methyl-1*H*-benzimidazol-5-yl)-1*H*-pyrazol-4-yl](1*H*-indol-2-yl)methanone

zoligratinib

[5-amino-1-(2-méthyl-1*H*-benzimidazol-5-yl)-1*H*-pyrazol-4-yl](1*H*-indol-2-yl)méthanone

zoligratinib

[5-amino-1-(2-methyl-1*H*-benzimidazol-5-il)-1*H*-pirazol-4-il](1*H*-indol-2-il)metanona $C_{20}H_{16}N_6O$ **zotiraciclibum**

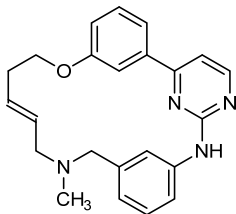
zotiraciclib

(8*E*)-6-methyl-12-oxa-3,6-diaza-2(4,2)-pyrimidina-1,4(1,3)-dibenzenacyclododecaphan-8-ene

zotiraciclib

(8*E*)-6-méthyl-12-oxa-3,6-diaza-2(4,2)-pyrimidina-1,4(1,3)-dibenzenacyclododecaphan-8-ène

zotiraciclib

(8*E*)-6-méthyl-12-oxa-3,6-diaza-2(4,2)-pirimidina-1,4(1,3)-dibenzenacyclododecaphan-8-eno $C_{23}H_{24}N_4O$ **zuberitamabum #**

zuberitamab

immunoglobulin G1-kappa, anti-[*Homo sapiens* MS4A1 (membrane spanning 4-domains subfamily A member 1, CD20)], chimeric monoclonal antibody; gamma1 heavy chain chimeric (1-452) [VH (*Mus musculus* IGHV1-12*01 (96.9%) -(IGHD) -IGHJ1*03 (100%)/*Homo sapiens*IGHV1-46*01 (70.4%) -(IGHD) -IGHJ1*03 (85.7%)) [8.8.15] (1-122) -*Homo sapiens* IGHG1*01 (100%) G1m17.1 (CH1 K120 (219) (123-220), hinge 1-15 (221-235), CH2 (236-345), CH3 D12 (361), L14 (363) (346-450), CHS (451-452)) (123-452)], (225-213')-disulfide with kappa light chain chimeric (1'-213') [V-KAPPA (*Mus musculus* IGKV4-72*01 (96.8%) -IGKJ1*01 (90.9%)/*Homo sapiens* IGKV3-11*01 (64.9%) -IGKJ2*01 (90.9%)) [5.3.9] (1'-106') -*Homo sapiens* IGKC*01 (100%), Km3 A45.1 (152), V101 (190) (107'-213')]; dimer (231-231":234-234")-bisdisulfide, produced in Chinese hamster ovary (CHO) cells, glycoform alfa

zubérítamab

immunoglobuline G1-kappa, anti-[*Homo sapiens* MS4A1 (membre 1 de la sous-famille A à 4 domaines transmembranaires, CD20)], anticorps monoclonal chimérique;

chaîne lourde gamma1 chimérique (1-452) [VH (*Mus musculus*) IGHV1-12*01 (96.9%) -(IGHD) -IGHJ1*03 (100%)/*Homo sapiens* IGHV1-46*01 (70.4%) -(IGHD) -IGHJ1*03 (85.7%)] [8.8.15] (1-122) -*Homo sapiens* IGHG1*01 (100%) G1m17,1 (CH1 K120 (219) (123-220), charnière 1-15 (221-235), CH2 (236-345), CH3 D12 (361), L14 (363) (346-450), CHS (451-452)) (123-452)], (225-213')-disulfure avec la chaîne légère kappa chimérique (1'-213') [V-KAPPA (*Mus musculus*) IGKV4-72*01 (96.8%) -IGKJ1*01 (90.9 %)/*Homo sapiens* IGKV3-11*01 (64.9%) -IGKJ2*01 (90.9%)] [5.3.9] (1'-106') -*Homo sapiens* IGKC*01 (100%), Km3 A45.1 (152), V101 (190) (107'-213')]; dimère (231-231":234-234")-bisdisulfure, produit dans des cellules ovariennes de hamster chinois (CHO), glycoforme alfa

zuberitamab

inmunoglobulina G1-kappa, anti-[*Homo sapiens* MS4A1 (miembro 1 de la subfamilia A con 4 dominios transmembranarios, CD20)], anticuerpo monoclonal quimérico; cadena pesada gamma1 quimérica (1-452) [VH (*Mus musculus*) IGHV1-12*01 (96.9%) -(IGHD) -IGHJ1*03 (100%)/*Homo sapiens* IGHV1-46*01 (70.4%) -(IGHD) -IGHJ1*03 (85.7%)] [8.8.15] (1-122) -*Homo sapiens* IGHG1*01 (100%) G1m17,1 (CH1 K120 (219) (123-220), bisagra 1-15 (221-235), CH2 (236-345), CH3 D12 (361), L14 (363) (346-450), CHS (451-452)) (123-452)], (225-213')-disulfuro con la cadena ligera kappa quimérica (1'-213') [V-KAPPA (*Mus musculus*) IGKV4-72*01 (96.8%) -IGKJ1*01 (90.9 %)/*Homo sapiens* IGKV3-11*01 (64.9%) -IGKJ2*01 (90.9%)] [5.3.9] (1'-106') -*Homo sapiens* IGKC*01 (100%), Km3 A45.1 (152), V101 (190) (107'-213')]; dímero (231-231":234-234")-bisdisulfuro, producido por células ováricas de hamster chino (CHO), forma glicosilada alfa

Heavy chain / Chaîne lourde / Cadena pesada

EVQLQQSGAEVLRPGASVVKM SCKASGYTFT SYNMMHWVKQT PRQGLEWIGA 50
IYPGNGDTSY NQKFKGKATL TVDKSSSTAY MQLSSLTSED SAVYFCARVV 100
YYNSNYWYDF VVGGTTTVTV SSASTKGPSV FPLAPSSKST SGGTAALGCL 150
VKDYFFPEPTV VSWNSNGALTSV GVHTTPAVLQ SSGLYSLSSV VTVFSSSLGT 200
QTYCICNVNHK PSNTKVDKVK EPKSCDKTHT CPCPAPAEPLL GGPSPVFLFFF 250
KPKDTLMISR TPEVTCVVWD VSHEDPEVKF NWYWDGVVEVH NAKTKPREQ 300
YNSTYRVWSV LTVLHQDWLN GKEYKKCVSN KALPAPIEKT ISKAKGQPRE 350
PQVYTLPSSR DELTKNQVSL TCLVKGFYIPS DIAVEWESNG QPENNYKTFP 400
PVLSDSGSFF LYSKLTVDKS RWQQGNVFSC SVMHEALHNH YTQKSLSLSP 450
GK 452

Light chain / Chaîne légère / Cadena ligera

DIELSQQSPAII LSASPGKERTV MTCRASSSVS YMHWYQQKPG SSSPKPWIYAP 50
SNLASGVPAR FSGSGSGTSV SLTISRVEAE DAATYYCQQW SFNPPTFGAG 100
TKLEIKRTVA AFSVFFIFPPS DEQLKSGTAS VVCLLNNFPY REAKVQNKVD 150
NALQSGNSQE SVTEQDSDKS TSYLSSTLTL SKADYEKHKV YACEVTHQGL 200
SSPVTKSFNR GEC 213

Post-translational modifications

Disulfide bridges location / Position des ponts disulfure / Posiciones de los puentes disulfuro

Intra-H (C23-C104) 22-96 149-205 266-326 372-430

22"-96" 149"-205" 266"-326" 372"-430"

Intra-L (C23-C104) 23"-87" 133"-193"

23""-87"" 133""-193""

Inter-H-L (h5-CL 126) 225-213' 225"-213"

Inter-H-H (h 11, h 14) 231-231" 234-234"

N-glycosylation sites / Sites de N-glycosylation / Posiciones de N-glicosilación

H CH2 N84.4:

302, 302"

Fucosylated complex bi-antennary CHO-type glycans / glycanes de tipo CHO bi-antennaires complexes fucosylés / glicanos de tipo CHO biantenarios complejos fucosilados

C-terminal lysine clipping:

H CHS K2:

452, 452"

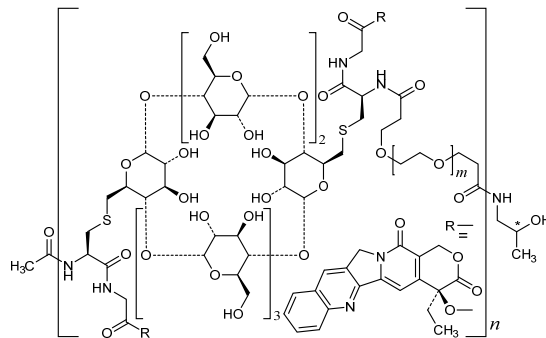
AMENDMENTS TO PREVIOUS LISTS
MODIFICATIONS APPORTÉES AUX LISTES ANTÉRIEURES
MODIFICACIONES A LAS LISTAS ANTERIORES

Recommended International Nonproprietary Names (Rec. INN): List 63
Dénominations communes internationales recommandées (DCI Rec.): Liste 63
Denominaciones Comunes Internacionales Recomendadas (DCI Rec.): Lista 63
(WHO Drug Information, Vol. 24, No. 1, 2010)

p.45	bardoxolonom	
	bardoxolone	replace the molecular formula by the following one remplacer la formule moléculaire brute par la suivante sustitúyase la fórmula molecular por la siguiente
	bardoxolone	
	bardoxolona	C ₃₁ H ₄₁ NO ₄

Recommended International Nonproprietary Names (Rec. INN): List 79
Dénominations communes internationales recommandées (DCI Rec.): Liste 79
Denominaciones Comunes Internacionales Recomendadas (DCI Rec.): Lista 79
(WHO Drug Information, Vol. 32, No. 1, 2018)

p.112	davamotecanum pegadexamerum	
	davamotecan pegadexamer	replace the structure by the following one remplacer la structure par la suivante sustitúyase la estructura por la siguiente
	davamotécan pégadexamère	
	davamotecán pegadexámero	



p.123	ianalumabum #	
-124	ianalumab	replace the description and the structure by the following ones remplacer la description et la structure par les suivantes sustitúyase la descripción y la estructura por las siguientes
	ianalumab	
	ianalumab	

immunoglobulin G1-kappa, anti-[*Homo sapiens* TNFRSF13C (tumor necrosis factor receptor (TNFR) superfamily member 13C, BAFFR, BAFF-R, BR3, B cell activating factor receptor, CD268)], *Homo sapiens* monoclonal antibody;
gamma1 heavy chain (1-454) [*Homo sapiens* VH (IGHV6-1*01 (96.00%) -(IGHD) -IGHJ5*01) [10.9.14] (1-124) -*Homo sapiens* IGHG1*03, G1m3, nG1m1 (CH1 R120 (221) (125-222), hinge (223-237), CH2 (238-347), CH3 E12 (363), M14 (365) (348-452), CHS (453-454)) (125-454)], (227-215')-disulfide with kappa light chain (1'-215') [*Homo sapiens* V-KAPPA (IGKV3D-11*01 (89.00%) -IGKJ1*01) [7.3.9] (1'-108') -*Homo sapiens* IGKC*01, Km3 A45.1 (154), V101 (192) (109'-215')]; dimer (233-233":236-236")-bisdisulfide; produced in Chinese hamster ovary (CHO) cells, glycoform alfa

immunoglobuline G1-kappa, anti-[*Homo sapiens* TNFRSF13C (membre 13C de la super famille du récepteur du facteur de nécrose tumorale (TNFR), BAFFR, BAFF-R, BR3, récepteur du facteur d'activation des lymphocytes B, CD268], *Homo sapiens* anticorps monoclonal; chaîne lourde gamma1 (1-454) [*Homo sapiens* VH (IGHV6-1*01 (96.00%) -(IGHD) -IGHJ5*01) [10.9.14] (1-124) -*Homo sapiens* IGHG1*03, G1m3, nG1m1 (CH1 R120 (221) (125-222), charnière (223-237), CH2 (238-347), CH3 E12 (363), M14 (365) (348-452), CHS (453-454)) (125-454)], (227-215')-disulfure avec la chaîne légère (1'-215') [*Homo sapiens* V-KAPPA (IGKV3D-11*01 (89.00%) -IGKJ1*01) [7.3.9] (1'-108') -*Homo sapiens* IGKC*01, Km3 A45.1 (154), V101 (192) (109'-215')]; dimère (233-233":236-236")-bisdisulfure, produit dans des cellules de hamster chinois (CHO), glycoforme alfa

inmunoglobulina G1-kappa, anti-[*Homo sapiens* TNFRSF13C (miembro 13C de la super familia del receptor del factor de necrosis tumoral (TNFR), BAFFR, BAFF-R, BR3, receptor del factor de activación de los linfocitos B, CD268], *Homo sapiens* anticuerpo monoclonal; cadena pesada gamma1 (1-454) [*Homo sapiens* VH (IGHV6-1*01 (96.00%) -(IGHD) -IGHJ5*01) [10.9.14] (1-124) -*Homo sapiens* IGHG1*03, G1m3, nG1m1 (CH1 R120 (221) (125-222), bisagra (223-237), CH2 (238-347), CH3 E12 (363), M14 (365) (348-452), CHS (453-454)) (125-454)], (227-215')-disulfuro con la cadena ligera (1'-215') [*Homo sapiens* V-KAPPA (IGKV3D-11*01 (89.00%) -IGKJ1*01) [7.3.9] (1'-108') -*Homo sapiens* IGKC*01, Km3 A45.1 (154), V101 (192) (109'-215')]; dímero (233-233":236-236")-bisdisulfuro, producido en las células ováricas de hamster chino (CHO), glicoforma alfa

Heavy chain / Chaîne lourde / Cadena pesada

```
QVQLQGSQPG LVKFSQTLSL TCAISGDSVS SNSAAWGWIR QSPGRGLEWL 50
GRIYQRSKWK NSYAVSVSKR ITINPDTTSRN QFSLQLNSVT PEDTAVYYCA 100
RYDWPKLGV FDWSWGQTLV TVSSASTKGP SVFPLAPSSK STSGGTAALG 150
CLVKDVFPEP VTIVSWNSGAL TSGVHFTPAV LQSSGLYLSL SVVTVESSL 200
GTQTYICVN VN HKPSNTYKVKR RVEPKSCDKT HTCPPCPAVE LLGGPSVFLF 250
PPKPKDUTLMR SRTPEVTCVV VDVSHEDPEV KFNWYVVDGVE VHNNAKTKPKE 300
EQYTKVIEKRTV SVLTVLHQDW LNGKEYKCKV SNKALPAFIE KTISKAKQGP 350
REQPVVTLPP SREEMETKMQV SLTCLVKGFFY PSDIAVENES NGQPENNYKT 400
TPFVLDSGDS FFPLYSKLTD KSRWQQCNVFE SC5VMHEALTH NHYTQKSLSL 450
SPGK
```

454

Light chain / Chaîne légère / Cadena ligera

```
DIVLTQSPAT LSLSPLGGERAT LSCRASOFIS SSYLSWYQQK PGQAPRLLIY 50
GSSSRATGVP ARFSGSGSGT DFTLTISSLE PEDFAVYICQ OLYSSPMTFG 100
QGTTKVEIKRT VAAFSVFIIP PSDEQLKSGT ASVCLLNPF YPREAKVQWK 150
VDNALQSGNS QESVTEQDSK DSTYSLSTL TLSKADYERK KVYACEVTHQ 200
GLSSPVTKSNS NRGEK
```

215

Post-translational modifications

Disulfide bridges location / Position des ponts disulfure / Posiciones de los puentes disulfuro

Intra-H (C23-C104) 22-99 151-207 268-328 374-432

22"-99" 151"-207" 268"-328" 374"-432"

Intra-L (C23-C104) 23"-89" 135"-195"

23""-89"" 135""-195""

Inter-H-L (h 5-CL) 227-215" 227"-215"

Inter-H-H (h 11, h 14) 233-233" 236-236"

N-glycosylation sites / Sites de N-glycosylation / Posiciones de N-glicosilación

H CH2 N84.4:

304, 304"

Afucosylated complex bi-antennary CHO-type glycans / glycanes de type CHO bi-antennaires

complexes afucosylés / glicanos de tipo CHO biantenarios complejos afucosilados

N-terminal glutaminyl cyclization to pyroglutamyl (pE, 5-oxoprolyl)

H VH Q1: 1, 1"

C-terminal lysine clipping

H CHS K2:

454, 454"

Recommended International Nonproprietary Names (Rec. INN): List 81
Dénominations communes internationales recommandées (DCI Rec.): Liste 81
Denominaciones Comunes Internacionales Recomendadas (DCI Rec.): Lista 81
(WHO Drug Information, Vol. 33, No. 1, 2019)

p.128 **vutrisiranum**

vutrisiran

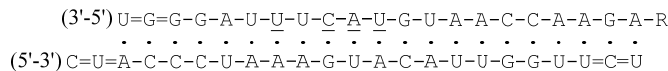
vutrisiran

vutrisirán

replace the structure by the following one

remplacer la structure par la suivante

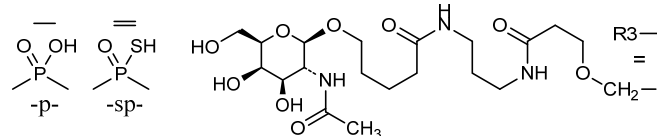
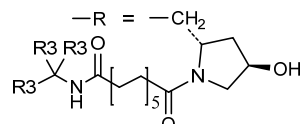
sustitúyase la estructura por la siguiente



Legend

X : 2'-deoxy-2'-fluoronucleotide

X : 2'-O-methylnucleotide



Recommended International Nonproprietary Names (Rec. INN): List 82
Dénominations communes internationales recommandées (DCI Rec.): Liste 82
Denominaciones Comunes Internacionales Recomendadas (DCI Rec.): Lista 82
(WHO Drug Information, Vol. 33, No. 3, 2019)

p.606 **adlinacogenum civaparvovecum #**

-607 adlinacogene civaparvovec *replace the description by the following one*

adlinacogène civaparvovec *remplacer la description par la suivante*

adlinacogén civaparvovec *sustitúyase la descripción por la siguiente*

a recombinant non-replicating adeno-associated virus type 2/6 (**rAAV6**) vector, which contains a promoter-less human coagulation factor IX (hF9, Factor IX or FIX) transgene cassette, encoding exons 2-8 and splice acceptor site sequence (SA) from hF9 exon 2, flanked by a sequence homologous to the zinc-finger nuclease (ZFN) cleavage site of the human albumin (hALB) intron 1

vecteur viral adéno-associé de type 2/6 recombinant (**rAAV6**), non-répliquant, contenant la cassette avec le transgène du facteur de coagulation IX humain (hF9, Facteur IX, FIX) sans promoteur, codant pour les exons 2-8 et la séquence du site accepteur (SA) d'épissage de l'exon 2 de hF9, flanqué par une séquence homologue au site de clivage de la nucléase à doigts de zinc (ZFN) de l'intron 1 l'albumine humaine (hALB).

un vector de virus adeno asociado tipo 2/6 recombinante (**rAAV6**), no replicativo, que contiene un casete con el transgen del factor de coagulación IX (hF9, Factor IX o FIX) humano sin promotor, que codifica para los exones 2-8 y la secuencia del sitio aceptor (SA) del splicing del exon 2 de hf9, flanqueado por una secuencia homóloga al sitio de rotura por la nuclelease con dedos de zinc (ZFN) del intron 1 de la albúmina humana (hALB)

p.625 -626	devafidugenum civaparvovecum #
	devafidugene civaparvovec <i>replace the description by the following one</i>
	devafidugène civaparvovec <i>remplacer la description par la suivante</i>
	devafidugén civaparvovec <i>sustitúyase la descripción por la siguiente</i>
	<p>a recombinant non-replicating adeno-associated virus type 2/6 (rAAV6) vector, which contains a promoter-less human alpha-L-iduronidase (hIDUA) transgene cassette, encoding partial exon 1 and full exons 2-14 with the first 28 amino acids removed, and splice acceptor site sequence (SA) from hIDUA exon 2, flanked by a sequence homologous to the zinc-finger nuclease (ZFN) cleavage site of the human albumin (hALB) intron 1</p> <p>vecteur viral adéno-associé de type 2/6 recombinant (rAAV6), non-répliquant, contenant la cassette du transgène de l'alpha-L-iduronidase humaine (hIDUA) sans promoteur, codant partiellement l'exon 1 et entièrement les exons 2-14 dont la partie correspondant aux 28 premiers acides aminés a été retirée, et la séquence du site accepteur (SA) d'épissage de l'exon 2 de l'hIDUA, flanqué d'une séquence homologue au site de clivage de la nuclease à doigts de zinc (ZFN) de l'intron 1 de l'albumine humaine (hALB)</p> <p>un vector de virus adeno asociado tipo 2/6 recombinante (rAAV6), no replicativo, que contiene un casete con el transgen de la alfa-L-iduronidasa humana (hIDUA) sin promotor, que codifica para el exón 1 parcial y los exones 2-14 completos con los primeros 28 amino ácidos eliminados, y la secuencia del sitio aceptor (SA) del splicing del exón 2 de hIDUA, flanqueado por una secuencia homóloga al sitio de rotura por la nucleas con dedos de zinc (ZFN) del intron 1 de la albúmina humana (hALB)</p>
p.645	inlezifigenum civaparvovecum #
	inlezifigene civaparvovec <i>replace the description by the following one</i>
	inlezifigène civaparvovec <i>reemplazar la descripción por la siguiente</i>
	inlezifigén civaparvovec <i>sustitúyase la descripción por la siguiente</i>
	<p>a recombinant non-replicating adeno-associated virus type 2/6 (rAAV6) vector, expressing a cDNA that targets 447-461 bp of the albumin locus (relative to the transcription initiation site), fused to the obligate heterodimeric FokI nuclease domain ELD, under the control of an apolipoprotein E hepatic control region and human alpha-1-antitrypsin promoter (ApoE/hAAT)</p> <p>vecteur viral adéno-associé de type 2/6 recombinant (rAAV6), non-répliquant, exprimant un ADNc ciblant les paires de bases 447-461 du locus de l'albumine (en relation avec le site initial de transcription), fusionné au domaine hétérodimérique ELD de la nuclease FokI, sous le contrôle d'une région de contrôle de l'apolipoprotéine E (ApoE) spécifique du foie et du promoteur de l'alpha1-antitrypsine humaine (ApoE/hAAT)</p> <p>un vector de virus adeno asociado tipo 2/6 recombinante (rAAV6), no replicativo, que expresa un cDNA dirigido a unirse a los pares de bases 447-461 (en relación al sitio de iniciación de la transcripción) del locus de la albúmina, fusionado al dominio heterodimérico ELD de la nucleas FokI, bajo el control de una región de control hepático de la apolipoproteína E y el promotor de la alfa 1 antitripsina humana (ApoE/hAAT)</p>

p.669	ranuzifigenum civaparvovecum #	
-670	ranuzifigene civaparvovec	<i>replace the description by the following one</i>
	ranuzifigène civaparvovec	<i>remplacer la description par la suivante</i>
	ranuzifigén civaparvovec	<i>sustitúyase la descripción por la siguiente</i>
		a recombinant non-replicating adeno-associated virus type 2/6 (rAAV6) vector, expressing a cDNA that targets 468-485 bp of the albumin locus (relative to the transcription initiation site), fused to the obligate heterodimeric FokI nuclease domain ELD, under the control of an apolipoprotein E hepatic control region and human alpha-1-antitrypsin promoter (ApoE/hAAT)
		vecteur viral adéno-associé de type 2/6 recombinant (rAAV6), non-répliquant, exprimant un ADNc ciblant les paires de bases 468-485 du locus de l'albumine (en relation avec le site initial de transcription), fusionné au domaine hétérodimérique ELD de la nucléase FokI, sous le contrôle d'une région de contrôle de l'apolipoprotéine E (ApoE) spécifique du foie et du promoteur de l'alpha1-antitrypsine humaine (ApoE/hAAT)
		un vector de virus adeno asociado tipo 2/6 recombinante (rAAV6), no replicativo, que expresa un cDNA dirigido a unirse a los pares de bases 468-485 (en relación al sitio de iniciación de la transcripción) del locus de la albúmina, fusionado al dominio heterodimérico ELD de la nucleasa FokI, bajo el control de una región de control hepático de la apolipoproteína E y el promotor de la alfa 1 antitripsina humana (ApoE/hAAT)
p.676	selitrectinibum	
	selitrectinib	<i>replace the chemical name by the following one</i>
	sélitrectinib	<i>remplacer le nom chimique par le suivant</i>
	selitrectinib	<i>sustitúyase el nombre químico por el siguiente</i>
		(<i>2²R,6R</i>)-3 ⁵ -fluoro-6-methyl-7-aza-1(5,3)-pyrazolo[1,5-a]pyrimidina-3(3,2)-pyridina-2(1,2)-pyrrolidinacyclooctaphan-8-one
		(<i>2²R,6R</i>)-3 ⁵ -fluoro-6-méthyl-7-aza-1(5,3)-pyrazolo[1,5-a]pyrimidina-3(3,2)-pyridina-2(1,2)-pyrrolidinacyclooctaphan-8-one
		(<i>2²R,6R</i>)-3 ⁵ -fluoro-6-metil-7-aza-1(5,3)-pirazolo[1,5-a]pirimidina-3(3,2)-piridina-2(1,2)-pirrolidinaclooctafan-8-ona
p.688	tefidsogenum civaparvovecum #	
-689	tefidsogene civaparvovec	<i>replace the description by the following one</i>
	téfidsogène civaparvovec	<i>remplacer la description par la suivante</i>
	tefidsogén civaparvovec	<i>sustitúyase la descripción por la siguiente</i>
		a recombinant non-replicating adeno-associated virus type 2/6 (rAAV6) vector, which contains a promoter-less human iduronate 2-sulfatase (hIDS) transgene cassette, encoding parts of exon 1 plus exons 2-9 from hIDS and a splice acceptor site (SA) derived from human coagulation factor IX (hF9, factor IX or FIX) exon 2, flanked by a sequence homologous to the zinc-finger nuclease (ZFN) cleavage site of the human albumin (hALB) intron 1

vecteur viral adéno-associé de type 2/6 recombinant (**rAAV6**), non-répliquant, contenant la cassette du transgène de l'iduronate 2-sulfatase humaine (hIDS) sans promoteur, codant partiellement l'exon 1 et les exons 2-9 de hIDS, et la séquence du site accepteur (SA) d'épissage dérivé de l'exon 2 du facteur de coagulation IX humain (hF9, facteur IX, FIX), flanqué d'une séquence homologue au site de clivage de la nuclease à doigts de zinc (ZFN) de l'intron 1 de l'albumine humaine (hALB)

un vector de virus adeno asociado tipo 2/6 recombinante (**rAAV6**), no replicativo, que contiene un casete con el transgen de la iduronato 2-sulfatasa humana (hIDS) sin promotor, que codifica para partes del exón 1 más los exones 2-9 de hIDS y un sitio acceptor del splicing derivado del exón 2 del factor de coagulación IX humano (hF9, factor IX o FIX), flanqueado por una secuencia homóloga al sitio de rotura por la nucleas con dedos de zinc (ZFN) del intron 1 de la albúmina humana (hALB)

Recommended International Nonproprietary Names (Rec. INN): List 83
Dénominations communes internationales recommandées (DCI Rec.): Liste 83
Denominaciones Comunes Internacionales Recomendadas (DCI Rec.): Lista 83
(WHO Drug Information, Vol. 34, No. 1, 2020)

p.25	avalotcagenum ontaparvovecum #	
-26	avalotcagene ontaparvotec	<i>replace the description by the following one</i>
	avalotcagène ontaparvotec	<i>remplacer la description par la suivante</i>
	avalotcagén ontaparvotec	<i>sustituyase la descripción por la siguiente</i>

A recombinant non-replicating adeno-associated virus type 2/8 (**rAAV8**) vector, encoding codon-optimized, wild-type human ornithine transcarbamylase (OTC) under the control of a hybrid human thyroxine-binding globulin (TBG) / human alpha 1-microglobulin/bikunin precursor (AMBp) promoter/enhancer. The vector genome is a head-to-head dimer, with the vector genome cassette located 5' of the mutated internal inverted terminal repeat (ITR) in a reverse orientation and the vector genome cassette located 3' of the mutated internal ITR in a forward orientation.

vecteur viral adéno-associé de type 2/8 recombinant non-répliquant (**rAAV8**), codant pour l'ornithine transcarbamylase humaine sauvage (OTC) avec des codons optimisés, sous le contrôle de l'activateur/promoteur hybride de la globuline liant la thyroxine (TBP) humaine /précurseur de microglobuline alpha 1 / bikunine (AMBp). Le génome du vecteur est un dimère en tête à tête avec la cassette contenant le génome du vecteur en position 5' de la séquence inverse terminale répétée (ITR) interne et mutée dont l'orientation est inverse et la cassette contenant le vecteur du génome en position 3' de l'ITR interne et mutée dont l'orientation est vers l'avant

Un vector de virus adenoasociado recombinante no replicativo del serotipo 2/8 (**rAAV8**), que codifica para la ornitina transcarbamilasa silvestre humana (OTC) con codones optimizados, bajo el control de un promotor/potenciador híbrido de la globulina fijadora de tiroxina humana (TBG) / precursor de microglobulina alfa 1 humana/bicunina (AMBp). El genoma del vector es un dímero de cabeza con cabeza, con el casete del genoma del vector en posición 5' a la repetición terminal invertida (ITR) interna y mutada localizado en orientación inversa. y el casete del genoma del vector en posición 3' a la ITR localizado en orientación hacia adelante.

p.49

epcoritamabum #

epcoritamab *replace the structure by the following one*
épcoritamab *remplacer la structure par la suivante*
epcoritamab *sustitúyase la estructura por la siguiente*

Heavy chain / Chaîne lourde / Cadena pesada (anti-CD3E)
EVKLVESGGG LVQPSSGLRL SCAASGFTFN TYAMNNWVRQA PGKGLEWVAR 50
IRSKYNNYAT YYADSVKDRF TISRDKSSTKQ LYLQMNLLKT EDTAMYYCVR 100
HGNFGNSVVS WFAYWGQFGLT VTVSSASTKG PSVFLAPSS KSTSGGTAAL 150
GCLVKDVFPE PVTVWSNSGA LTSGVHTFPVA VLQSGGLYSL SSVVTPSS 200
LGTQTYICNV NHPKPSNKVD KRVEPKSCDK THTCPCCPAE EFEFGGPSVFL 250
FPPPKDFTLM ISRTPETVTC VVAVSHEDPE VKFNWYWDGV EVHNAKTKPR 300
EEQYNSTYRV VSVLTVLHQD WLNGKEYKCK VSNKALPAPI EKTISKAKGQ 350
PREPVQYTLPSR EEMTNKRNQ VSLTCLVKGF YPSDIAVEWE SNGQPENNYK 400
TPPPVLDSDG SFLLYSKLT DKSRSRQQGNV FSCSVMHEAL HNHYTQKSLS 450
LSPG 454

Light chain / Chaîne légère / Cadena ligera (anti-CD3E)

QAVVHQEPF SVSPGFTVIL TCRSSTGAVT TSNYANWVQQ TPPQAFRGLI 50
GGTNKRAGPV PARFGSSLIG DKAALTITGA QADDESIFYFC ALWYSNLWV 100
GGGTKLTVLG QPKAAPSPTVIL FPPSSEELQJA NKATLVLCLIS DFYPGAVTVA 150
WKADSSPVKA GVEITTTPSKQ SNNKYAASSY LSLSLTPEQWKS HRSYSCQVTH 200
EGSTVEKTVTA PTECS 215

Heavy chain / Chaîne lourde / Cadena pesada (anti-MS4A1)

EVQLVESGGG LVQPDRSRL SCAASGFTFH DYAMHHWVRQA PGKGLEWVST 50
ISWNNSGTIGY ADSVKGRTI SRDNAKNSLY LQMNSLRAED TALYYCARDI 100
QVGNYYGMD VWQCQTTVTV SSASTKGPSV FPLAPSSKST SGGTAALGCL 150
VKDYFPEPTV VSWNNSGALTS GVHTFPAVLQ SSGLYSLSSV TVTPSSLG 200
QTYICNVNKH PSNTKVDKRV EPKSCDKTHT CPCPCPAPEFE GGPSVFLFPP 250
KPKDTLMISI TPEVTCVVVA VSHEDEPEVKH NWYVDGVEVH NAKTKPREEQ 300
YNSTYRVVSV ITVLHQDWLN GKEYKCKVSN KALPAPIEKI ISKAKGQPRE 350
PQVYTLPPSR EEMTNKRNQ VSLTCLVKGFPS DIAVEWESNG QPENNYKTP 400
PVLDSDGSFF LYSRLLTVDKS RWQQGNVFSC SVMHEALHNH YTQKSLSLSP 450
G 451

Light chain / Chaîne légère / Cadena ligera (anti-MS4A1)

EIVLTIQSPAT LSLSPGERAT LSCRAQSOS SYLAZYQQKP GOAPRLLIYD 50
ASN RATGIP A RFGSGSGTD FTI TISSLP EDFAVYYCQQ RSNWPITFGQ 100
GTRLEIKRTV AA PSVFI FPPP SDEQLKSGTA SVVCLLNFFY PREAKVQWKV 150
DNAIQLSGNSQ ES VTEQDSKD STYLSLSTLT LSKADYEKHK VYACEVTHQG 200
LSSPVTKSFN RGE C 214

Post-translational modifications

Disulfide bridge location / Position des ponts disulfure / Posiciones de los puentes disulfuro

Intra-H (C23-C104) 22-98 152-208 269-329 375-433
22"-96" 149"-205" 266"-326" 372"-430"

Intra-L (C23-C104) 22"-90" 137"-196"
23"-88" 134"-194"

Inter-H-L (h 5-CL 126) 228-214" 225"-214"

Inter-H-H (h 11, h 14) 234-231" 237-234"

N-glycosylation sites / Sites de N-glycosylation / Posiciones de N-glicosilación

H CH2 N84.4:

305, 302"

Fucosylated complex bi-antennary CHO-type glycans / glycanes de type CHO bi-antennaires complexes fucosylés / glicanos de tipo CHO biantenarios complejos fucosilados.

p.55

giroctocogenum fitelparvovecum #

giroctocogene fitelparvovec *replace the description by the following one*
giroctocogène fitelparvovec *remplacer la description par la suivante*
giroctocogén fitelparvovec *sustitúyase la descripción por la siguiente*

A recombinant non-replicating adeno-associated virus type 2/6
(**rAAV6**) vector, encoding human B-domain-deleted blood coagulation
factor VIII (hF8, FVIII) under the control of a synthetic liver-specific
promoter.

Vecteur viral adéno-associé de type 2/6 recombinant non-répliquant
(**rAAV6**), codant pour le facteur de coagulation sanguine VIII humain
(hF8, FVIII), dont le domaine B a été supprimé, sous le contrôle d'un
promoteur synthétique spécifique du foie.

Un vector de virus adenoasociado recombinante no replicativo del tipo 2/6 (**rAAV6**), que codifica para el factor de coagulación sanguíneo VIII humano (hF8, FVIII) con el dominio B delecionado, bajo el control de un promotor sintético específico del hígado.

p.63 *supprimer*
 lététresgène autoleucel *insérer*
 lététresgène autoleucel

p.132 **zildistrogenum varoparvovecum #**
 zildistrogene varoparvovec *replace the description by the following one*
 zildistrogène varoparvovec *remplacer la description par la suivante*
 zildistrogén varoparvovec *sustituyase la descripción por la siguiente*

A recombinant non-replicating adeno-associated virus type 2/9 (**rAAV9**) vector, encoding human microdystrophin 5 (h- μ D5) under control of CK8 muscle creatine kinase promoter and enhancer elements

vecteur viral adéno-associé de type 2/9 recombinant non-répliquant (**rAAV9**) codant pour la microdystrophine 5 humaine (h-mD5) sous le contrôle de l'activateur/promoteur de la créatine kinase musculaire CK8

Un vector de virus adenoasociado recombinante no replicativo del tipo 2/9 (**rAAV9**), que codifica para la microdistrofina 5 humana (h-mD5) bajo el control del promotor y elementos potenciadores (enhancer) de la creatina quinasa CK8 de músculo.

Electronic structure available on Mednet: <http://mednet.who.int/>
 # Structure électronique disponible sur Mednet: <http://mednet.who.int/>
 # Estructura electrónica disponible en Mednet: <http://mednet.who.int/>
 * <http://www.who.int/medicines/services/inn/publication/en/>

Procedure and Guiding Principles / Procédure et Directives / Procedimientos y principios generales

The text of the *Procedures for the Selection of Recommended International Nonproprietary Names for Pharmaceutical Substances and General Principles for Guidance in Devising International Nonproprietary Names for Pharmaceutical Substances* will be reproduced in proposed INN lists only.

Les textes de la *Procédure à suivre en vue du choix de dénominations communes internationales recommandées pour les substances pharmaceutiques et des Directives générales pour la formation de dénominations communes internationales applicables aux substances pharmaceutiques* seront publiés seulement dans les listes des DCI proposées.

El texto de los *Procedimientos de selección de denominaciones comunes internacionales recomendadas para las sustancias farmacéuticas y de los Principios generales de orientación para formar denominaciones comunes internacionales para sustancias farmacéuticas* aparece solamente en las listas de DCI propuestas.